



등록특허 10-2518769



(19) 대한민국특허청(KR)  
(12) 등록특허공보(B1)

(45) 공고일자 2023년04월07일  
(11) 등록번호 10-2518769  
(24) 등록일자 2023년04월03일

- (51) 국제특허분류(Int. Cl.)  
*C12Q 1/42* (2006.01)
- (52) CPC특허분류  
*C12Q 1/42* (2013.01)
- (21) 출원번호 10-2021-0042534
- (22) 출원일자 2021년04월01일  
심사청구일자 2021년04월01일
- (65) 공개번호 10-2021-0137384
- (43) 공개일자 2021년11월17일
- (30) 우선권주장  
1020200055355 2020년05월08일 대한민국(KR)
- (56) 선행기술조사문헌  
Elaheh Movahed 등, PLOS ONE, DOI:10.1371, 2015.\*  
Fiona M. Sansom, Parasitology, 139, 페이지 963-980, 2012.\*  
Kyung-Tae Lee 등, Eukaryotic Cell, 13(6), 페이지 796-812, 2014.\*  
KR1020180057559 A
- \*는 심사관에 의하여 인용된 문헌

- (73) 특허권자  
연세대학교 산학협력단  
서울특별시 서대문구 연세로 50 (신촌동, 연세대학교)
- (72) 발명자  
반용선  
서울특별시 송파구 올림픽로47길 9, 101동 301호  
(종합동, 쌍용아파트)
- 정은지  
서울특별시 양천구 목동동로 33, 부영그린타운 1  
차아파트 801호  
(뒷면에 계속)
- (74) 대리인  
특허법인 피씨알

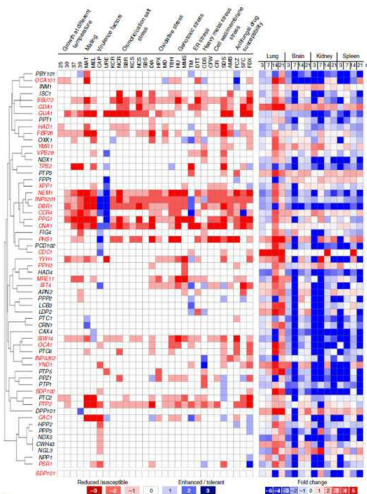
전체 청구항 수 : 총 3 항

심사관 : 이재영

(54) 발명의 명칭 크립토코커스 네오포르만스의 DNA 손상 반응을 조절하는 포스파타아제 및 이를 이용한 항진균제 스크리닝 방법

**(57) 요약**

*SSU72, NEM1, YVH1, OCA101, SIT4, INP5201, PHS1, MRE11, DBR1, SIW14, OCA1, GDA1, 및 FBP26*은 크립토코커스 네오포르만스의 병원성과의 관련성 및 DNA 손상 반응을 조절하는 기능이 새롭게 규명된 포스파타아제 유전자로써, 이를 유전자를 타겟으로 하는 새로운 항진균제 스크리닝에 이용될 수 있다.

**대 표 도 - 도1**

(72) 발명자  
**진재형**  
 서울특별시 서대문구 성산로18길 18-5, 2층  
**이경태**  
 서울특별시 금천구 시흥대로59길 35, 건영아파트  
 A동 301호  
**이동기**  
 서울특별시 송파구 송이로24길 18, 202호

**김진영**  
 경기도 수원시 권선구 권선로 397, 울트라참누리  
 아파트 201동 603호  
**이승현**  
 경기도 안양시 부림로 80, 초원한양아파트 609동  
 605  
**홍주현**  
 서울특별시 서대문구 성산로17길 7-17, 오이코스  
 504호

이 발명을 지원한 국가연구개발사업  
 과제고유번호 1545021042  
 과제번호 918012043SB010  
 부처명 농림축산식품부  
 과제관리(전문)기관명 농림식품기술기획평가원  
 연구사업명 포스트게놈신산업육성을위한다부처유전체사업(R&D)(농림부)  
 연구과제명 다중오믹스 분석 기반 동물 진균 유전자 기능 통합 네트워크 맵 구축 및 유용 유전  
 자  
 기 여 율 1/3  
 과제수행기관명 연세대학교 산학협력단  
 연구기간 2020.01.01 ~ 2020.12.31  
 이 발명을 지원한 국가연구개발사업  
 과제고유번호 1711097612  
 과제번호 2016R1E1A1A01943365  
 부처명 과학기술정보통신부  
 과제관리(전문)기관명 한국연구재단  
 연구사업명 개인기초연구(과기정통부)(R&D)  
 연구과제명 뇌수막염 유발 진균의 뇌 감염 경로와 이를 조절하는 kinase 네트워크의 시스템수준  
 규명  
 기 여 율 1/3  
 과제수행기관명 연세대학교  
 연구기간 2019.08.01 ~ 2020.05.31  
 이 발명을 지원한 국가연구개발사업  
 과제고유번호 1711111252  
 과제번호 2018R1A5A1025077  
 부처명 과학기술정보통신부  
 과제관리(전문)기관명 한국연구재단  
 연구사업명 집단연구지원(R&D)  
 연구과제명 미생물 생존 시스템 연구센터(중앙대학교)  
 기 여 율 1/3  
 과제수행기관명 연세대학교  
 연구기간 2020.03.01 ~ 2021.02.28  
 공지예외적용 : 있음

## 명세서

### 청구범위

#### 청구항 1

크립토코커스 네오포르만스에 후보물질을 접촉시키는 단계;

크립토코커스 네오포르만스의 DNA 손상 반응을 조절하는 포스파타아제를 발현하는 유전자인 *NEM1*; 및 *SSU72*, *YVH1*, *OCA1O1*, *SIT4*, *INP5201*, *PHS1*, *MRE11*, *DBR1*, *SIW14*, *OCA1*, *GDA1*, 및 *FBP26*으로 이루어진 군에서 선택된 하나 이상의 유전자의 mRNA 또는 이로부터 발현된 단백질의 발현수준을 측정하거나, 또는 단백질의 활성을 측정하는 단계; 및

상기 측정된 발현수준 또는 활성이 후보물질과 접촉하지 않은 대조군보다 유의하게 감소한 경우 상기 후보물질을 항진균 활성이 있는 것으로 결정하는 단계를 포함하는, 크립토코커스 네오포르만스에 대한 항진균제 스크리닝 방법으로서,

상기 DNA 손상 반응은 DNA 복제 저하, DNA의 메틸화로 인한 DNA 합성 저하, DNA 이중 나선 절단, DNA 단일 나선 절단으로서, 크립토코커스 네오포르만스의 성장을 저해하는 것인, 항진균제 스크리닝 방법.

#### 청구항 2

삭제

#### 청구항 3

제1항에 있어서,

상기 mRNA 발현 수준의 측정은 역전사 중합효소반응(RT-PCR), 경쟁적 역전사 중합효소 반응, 실시간 역전사 중합효소반응, RNase 보호 분석법(RPA), 노던 블롯팅, DNA 칩(Microarray) 또는 RNA sequencing 분석으로 수행하는 것인,

항진균제 스크리닝 방법.

#### 청구항 4

제1항에 있어서,

상기 단백질의 발현 수준 측정은 웨스턴 블랏, ELISA (enzyme linked immunosorbent assay), 방사선면역분석(RIA: Radioimmunoassay), 방사 면역 확산법(radioimmunodiffusion), 조직면역 염색, 면역침전 분석법(Immunoprecipitation Assay), 보체 고정 분석법(Complement Fixation Assay), 유세포분석(Fluorescence Activated Cell Sorter, FACS), 또는 단백질 칩(protein chip)으로 수행하는 것인,

항진균제 스크리닝 방법.

## 발명의 설명

### 기술 분야

[0001] 본 발명은 크립토코커스 네오포르만스의 DNA 손상 반응을 조절하는 포스파타아제 및 이를 이용한 항진균제 스크리닝 방법에 관한 것이다.

### 배경 기술

[0002] 모든 살아있는 유기체는 변화하는 환경에 대해 동적으로 반응(dynamic response)하며, 이러한 반응은 복잡한 신호 전달 경로에 의해 이루어진다. 환경 신호(environmental cue)가 발생하면 유기체는 수용체 단백질과 같은 센서를 통해 신호를 수신하고, 이어지는 스트레스에 대응하기 위해 하위인자(downstream effector)들을 활성화한

다. 환경 신호가 소멸하거나 유기체가 환경에 적응하면 해당 신호전달경로는 일반적으로 적시에 비활성화되고 (desensitized) 추후 재활성화될 수 있다. 이러한 신호전달경로의 활성화 및 비활성화 과정은 많은 경우 키나아제(kinase)에 의한 인산화(phosphorylation) 및 포스파타아제(phosphatase)에 의한 탈인산화(dephosphorylation)에 의해 이루어지며, 이는 신호 전달을 온-오프하는 번역 후 변형(post-translational modification)이다. 따라서 신호전달경로에서 키나아제 및 포스파타아제의 조절은 세포 항상성을 유지하는데 중요하다.

[0003] 병원성 곰팡이는 이러한 신호전달경로를 활용하여 숙주 내의 다양한 조직에서 감염(infection), 군집화(colonization), 증식(proliferation), 및 파종성 감염(dissemination) 중에 발생하는 환경 변화에 적응한다.

[0004] 크립토코커스 네오포르만스(*Cryptococcus neoformans*)는 면역이 저하된 환자에서 뇌수막염을 유발하며 전세계적으로 매년 18만 이상의 사망을 초래한다. 크립토코커스 네오포르만스의 전사인자(transcription factor; TF) 및 키나아제에 대한 대규모 기능 분석에 의해 178개의 TF 및 183개의 키나아제가 확인되었다. 이 중 155개의 TF 및 129개의 키나아제가 *in vitro* 및 *in vivo*에서 기능적 특징이 규명되었고(functionally characterized), 45개의 TF 및 63개의 키나아제가 병원성에 관여하는 것으로 알려졌다. 그럼에도 불구하고 신호 구성 요소(signaling component)들이 어떻게 조절되고 합동(coordination)되어 병원성을 나타내는지는 명확히 규명되지 않았다.

[0005] TF 및 키나아제 네트워크를 명확히 규명하기 위해서는 이들에 대응되는 포스파타아제 네트워크의 공동 분석이 필수적이다. 종래에는 기질 특이성이 높은 키나아제가 약물의 표적으로 더 적절하다고 여겨졌기 때문에 포스파타아제는 주목받지 못했다.

[0006] 그러나, 최근 여러 종류의 병원성 진균에서 밝혀진 기능성 포스파토ーム(phosphatome) 데이터에 의하면, 포스파타아제가 진균의 성장, 세포주기, 분화, 스트레스 반응 및 대사를 조절함으로써 항상성을 유지하는데 중요한 역할을 한다는 점이 밝혀졌다.

[0007] 자낭균(ascomycete)에서는, 유전자 다형 해석(genome-wide analyses)에 의해 아스페르길루스 푸미가투스(*Aspergillus fumigatus*)의 32개의 포스파타아제를 동정하고(identify) 이 중 24개를 기능적으로 특성화하였으며, 이들 대부분이 스트레스 반응, 철 동화(iron assimilation), 독소 생성(toxin production), 및 저항(resistance)에 기여함이 규명되었다.

[0008] 또한 밀곰팡이병(wheat scab)을 일으키는 푸사리움 그라미네아룸(*Fusarium graminearum*)에서 82개의 포스파타아제 유전자를 확인하였으며 이 중 71개를 파괴하고 15 종의 표현형 특성을 통해 기능적으로 분석한 결과 25개의 포스파타아제가 식물 병원성 진균의 병독성(virulence)에 관여함을 확인하였다.(Yun, Y. et al. Functional analysis of the *Fusarium graminearum* phosphatome. *New Phytol.* 207, 119–134 (2015).)

[0009] 그러나 크립토코커스 네오포르만스에서 병원성과 연관된 포스파타아제에 일부 소수의 유전자를 제외하고는 계놈 수준에서는 알려진 바가 없다.

## 선행기술문헌

### 특허문헌

[0010] (특허문헌 0001) (비특허문헌 0001) Yun, Y. et al. Functional analysis of the *Fusarium graminearum* phosphatome. *New Phytol.* 207, 119–134 (2015).

## 발명의 내용

### 해결하려는 과제

[0011] 일 구체예에 따르면 크립토코커스 네오포르만스의 DNA 손상 반응을 조절하는 포스파타아제로서 병원성과의 관련성이 새롭게 규명된 포스파타아제 유전자 및 이를 이용한 항진균제 스크리닝 방법을 제공한다.

### 과제의 해결 수단

[0012] 일 양상은, 크립토코커스속 진균의 DNA 손상 반응을 조절하는 포스파타아제를 발현하는 유전자인 *SSU72*, *NEM1*, *YVH1*, *OCA101*, *SIT4*, *INP5201*, *PHS1*, *MRE11*, *DBR1*, *SIW14*, *OCA1*, *GDA1*, 및 *FBP26*으로 이루어진 군에서 선택된

하나 이상의 유전자의 mRNA 또는 이로부터 발현된 단백질을 후보물질과 접촉시키는 단계; 상기 mRNA 또는 단백질의 발현 수준을 측정하거나, 또는 단백질의 활성을 측정하는 단계; 및 상기 측정된 발현수준 또는 활성이 대조군보다 유의하게 감소한 경우 상기 후보물질을 항진균 활성이 있는 것으로 결정하는 단계를 포함하는 항진균 제 스크리닝 방법을 제공한다.

[0013]

본 발명자는 병원성 진균인 크립토코커스 네오포르만스의 139개 후보 포스파타아제 유전자 중에서 불활성화시켰을 때 *Galleria mellonella* 유충에 대한 병독성이 감소하거나, 또는 뮤린에 대한 감염성이 감소한 31개 유전자를 선별하고, 이 중에서 병원성과 관련된 7종류의 표현형( $\alpha$ -당사슬 형성, 세포막 안정성, DNA 손상에 대한 저항성, 혈액뇌장벽 통과, 캡슐 형성, 멜라닌 생합성, 체온에 대한 내열성(thermotolerance for mammalian body temperatures))에서 변화를 나타낸 21개의 포스파타아제를 선별하였다. 최종 선별된 유전자는 크립토코커스 네오포르만스의 병독성 및 감염성과 밀접하게 관련된 표현 형질을 조절하는 것으로 새롭게 규명된 포스파타아제 유전자이며, 항진균제의 신규한 타겟이 될 수 있다. 최종 선별된 21개의 포스파타아제 유전자는 하기 표 1에 개시되어 있다.

### 표 1

[0014]

SEQ ID	H99 ID	Name
1	00182	<i>VPS29</i>
2	00390	<i>YMR1</i>
3	01054	<i>SSU72</i>
4	01177	<i>NEM1</i>
5	01203	<i>YVH1</i>
6	01254	<i>OCA101</i>
7	01436	<i>SIT4</i>
8	01877	<i>GUA1</i>
9	02109	<i>INP5201</i>
10	02487	<i>PHS1</i>
11	02490	<i>MRE11</i>
12	03222	<i>DBR1</i>
13	03296	<i>SIW14</i>
14	03893	<i>SDP102</i>
15	03963	<i>OCA1</i>
16	03996	<i>GDA1</i>
17	04221	<i>FBP26</i>
18	04224	<i>PSR1</i>
19	06647	<i>CDC1</i>
20	07317	<i>INP5202</i>
21	07692	<i>YN1</i>

[0015]

상기 크립토코커스속 진균은 예를 들면 병원성 진균으로써 크립토코커스 네오포르만스(*Cryptococcus neoformans*), 크립토코커스 가티(*Cryptococcus gattii*), 크립토코커스 알비두스(*Cryptococcus albidus*), 또는 크립토코커스 유니구틀라투스(*Cryptococcus uniguttulatus*)일 수 있다. 상기 항진균 활성은 크립토코커스속 진균 또는 병원성 크립토코커스속 진균에 대한 활성일 수 있다.

[0016]

상기 SSU72 유전자는 서열번호 3의 아미노산 서열로 이루어진 포스파타아제를 암호화하는 유전자, 또는 서열번호 24의 염기 서열로 이루어진 유전자일 수 있다.

[0017]

상기 NEM1 유전자는 서열번호 4의 아미노산 서열로 이루어진 포스파타아제를 암호화하는 유전자, 또는 서열번호 25의 염기 서열로 이루어진 유전자일 수 있다.

[0018]

상기 YVH1 유전자는 서열번호 5의 아미노산 서열로 이루어진 포스파타아제를 암호화하는 유전자, 또는 서열번호 26의 염기 서열로 이루어진 유전자일 수 있다.

[0019]

상기 OCA101 유전자는 서열번호 6의 아미노산 서열로 이루어진 포스파타아제를 암호화하는 유전자, 또는 서열번

호 27의 염기 서열로 이루어진 유전자일 수 있다.

[0020] 상기 SIT4 유전자는 서열번호 7의 아미노산 서열로 이루어진 포스파타아제를 암호화하는 유전자, 또는 서열번호 28의 염기 서열로 이루어진 유전자일 수 있다.

[0021] 상기 INP5201 유전자는 서열번호 9의 아미노산 서열로 이루어진 포스파타아제를 암호화하는 유전자, 또는 서열번호 30의 염기 서열로 이루어진 유전자일 수 있다.

[0022] 상기 PHS1 유전자는 서열번호 10의 아미노산 서열로 이루어진 포스파타아제를 암호화하는 유전자, 또는 서열번호 31의 염기 서열로 이루어진 유전자일 수 있다.

[0023] 상기 MRE11유전자는 서열번호 11의 아미노산 서열로 이루어진 포스파타아제를 암호화하는 유전자, 또는 서열번호 32의 염기 서열로 이루어진 유전자일 수 있다.

[0024] 상기 DBR1 유전자는 서열번호 12의 아미노산 서열로 이루어진 포스파타아제를 암호화하는 유전자, 또는 서열번호 33의 염기 서열로 이루어진 유전자일 수 있다.

[0025] 상기 SIW14 유전자는 서열번호 13의 아미노산 서열로 이루어진 포스파타아제를 암호화하는 유전자, 또는 서열번호 34의 염기 서열로 이루어진 유전자일 수 있다.

[0026] 상기 OCA1 유전자는 서열번호 15의 아미노산 서열로 이루어진 포스파타아제를 암호화하는 유전자, 또는 서열번호 36의 염기 서열로 이루어진 유전자일 수 있다.

[0027] 상기 GDA1 유전자는 서열번호 16의 아미노산 서열로 이루어진 포스파타아제를 암호화하는 유전자, 또는 서열번호 37의 염기 서열로 이루어진 유전자일 수 있다.

[0028] 상기 FBP26 유전자는 서열번호 17의 아미노산 서열로 이루어진 포스파타아제를 암호화하는 유전자, 또는 서열번호 38의 염기 서열로 이루어진 유전자일 수 있다.

[0029] 상기 발현 감소 후보 물질은 저분자 화합물, 항체, 안티센스 뉴클레오티드, siRNA, dsRNA, 핵산, 단백질, 펩티드, 추출물, 또는 천연물을 포함할 수 있으나 이에 한정되는 것은 아니다.

[0030] 상기 접촉시키는 단계는 분리된 mRNA, 단백질을 후보물질과 접촉시키거나, 또는 상기 유전자를 발현하는 크립토코커스속 진균을 후보물질과 접촉시키는 것일 수 있다. 크립토코커스속 진균과 후보 물질을 접촉시키는 경우, 후보물질이 진균 내로 침투하기에 충분한 시간 동안 배양시켜 수행할 수 있다. 상기 접촉시키는 단계는 *in vitro*에서 수행되는 것일 수 있다.

[0031] 상기 mRNA 발현 수준의 측정은 통상기술자에게 잘 알려진 방법으로 수행될 수 있으며, 예를 들면 역전사 중합효소반응(RT-PCR), 경쟁적 역전사 중합효소 반응, 실시간 역전사 중합효소반응, RNase 보호 분석법(RPA), 노던 븍롯팅, DNA 칩(Microarray) 또는 RNA sequencing 분석에 의해 수행될 수 있다.

[0032] 상기 단백질의 발현 수준 측정은 통상기술자에게 잘 알려진 방법으로 수행될 수 있으며, 예를 들면 웨스턴블랏, ELISA (enzyme linked immunosorbent assay), 방사선면역분석(RIA: Radioimmunoassay), 방사 면역 확산법(radioimmunodiffusion), 조직면역 염색, 면역침전 분석법(Immunoprecipitation Assay), 보체 고정 분석법(Complement Fixation Assay), 유세포분석(Fluorescence Activated Cell Sorter, FACS), 또는 단백질 칩(protein chip)으로 수행될 수 있다.

[0033] 상기 활성 억제 후보물질은 저분자 화합물, 항체, 안티센스 뉴클레오티드, siRNA, dsRNA, 핵산, 단백질, 펩티드, 추출물, 또는 천연물을 포함할 수 있으나 이에 한정되는 것은 아니다.

[0034] 상기 단백질의 활성 측정은 통상의 기술자에게 알려진 효소 활성 측정 방법이 사용될 수 있으며, 예를 들면 표지된 인산을 이용해 포스파타아제의 기질에 대한 인산화 정도를 측정하거나, 기질의 인산화 자리에 특이적인 항체의 결합 정도를 정량분석하는 방법을 사용할 수 있다.

### **발명의 효과**

[0036] 일 구체예에 따른 스크리닝 방법은 크립토코커스 네오포르만스의 병원성과의 관련성이 새롭게 규명된 포스파타아제 유전자를 이용하므로 새로운 항진균제를 스크리닝 할 수 있다.

### **도면의 간단한 설명**

[0038]

도 1은 *C. 네오포르만스*의 포스파타아제 결실에 의한 *in vitro* 상의 클러스터별 표현형 변화 및 *in vivo* 발현 프로파일링을 나타낸 것이다. 도 1에 사용된 약어는 다음과 같다. 25: 25°C; 30: 30°C; 37: 37°C; 39: 39°C; CAP: capsule production; MEL: melanin production; URE: urease production; MAT: mating; HPX: hydrogen peroxide; TBH: tert-butyl hydroperoxide; MD: menadione; DIA: diamide; MMS: methyl methanesulphonate; HU: hydroxyurea; 5FC: 5-flucytosine; AMB: amphotericin B; FCZ: fluconazole; FDX: fludioxonil; TM: tunicamycin; DTT: dithiothreitol; CDS: cadmium sulfate; SDS: sodium dodecyl sulfate; CR: Congo red; CFW: calcofluor white; KCR: YPD + 1.5M KCl; NCR: YPD + 1.5M NaCl; SBR: YPD + 2M sorbitol; KCS: YP + 1M KCl; NCS: YP + 1M NaCl; SBS: YP + 2M sorbitol.

도 2는 *Galleria mellonella* 곤충 치사 분석에 의한 병독성 조절 포스파타아제의 동정 결과를 나타낸 것이다. (n ≥ 15)

도 3은 STM 기반 뮤린 감염 모델에 의한 감염성 조절 포스파타아제의 동정 결과를 나타낸 것이다.

도 4는 포스파타아제 변이체의 30°C 및 37°C에서의 성장 속도를 나타낸 것이다.

도 5는 3가지 다른 멜라닌 유도 배지(Niger seed, dopamine, epinephrine 배지)를 이용하여 변이체의 멜라닌 생산을 측정한 결과를 나타낸 것이다.

도 6은 영양 과다 조건(R) 및 결핍 조건(S)에서 멜라닌 발현 조절 유전자인 LAC1의 유전자 발현 정도를 확인한 결과이다.

도 7은 영양 과다 조건(R) 및 결핍 조건(S)에서 멜라닌 발현과 관련된 유전자인 BZP4 및 HOB1의 유전자 발현 정도를 확인한 결과이다.

도 8은 캡슐 유도 배지(FBS agar medium)을 이용하여 캡슐 생산 분석을 수행한 결과이다. 캡슐의 두께 (thickness, 전체 직경 - cell body 직경)는 WT 세포(n=50) 및 각 포스파타아제 변이체(n=50)로 측정하였다.

도 9는 레트로머 복합체 관련 유전자 돌연변이들의 표현형 히트맵을 나타낸 것이다. 결실 유전자 및 균주는 *vps29Δ* (YSB4881, YSB4882), *vps26Δ* (YSB5671, YSB5672), *vps35Δ* (YSB5615, YSB5616), *vps5Δ* (YSB5683, YSB5684), 및 *vps17Δ* (YSB5724)이다.

도 10은 레트로머 복합체 돌연변이의 곤충 치사 분석 결과이다.

도 11은 레트로머 복합체 돌연변이의 STM 기반 뮤린 감염 분석 결과이다.

도 12는 *C. 네오포르만스* 야생형(WT), *gda1Δ* (YSB4750), *ynd1Δ* (YSB4856)의 세포벽 만노단백질(mannoprotein)에 결합된 O-linked 글리칸의 HPLC 프로파일을 나타낸 것이다.

도 13은 *C. 네오포르만스* 야생형(WT), *gda1Δ* (YSB4750), *ynd1Δ* (YSB4856)의 O-글리칸 성분을 나타낸 것이다.

도 14는 실험결과로부터 예상되는 Gdalp 및 Ynd1p의 기능을 도식화한 것이다.

도 15는 *in vitro* Blood-Brain Barrier-통과 분석(BBB-crossing assay)에서 *C. 네오포르만스* 야생형 및 변이체들의 BBB 이동(migration) 능력을 나타낸 것이다.

도 16은 인간 뇌 미세혈관 내피세포주(hCMEC/D3 세포주)를 이용한 BBB-adhesion assay 결과를 나타낸 것이다.

도 17은 *C. 네오포르만스*의 야생형 및 포스파타아제 변이체들에서 숙주모방조건(host-mimic condition; HMC)으로 발현이 유도된 뇌 감염 관련 유전자의 발현 정도를 나타낸 것이다.

도 18은 *C. 네오포르만스*에 의한 뇌 감염과 관련된 신호 네트워크를 통합적으로 이해하기 위해 STRING 분석에 의한 기능적 단백질 연관 네트워크(functional protein association network)를 생성한 결과이다.

도 19는 병원성 진균들의 병원성 연관 포스파타아제를 분석한 결과이다.

도 20은 일부 포스파타아제 유전자가 결실된 *C. 네오포르만스*를 유전자 독성 스트레스 물질인 HU(hydroxyurea)를 100 mM, 또는 110 mM 포함하는 배지에서 배양한 결과이다.

도 21은 일부 포스파타아제 유전자가 결실된 *C. 네오포르만스*를 유전자 독성 스트레스 물질인 MMS(methyl methanesulphonate)를 부피를 기준으로 0.03 %, 또는 0.04 % 포함하는 배지에서 배양한 결과이다.

## 발명을 실시하기 위한 구체적인 내용

- [0039] 이하 하나 이상의 구체예를 실시예를 통해 보다 상세하게 설명한다. 그러나, 이들 실시예는 하나 이상의 구체예를 예시적으로 설명하기 위한 것으로 본 발명의 범위가 이들 실시예에 한정되는 것은 아니다.
- [0041] 본 발명자는 크립토코커스 네오포르만스(*Cryptococcus neoformans*)에서 포스파타아제로 추정되는(putative) 139개의 유전자 중 109개를 대상으로 219 종류의 시그니처 태그 유전자 결실 돌연변이 균주(signature-tagged gene-deletion mutant strain) 라이브러리를 구축하였다. 여기에 종전 연구(Jung, K. W. et al. Systematic functional profiling of transcription factor networks in *Cryptococcus neoformans*. Nat. Commun. 6, 6757 (2015).)에서 구축한 6개의 포스파타아제에 대한 11개의 시그니처 태그 돌연변이체도 이용하였다. 총 114개의 포스파타아제를 대상으로 구축된 230 종류의 시그니처 태그 돌연변이체를 사용하여, 30 종류의 *in vitro* 조건에서 그들의 표현형을 분석하고, 2 가지 실험모델(곤충 및 murine)을 사용하여 독성 분석을 수행했다. 포스파타아제 현상 데이터(Phosphatase Phenome Data) 세트들은 Phosphatase Phenome Database (<http://phosphatase.cryptococcus.org>)에 공개하였다.
- [0044] **실험방법**
- [0045] 1. 연구 윤리 규정 준수 (Ethnic statement)
- [0046] 동물 보호 및 모든 실험은 연세대학교의 동물실험윤리위원회(Institutional Animal Care and Use Committee, IACUC)의 윤리 지침에 따라 수행되었다.
- [0048] 2. C. 네오포르만스 포스파타아제 및 레트로머 돌연변이 구축
- [0049] NAT-split 마커 및 double joint PCR(DJ-PCR), 및 노르세오토리신 저항성 마커 (nourseothricin acetyl transferase; NAT)를 포함하는 유전자 파괴 카세트(gene disruption cassette)를 사용한 상동 재조합을 통해 C. 네오포르만스 혈청형 A H99S 균주로부터 포스파타아제 및 레트로머 돌연변이 균주를 구축했다.
- [0050] 포스파타아제 및 레트로머 돌연변이 균주 제작에 사용된 프라이머들, 예를 들면 각 유전자에 대한 L1 Primer(5' flanking region primer 1), L2 Primer(5' flanking region primer 2), R1 Primer(3' flanking region primer 1), R2 Primer(3' flanking region primer 2), S0 primer(diagnostic screening primer, pairing with B79), P0 primer(Southern blot probe primer), STM primer, STM common primer에 대한 정보는 서열번호 43 내지 서열번호 211에 개시되어 있다.
- [0051] 그 외 프라이머들, B1026 (M13 Forward extended), B1027 (M13 Reverse extended), B79 (Screening primer), B1454 (NAT split marker primer 1), B1455 (NAT split marker primer 2), B1886 (NEO split marker primer 1), B1887 (NEO split marker primer 2), B679 (qRT-PCR primer for ACT1), B680 qRT-PCR primer for ACT1), B8953 (qRT-PCR primer for LAC1), B8954 (qRT-PCR primer for LAC1), B3737 (qRT-PCR primer for BZP4), B8521 (qRT-PCR primer for BZP4), B6394 (qRT-PCR primer for HOB1), B8519 (qRT-PCR primer for HOB1), B8654 (qRT-PCR primer for ITR1A), B8655 (qRT-PCR primer for ITR1A), B8658 (qRT-PCR primer for ITR3C), B8659 (qRT-PCR primer for ITR3C), B8656 (qRT-PCR primer for MPR1), B8657 (qRT-PCR primer for MPR1), B8598 (qRT-PCR primer for FZC31), B4951 (qRT-PCR primer for FZC31), B9243 (qRT-PCR primer for GAT201), B9422 (qRT-PCR primer for GAT201), B9061 (qRT-PCR primer for PDR802), B4913 (qRT-PCR primer for PDR802)는 서열번호 212 내지 서열번호 238에 개시되어 있다.
- [0052] 상기 프라이머 및 프로브들에 대한 상세한 정보는 본 발명자의 논문 Genome-wide functional analysis of phosphatases in the pathogenic fungus *Cryptococcus neoformans*, Bahn YS et al., Nature Communications volume 11, Article number: 4212 (2020)의 supplementary data 4를 참고할 수 있다. (<https://www.nature.com/articles/s41467-020-18028-0#Sec28>)
- [0053] H99S 유전체 DNA로부터 L1/L2(5' flanking region primer set) 및 R1/R2(3' flanking region primer set) 프라이머쌍으로 PCR을 실시하여 표적 유전자의 5' flanking 영역 및 3' flanking 영역을 증폭했다.
- [0054] 시그니처 태그된 NAT 마커는 각각의 고유한 시그니처 태그 서열을 갖는 NAT 유전자를 포함하는 pNAT-STM 플라스미드로부터의 프라이머 M13Fe(M13 forward extended) 및 M13Re (M13 reverse extended)를 사용한 PCR을 실시하여 증폭하였다.
- [0055] 1차 PCR에서 5' flanking 영역, 3' flanking 영역, 및 NAT 마커를 증폭하여 주형 DNA를 생성하고, 2차 PCR에서

는 각각 프라이머쌍 L1/NSL(B1455 NAT split marker primer 2) 및 R2/NSR(B1454 NAT split marker primer 1)으로 NAT-split 유전자파괴(gene-disruption) 카세트의 5'-영역 및 3'-영역을 구축하였다.

[0056] NAT 유전자파괴 카세트를 도입하는 생물학적 형질전환(Biostatic transformation)은 다음 방법으로 실시하였다. H99S 균주를 50ml YPD 배지에서 30°C로 16시간 동안 배양하고 스픈다운(spin-down)을 실시하였다. 5ml 증류수에서 채현탁하고 1M 소르비톨이 포함된 YPD 한천 배지에 도포하고 30°C에서 3시간 동안 추가 배양하였다. 유전자파괴 카세트를 600 $\mu$ g의 0.6 $\mu$ m 금 마이크로캐리어 비드 (Bio-Rad Laboratories, Hercules, CA, USA)와 결합하고 입자 전달 시스템 (PDS-100, Bio-Rad)을 사용하여 세포에 도입했다. 세포막 완전성을 회복하기 위해 30°C에서 4시간 동안 배양한 후 세포를 스크랩하고, 노르세오토리신(100 $\mu$ g/ml)을 포함하는 YPD 한천 배지에 도말(spread)하였다. 진단 PCR(Diagnostic PCR)로 NAT-양성 형질 전환체를 확인했다. 서던 블롯 분석으로 스크리닝된 각 형질전환체의 유전자형을 확인했다. 각 포스파타아제 유전자에 대해 적어도 두 개의 독립적인 돌연변이 균주를 구축했다.

[0058] 3. nCounter in vivo 유전자 발현 프로파일링 분석.

[0059] 이전 연구에서 보고된 RNA 샘플(Lee, K. T. et al. Fungal kinases and transcription factors regulating brain infection in *Cryptococcus neoformans*. Nat. Commun. 11, 1521 (2020))을 사용하여 nCounter 유전자 발현 분석 (NanoString)을 수행하여 139개의 포스파타아제의 생체 내 발현 수준을 정량화했다.

[0060] 전체 RNA 샘플은 비강 흡입을 통해  $5 \times 10^5$  세포로 감염된 6 주령 암컷 A / J 마우스로부터 얻었다. 3 마리의 마우스 그룹은 각각 3, 7, 14, 21 dpi(day post-infection)에 희생시키고, 폐, 뇌, 비장 및 신장을 수득하고 동결 건조시켰다. 건조된 장기를 균질화하고 상용 RNA 추출 키트(easy-BLUE, Intron Biotechnology)로 total RNA를 추출했다.

[0061] In vitro 기저(basal) 조건 (30°C; YPD 배지)에서 성장한 C. 네오포르만스로부터 분리한 전체 RNA 10ng 또는 C. 네오포르만스 감염 마우스 조직에서 분리한 전체 RNA 10 $\mu$ g을 포함하는 샘플을 nCounter 멀티 플렉스 플랫폼 (NanoString, Seattle, WA, USA)의 제조업체 표준 프로토콜에 따라 설정하고 맞춤형(custom) 프로브 코드 세트로 반응 시켰다. 고해상도(600 fields) 옵션의 디지털 분석기로 스캔하였으며 nSolver 소프트웨어(NanoString)로 정규화하였다(normalized).

[0062] 8 개의 하우스 키핑(house-keeping) 유전자(mitochondrial protein, CNAG\_00279; microtubule-binding protein, CNAG\_00816; aldose reductase, CNAG\_02722; cofilin, CNAG\_02991; actin, CNAG\_00483; tubulin  $\beta$  chain, CNAG\_01840; tubulin  $\alpha$ -1A chain, CNAG\_03787; histone H3, CNAG\_04828)는 표현 정규화(expression normalization)에 사용되었다.

[0063] 폴드-변화(fold-change)를 표현하기 위해 정규화된 데이터를  $\log_2$  점수로 변환하고 Morpheus(Broad Institute, Cambridge, MA, USA, <http://software.broadinstitute.org/morpheus>)에 의한 평균 연결(average linkage) 및 one minus Pearson 상관관계(correlation)를 사용하여 클러스터링을 수행했다.

[0065] 4. 성장 및 화학적 감수성 테스트

[0066] 시험관 내 스트레스 조건에 대한 각 포스파타아제 돌연변이의 감수성을 분석하기 위해, C. 네오포르만스를 30°C에서 16시간 동안 성장시키고, 연속적으로 10배( $1-10^4$ ) 회석하고, 하기 환경 스트레스 유도 화학물질을 포함하는 YPD 한천 배지에 스呓 접종하였다. (Jung, K. W. et al. Systematic functional profiling of transcription factor networks in *Cryptococcus neoformans*. Nat. Commun. 6, 6757 (2015) 방법 참고)

[0067] [환경 스트레스 유도 화학물질]

[0068] 포도당 과다(YPD) 또는 포도당 결핍(효모 추출물-펩톤; YP) 조건 하에서 삼투압 스트레스(소르비톨) 및 양이온/염 스트레스 (NaCl 및 KCl);

[0069] 산화 스트레스 [과산화수소(H<sub>2</sub>O<sub>2</sub>), tert-butyl hydroperoxide(유기 과산화물), menadione(superoxide anion generator), diamide(thiol-specific oxidant)];

[0070] 독성 중금속 스트레스 [황산 카드뮴 (CdSO<sub>4</sub>)]; genotoxic 스트레스 (methyl methanesulphonate 및 hydroxyurea);

- [0071] 막 불안정화 스트레스 [sodium dodecyl sulfate (SDS)];
- [0072] 세포벽 불안정화 스트레스 (calcofluor white 및 Congo red);
- [0073] ER 스트레스 [tunicamycin 및 dithiothreitol(DTT)];
- [0074] 및 항진균제 감수성(flidioxonil, fluconazole, amphotericin B, 및 flucytosine).
- [0075] 세포를 30°C에서 1일 내지 5일간 배양하고 매일 사진을 찍었다. 다양한 온도에서 C. 네오포르만스 균주의 성장을 조사하기 위해 YPD 한천 배지에서 연속 희석된 세포를 스팟 접종하고 25°C, 37°C 및 39°C에서 배양하고 매일 배양 사진을 찍었다. 포스파타아제 돌연변이체의 성장 속도를 정량적으로 조사하기 위해 WT 균주 (H99S) 및 포스파타아제 돌연변이체를 30°C에서 밤새 배양하고 신선한 액체 YPD 배지에 계대 배양했다[광학밀도 OD<sub>600</sub> = 0.2]. 세포는 다중 채널 생물 반응기(Biosan Laboratories, Inc., Warren, MI, USA)에서 30°C 또는 37°C에서 배양하였으며 OD 600nm는 40 내지 90 시간 동안 자동 측정하였다.
- [0077] 5. 교배 분석 (mating assay)
- [0078] 일방 교배 효율(unilateral mating efficiency)을 측정하기 위해, H99S 균주 및 MATa KN99a 균주로 구축된 각 혈청형 A MATa 포스파타아제 돌연변이를 YPD 배지에서 30°C로 16시간 동안 배양하고, PBS로 2회 세척하였다. 세포를 동일한 농도 ( $10^7$  cells/ml)로 혼합하고, V8 mating 배지(pH 5)에 스팟 접종한 후 7 내지 14 일 동안 암실에서 25°C로 배양하였다. 매주 필라멘트 성장(filamentous growth)을 관찰하고 사진을 촬영하였다.
- [0080] 6. In vitro 병독성 인자 생산 분석
- [0081] 캡슐 생산 효율성을 테스트하기 위해, 각 돌연변이를 30°C에서 배양하고, Dulbecco's modified Eagle agar 배지에 스팟 접종하고 37°C에서 2일간 배양하였다. 배양된 세포를 스크랩하고, 중류수로 세척하고, 10% 포르말린으로 고정시키고 중류수로 다시 세척하였다. 고정된 세포를  $3 \times 10^8$  cells/ml 농도로 조정하고 세포 혼탁액 50  $\mu\text{l}$  를 microhaematocrit capillary tube(Kimble Chase, Rockwood, TN, USA)에 주입했다. 중력으로 세포를 농축(pack)시키기 위해 Capillary tube를 10일 동안 수직으로 배치하였다. 농축된 세포(packed cell)의 부피 비율(packed cell phase/total phase)를 측정하고, 야생형 H99S 균주의 농축세포용적(packed cell volume)으로 각 비율을 정규화하여 각 돌연변이체의 상대적인 농축세포용적(packed cell volume)을 계산하였다. 상대적인 농축된 세포 부피 비율의 통계적 차이는 Prism 8 (GraphPad, San Diego, USA)의 Bonferroni's multiple comparison test를 사용한 일원배치 분산 분석(one-way analysis of variance, ANOVA)에 의해 결정되었다.
- [0082] 다른 배지에서 캡슐 생산 효율을 측정하기 위해, 각 배양액 5 $\mu\text{l}$ 를 Littman's agar medium 및 FBS agar medium(10% foetal bovine serum 및 90% PBS)에 스팟 접종하고, 37°C에서 2일간 배양하고, 세포를 스크랩하고, 중류수로 재현탁하였다. 재현탁한 세포는 India ink (BactiDrop; Remel, San Diego, CA, USA)로 염색하고 DIC (Differential Interference Contrast) 현미경(BX51, Olympus, Tokyo, Japan)으로 관찰했다. 캡슐 두께는 캡슐 직경에서 세포 직경을 빼서 측정했다(총 직경-세포체 직경). 캡슐 두께의 정량적 측정을 위해 H99S 균주 및 각 포스파타아제 돌연변이체 50 개의 세포를 측정했다.
- [0083] 멜라닌 생산 효율을 조사하기 위해 각 포스파타아제 돌연변이를 YPD 배지에서 30°C로 16시간 동안 배양하고 PBS로 세척한 다음 0.1% 또는 0.2% 포도당을 포함하는 Niger seed, dopamine, 또는 epinephrine 배지(리터당 1g L-아스파라긴, 3g KH<sub>2</sub>PO<sub>4</sub>, 250mg MgSO<sub>4</sub>, 1mg thiamine, 5 $\mu\text{g}$  biotin, 100mg L-DOPA 또는 epinephrine hydrochloride)에 3 $\mu\text{l}$ 를 스팟 접종하였다. 스팟 접종된 세포를 37°C에서 배양하고 1일 내지 3 일 후에 사진을 찍었다. 37°C에서 성장 결함이 있는 포스파타아제 돌연변이체는 30°C에서 멜라닌 및 캡슐 생산 효율을 조사했다.
- [0084] 우레아제(Urease) 생산을 확인하기 위해 각 포스파타아제 돌연변이체를 30°C에서 16시간 배양하고 PBS로 세척한 후, 10ml 의료용 튜브(SPL Life Sciences, 경기도, 대한민국)에 담긴 액체 Christensen's media에 접종(세포 10<sup>6</sup>개)한 다음 진탕 배양기에서 30°C로 1 내지 3 일 동안 배양하고 매일 사진을 찍었다.
- [0086] 7. 발현 분석
- [0087] 멜라닌 조절 유전자 (*LAC1*, *HOB1*, *MBS1*, *BZP4*)의 발현 수준을 측정하기 위해 H99S 균주 및 포스파타아제 돌연변이체(*mre11Δ*, *ccr4Δ*, *vps29Δ*, *yvh1Δ*, *fbp26Δ*, *inp5201Δ*, *cac1Δ*, *ptp2Δ*, *ptc2Δ*, *dbr1Δ*, *ppg1Δ*, *nem1Δ* 및 *gua1Δ*)를 YPD 액체 배지에서 30°C로 16시간 동안 배양하고, 신선한 액체 YPD 배지로 서브컬처하였다

(OD<sub>600</sub> = 0.2).

[0088] 세포가 초기 로그 단계(logarithmic phase)(OD<sub>600</sub> = 0.6 내지 0.8)에 도달하면 세포 배양의 절반을 샘플링하여 기본 샘플을 준비했다. 나머지 세포 배양물을 PBS로 3회 세척하고 영양 결핍 조건(글루코스가 없는 황산암모늄이 포함된 YNB 배지)에서 2시간 동안 배양한 다음, 즉시 액체 질소로 펠릿화하고 동결 건조했다.

[0089] BBB 통과 관련 유전자(BBB crossing-related gene: *ITR1A*, *ITR3C*, *MPR1*, *FZC31*, *GAT201* 및 *PDR802*)의 발현 수준을 측정하기 위해, H99S 균주 및 포스파타아제 돌연변이[*sit4Δ* (YSB4094), *siw14Δ* (YSB4570), *ssu72Δ* (YSB4242), *gda1Δ* (YSB4750) 및 *xpp1Δ* (YSB5941)]를 30°C로 16시간 동안YPD 브로스에서 배양하고, 50ml의 신선한 YPD 브로쓰에서 서브컬쳐하고, OD<sub>600</sub>이 0.8에 도달할 때까지 추가 배양하였다. 그 다음 배양액을 25ml 퓨어 2개에 분리하고 원심 분리한 다음 멸균 중류수로 3 회 세척하였다.

[0090] 하나의 퓨어는 기본 발현 수준을 모니터링하기 위해 액체 질소에 보관되었고, 다른 퓨어는 10% FBS를 포함하는 동일한 부피의 RPMI1640 배지에 재현탁되었다. 120 rpm으로 수평 진탕(horizontal shaking)하는 CO<sub>2</sub> 배양기에서 37°C로 3시간 배양한 후, 세포를 원심 분리하고 밤새 동결 건조시켰다. 시판되는 RNA 추출 키트(easy-BLUE, iNtRON Biotechnology, Gyeonggi, Korea)를 사용하여 각 샘플에서 Total RNA를 추출하고, RTase(Thermo Scientific, Waltham, MA, USA)를 사용하여 cDNA를 합성했다. 서열번호 219 내지 238의 표적 유전자 특이적 프라이머쌍을 사용하여 qRT-PCR(Quantitative reverse transcription-PCR)을 수행했다. 상기 표적 유전자 특이적 프라이머쌍은 Genome-wide functional analysis of phosphatases in the pathogenic fungus *Cryptococcus neoformans*, Bahn YS et al., Nature Communications volume 11, Article number: 4212 (2020)를 참고할 수 있다.

[0092] 8. cwMPs (cell wall mannoproteins) O-linked 글리칸의 HPLC 분석

[0093] cwMP에서 O-linked 글리칸의 분석은 Thak, E. J., Kim, J., Lee, D. J., Kim, J. Y. & Kang, H. A. Structural analysis of N-/O-glycans assembled on proteins in yeasts. J. Microbiol. 56, 11-23 (2018)에 기재된 방법으로 수행하였다.

[0094] O-linked 올리고사카라이드(oligosaccharide)는 개질된(modified) 하이드라진분해(hydrazinolysis)에 의해 정제된 cwMP로부터 병출되었다. 전조된 cwMP (50μg)를 hydrazine monohydrate에 재현탁하고 60°C로 4시간 동안 배양했다. 반응물을 냉각 및 건조(desiccation)시키고, 펠렛을 NaHCO<sub>3</sub>에 용해시키고, (CH<sub>3</sub>CO)<sub>2</sub>O와 혼합하고, 얼음 위에서 30분 동안 배양하였다.

[0095] O-글리칸을 Dowex 50WX8-400 resins (Sigma-Aldrich, St. Louis, MO, USA)로 정제하고 2-AA로 표지했다 (labelled). 정제된 O-글리칸은 90% solvent A(아세토 니트릴 중 2% 아세트산 및 1% tetrahydrofuran) 및 10% solvent B (물에서 5% 아세트산, 3% triethylamine 및 1% tetrahydrofuran)을 사용하여 TSKgel Amide-80 컬럼 (0.46 × 25cm, Tosoh Corp., Tokyo, Japan)에서 HPLC를 사용하여 분석하였다. 샘플 주입 후에, solvent B의 비율을 1.0 ml/min의 유속에서 60 분에 걸쳐 90 %로 증가시키고 O-글리칸을 형광검출기(2475, Waters Corp., Milford, MA, USA)로 검출했다. 여기 파장 및 방출 파장은 각각 360 nm 및 425 nm이다. 크로마토그래피 소프트웨어 (Empower 2, Waters)를 사용하여 데이터를 분석했다.

[0097] 9. 곤충모델 기반 in vivo 병독성 분석

[0098] 체중이 200 내지 300mg에 이르고 종령 유충기에 있는(final larval instar) 최소 15 개의 *G. melloneilla* 애벌레(Vanderhorst Wholesale, Inc., Saint Marys, OH, USA)를 사용했다. 각각의 포스파타아제 변이체 및 야생형 H99S 균주를 30°C에서 밤새 인큐베이션하고, 펠릿화하고, PBS로 3 회 세척하고, 10<sup>6</sup> cells/ml의 농도로 PBS에 재현탁시켰다. 각 유충마다 4000 개의 C. 네오포르만스 세포를 10μl 바늘 및 반복 디스펜서가 장착된 100μl 실린지(PB600-1, Hamilton Company, Reno, NV, USA)를 사용하여 두 번째에서 마지막 전각(proleg) 사이에 주입했다. 음성 대조군 *G. melloneilla*는 PBS 만 주입했다. 감염된 유충을 페트리 접시에 놓고 가습 환경에서 37°C로 배양하면서 매일 모니터링했다. 애벌레는 겹게 변하고 만졌을 때 아무런 움직임도 보이지 않는 상태에 이르면 사망한 것으로 판정하였다. 실험 중에 번데기화된(pupate) 유충은 통계 분석을 위해 검열하였다. Prism 8 (GraphPad, San Diego, CA, USA)을 사용하여 생존 곡선을 설명하고 로그 순위 테스트(Mantel-Cox)로 분석했다. 각 포스파타아제 돌연변이마다 두 개의 독립적인 균주를 조사했다.

[0100] 10. STM-기반 쥐과(murine) 감염성 분석

- [0101] 41 개의 고유한 시그니처-태그 NAT 선별 마커(signature-tagged NAT selection marker)가 있는 포스파타아제 돌연변이체 세트를 30°C에서 16 시간 동안 배양했다. *ste50Δ* (STM # 282) 및 *ire1Δ* (STM # 169) 돌연변이체는 각각 독성(virulent) 및 무독성(avirulent) 대조군 균주로 사용되었다.
- [0102] 돌연변이체와 대조군 균주를 펠럿화하고, PBS로 3 회 세척하고, PBS에 재현 탁한 다음 동일한 양( $5 \times 10^5$  cells)으로 풀링(pool)하였다.
- [0103] 7 주령 암컷 A/J 마우스 (Jackson Laboratory, Bar Harbor, ME, USA) Avertin (2,2,2-tribromoethanol, T48402, Sigma-Aldrich, St. Louis, MO, USA)의 복강 내 주사로 마취됨)를 비강 내 흡입(intranasal inhalation)을 통해 세포수  $5 \times 10^5$ 의 풀링된(pooled) 돌연변이체( $50\mu\text{l}$  PBS)로 감염시켰다.
- [0104] 투입 포스파타아제 게놈 DNA 라이브러리(input phosphatase genomic DNA library)를 준비하기 위해, 풀링된 균주  $200\mu\text{l}$ 를  $100\mu\text{g}/\text{ml}$  chloramphenicol이 포함된 YPD 배지에 도말(spread)하고 30°C에서 3 일 동안 배양한 다음 스크래핑하여 수집했다.
- [0105] 감염된 마우스들은 14 dpi에 이르렀을 때 인도적 실험 종결을 위해 과량의 마취제 투여 (Avertin)로 희생시켰다. 감염된 마우스의 폐와 뇌를 회수하고 5ml의 PBS로 균질화하였다. 그 다음 균질화 된 조직을  $100\mu\text{g}/\text{ml}$  클로람페니콜을 함유하는 YPD 배지에 도말(spread)하고 30°C에서 3 일 동안 배양한 다음 스크래핑하여 수집했다. CTAB(cetyl trimethylammonium bromide) 방법을 사용하여 수집된 투입(input) 및 산출(output) 세포에서 게놈 DNA를 추출했다.
- [0106] qRT-PCR 시스템(CFX96, Bio-Rad, Hercules, CA, USA)을 사용하여 태그 특이 적 프라이머로 Quantitative PCR을 수행했다. STM 점수는  $2^{-\Delta\Delta\text{Ct}}$  방법을 사용하여 계산되었으며, 게놈 DNA 양의 상대적 변화를 계산하였다. 투입(input) 대 산출(output) 샘플의 평균 폴드-변화는 로그 점수 ( $\log_2 2^{-(\text{Ct, Target-Ct, Actin})_{\text{output}} - (\text{Ct, Target-Ct, Actin})_{\text{input}}}$ )로 계산되었다.
- [0108] 11. In vitro BBB 통과(BBB-crossing) 및 BBB 부착(BBB-adhesion) 분석
- [0109] 인간 뇌 미세혈관 내피세포(hCMEC/D3 세포주, Merck & Co., Kenilworth, NJ, USA)는 기존에 알려진 방법을 기반으로 다음과 같이 배양되었다.
- [0110] 요약하면, EGM-2 배지(Lonza Group, Basel, Switzerland)에서  $5 \times 10^4$  hCMEC/D3 세포를 준비하고, BBB-통과 분석을 위해 콜라겐(Corning, Inc.)으로 코팅된  $8\mu\text{m}$  다공성막(BD Biosciences)에 파종(seeding)하고, BBB-접착 분석을 위해 12웰 플레이트(BD Biosciences)에 파종했다. 파종 다음날, 2.5% 인간 혈청이 보충된 EGM-2 배지로 교체하고 4 일 동안 추가로 배양하였다. C. 네오포르만스 접종 하루 전, 배지를  $0.5x$  희석된 EGM-2 배지로 교체하고 세포를 37°C 및 5% CO<sub>2</sub>에서 유지하였다. 세포 사이 밀착연접(tight junction)의 무결성(integrity)은 epithelial volt/ohm meter(EVOM2 device, World Precision Instruments)에 의해 ~200 Ω/cm<sup>2</sup>의 TEER(trans-endothelial electrical resistance)가 측정됨을 확인함으로써 검증되었다.
- [0111] BBB-통과 분석을 위해, C. 네오포르만스 WT (H99), *mpr1Δ* 돌연변이 및 포스파타아제 결실 돌연변이의  $5 \times 10^5$  세포를 PBS 500 μl에 첨가하고 다공성막에 접종하였다. 5% CO<sub>2</sub> 및 37°C에서 24시간 배양한 후 CFU를 계수하여 다공성막을 통과하는 세포수를 측정했다. 세포 접종 전후에는 전술한 바와 같이 TEER에 의해 tight junction 무결성을 측정하였다. BBB 이동 비율(BBB migration ratio)은 각 테스트 균주의 output CFU를 WT의 input CFU로 나누어 계산했다.
- [0112] BBB 부착 분석을 위해,  $5 \times 10^5$  세포를 포함하는 100μl PBS를 12웰 플레이트에서 성장한 hCMEC/D3 세포의 단층(monolayer)에 접종하고 5% CO<sub>2</sub> 및 37°C 조건에서 24시간 동안 배양했다. 배양 후, 배양물을 PBS로 3 회 세척하고, 37°C에서 30분 동안 멸균 중류수로 인큐베이션하여 숙주 세포를 용해(burst)시키고 수집하여 CFU 정량화를 실시하였다. BBB-부착율(BBB-adhesion ratio)은 각 테스트 균주의 부착된 CFU를 WT C. 네오포르만스의 CFU로 나누어 계산하였다.
- [0114] 12. C. 네오포르만스 포스파타아제 데이터에 대한 데이터베이스 구축

[0115] C. 네오포르만스 포스파타아제 돌연변이 라이브러리의 표현형 및 게놈 데이터 (phenomic and genomic data)에 대한 접근을 용이하게하기 위해 *Cryptococcus neoformans* Phosphatase Phenome Database (<http://phosphatase.cryptococcus.org>) 및 *Cryptococcus neoformans* Phenome Gateway Database (<http://www.cryptococcus.org/>)를 개발했다.

### 13. 통계분석

[0118] GraphPad Prism 버전 8을 사용하여 통계 분석을 수행했다. 캡슐 생산 분석 및 발현 분석을 위해 Bonferroni의 다중 비교 테스트가 포함된 ANOVA가 사용되었다. 살충 분석의 통계 분석은 로그 순위(Mantel-Cox) 테스트를 사용했다. 뮤린 STM 분석에서 *ste50Δ* (양성 대조군)와 돌연변이체간의 통계적 유의성은 Bonferroni의 다중 비교 테스트와 함께 일원 분산 분석에 의해 계산되었다.

### 실시예 1: *C.neoformans*의 포스파타아제 유전자 동정

[0121] FungiDB *C. 네오포르만스*(H99 균주) 게놈 데이터베이스 (<http://fungidb.org/fungidb>)에서 포스파타아제로 주석표시된 유전자를 조사하고, 이들의 단백질 서열을 분석하여 포스파타아제 관련 도메인의 존재를 검증하였다. 이를 통해 *C. 네오포르만스*의 139개 추정 포스파타아제 유전자를 선별하였다. (하기 표 2 참고)

**표 2**

number	H99 ID	Gene name	number	H99 ID	Gene name
1	CNAG_00057	<i>FPP1</i>	71	CNAG_03262	<i>INM101</i>
2	CNAG_01519	<i>EEP1</i>	72	CNAG_03296	<i>SIW14</i>
3	CNAG_02681	<i>APH3</i>	73	CNAG_03396	<i>NPY1</i>
4	CNAG_02944	<i>APH1</i>	74	CNAG_03491	<i>NDX3</i>
5	CNAG_03673	<i>PPZ1</i>	75	CNAG_03541	<i>PTC7</i>
6	CNAG_04354	<i>XPP1</i>	76	CNAG_03657	<i>LDP1</i>
7	CNAG_04453	<i>IPC1</i>	77	CNAG_03679	<i>ACY1</i>
8	CNAG_04782	<i>PPU1</i>	78	CNAG_03706	<i>GLC7</i>
9	CNAG_06115	<i>APH4</i>	79	CNAG_03765	<i>TPS2</i>
10	CNAG_06967	<i>APH2</i>	80	CNAG_03871	<i>LTP1</i>
11	CNAG_07629	<i>EPP1</i>	81	CNAG_03893	<i>SDP102</i>
12	CNAG_00076	<i>NDX6</i>	82	CNAG_03949	<i>PHO13</i>
13	CNAG_00146	<i>PBY101</i>	83	CNAG_03957	-
14	CNAG_00175	-	84	CNAG_03963	<i>OCA1</i>
15	CNAG_00182	<i>VPS29</i>	85	CNAG_03984	<i>YCH1</i>
16	CNAG_00263	<i>PTP4</i>	86	CNAG_03996	<i>GDA1</i>
17	CNAG_00265	<i>IDI1</i>	87	CNAG_04049	<i>PPP5</i>
18	CNAG_00316	<i>HAM1</i>	88	CNAG_04104	<i>AKP3</i>
19	CNAG_00390	<i>YMR1</i>	89	CNAG_04113	<i>PTP3</i>
20	CNAG_00408	<i>PPH3</i>	90	CNAG_04120	<i>FCP1</i>
21	CNAG_00427	<i>PTC5</i>	91	CNAG_04221	<i>FBP26</i>
22	CNAG_00498	<i>CDC14</i>	92	CNAG_04224	<i>PSR1</i>
23	CNAG_00500	<i>PTC1</i>	93	CNAG_04236	-
24	CNAG_00533	<i>TIM50</i>	94	CNAG_04268	<i>APN2</i>
25	CNAG_00554	<i>ISC1</i>	95	CNAG_04475	<i>HPP3</i>
26	CNAG_00790	<i>DPP1</i>	96	CNAG_04718	<i>PCD101</i>
27	CNAG_00810	<i>HAD4</i>	97	CNAG_04731	<i>PCD102</i>
28	CNAG_01054	<i>SSU72</i>	98	CNAG_04732	<i>PCD1</i>
29	CNAG_01177	<i>NEM1</i>	99	CNAG_04796	<i>CNA1</i>
30	CNAG_01203	<i>YVH1</i>	100	CNAG_04833	<i>TEP1</i>
31	CNAG_01254	<i>OCA101</i>	101	CNAG_04852	<i>NDX4</i>
32	CNAG_01314	<i>PPP1</i>	102	CNAG_05080	<i>CWH43</i>
33	CNAG_01346	<i>HPP2</i>	103	CNAG_05155	<i>PTP2</i>

34	CNAG_01357	<i>SDP101</i>	104	CNAG_05286	<i>LDP2</i>
35	CNAG_01412	<i>PAH1</i>	105	CNAG_05301	<i>CRN1</i>
36	CNAG_01436	<i>SIT4</i>	106	CNAG_05306	<i>PTC701</i>
37	CNAG_01496	<i>PPT1</i>	107	CNAG_05529	<i>HAD5</i>
38	CNAG_01498	<i>AKP2</i>	108	CNAG_05567	<i>PPP3</i>
39	CNAG_01518	<i>PMU1</i>	109	CNAG_05568	<i>PRY1</i>
40	CNAG_01532	<i>INP52</i>	110	CNAG_05617	<i>GPI13</i>
41	CNAG_01572	<i>CDC25</i>	111	CNAG_05639	<i>PPS1</i>
42	CNAG_01604	-	112	CNAG_05692	<i>LCB3</i>
43	CNAG_01744	<i>HAD1</i>	113	CNAG_05892	<i>SHB17</i>
44	CNAG_01823	<i>INM1</i>	114	CNAG_06064	<i>PTP1</i>
45	CNAG_01864	<i>NDX5</i>	115	CNAG_06065	<i>SAC101</i>
46	CNAG_01877	<i>GUA1</i>	116	CNAG_06080	<i>SAC1</i>
47	CNAG_01900	<i>NDX1</i>	117	CNAG_06122	<i>HAD6</i>
48	CNAG_01901	<i>NDX2</i>	118	CNAG_06132	<i>HAD8</i>
49	CNAG_02001	<i>INP5203</i>	119	CNAG_06141	<i>DUT101</i>
50	CNAG_02109	<i>INP5201</i>	120	CNAG_06232	<i>HPP1</i>
51	CNAG_02161	<i>ASP1</i>	121	CNAG_06236	<i>NGL3</i>
52	CNAG_02177	<i>PPH22</i>	122	CNAG_06251	<i>PPP4</i>
53	CNAG_02236	<i>PPG1</i>	123	CNAG_06418	<i>PTC6</i>
54	CNAG_02375	<i>FIG4</i>	124	CNAG_06499	<i>DPP101</i>
55	CNAG_02453	<i>PTP5</i>	125	CNAG_06549	<i>CET1</i>
56	CNAG_02470	<i>PPP2</i>	126	CNAG_06587	<i>OCA2</i>
57	CNAG_02487	<i>PHS1</i>	127	CNAG_06617	-
58	CNAG_02490	<i>MRE11</i>	128	CNAG_06647	<i>CDC1</i>
59	CNAG_02545	<i>IPP1</i>	129	CNAG_06698	<i>HAD9</i>
60	CNAG_02740	<i>RPP1</i>	130	CNAG_06900	-
61	CNAG_02772	<i>PMU101</i>	131	CNAG_06966	<i>AKP1</i>
62	CNAG_02861	<i>HIS2</i>	132	CNAG_06969	<i>HAD7</i>
63	CNAG_02878	<i>GEP4</i>	133	CNAG_07317	<i>INP5202</i>
64	CNAG_02986	<i>YSA1</i>	134	CNAG_07354	<i>MET22</i>
65	CNAG_03014	<i>CAX4</i>	135	CNAG_07372	<i>OXK1</i>
66	CNAG_03052	<i>PTC2</i>	136	CNAG_07434	<i>HAD3</i>
67	CNAG_03078	<i>NPP1</i>	137	CNAG_07547	<i>GPM1</i>
68	CNAG_03190	<i>CCR4</i>	138	CNAG_07692	<i>YND1</i>
69	CNAG_03202	<i>CAC1</i>	139	CNAG_07740	<i>HAD2</i>
70	CNAG_03222	<i>DBR1</i>			

[0123] C. 네오포르만스의 포스파타아제 유전자 분석 결과 다음 3가지 사실을 발견하였다. (1) C. 네오포르만스의 포스파타아제의 보존 정도는 키나아제보다는 낮지만 전사인자(TF)보다는 높다, (2) C. 네오포르만스의 티로신 키나아제의 종류는 3개에 불과하여 부족함에도 불구하고 21개의 단백질 티로신 포스파타아제(PTP)가 포함되어 있다, (3) C. 네오포르만스는 다른 진균류와 유사한 수의 추정 포스파타아제 유전자를 포함하고 있다.

#### 실시예 2: C. 네오포르만스 포스파타아제 돌연변이 라이브러리 구축

[0126] 상기 실시예 1의 139개 추정 포스파타아제 유전자에 대한 결실 돌연변이체를 제작하고 *in vitro* 및 *in vivo* 표현형 특징(phenotypic trait)을 분석하였다.

[0127] 139 개의 추정 포스파타아제 유전자 중 15 개(*PTP1*, *PTP2*, *YSA1*, *CNA1*, *CAC1*, *TPS2*, *CCR4*, *HAD1*, *EPP1*, *XPP1*, *APH1*, *ASP1*, *ISC1*, *PPG1*, *PPH3*)는 이전 연구에서 기능적으로 특성화되었다. 또한 이전 연구에서 키나아제 돌연변이 라이브러리 구축을 위해 키나아제 도메인이 있는 2개의 포스파타아제 유전자(*OXK1* 및 *FPP26*) 결실 균주를 제작하였고, TF 돌연변이 라이브러리 구축을 위해 DNA 결합 도메인이 있는 포스파타아제 유전자(*APN2*) 결실 균

주를 제작하였다.

[0128]

종전 연구에서 구축한 11개의 시그니처 태그 돌연변이 균주(*PTP1*, *PTP2*, *OXK1*, *Fbp26*, 및 *APN2*에 대해 각각 2개; *CAC1*에 대해 1개) 외에, 일련의 고유 올리고뉴클레오티드 시그니처 태그를 포함하는 노르세오토리신 저항성 마커(nourseothricin resistance marker)를 사용하여 대규모 상동성 재조합 기반 유전자 결실(large-scale homologous recombination-based gene deletion)을 수행했다. 고품질의 포스파타아제 돌연변이 라이브러리를 구축하기 위해 각 유전자에 대해 2개 이상의 독립적인 돌연변이를 제작하고 진단 PCR(diagnostic PCR) 및 Southern blot 분석을 통해 유전자형을 확인하였다.

[0129]

그 결과 109개의 포스파타아제를 대표하는 219개의 돌연변이 균주가 새롭게 제작되었다. 이전에 제작된 11개 변이 균주와 더불어 114개의 포스파타아제를 대표하는 230개의 돌연변이 균주에 대한 분석이 수행되었다. (25개는 제외되었으며 이유는 후술함) 하기 표 3에서, 3741 및 2744는 control이며, 4341, 4342, 1429, 1430, 4288, 4289, 275, 277, 1704, 1705, 42는 종전 연구에서 제작된 11개 균주이고, 나머지는 새롭게 제작된 219개 변이 균주이다.

### 표 3

[0130]

Gene ID	Gene name	Strain names (YSB #)	Genotypes	Parents
CNAG_07507	<i>STE50</i>	3741	<i>MATα ste50Δ::NAT-STM#234</i> (STM positive control)	H99S
CNAG_03670	<i>IRE1</i>	2744	<i>MATα ire1Δ::NAT-STM#169</i> (STM negative control)	H99S
CNAG_04221	<i>Fbp26</i>	4341, 4342	<i>MATα fbp26Δ::NAT-STM#146</i> (previously constructed)	H99S
CNAG_04268	<i>APN2</i>	1429, 1430	<i>MATα apn2Δ::NAT-STM#102</i> (previously constructed)	H99S
CNAG_07372	<i>OXK1</i>	4288, 4289	<i>MATα oxk1Δ::NAT-STM#122</i> (previously constructed)	H99S
CNAG_05155	<i>PTP2</i>	275, 277	<i>MATα ptp2Δ::NAT-STM#184</i> (previously constructed)	H99S
CNAG_06064	<i>PTP1</i>	1704, 1705	<i>MATα ptp1Δ::NAT-STM#125</i> (previously constructed)	H99S
CNAG_03202	<i>CAC1</i>	42	<i>MATα cac1Δ::NAT-STM#159</i> (previously constructed)	H99S
CNAG_02986	<i>YSA1</i>	5013, 5014	<i>MATα ysa1Δ::NAT-STM#116</i>	H99S
CNAG_00057	<i>FPP1</i>	4596, 4597	<i>MATα fpp1Δ::NAT-STM#184</i>	H99S
CNAG_01519	<i>EEP1</i>	4659, 4662	<i>MATα eep1Δ::NAT-STM#191</i>	H99S
CNAG_02681	<i>APH3</i>	4051, 4052	<i>MATα aph3Δ::NAT-STM#150</i>	H99S
CNAG_02944	<i>APH1</i>	3478, 3479	<i>MATα aph1Δ::NAT-STM#191</i>	H99S
CNAG_03673	<i>PPZ1</i>	5788, 5789	<i>MATα ppz1Δ::NAT-STM#295</i>	H99S
CNAG_04354	<i>XPP1</i>	5941, 5942, 6628	<i>MATα xpp1Δ::NAT-STM#234</i>	H99S
CNAG_04782	<i>PPU1</i>	6630, 6631	<i>MATα ppu1Δ::NAT-STM#212</i>	H99S
CNAG_06967	<i>APH2</i>	3484, 3485	<i>MATα aph2Δ::NAT-STM#159</i>	H99S
CNAG_07629	<i>EPP1</i>	4922, 4924	<i>MATα epp1Δ::NAT-STM#240</i>	H99S
CNAG_00076	<i>NDX6</i>	5140, 5141	<i>MATα ndx6Δ::NAT-STM#159</i>	H99S
CNAG_00146	<i>PBY101</i>	5153, 5154	<i>MATα pby101Δ::NAT-STM#5</i>	H99S
CNAG_00182	<i>VPS29</i>	4881, 4882	<i>MATα vps29Δ::NAT-STM#295</i>	H99S
CNAG_00263	<i>PTP4</i>	5387, 5388	<i>MATα ptp4Δ::NAT-STM#123</i>	H99S
CNAG_00316	<i>HAM1</i>	5184, 5186	<i>MATα ham1Δ::NAT-STM#212</i>	H99S
CNAG_00390	<i>YMR1</i>	4262, 4554	<i>MATα ymr1Δ::NAT-STM#5</i>	H99S
CNAG_00408	<i>PPH3</i>	3776, 3778	<i>MATα pph3Δ::NAT-STM#146</i>	H99S
CNAG_00427	<i>PTC5</i>	5943, 5944	<i>MATα ptc5Δ::NAT-STM#43</i>	H99S
CNAG_00498	<i>CDC14</i>	3620, 5359	<i>MATα cdc14Δ::NAT-STM#116</i>	H99S
CNAG_00500	<i>PTC1</i>	289, 290	<i>MATα ptc1Δ::NAT-STM#146</i>	H99S
CNAG_00554	<i>ISC1</i>	4264, 4265	<i>MATα isc1Δ::NAT-STM#43</i>	H99S

CNAG_00810	HAD4	4194, 4197	MAT <sub>a</sub> had4Δ::NAT-STM#116	H99S
CNAG_01054	SSU72	4242, 4243	MAT <sub>a</sub> ssu72Δ::NAT-STM#119	H99S
CNAG_01177	NEM1	4771, 4772	MAT <sub>a</sub> nem1Δ::NAT-STM#177	H99S
CNAG_01203	YVH1	4590, 4591	MAT <sub>a</sub> yvh1Δ::NAT-STM#5	H99S
CNAG_01254	OCA101	4075, 4077	MAT <sub>a</sub> oca101Δ::NAT-STM#210	H99S
CNAG_01314	PPP1	5058, 5059	MAT <sub>a</sub> ppp1Δ::NAT-STM#184	H99S
CNAG_01346	HPP2	4728, 4730	MAT <sub>a</sub> hpp2Δ::NAT-STM#204	H99S
CNAG_01357	SDP101	3613, 3614	MAT <sub>a</sub> sdp101Δ::NAT-STM#6	H99S
CNAG_01436	SIT4	4094, 4095	MAT <sub>a</sub> sit4Δ::NAT-STM#232	H99S
CNAG_01496	PPT1	5554, 5555	MAT <sub>a</sub> ppt1Δ::NAT-STM#184	H99S
CNAG_01498	AKP2	5064, 5069	MAT <sub>a</sub> akp2Δ::NAT-STM#6	H99S
CNAG_01518	PMU1	4026, 4027	MAT <sub>a</sub> pmu1Δ::NAT-STM#205	H99S
CNAG_01532	INP52	4793, 4794	MAT <sub>a</sub> inp52Δ::NAT-STM#201	H99S
CNAG_01744	HAD1	4665, 4666	MAT <sub>a</sub> had1Δ::NAT-STM#204	H99S
CNAG_01823	INM1	4608, 4609	MAT <sub>a</sub> inm1Δ::NAT-STM#191	H99S
CNAG_01864	NDX5	5466, 5467	MAT <sub>a</sub> ndx5Δ::NAT-STM#150	H99S
CNAG_01877	GUA1	6161, 6163	MAT <sub>a</sub> gua1Δ::NAT-STM#213	H99S
CNAG_01900	NDX1	5248, 5249	MAT <sub>a</sub> ndx1Δ::NAT-STM#210	H99S
CNAG_01901	NDX2	5504, 5505	MAT <sub>a</sub> ndx2Δ::NAT-STM#211	H99S
CNAG_02001	INP5203	4692, 4693	MAT <sub>a</sub> inp5203Δ::NAT-STM#205	H99S
CNAG_02109	INP5201	4607, 4929	MAT <sub>a</sub> inp5201Δ::NAT-STM#122	H99S
CNAG_02161	ASP1	5250, 5251	MAT <sub>a</sub> asp1Δ::NAT-STM#240	H99S
CNAG_02236	PPG1	5772, 5940	MAT <sub>a</sub> ppg1Δ::NAT-STM#123	H99S
CNAG_02375	FIG4	4574, 4575	MAT <sub>a</sub> fig4Δ::NAT-STM#150	H99S
CNAG_02453	PTP5	5469, 5470	MAT <sub>a</sub> ptp5Δ::NAT-STM#191	H99S
CNAG_02470	PPP2	4819, 4822	MAT <sub>a</sub> ppp2Δ::NAT-STM#290	H99S
CNAG_02487	PHS1	4022, 4023	MAT <sub>a</sub> phs1Δ::NAT-STM#225	H99S
CNAG_02490	MRE11	4694, 5050	MAT <sub>a</sub> mre11Δ::NAT-STM#242	H99S
CNAG_02772	PMU101	4670, 4671	MAT <sub>a</sub> pmu101Δ::NAT-STM#208	H99S
CNAG_03014	CAX4	4790, 4791	MAT <sub>a</sub> cax4Δ::NAT-STM#211	H99S
CNAG_03052	PTC2	1772, 1773	MAT <sub>a</sub> ptc2Δ::NAT-STM#224	H99S
CNAG_03078	NPP1	5019, 5021	MAT <sub>a</sub> npp1Δ::NAT-STM#119	H99S
CNAG_03190	CCR4	5591, 5594	MAT <sub>a</sub> ccr4Δ::NAT-STM#210	H99S
CNAG_03202	CAC1	5650	MAT <sub>a</sub> cac1Δ::NAT-STM#159	H99S
CNAG_03222	DBR1	4963, 4964	MAT <sub>a</sub> dbr1Δ::NAT-STM#288	H99S
CNAG_03262	INM101	4529, 4530	MAT <sub>a</sub> inm101Δ::NAT-STM#201	H99S
CNAG_03296	SIW14	4570, 4571	MAT <sub>a</sub> siw14Δ::NAT-STM#225	H99S
CNAG_03396	NPY1	5105, 5107	MAT <sub>a</sub> npy1Δ::NAT-STM#122	H99S
CNAG_03491	NDX3	5192, 5193	MAT <sub>a</sub> ndx3Δ::NAT-STM#201	H99S
CNAG_03541	PTC7	1860, 1861	MAT <sub>a</sub> ptc71Δ::NAT-STM#53	H99S
CNAG_03657	LDP1	4382, 4383	MAT <sub>a</sub> ldp1Δ::NAT-STM#231	H99S
CNAG_03679	ACY1	5838, 5839	MAT <sub>a</sub> acy1Δ::NAT-STM#43	H99S
CNAG_03765	TPS2	4373, 4433	MAT <sub>a</sub> tps2Δ::NAT-STM#232	H99S
CNAG_03871	LTP1	4044, 4045	MAT <sub>a</sub> ltp1Δ::NAT-STM#230	H99S
CNAG_03893	SDP102	3467, 3468	MAT <sub>a</sub> sdp102Δ::NAT-STM#119	H99S
CNAG_03949	PHO13	4374, 4376	MAT <sub>a</sub> pho13Δ::NAT-STM#234	H99S
CNAG_03963	OCA1	4054, 4055	MAT <sub>a</sub> oca1Δ::NAT-STM#230	H99S
CNAG_03984	YCH1	4637, 4638	MAT <sub>a</sub> ych1Δ::NAT-STM#208	H99S
CNAG_03996	GDA1	4750, 5821	MAT <sub>a</sub> gda1Δ::NAT-STM#6	H99S
CNAG_04049	PPP5	4298, 4299	MAT <sub>a</sub> ppp5Δ::NAT-STM#288	H99S
CNAG_04104	AKP3	5484, 5485	MAT <sub>a</sub> akp3Δ::NAT-STM#58	H99S

CNAG_04113	<i>PTP3</i>	4680, 4754	<i>MAT<sub>a</sub> ptp3Δ ::NAT-STM#231</i>	H99S
CNAG_04224	<i>PSR1</i>	5003, 5005	<i>MAT<sub>a</sub> psr1Δ ::NAT-STM#125</i>	H99S
CNAG_04475	<i>HPP3</i>	4003, 4004	<i>MAT<sub>a</sub> hpp3Δ ::NAT-STM#211</i>	H99S
CNAG_04718	<i>PCD101</i>	5416, 5417	<i>MAT<sub>a</sub> pcd101Δ ::NAT-STM#146</i>	H99S
CNAG_04731	<i>PCD102</i>	5422, 5424	<i>MAT<sub>a</sub> pcd102Δ ::NAT-STM#125</i>	H99S
CNAG_04732	<i>PCD1</i>	5045, 5053	<i>MAT<sub>a</sub> pcd1Δ ::NAT-STM#123</i>	H99S
CNAG_04796	<i>CNA1</i>	4067, 4068	<i>MAT<sub>a</sub> cna1Δ ::NAT-STM#290</i>	H99S
CNAG_04833	<i>TEP1</i>	4622, 4623	<i>MAT<sub>a</sub> tep1Δ ::NAT-STM#205</i>	H99S
CNAG_04852	<i>NDX4</i>	5046, 5047	<i>MAT<sub>a</sub> ndx4Δ ::NAT-STM#204</i>	H99S
CNAG_05080	<i>CWH43</i>	4508, 4509	<i>MAT<sub>a</sub> cwh43Δ ::NAT-STM#213</i>	H99S
CNAG_05286	<i>LDP2</i>	4721, 4722	<i>MAT<sub>a</sub> ldp2Δ ::NAT-STM#218</i>	H99S
CNAG_05301	<i>CRN1</i>	5095, 5096	<i>MAT<sub>a</sub> crn1Δ ::NAT-STM#218</i>	H99S
CNAG_05306	<i>PTC701</i>	1867, 1868	<i>MAT<sub>a</sub> ptc701Δ ::NAT-STM#58</i>	H99S
CNAG_05529	<i>HAD5</i>	5098, 5099	<i>MAT<sub>a</sub> had5Δ ::NAT-STM#205</i>	H99S
CNAG_05567	<i>PPP3</i>	4396, 4399	<i>MAT<sub>a</sub> ppp3Δ ::NAT-STM#288</i>	H99S
CNAG_05568	<i>PRY1</i>	5101, 5102	<i>MAT<sub>a</sub> pry1Δ ::NAT-STM#211</i>	H99S
CNAG_05692	<i>LCB3</i>	4755, 5051, 5052	<i>MAT<sub>a</sub> lcb3Δ ::NAT-STM#219</i>	H99S
CNAG_05892	<i>SHB17</i>	4060, 4061	<i>MAT<sub>a</sub> shb17Δ ::NAT-STM#212</i>	H99S
CNAG_06065	<i>SAC101</i>	4470, 4718	<i>MAT<sub>a</sub> sac101Δ ::NAT-STM#220</i>	H99S
CNAG_06122	<i>HAD6</i>	5476, 5477	<i>MAT<sub>a</sub> had6Δ ::NAT-STM#219</i>	H99S
CNAG_06132	<i>HAD8</i>	4464, 4475	<i>MAT<sub>a</sub> had8Δ ::NAT-STM#242</i>	H99S
CNAG_06141	<i>DUT101</i>	5112, 5128	<i>MAT<sub>a</sub> dut101Δ ::NAT-STM#208</i>	H99S
CNAG_06232	<i>HPP1</i>	4092, 4093	<i>MAT<sub>a</sub> hpp1Δ ::NAT-STM#213</i>	H99S
CNAG_06236	<i>NGL3</i>	4459, 4472	<i>MAT<sub>a</sub> ngl3Δ ::NAT-STM#273</i>	H99S
CNAG_06251	<i>PPP4</i>	4784, 4785	<i>MAT<sub>a</sub> ppp4Δ ::NAT-STM#296</i>	H99S
CNAG_06418	<i>PTC6</i>	1875, 1876	<i>MAT<sub>a</sub> ptc6Δ ::NAT-STM#102</i>	H99S
CNAG_06499	<i>DPP101</i>	4479, 4480	<i>MAT<sub>a</sub> dpp101Δ ::NAT-STM#290</i>	H99S
CNAG_06587	<i>OCA2</i>	4841, 4842	<i>MAT<sub>a</sub> oca2Δ ::NAT-STM#231</i>	H99S
CNAG_06647	<i>CDC1</i>	5542, 5574	<i>MAT<sub>a</sub> cdc1Δ ::NAT-STM#296</i>	H99S
CNAG_06698	<i>HAD9</i>	4485, 4486	<i>MAT<sub>a</sub> had9Δ ::NAT-STM#58</i>	H99S
CNAG_06966	<i>AKP1</i>	4892, 4893	<i>MAT<sub>a</sub> akp1Δ ::NAT-STM#150</i>	H99S
CNAG_06969	<i>HAD7</i>	4688, 4946	<i>MAT<sub>a</sub> had7Δ ::NAT-STM#220</i>	H99S
CNAG_07317	<i>INP5202</i>	4511, 4538	<i>MAT<sub>a</sub> inp5202Δ ::NAT-STM#102</i>	H99S
CNAG_07434	<i>HAD3</i>	4624, 4626	<i>MAT<sub>a</sub> had3Δ ::NAT-STM#116</i>	H99S
CNAG_07547	<i>GPM1</i>	4089, 4090	<i>MAT<sub>a</sub> gpm1Δ ::NAT-STM#219</i>	H99S
CNAG_07692	<i>YND1</i>	4856, 6157	<i>MAT<sub>a</sub> ynd1Δ ::NAT-STM#119</i>	H99S
CNAG_07740	<i>HAD2</i>	4506, 4507	<i>MAT<sub>a</sub> had2Δ ::NAT-STM#123</i>	H99S
CNAG_00508	<i>VPS17</i>	5724	<i>MAT<sub>a</sub> vps17Δ ::NAT-STM#220</i>	H99S
CNAG_01315	<i>VPS5</i>	5683, 5684	<i>MAT<sub>a</sub> vps5Δ ::NAT-STM#221</i>	H99S
CNAG_01426	<i>VPS26</i>	5671, 5672	<i>MAT<sub>a</sub> vps26Δ ::NAT-STM#5</i>	H99S
CNAG_01837	<i>VPS35</i>	5615, 5616	<i>MAT<sub>a</sub> vps35Δ ::NAT-STM#210</i>	H99S
Double KO	<i>OCA101, OCA1</i>	6634, 6635	<i>MAT<sub>a</sub> oca101Δ ::NAT oca1Δ ::NEO</i>	YSB4075

[0131] 파괴 전략(disruption strategies), 프라이머 서열, southern blot 결과, 및 돌연변이 현상 데이터는 본 발명자가 구축한 *Cryptococcus neoformans* Phosphatase Phenome Database (<http://phosphatase.cryptococcus.org>)에서 확인할 수 있다. 나머지 25개(H99 ID/Gene name으로서 01572/CDC25, 06080/SAC1, 04120/FCP1, 04453/IPC1, 06549/CET1, 03706/GLC7, 00533/TIM50, 00265/IDI1, 02545/IPP1, 02740/RPP1, 02861/HIS2, 07354/MET22, 01412/PAH1, 05617/GPI13, 05639/PPS1, 00790/DPP1, 03957/-, 02177/PPH22, 02878/GEP4, 01604/-, 06900/-, 06617/-, 00175/-, 06115/APH4, 04236/-)의 포스파타아제 유전자의 경우, 생존 가능한 형질

전환체를 얻지 못하거나, 야생형과 돌연변이체 대립 유전자를 모두 보유하는 잠재적 이상배수체(potential aneuploidy) 돌연변이체만이 획득되었다. 이는 나머지 25개 유전자가 생존에 필수적인 유전자일 수 있음을 시사한다.

#### [0133] 실시예 3: 포스파툼의 표현형 및 *in vivo* 발현 프로파일링

[0134] 실시예 2에서 준비한 114개 유전자에 대한 230 개의 C. 네오포르만스의 포스파타아제 결실 변이체를 이용하여 30 종류의 *in vitro* 조건에서 표현형을 조사하였다. 30 종류의 조건은 다양한 온도(25, 30, 37 및 39°C)에서 성장, 교배 효율, 독성 인자 생성(캡슐, 멜라닌 및 우레아제), 스트레스 반응(삼투/양이온 엔, 산화, 유전 독성, ER, 세포막/벽 및 중금속 스트레스) 및 항진균제 감수성이다. (하기 표 4 참고)

**표 4**

		Abb.	Description	Tested condition
1	Growth at different temperature	25	incubated at 25°C	Cells were incubated at 25°C for 1-6 days.
2		30	incubated at 30°C	Cells were incubated at 30°C for 1-6 days.
3		37	incubated at 37°C	Cells were incubated at 37°C for 1-6 days.
4		39	incubated at 39°C	Cells were incubated at 39°C for 1-6 days.
5	Mating	MAT	Mating	Cells were incubated with opposite mating type cells onto the V8 media in the dark for 15 days.
6	Virulence factors	MEL	Melanin	Cells were spotted onto the Niger seed media containing glucose and further incubated at 37°C for 1-4 days.
7		CAP	Capsule	Cells were incubated onto the solid-agared DME media and relative packed cell volume was measured
8		URE	Urease	Cells were spotted onto the Christensen's agar media and further incubated at 30°C for 1-4 days.
9	Osmotic/cation salt stress	NCR	NaCl treatment under glucose-rich condition	Cells were spotted onto the YPD media containing 1.5 M NaCl for 1-6 days.
10		KCR	KCl treatment under glucose-rich condition	Cells were spotted onto the YPD media containing 1.5 M KCl for 1-6 days.
11		SBR	Sorbitol treatment under glucose-rich condition	Cells were spotted onto the YPD media containing 2 M sorbitol for 1-6 days.
12		NCS	NaCl treatment under glucose-starved condition	Cells were spotted onto the YP media containing 1 M NaCl for 1-6 days.
13		KCS	KCl treatment under glucose-starved condition	Cells were spotted onto the YP media containing 1 M KCl for 1-6 days.
14		SBS	Sorbitol treatment underglucose-starved condition	Cells were spotted onto the YP media containing 2 M sorbitol for 1-6 days.

15	Oxidative stress	HPX	Hydrogen peroxide	Cells were spotted onto the YPD media containing 2.5 ~ 3.5 mM concentration of hydrogen peroxide for 1-6 days.
16		TBH	Tert-butyl hydroperoxide	Cells were spotted onto the YPD media containing 0.6 ~ 0.8 mM concentration of tert-butyl hydroperoxide for 1-6 days.
17		MD	Menadione	Cells were spotted onto the YPD media containing 0.01 ~ 0.03 mM concentration of menadione for 1-6 days.
18		DIA	Diamide	Cells were spotted onto the YPD media containing 2 ~ 3.5 mM concentration of diamide for 1-6 days.
19	Genotoxic stress	MMS	Methyl methanesulfonate	Cells were spotted onto the YPD media containing 0.02 ~ 0.06% MMS for 1-6 days.
20		HU	Hydroxyurea	Cells were spotted onto the YPD media containing 90 ~ 110 mM concentration of HU for 1-6 days.
21	ER Stress	TM	Tunicamycin	Cells were spotted onto the YPD media containing 0.2 ~ 0.4 µg/ml concentration of TM for 1-6 days.
22		DTT	Dithiothreitol	Cells were spotted onto the YPD media containing 15 ~ 20 mM concentration of DTT for 1-6 days.
23	Heavy metal stress	CDS	CdSO <sub>4</sub>	Cells were spotted onto the YPD media containing 20 ~ 35 µM concentration of CdSO <sub>4</sub> for 1-6 days.
24	Cell wall/membrane stress	CR	Congo-red	Cells were spotted onto the YPD media containing 0.8 ~ 1% congo-red for 1-6 days.
25		CFW	Calcofluor white	Cells were spotted onto the YPD media containing 3 ~ 5 mg/ml concentration of CFW for 1-6 days.
26		SDS	Sodium dodecyl sulfate	Cells were spotted onto the YPD media containing 0.03 ~ 0.05% SDS for 1-6 days.
27	Antifungal drug susceptibility	5FC	Flucytosine	Cells were spotted onto the YPD media containing 300 ~ 500 µg/ml concentration of flucytosine for 1-6 days.
28		AMB	Amphotericin B	Cells were spotted onto the YPD media containing 0.8 ~ 1.8 µg/ml concentration of Amphotericin B for 1-6 days.
29		FCZ	Fluconazole	Cells were spotted onto the YPD media containing 10 ~ 18 µg/ml concentration of fluconazole for 1-6 days.
30		FDX	Fludioxonil	Cells were spotted onto the YPD media containing 0.5 ~ 5 µg/ml concentration of fludioxonil for 1-6 days.

[0136] 도 1은 C. 네오포르만스의 포스파타아제 결실에 의한 in vitro 상의 클러스터별 표현형 변화 및 in vivo 발현 프로파일링을 나타낸 것이다. 하기 표 5 내지 표 10는 30가지 표현형에 대한 데이터를 클러스터별로 구체적으로 나타낸 것이다. 도 1 및 표 5 내지 10에서, 각 수치는 -3 : 강한 감소/감수성, -2 : 약간(moderately) 감소/감수성, -1 : 약한(weakly) 감소/감수성, 0 : 야생형 유사, +1 약한 증가/내성, +2 : 약간 증가/내성, +3 : 강한 증가/내성이다. 하기 표 5는 각 유전자의 결실이 25, 30, 37 및 39°C에서의 성장에 미치는 영향을 확인한 결과이다.

## 표 5

[0137]

		Growth at different temperature			
H99 1D	Name	25	30	37	39
00057	<i>FPP1</i>	0	0	0	0
00076	<i>NDX6</i>	0	0	0	0
00146	<i>PBY101</i>	0	0	0	1
00182	<i>VPS29</i>	0	0	0	0
00263	<i>PTP4</i>	0	0	0	0
00316	<i>HAM1</i>	0	0	0	0
00390	<i>YMR1</i>	0	0	0	0
00408	<i>PPH3</i>	0	0	0	0
00427	<i>PTC5</i>	0	0	0	0
00498	<i>CDC14</i>	0	0	0	0
00500	<i>PTC1</i>	0	0	0	0
00554	<i>ISC1</i>	0	0	0	0
00810	<i>HAD4</i>	0	0	0	0
01054	<i>SSU72</i>	0	0	-1	-1
01177	<i>NEM1</i>	0	-1	-2	-3
01203	<i>YVH1</i>	0	-2	-1	-1
01254	<i>OCA101</i>	-1	-1	0	0
01314	<i>PPP1</i>	0	0	0	0
01346	<i>HPP2</i>	0	0	0	0
01357	<i>SDP101</i>	0	0	0	0
01436	<i>SIT4</i>	0	0	0	0
01496	<i>PPT1</i>	0	0	0	0
01498	<i>AKP2</i>	0	0	0	0
01518	<i>PMU1</i>	0	0	0	0
01519	<i>EEP1</i>	0	0	0	0
01532	<i>INP52</i>	0	0	0	0
01744	<i>HAD1</i>	-1	0	0	0
01823	<i>INM1</i>	0	0	0	0
01864	<i>NDX5</i>	0	0	0	0
01877	<i>GUA1</i>	0	-2	-1	-2
01900	<i>NDX1</i>	0	0	0	0
01901	<i>NDX2</i>	0	0	0	0
02001	<i>INP5203</i>	0	0	0	0
02109	<i>INP5201</i>	0	-1	-1	-2
02161	<i>ASP1</i>	0	0	0	0
02236	<i>PPG1</i>	0	-2	-3	-3
02375	<i>FIG4</i>	0	0	0	-2
02453	<i>PTP5</i>	0	0	0	0
02470	<i>PPP2</i>	0	0	0	-1
02487	<i>PHS1</i>	0	0	-1	-1
02490	<i>MRE11</i>	0	0	-2	-2
02681	<i>APH3</i>	0	0	0	0
02772	<i>PMU101</i>	0	0	0	0
02944	<i>APH1</i>	0	0	0	0
02986	<i>YSA1</i>	0	0	0	0
03014	<i>CAX4</i>	0	0	0	0
03052	<i>PTC2</i>	-1	-1	0	0

03078	<i>NPP1</i>	0	0	0	0
03190	<i>CCR4</i>	0	-1	-2	-3
03202	<i>CAC1</i>	0	0	0	0
03222	<i>DBR1</i>	0	-2	-1	-2
03262	<i>INM101</i>	0	0	0	0
03296	<i>SIW14</i>	0	-1	-1	-1
03396	<i>NPY1</i>	0	0	0	0
03491	<i>NDX3</i>	0	0	0	0
03541	<i>PTC7</i>	0	0	0	0
03657	<i>LDP1</i>	0	0	0	0
03673	<i>PPZ1</i>	0	0	0	0
03679	<i>ACY1</i>	0	0	0	0
03765	<i>TPS2</i>	0	0	-3	-3
03871	<i>LTP1</i>	0	0	0	0
03893	<i>SDP102</i>	0	0	0	0
03949	<i>PHO13</i>	0	0	0	0
03963	<i>OCA1</i>	0	0	0	0
03984	<i>YCH1</i>	0	0	0	0
03996	<i>GDA1</i>	0	0	0	0
04049	<i>PPP5</i>	0	0	0	0
04104	<i>AKP3</i>	0	0	0	0
04113	<i>PTP3</i>	0	0	0	0
04221	<i>FBP26</i>	-1	-1	-1	-1
04224	<i>PSR1</i>	0	0	0	0
04268	<i>APN2</i>	0	0	0	-1
04354	<i>XPP1</i>	0	0	0	0
04475	<i>HPP3</i>	0	0	0	0
04718	<i>PCD101</i>	0	0	0	0
04731	<i>PCD102</i>	0	0	0	0
04732	<i>PCD1</i>	0	0	0	0
04782	<i>PPU1</i>	0	0	0	0
04796	<i>CNA1</i>	0	0	-2	-3
04833	<i>TEP1</i>	0	0	0	0
04852	<i>NDX4</i>	0	0	0	0
05080	<i>CWH43</i>	0	0	0	0
05155	<i>PTP2</i>	0	-1	0	0
05286	<i>LDP2</i>	0	0	0	0
05301	<i>CRN1</i>	0	0	0	0
05306	<i>PTC701</i>	0	0	0	0
05529	<i>HAD5</i>	0	0	0	0
05567	<i>PPP3</i>	0	0	0	0
05568	<i>PRY1</i>	0	0	0	0
05892	<i>SHB17</i>	0	0	0	0
06064	<i>PTP1</i>	0	0	0	0
06065	<i>SAC101</i>	0	0	0	0
06122	<i>HAD6</i>	0	0	0	0
06132	<i>HAD8</i>	0	0	0	0
06141	<i>DUT101</i>	0	0	0	0
06232	<i>HPP1</i>	0	0	0	0
06236	<i>NGL3</i>	0	0	0	0
06251	<i>PPP4</i>	0	0	0	0

06418	<i>PTC6</i>	0	0	0	0
06499	<i>DPP101</i>	0	0	0	2
06587	<i>OCA2</i>	0	0	0	0
06647	<i>CDC1</i>	0	0	0	0
06698	<i>HAD9</i>	0	0	0	0
06966	<i>AKP1</i>	0	0	0	0
06967	<i>APH2</i>	0	0	0	0
06969	<i>HAD7</i>	0	0	0	0
07317	<i>INP5202</i>	0	0	0	0
07372	<i>OXK1</i>	0	0	-1	0
07434	<i>HAD3</i>	0	0	0	0
07547	<i>GPM1</i>	0	0	0	0
07629	<i>EPP1</i>	0	0	0	0
07692	<i>YND1</i>	0	0	0	0
07740	<i>HAD2</i>	0	0	0	0

[0138] 하기 표 6은 각 유전자의 결실이 교배 효율 및 독성 인자에 미치는 영향을 나타낸 것이다.

표 6

H99 ID	Name	Mating	Virulence factors		
		MAT	MEL	CAP	URE
00057	<i>FPP1</i>	0	0	0	3
00076	<i>NDX6</i>	0	0	0	0
00146	<i>PBY101</i>	-2	0	0	0
00182	<i>VPS29</i>	0	-1	0	2
00263	<i>PTP4</i>	0	0	0	0
00316	<i>HAM1</i>	0	0	0	0
00390	<i>YMR1</i>	0	0	0	0
00408	<i>PPH3</i>	0	0	0	0
00427	<i>PTC5</i>	0	0	0	0
00498	<i>CDC14</i>	0	0	0	0
00500	<i>PTC1</i>	1	0	0	0
00554	<i>ISCI</i>	0	0	0	0
00810	<i>HAD4</i>	0	0	0	0
01054	<i>SSU72</i>	-3	-1	0	0
01177	<i>NEM1</i>	-3	-2	1	3
01203	<i>YVH1</i>	-2	-1	0	-3
01254	<i>OCA101</i>	-3	0	0	0
01314	<i>PPP1</i>	0	0	0	0
01346	<i>HPP2</i>	0	0	-2	0
01357	<i>SDP101</i>	0	0	0	0
01436	<i>SIT4</i>	0	0	2	0
01496	<i>PPT1</i>	0	0	0	0
01498	<i>AKP2</i>	0	0	0	0
01518	<i>PMU1</i>	0	0	0	0
01519	<i>EEP1</i>	0	0	0	0
01532	<i>INP52</i>	0	0	0	0
01744	<i>HAD1</i>	-2	0	0	0
01823	<i>INM1</i>	0	0	0	0
01864	<i>NDX5</i>	0	0	-1	0

01877	<i>GUA1</i>	-3	-3	0	-3
01900	<i>NDX1</i>	0	0	0	0
01901	<i>NDX2</i>	0	0	0	0
02001	<i>INP5203</i>	0	0	0	0
02109	<i>INP5201</i>	-3	-3	3	3
02161	<i>ASP1</i>	0	0	0	0
02236	<i>PPG1</i>	-3	-3	0	3
02375	<i>FIG4</i>	0	0	1	0
02453	<i>PTP5</i>	0	0	0	-2
02470	<i>PPP2</i>	0	0	0	0
02487	<i>PHS1</i>	0	0	3	0
02490	<i>MRE11</i>	0	-1	0	0
02681	<i>APH3</i>	0	0	0	0
02772	<i>PMU101</i>	0	0	0	0
02944	<i>APH1</i>	0	0	0	0
02986	<i>YSA1</i>	0	0	0	0
03014	<i>CAX4</i>	0	1	0	0
03052	<i>PTC2</i>	-3	-3	0	0
03078	<i>NPP1</i>	0	0	0	0
03190	<i>CCR4</i>	-2	-1	2	3
03202	<i>CAC1</i>	-3	-3	-3	1
03222	<i>DBR1</i>	-3	-3	3	3
03262	<i>INM101</i>	0	0	0	0
03296	<i>SIW14</i>	-2	1	0	-1
03396	<i>NPY1</i>	0	0	0	0
03491	<i>NDX3</i>	0	0	0	0
03541	<i>PTC7</i>	0	0	0	0
03657	<i>LDP1</i>	0	0	0	0
03673	<i>PPZ1</i>	0	0	0	0
03679	<i>ACY1</i>	0	0	0	0
03765	<i>TPS2</i>	0	-2	0	1
03871	<i>LTP1</i>	0	0	0	0
03893	<i>SDP102</i>	0	0	-1	0
03949	<i>PHO13</i>	0	0	0	0
03963	<i>OCA1</i>	0	0	-1	0
03984	<i>YCH1</i>	0	0	0	0
03996	<i>GDA1</i>	-1	0	0	0
04049	<i>PPP5</i>	0	0	-1	0
04104	<i>AKP3</i>	0	0	0	0
04113	<i>PTP3</i>	0	0	0	0
04221	<i>FBP26</i>	-3	-3	0	0
04224	<i>PSR1</i>	0	-1	-2	0
04268	<i>APN2</i>	0	0	0	0
04354	<i>XPP1</i>	0	-1	0	2
04475	<i>HPP3</i>	0	0	0	0
04718	<i>PCD101</i>	0	0	0	0
04731	<i>PCD102</i>	0	0	1	0
04732	<i>PCD1</i>	0	0	0	0
04782	<i>PPU1</i>	0	0	0	0
04796	<i>CNA1</i>	-2	-3	2	2
04833	<i>TEP1</i>	0	0	0	0

04852	<i>NDX4</i>	0	0	0	0
05080	<i>CWH43</i>	0	0	-1	0
05155	<i>PTP2</i>	-3	-3	-2	0
05286	<i>LDP2</i>	0	0	0	0
05301	<i>CRN1</i>	2	0	0	0
05306	<i>PTC701</i>	0	0	0	0
05529	<i>HAD5</i>	0	0	0	0
05567	<i>PPP3</i>	0	0	0	0
05568	<i>PRY1</i>	0	0	0	0
05892	<i>SHB17</i>	0	0	0	0
06064	<i>PTP1</i>	0	0	0	0
06065	<i>SAC101</i>	0	0	0	0
06122	<i>HAD6</i>	0	0	0	0
06132	<i>HAD8</i>	0	0	0	0
06141	<i>DUT101</i>	0	0	0	0
06232	<i>HPP1</i>	0	0	0	0
06236	<i>NGL3</i>	0	0	-1	0
06251	<i>PPP4</i>	0	0	0	0
06418	<i>PTC6</i>	-1	0	0	0
06499	<i>DPP101</i>	0	0	0	0
06587	<i>OCA2</i>	0	0	0	0
06647	<i>CDC1</i>	0	0	2	0
06698	<i>HAD9</i>	0	0	0	0
06966	<i>AKP1</i>	0	0	0	0
06967	<i>APH2</i>	0	0	0	0
06969	<i>HAD7</i>	0	0	0	0
07317	<i>INP5202</i>	0	0	0	0
07372	<i>OXK1</i>	0	-2	0	0
07434	<i>HAD3</i>	0	0	0	0
07547	<i>GPM1</i>	0	0	0	0
07629	<i>EPP1</i>	0	0	0	0
07692	<i>YND1</i>	0	0	-2	0
07740	<i>HAD2</i>	0	0	0	0

[0140] 하기 표 7은 각 유전자의 결실이 삼투 스트레스에 미치는 영향을 확인한 결과이다.

표 7

H99 1D	Name	Osmotic/cation salt stress					
		KCR	NCR	SBR	KCS	NCS	SBS
00057	<i>FPP1</i>	0	0	0	0	0	0
00076	<i>NDX6</i>	0	0	0	0	0	0
00146	<i>PBY101</i>	0	0	0	0	0	0
00182	<i>VPS29</i>	0	0	0	0	0	0
00263	<i>PTP4</i>	0	0	0	0	0	0
00316	<i>HAM1</i>	0	0	0	0	0	0
00390	<i>YMR1</i>	0	0	0	0	0	0
00408	<i>PPH3</i>	0	0	0	0	0	0
00427	<i>PTC5</i>	0	0	0	0	0	0
00498	<i>CDC14</i>	0	0	0	0	0	0
00500	<i>PTC1</i>	0	0	0	0	0	0

00554	<i>ISC1</i>	0	-3	0	0	-3	0
00810	<i>HAD4</i>	0	0	0	0	0	0
01054	<i>SSU72</i>	-2	-3	-2	-1	-2	-1
01177	<i>NEM1</i>	-1	-3	-1	-1	-1	-1
01203	<i>YVH1</i>	0	0	0	0	0	0
01254	<i>OCA101</i>	0	0	0	0	0	0
01314	<i>PPP1</i>	0	0	0	0	0	0
01346	<i>HPP2</i>	0	0	0	0	0	0
01357	<i>SDP101</i>	0	0	0	0	0	0
01436	<i>SIT4</i>	0	0	0	0	0	0
01496	<i>PPT1</i>	0	0	0	0	0	0
01498	<i>AKP2</i>	0	0	0	0	0	0
01518	<i>PMU1</i>	0	0	0	0	0	0
01519	<i>EEP1</i>	0	0	0	0	0	0
01532	<i>INP52</i>	0	0	0	0	0	0
01744	<i>HAD1</i>	-1	-1	-1	0	0	0
01823	<i>INM1</i>	0	0	0	0	0	0
01864	<i>NDX5</i>	0	0	0	0	0	0
01877	<i>GUA1</i>	-3	-3	-3	-2	-2	-2
01900	<i>NDX1</i>	0	0	0	0	0	0
01901	<i>NDX2</i>	0	0	0	0	0	0
02001	<i>INP5203</i>	0	0	0	0	0	0
02109	<i>INP5201</i>	-2	-3	-1	-2	-2	-2
02161	<i>ASP1</i>	0	0	0	0	0	0
02236	<i>PPG1</i>	-1	-3	-1	0	-3	0
02375	<i>FIG4</i>	0	0	0	0	0	0
02453	<i>PTP5</i>	0	0	0	0	0	0
02470	<i>PPP2</i>	0	0	0	0	0	0
02487	<i>PHS1</i>	-2	-2	0	-2	-2	0
02490	<i>MRE11</i>	0	0	0	0	0	0
02681	<i>APH3</i>	0	0	0	0	0	0
02772	<i>PMU101</i>	0	0	0	0	0	0
02944	<i>APH1</i>	0	0	0	0	0	0
02986	<i>YSA1</i>	0	0	0	0	0	0
03014	<i>CAX4</i>	0	0	0	0	0	0
03052	<i>PTC2</i>	0	0	-1	0	0	0
03078	<i>NPP1</i>	0	0	0	0	0	0
03190	<i>CCR4</i>	0	0	0	0	0	0
03202	<i>CAC1</i>	0	0	0	0	0	0
03222	<i>DBR1</i>	-2	-2	-2	-2	-3	-2
03262	<i>INM101</i>	0	0	0	0	0	0
03296	<i>SIW14</i>	-1	-1	0	-1	-1	0
03396	<i>NPY1</i>	0	0	0	0	0	0
03491	<i>NDX3</i>	0	0	0	0	0	0
03541	<i>PTC7</i>	0	0	0	0	0	0
03657	<i>LDP1</i>	0	0	0	0	0	0
03673	<i>PPZ1</i>	0	-2	0	0	0	0
03679	<i>ACY1</i>	0	0	0	0	0	0
03765	<i>TPS2</i>	0	0	0	0	0	0
03871	<i>LTP1</i>	0	0	0	0	0	0
03893	<i>SDP102</i>	0	0	0	0	0	0

03949	<i>PHO13</i>	0	0	0	0	0	0
03963	<i>OCA1</i>	0	0	0	0	0	0
03984	<i>YCH1</i>	0	0	0	0	0	0
03996	<i>GDA1</i>	0	-2	-2	0	-3	-1
04049	<i>PPP5</i>	0	0	0	0	0	0
04104	<i>AKP3</i>	0	0	0	0	0	0
04113	<i>PTP3</i>	0	0	0	0	0	0
04221	<i>FBP26</i>	0	-1	-1	0	-1	-1
04224	<i>PSR1</i>	0	0	0	0	0	0
04268	<i>APN2</i>	0	0	0	0	0	0
04354	<i>XPP1</i>	0	0	0	0	0	0
04475	<i>HPP3</i>	0	0	0	0	0	0
04718	<i>PCD101</i>	0	0	0	0	0	0
04731	<i>PCD102</i>	0	0	0	0	0	0
04732	<i>PCD1</i>	0	0	0	0	0	0
04782	<i>PPU1</i>	0	0	0	0	0	0
04796	<i>CNA1</i>	-2	-3	-2	-1	-2	-2
04833	<i>TEP1</i>	0	0	0	0	0	0
04852	<i>NDX4</i>	0	0	0	0	0	0
05080	<i>CWH43</i>	0	0	0	0	0	0
05155	<i>PTP2</i>	-1	-1	-1	-1	-1	-1
05286	<i>LDP2</i>	0	0	0	0	0	0
05301	<i>CRN1</i>	0	0	0	0	0	0
05306	<i>PTC701</i>	0	0	0	0	0	0
05529	<i>HAD5</i>	0	0	0	0	0	0
05567	<i>PPP3</i>	0	0	0	0	0	0
05568	<i>PRY1</i>	0	0	0	0	0	0
05892	<i>SHB17</i>	0	0	0	0	0	0
06064	<i>PTP1</i>	0	0	0	0	0	0
06065	<i>SAC101</i>	0	0	0	0	0	0
06122	<i>HAD6</i>	0	0	0	0	0	0
06132	<i>HAD8</i>	0	0	0	0	0	0
06141	<i>DUT101</i>	0	0	0	0	0	0
06232	<i>HPP1</i>	0	0	0	0	0	0
06236	<i>NGL3</i>	0	0	0	0	0	0
06251	<i>PPP4</i>	0	0	0	0	0	0
06418	<i>PTC6</i>	0	-2	0	0	0	0
06499	<i>DPP101</i>	0	0	0	0	0	0
06587	<i>OCA2</i>	0	0	0	0	0	0
06647	<i>CDC1</i>	0	0	0	0	0	0
06698	<i>HAD9</i>	0	0	0	0	0	0
06966	<i>AKP1</i>	0	0	0	0	0	0
06967	<i>APH2</i>	0	0	0	0	0	0
06969	<i>HAD7</i>	0	0	0	0	0	0
07317	<i>INP5202</i>	0	0	0	0	0	0
07372	<i>OXK1</i>	1	0	0	0	0	0
07434	<i>HAD3</i>	0	0	0	0	0	0
07547	<i>GPM1</i>	0	0	0	0	0	0
07629	<i>EPP1</i>	0	0	0	0	0	0
07692	<i>YND1</i>	0	0	0	0	0	0
07740	<i>HAD2</i>	0	0	0	0	0	0

[0142]

하기 표 8은 각 유전자의 결실이 산화 스트레스에 미치는 영향을 확인한 결과이다.

표 8

[0143]

Oxidative stress					
H99 1D	Name	DIA	HPX	MD	TBH
00057	<i>FPP1</i>	0	0	0	0
00076	<i>NDX6</i>	0	0	0	0
00146	<i>PBY101</i>	0	0	0	0
00182	<i>VPS29</i>	0	0	0	0
00263	<i>PTP4</i>	0	0	0	0
00316	<i>HAM1</i>	0	0	0	0
00390	<i>YMR1</i>	0	0	0	0
00408	<i>PPH3</i>	-1	0	0	0
00427	<i>PTC5</i>	0	0	0	0
00498	<i>CDC14</i>	0	0	0	0
00500	<i>PTC1</i>	0	0	0	0
00554	<i>ISC1</i>	-2	0	0	-1
00810	<i>HAD4</i>	0	0	0	0
01054	<i>SSU72</i>	-2	-1	-1	-1
01177	<i>NEM1</i>	-2	-2	-1	-3
01203	<i>YVH1</i>	0	-1	-1	-1
01254	<i>OCA101</i>	0	0	1	-1
01314	<i>PPP1</i>	0	0	0	0
01346	<i>HPP2</i>	0	0	0	0
01357	<i>SDP101</i>	0	0	0	0
01436	<i>SIT4</i>	-1	-1	-1	-1
01496	<i>PPT1</i>	-1	0	0	0
01498	<i>AKP2</i>	0	0	0	0
01518	<i>PMU1</i>	0	0	0	0
01519	<i>EEP1</i>	0	0	0	0
01532	<i>INP52</i>	0	0	0	0
01744	<i>HAD1</i>	-1	0	-1	0
01823	<i>INM1</i>	0	0	0	0
01864	<i>NDX5</i>	0	0	0	0
01877	<i>GUA1</i>	0	-2	-1	-1
01900	<i>NDX1</i>	0	0	0	0
01901	<i>NDX2</i>	0	0	0	0
02001	<i>INP5203</i>	0	0	0	0
02109	<i>INP5201</i>	-2	-2	-2	-2
02161	<i>ASP1</i>	0	0	0	0
02236	<i>PPG1</i>	-3	-1	-1	-1
02375	<i>FIG4</i>	0	0	0	0
02453	<i>PTP5</i>	0	-2	0	0
02470	<i>PPP2</i>	0	0	0	0
02487	<i>PHS1</i>	-3	-1	0	-3
02490	<i>MRE11</i>	-1	-2	0	-1
02681	<i>APH3</i>	0	0	0	0
02772	<i>PMU101</i>	0	0	0	0
02944	<i>APH1</i>	0	0	0	0

02986	<i>YSA1</i>	0	0	0	0
03014	<i>CAX4</i>	0	0	0	0
03052	<i>PTC2</i>	-1	0	-1	-1
03078	<i>NPP1</i>	0	0	0	0
03190	<i>CCR4</i>	-1	-1	0	-2
03202	<i>CAC1</i>	1	-1	0	-1
03222	<i>DBR1</i>	-1	-1	-1	-2
03262	<i>INM101</i>	0	0	0	0
03296	<i>SIW14</i>	-1	0	0	-2
03396	<i>NPY1</i>	0	0	0	0
03491	<i>NDX3</i>	0	0	0	0
03541	<i>PTC7</i>	0	0	0	0
03657	<i>LDP1</i>	0	0	0	0
03673	<i>PPZ1</i>	1	-2	0	-1
03679	<i>ACY1</i>	0	0	0	0
03765	<i>TPS2</i>	0	0	0	1
03871	<i>LTP1</i>	0	0	0	0
03893	<i>SDP102</i>	0	0	0	0
03949	<i>PHO13</i>	0	0	0	0
03963	<i>OCA1</i>	-1	0	0	-2
03984	<i>YCH1</i>	0	0	0	0
03996	<i>GDA1</i>	-1	0	0	0
04049	<i>PPP5</i>	0	0	0	0
04104	<i>AKP3</i>	0	0	0	0
04113	<i>PTP3</i>	0	0	0	0
04221	<i>FBP26</i>	-3	0	-2	0
04224	<i>PSR1</i>	-1	0	0	0
04268	<i>APN2</i>	0	0	0	0
04354	<i>XPP1</i>	0	0	0	0
04475	<i>HPP3</i>	0	0	0	0
04718	<i>PCD101</i>	0	0	0	0
04731	<i>PCD102</i>	0	0	0	0
04732	<i>PCD1</i>	0	0	0	0
04782	<i>PPU1</i>	0	0	0	0
04796	<i>CNA1</i>	-3	0	0	-1
04833	<i>TEP1</i>	0	0	0	0
04852	<i>NDX4</i>	0	0	0	0
05080	<i>CWH43</i>	0	0	0	0
05155	<i>PTP2</i>	-3	0	-1	-1
05286	<i>LDP2</i>	0	0	0	0
05301	<i>CRN1</i>	0	0	0	0
05306	<i>PTC701</i>	0	0	0	0
05529	<i>HAD5</i>	0	0	0	0
05567	<i>PPP3</i>	0	0	0	0
05568	<i>PRY1</i>	0	0	0	0
05892	<i>SHB17</i>	0	0	0	0
06064	<i>PTP1</i>	0	0	0	0
06065	<i>SAC101</i>	0	0	0	0
06122	<i>HAD6</i>	0	0	0	0
06132	<i>HAD8</i>	0	0	0	0
06141	<i>DUT101</i>	0	0	0	0

06232	<i>HPP1</i>	0	0	0	0
06236	<i>NGL3</i>	0	0	0	0
06251	<i>PPP4</i>	0	0	0	0
06418	<i>PTC6</i>	-1	0	0	-1
06499	<i>DPP101</i>	0	0	0	0
06587	<i>OCA2</i>	0	0	0	0
06647	<i>CDC1</i>	0	0	0	0
06698	<i>HAD9</i>	0	0	0	0
06966	<i>AKP1</i>	0	0	0	0
06967	<i>APH2</i>	0	0	0	0
06969	<i>HAD7</i>	0	0	0	0
07317	<i>INP5202</i>	0	0	0	0
07372	<i>OXK1</i>	-2	0	-1	0
07434	<i>HAD3</i>	0	0	0	0
07547	<i>GPM1</i>	0	0	0	0
07629	<i>EPP1</i>	0	0	0	0
07692	<i>YND1</i>	0	0	0	0
07740	<i>HAD2</i>	0	0	0	0

[0144] 하기 표 9는 유전자 결실이 유전독성, ER 스트레스, 중금속 스트레스, 세포벽/막 스트레스에 미치는 영향을 확인한 결과이다.

표 9

H99 1D	Name	Genotoxic stress		ER stress		Heavy metal	Cell wall/membrane stress		
		HU	MMS	TM	DTT		CFW	CR	SDS
00057	<i>FPP1</i>	0	0	0	0	0	0	0	0
00076	<i>NDX6</i>	0	0	0	0	0	0	0	0
00146	<i>PBY101</i>	0	0	1	0	0	0	0	0
00182	<i>VPS29</i>	0	0	-1	-1	-2	0	0	-2
00263	<i>PTP4</i>	0	0	0	0	0	0	0	0
00316	<i>HAM1</i>	0	0	0	0	0	0	0	0
00390	<i>YMR1</i>	0	0	0	0	-1	0	0	-1
00408	<i>PPH3</i>	0	-2	0	0	0	0	0	0
00427	<i>PTC5</i>	0	0	0	0	0	0	0	0
00498	<i>CDC14</i>	0	0	0	0	0	0	0	0
00500	<i>PTC1</i>	0	0	0	0	0	0	0	0
00554	<i>ISC1</i>	-1	0	0	-1	-1	0	0	0
00810	<i>HAD4</i>	0	-2	0	0	0	0	0	0
01054	<i>SSU72</i>	-3	-1	0	-3	-1	-1	-1	-2
01177	<i>NEM1</i>	-3	-3	0	-2	-1	-2	-2	-2
01203	<i>YVH1</i>	-2	-3	1	-1	0	0	0	-2
01254	<i>OCA101</i>	-1	0	0	-2	1	0	0	0
01314	<i>PPP1</i>	0	0	0	0	0	0	0	0
01346	<i>HPP2</i>	0	0	0	0	0	0	0	0
01357	<i>SDP101</i>	0	0	0	0	0	0	0	0
01436	<i>SIT4</i>	-2	-1	2	0	1	-1	-1	1
01496	<i>PPT1</i>	0	0	0	0	0	0	0	0
01498	<i>AKP2</i>	0	0	0	0	0	0	0	0
01518	<i>PMU1</i>	0	0	0	0	0	0	0	0

01519	<i>EEP1</i>	0	0	0	0	0	0	0	0
01532	<i>INP52</i>	0	0	0	0	0	0	0	0
01744	<i>HAD1</i>	0	0	1	0	0	-1	-1	-3
01823	<i>INM1</i>	0	0	0	0	0	0	0	0
01864	<i>NDX5</i>	0	0	0	0	0	0	0	0
01877	<i>GUA1</i>	0	0	0	-1	0	0	0	-3
01900	<i>NDX1</i>	0	0	0	0	-1	0	0	-1
01901	<i>NDX2</i>	0	0	0	0	0	0	0	0
02001	<i>INP5203</i>	0	0	0	0	0	0	0	0
02109	<i>INP5201</i>	-2	-2	2	-1	1	-2	-2	-2
02161	<i>ASP1</i>	0	0	0	0	0	0	0	0
02236	<i>PPG1</i>	-3	-3	-3	0	0	-2	-2	-3
02375	<i>FIG4</i>	0	0	0	0	-1	0	0	0
02453	<i>PTP5</i>	0	0	0	0	-1	0	0	0
02470	<i>PPP2</i>	0	0	1	0	0	0	0	1
02487	<i>PHS1</i>	-3	0	0	-2	-1	-3	-3	-2
02490	<i>MRE11</i>	-3	-3	-1	-1	-1	0	0	0
02681	<i>APH3</i>	0	0	0	0	0	0	0	0
02772	<i>PMU101</i>	0	0	0	0	0	0	0	0
02944	<i>APH1</i>	0	0	0	0	0	0	0	0
02986	<i>YSA1</i>	0	0	0	0	0	0	0	0
03014	<i>CAX4</i>	0	0	0	0	0	0	0	0
03052	<i>PTC2</i>	-1	-2	0	-1	-1	0	0	1
03078	<i>NPP1</i>	0	0	0	0	0	0	0	0
03190	<i>CCR4</i>	-2	0	3	-1	0	0	0	-1
03202	<i>CAC1</i>	-1	0	2	-1	0	0	0	1
03222	<i>DBR1</i>	-2	-2	2	0	-2	-1	-1	-3
03262	<i>INM101</i>	0	0	0	0	0	0	0	0
03296	<i>SIW14</i>	-3	-2	-1	-1	0	-1	-1	-2
03396	<i>NPY1</i>	0	0	0	0	0	0	0	0
03491	<i>NDX3</i>	0	0	0	0	0	0	0	0
03541	<i>PTC7</i>	0	0	0	0	0	0	0	0
03657	<i>LDP1</i>	0	0	0	0	0	0	0	0
03673	<i>PPZ1</i>	-1	-1	0	0	-2	0	-1	1
03679	<i>ACY1</i>	0	0	0	0	0	0	0	0
03765	<i>TPS2</i>	0	0	-3	0	0	0	0	-3
03871	<i>LTP1</i>	0	0	0	0	0	0	0	0
03893	<i>SDP102</i>	0	0	0	0	0	0	0	1
03949	<i>PHO13</i>	0	0	0	0	0	0	0	0
03963	<i>OCA1</i>	-2	0	-1	0	0	0	0	-1
03984	<i>YCH1</i>	0	0	0	0	0	0	0	0
03996	<i>GD41</i>	-1	0	-2	-2	-1	0	0	-2
04049	<i>PPP5</i>	0	0	0	0	0	0	0	0
04104	<i>AKP3</i>	0	0	0	0	0	0	0	0
04113	<i>PTP3</i>	0	0	-2	0	0	0	0	-1
04221	<i>FBP26</i>	-1	0	0	-1	0	-1	-1	-3
04224	<i>PSR1</i>	0	0	0	0	1	0	0	-2
04268	<i>APN2</i>	0	-1	0	-1	0	0	0	0
04354	<i>XPP1</i>	0	-1	0	0	0	-1	-1	-1
04475	<i>HPP3</i>	0	0	0	0	0	0	0	0
04718	<i>PCD101</i>	0	0	0	0	0	0	0	0

04731	<i>PCD102</i>	0	0	0	0	0	0	0	0
04732	<i>PCD1</i>	0	0	0	0	0	0	0	0
04782	<i>PPU1</i>	0	0	0	0	0	0	0	0
04796	<i>CNA1</i>	-3	0	-3	-3	-1	-3	-3	-3
04833	<i>TEP1</i>	0	0	0	0	0	0	0	0
04852	<i>NDX4</i>	0	0	0	0	0	0	0	0
05080	<i>CWH43</i>	0	0	0	0	0	0	0	0
05155	<i>PTP2</i>	-2	-1	-2	-1	-2	-1	-2	0
05286	<i>LDP2</i>	0	0	1	-2	1	0	0	0
05301	<i>CRN1</i>	0	0	0	0	0	0	0	0
05306	<i>PTC701</i>	0	0	0	0	0	0	0	0
05529	<i>HAD5</i>	0	0	0	0	0	0	0	0
05567	<i>PPP3</i>	0	0	0	0	0	0	0	0
05568	<i>PRY1</i>	0	0	0	0	0	0	0	0
05892	<i>SHB17</i>	0	0	0	0	0	0	0	0
06064	<i>PTP1</i>	0	0	0	0	-2	0	0	1
06065	<i>SAC101</i>	0	0	0	0	0	0	0	0
06122	<i>HAD6</i>	0	0	0	0	0	0	0	0
06132	<i>HAD8</i>	0	0	0	0	0	0	0	0
06141	<i>DUT101</i>	0	0	0	0	0	0	0	0
06232	<i>HPP1</i>	0	0	0	0	0	0	0	0
06236	<i>NGL3</i>	0	0	0	0	0	0	0	0
06251	<i>PPP4</i>	0	0	0	0	0	0	0	0
06418	<i>PTC6</i>	0	0	0	0	0	0	0	-1
06499	<i>DPP101</i>	0	0	0	0	0	0	0	0
06587	<i>OCA2</i>	0	0	0	0	0	0	0	0
06647	<i>CDC1</i>	0	0	-1	0	0	0	0	-1
06698	<i>HAD9</i>	0	0	0	0	0	0	0	0
06966	<i>AKP1</i>	0	0	0	0	0	0	0	0
06967	<i>APH2</i>	0	0	0	0	0	0	0	0
06969	<i>HAD7</i>	0	0	0	0	0	0	0	0
07317	<i>INP5202</i>	0	0	0	0	2	0	0	-1
07372	<i>OXK1</i>	0	1	2	-1	1	0	0	-1
07434	<i>HAD3</i>	0	0	0	0	0	0	0	0
07547	<i>GPM1</i>	0	0	0	0	0	0	0	0
07629	<i>EPP1</i>	0	0	0	0	0	0	0	0
07692	<i>YND1</i>	0	0	-1	0	3	0	0	-1
07740	<i>HAD2</i>	0	0	0	0	0	0	0	0

[0146] 하기 표 10은 유전자 결설이 항진균제 감수성에 미치는 영향을 확인한 결과이다.

표 10

		Antifungal drugs susceptibility			
H99 ID	Name	AMB	FCZ	5FC	FDX
00057	<i>FPP1</i>	0	1	0	0
00076	<i>NDX6</i>	0	0	0	0
00146	<i>PBY101</i>	0	1	0	0
00182	<i>VPS29</i>	0	0	0	0
00263	<i>PTP4</i>	0	0	0	0
00316	<i>HAM1</i>	0	0	0	0

00390	<i>YMR1</i>	-1	0	0	-1
00408	<i>PPH3</i>	0	-1	0	0
00427	<i>PTC5</i>	0	0	0	0
00498	<i>CDC14</i>	0	0	0	0
00500	<i>PTC1</i>	0	-1	0	0
00554	<i>ISC1</i>	-2	0	0	-2
00810	<i>HAD4</i>	0	0	0	0
01054	<i>SSU72</i>	-1	0	-1	-3
01177	<i>NEM1</i>	-1	-3	-2	-3
01203	<i>YVH1</i>	0	0	0	-2
01254	<i>OCA101</i>	0	3	0	-1
01314	<i>PPP1</i>	0	0	0	0
01346	<i>HPP2</i>	0	1	0	1
01357	<i>SDP101</i>	0	0	0	0
01436	<i>SIT4</i>	-1	0	-3	-2
01496	<i>PPT1</i>	0	0	0	0
01498	<i>AKP2</i>	0	0	0	0
01518	<i>PMU1</i>	0	0	0	0
01519	<i>EEP1</i>	0	0	0	0
01532	<i>INP52</i>	0	0	0	0
01744	<i>HAD1</i>	-1	0	-1	0
01823	<i>INM1</i>	0	1	0	0
01864	<i>NDX5</i>	0	0	0	0
01877	<i>GUA1</i>	-3	0	-3	-3
01900	<i>NDX1</i>	0	0	0	0
01901	<i>NDX2</i>	0	0	0	0
02001	<i>INP5203</i>	0	0	0	0
02109	<i>INP5201</i>	-2	-2	-2	-2
02161	<i>ASP1</i>	0	0	0	0
02236	<i>PPG1</i>	-1	-2	-3	-3
02375	<i>FIG4</i>	0	0	0	0
02453	<i>PTP5</i>	0	0	0	0
02470	<i>PPP2</i>	0	0	1	0
02487	<i>PHS1</i>	-3	-3	0	-1
02490	<i>MRE11</i>	0	-1	-1	0
02681	<i>APH3</i>	0	0	0	0
02772	<i>PMU101</i>	0	0	0	0
02944	<i>APH1</i>	0	0	0	0
02986	<i>YSA1</i>	0	0	0	0
03014	<i>CAX4</i>	0	0	0	0
03052	<i>PTC2</i>	0	0	-2	-3
03078	<i>NPP1</i>	0	0	0	1
03190	<i>CCR4</i>	-2	-1	3	-1
03202	<i>CAC1</i>	0	-1	0	1
03222	<i>DBR1</i>	-2	-1	-2	0
03262	<i>INM101</i>	0	0	0	0
03296	<i>SIW14</i>	0	-3	0	-1
03396	<i>NPY1</i>	0	0	0	0
03491	<i>NDX3</i>	0	0	0	0
03541	<i>PTC7</i>	0	0	0	0
03657	<i>LDP1</i>	0	0	0	0

03673	<i>PPZ1</i>	0	0	1	-2
03679	<i>ACY1</i>	0	0	0	0
03765	<i>TPS2</i>	0	0	-1	1
03871	<i>LTP1</i>	0	0	0	0
03893	<i>SDP102</i>	0	0	0	-1
03949	<i>PHO13</i>	0	0	0	0
03963	<i>OCA1</i>	0	-2	0	-2
03984	<i>YCH1</i>	0	0	0	0
03996	<i>GDA1</i>	-1	0	-3	-2
04049	<i>PPP5</i>	0	0	0	1
04104	<i>AKP3</i>	0	0	0	0
04113	<i>PTP3</i>	0	-2	0	0
04221	<i>FBP26</i>	-2	1	-1	-1
04224	<i>PSR1</i>	0	0	0	3
04268	<i>APN2</i>	0	0	-2	0
04354	<i>XPP1</i>	0	0	0	1
04475	<i>HPP3</i>	0	0	0	0
04718	<i>PCD101</i>	0	0	0	0
04731	<i>PCD102</i>	0	0	0	0
04732	<i>PCD1</i>	0	0	0	0
04782	<i>PPU1</i>	0	0	0	0
04796	<i>CNA1</i>	0	-2	-3	-2
04833	<i>TEP1</i>	0	0	0	0
04852	<i>NDX4</i>	0	0	0	0
05080	<i>CWH43</i>	0	0	0	0
05155	<i>PTP2</i>	0	-2	-2	-3
05286	<i>LDP2</i>	0	0	0	0
05301	<i>CRN1</i>	0	0	0	0
05306	<i>PTC701</i>	0	0	0	0
05529	<i>HAD5</i>	0	0	0	0
05567	<i>PPP3</i>	0	0	0	0
05568	<i>PRY1</i>	0	0	0	0
05892	<i>SHB17</i>	0	0	0	0
06064	<i>PTP1</i>	0	0	0	0
06065	<i>SAC101</i>	0	0	0	0
06122	<i>HAD6</i>	0	0	0	0
06132	<i>HAD8</i>	0	0	0	0
06141	<i>DUT101</i>	0	0	0	0
06232	<i>HPP1</i>	0	0	0	0
06236	<i>NGL3</i>	0	0	0	0
06251	<i>PPP4</i>	0	0	0	0
06418	<i>PTC6</i>	0	-2	0	-2
06499	<i>DPP101</i>	0	0	0	0
06587	<i>OCA2</i>	0	0	0	0
06647	<i>CDC1</i>	0	0	0	-1
06698	<i>HAD9</i>	0	0	0	0
06966	<i>AKP1</i>	0	0	0	0
06967	<i>APH2</i>	0	0	0	0
06969	<i>HAD7</i>	0	0	0	0
07317	<i>INP5202</i>	-2	-1	0	-1
07372	<i>OKX1</i>	0	0	0	-1

07434	<i>HAD3</i>	0	0	0	0
07547	<i>GPM1</i>	0	0	0	0
07629	<i>EPP1</i>	0	0	0	0
07692	<i>YND1</i>	0	0	-1	-2
07740	<i>HAD2</i>	0	0	0	0

[0148] 표현형 분석에 따르면 114개 유전자 중 60개의 유전자 변이(약 53%, 60/114)에서 적어도 하나의 식별가능한 표현형을 나타내었다. 표현형 변화를 나타내는 포스파타아제 중 43개 유전자(약 72%, 43/60)는 종전에 기능적으로 분석된 바가 없었다. 포스파타아제 현상 데이터를 해당 BLAST 매트릭스 데이터와 비교한 결과, 실시예 2에서 파쇄(disruption)할 수 없었던 25개의 추정 필수 포스파타아제와 복수 표현형 특성(multiple phenotypic traits)을 나타내는 포스파타아제는 진화적 보존 정도가 상대적으로 더 높다는 점을 발견했다.

[0149] 또한, 야생형 *C. neoformans* 균주 H99S에 의한 감염 3일, 7일, 14일 및 21 일 후(days post-infection, dpi) 수득된 조직들(폐, 뇌, 비장 및 신장)에서 각 포스파타아제 유전자의 발현 수준을 평가하여 뮤린모델 감염 동안 139 개의 포스파타아제 유전자 각각의 전사 조절 양상을 모니터링했다. 전사 양상 모니터링을 위해 139개의 새로운 포스파타아제 프로브 및 nCounter 유전자 발현 프로파일이 사용되었다. 각 포스파타아제의 생체 내 발현 수준은 8 개의 하우스 키핑 유전자의 평균 생체 내 발현 수준으로 정규화되었고 기초 성장 조건 하의 수준과 비교되었다.

[0150] 균주 H99S에 의한 초기 감염 동안(감염 3 내지 7일 후, 3-7 dpi) 폐, 뇌, 신장 및 비장에서 많은 수의 포스파타아제 유전자의 생체 내 발현이 증가하였고, 표현 형질에 관여하는 포스파타아제의 유전자 각각의 생체 내 발현도 변화하였다. 일반적으로 비강 내 흡입 감염 모델의 초기 감염 단계에서는 기준의 곰팡이 부담 분석(fungal burden assay)의 검출 한계로 인해 cryptococcal CFU가 폐를 제외한 뇌 및 기타 기관에서 거의 검출되지 않는다. 그러나 본 연구에서는 증폭없이 단일 유전자 전사체를 검출할 수 있는 Nanostring nCounter 플랫폼을 사용했다. 따라서, 초기 감염 기간 동안 적은 수의 *C. neoformans* 세포가 폐에서 다른 기관으로 혈류 적으로 전파되면 phosphatase 전사체가 감염 후 3 내지 7일(dpi)에 검출될 수 있다.

#### 실시예 4: *C. neoformans*의 병원성을 지배하는 포스파타아제

[0153] *C. neoformans*의 병원성에 필요한 포스파타아제를 확인하기 위해 *Galleria mellonella* 유충 모델을 이용한 병독성(virulence) 분석 및 (2) 시그니처 태그 돌연변이유발(signature-tagged mutagenesis, STM)에 기반한 쥐과(murine) 흡입 감염 모델의 폐 및 뇌에 대한 감염성 분석을 수행하여 대규모 감염성 및 독성 분석을 실시했다.

[0154] 곤충에 대한 병독성 분석 결과 23개의 포스파타아제 유전자(*CNA1*, *TPS2*, *CAC1*, *PTP2*, *VPS29*, *PPH3*, *GDA1*, *YVH1*, *SSU72*, *PHS1*, *SIW14*, *DBR1*, *PSR1*, *YND1*, *INP5201*, *INP5202*, *HAD1*, *SIT4*, *PPG1*, *GUA1*, *NEM1*, *FBP26*, *OCA101*)가 결실되면 치사율이 감소하였다. 따라서 이를 유전자는 병독성과 관련된 것으로 확인되었다. (도 2 참고)

[0155] STM 기반 쥐의 폐 및 뇌 감염성 분석 결과 24개의 포스파타아제 유전자(*TPS2*, *CNA1*, *VPS29*, *PHS1*, *SIW14*, *CAC1*, *SSU72*, *PPG1*, *INP5201*, *CCR4*, *DBR1*, *GUA1*, *YMR1*, *NEM1*, *OCA1*, *PTP2*, *FBP26*, *PSR1*, *MRE11*, *CDC1*, *XPP1*, *SDP102*, *SDP101*, *OCA101*)가 폐와 뇌에서 ste50 보다 STM score가 낮아졌으므로 감염성과 관련된 것으로 확인되었으며, 이 중 67% (16/24, *TPS2*, *CNA1*, *VPS29*, *PHS1*, *SIW14*, *CAC1*, *SSU72*, *PPG1*, *INP5201*, *DBR1*, *GUA1*, *NEM1*, *PTP2*, *FBP26*, *PSR1*, *OCA101*)는 곤충 모델의 병독성 분석에서 확인된 유전자와 중복되었다. (도 3 참고, Ire1은 감염성이 낮아진 것에 대한 control이고, ste50은 WT을 대표함)

[0156] 이 중 *CNA1* (칼시뉴린의 축매 서브 유닛), *CAC1* (adenylyl cyclase), *HAD1* (할로산 탈할로제나제) 및 *PTP2* (포스포티로신 포스파타아제)는 종전 연구에서 *C. neoformans*의 병독성과 연관된 것으로 보고된 바 있기 때문에 상기 분석 결과의 신뢰성을 높여준다.

[0157] 곤충 및 쥐과 흡입 감염 모델에서 병원성을 나타낸 31개의 병원성 관련 포스파타아제 돌연변이(*CNA1*, *TPS2*, *CAC1*, *PTP2*, *VPS29*, *PPH3*, *GDA1*, *YVH1*, *SSU72*, *PHS1*, *SIW14*, *DBR1*, *PSR1*, *YND1*, *INP5201*, *INP5202*, *HAD1*, *SIT4*, *PPG1*, *GUA1*, *NEM1*, *FBP26*, *OCA101*, *CCR4*, *YMR1*, *OCA1*, *MRE11*, *CDC1*, *XPP1*, *SDP102*, *SDP101*) 중 SDP101을 제외한 30 개는 적어도 하나의 표현형 특성을 보였으며, 이 중 상당수는 다른 감염 조직보다 폐에서 더 높은 발현을 나타냈다.

- [0158] 31개 유전자의 In vitro 표현형 확인결과는 다음과 같다. 막 완전성(membrane integrity) (26/31; 84 %), DNA 손상 반응 (20/31; 65 %), 멜라닌 생성 (18/31; 58 %), 세포벽 완전성(cell wall integrity) (13/31; 42 %) 및 37 °C에서 성장 (14/31; 45 %).
- [0159] 그러나, *sdp101Δ* 변이는 in vitro 표현형을 나타내지 않았다. SDP101과 유사한 이중 특이성 MAPK 포스파타아제인 *SDP102*의 결실은 약간의 표현형 변경과 감염성 감소를 초래하므로, *SDP101* 및 *SDP102*는 C. 네오포르만스의 병원성에 중복된 역할(redundant role)을 할 수 있음을 시사한다. *SDP101* 및 *SDP102* 사이의 기능적 상관 관계를 확인하기 위해 *sdp101Δ sdp102Δ* 이중 돌연변이 균주를 제작하려고 시도했지만 성공하지 못했다.
- [0160] 마찬가지로 *INP5201*은 *INP5202*와 유사하지만 *inp5201Δ inp5202Δ* 이중 돌연변이를 제작하지 못했다. 이는 *inp5201Δ* 돌연변이가 30°C에서 심각한 성장 결함을 보였기 때문일 수 있다.
- [0161] 따라서 *SDP101* 및 *SDP102*의 변이, 그리고 *INP5201* 및 *INP5202*의 변이는 합성 치사 관계(synthetic lethal relationship)를 가질 수 있다.
- [0162] 반대로, *OCA1*과 *OCA101*도 유사하지만, 성공적으로 *oca1Δ oca101Δ* 이중 돌연변이를 얻었다. 그러나 단일 돌연변이와 비교하여 *oca1Δ oca101Δ* 이중 돌연변이에서 부가되거나 시너지를 나타내는 표현형 특성을 찾지 못했다. 따라서 *OCA1* 및 *OCA101*은 C. 네오포르만스의 병원성에 독립적으로 기여할 수 있다.
- [0163] 31 개의 병원성 관련 포스파타아제 중 5종(*TPS2*, *SIW14*, *HAD1*, *OCA101*, 및 *OCA1*)은 인간에서 명백한 상동체(ortholog)가 없다. 따라서 상기 5종의 병원성 관련 포스파타아제는 우수한 크립토코커스 특이적 항진균제(anti-cryptococcal) 타겟이 될 수 있다. *TPS2*, *HAD1* 및 *OCA1*은 칸디다스 알비칸스(*C. albicans*)의 병독성에도 중요한 역할을 하므로, *TPS2*, *HAD1* 및 *OCA1*를 표적으로 하는 약물은 광범위한 항진균 활성을 가질 수 있다.
- [0165] **실시예 5: 포유류 체온에서의 성장에 관여하는 포스파타아제**
- [0166] 실시예 4에서 선별된 31종의 C. 네오포르만스의 병원성 관련 포스파타아제 (*CNA1*, *TPS2*, *CAC1*, *PTP2*, *VPS29*, *PPH3*, *GDA1*, *YVH1*, *SSU72*, *PHS1*, *SIW14*, *DBR1*, *PSR1*, *YND1*, *INP5201*, *INP5202*, *HAD1*, *SIT4*, *PPG1*, *GUA1*, *NEM1*, *FBP26*, *OCA101*, *CCR4*, *YMR1*, *OCA1*, *MRE11*, *CDC1*, *XPP1*, *SDP102*, *SDP101*)의 병리학적 기능을 규명하였다.
- [0167] 첫번째로, 포유류 체온에 대한 내열성은 인간 곰팡이 병원체의 중요한 병독성 인자이므로 30°C 및 37°C에서 각 돌연변이의 성장을 정량적으로 측정했다. *gua1Δ*, *yvh1Δ*, *fbp26Δ*, *siw14Δ*, *dbr1Δ*, *ccr4Δ*, *ppg1Δ*, *nem1Δ* 및 *inp5201Δ* 돌연변이체는 30°C 및 37°C 모두 성장이 저해되었다. (상기 표 5 및 도 4 참고) *ccr4Δ*, *ppg1Δ*, *nem1Δ*, *dbr1Δ* 및 *inp5201Δ* 돌연변이체는 30°C 보다 37°C에서 더 많은 성장 결함을 나타냈다. *ssu72Δ*, *phs1Δ*, *mre11Δ*, *tps2Δ* 및 *cna1Δ* 돌연변이체는 37°C에서 성장이 저해되었으나 30°C에서는 영향을 받지 않았다.
- [0168] 총 14 개의 포스파타아제 돌연변이체(*gua1Δ*, *yvh1Δ*, *phs1Δ*, *nem1Δ*, *cna1Δ*, *ppg1Δ*, *siw14Δ*, *inp5201Δ*, *ccr4Δ*, *dbr1Δ*, *ssu72Δ*, *tps2Δ*, *mre11Δ*, *fbp26Δ*)는 WT과 비교하면 37°C에서 성장이 저하되었고, 뮤런 감염성 또는 곤충 독성이 감소되었다. 이 중 *ppg1Δ*, *cna1Δ* 및 *tps2Δ* 돌연변이체는 37°C에서 가장 심각한 성장 결함을 나타냈고, 배양 기간을 더 연장하여도 WT 수준으로 성장하지 않았다. *ppg1Δ*, *cna1Δ* 및 *tps2Δ* 돌연변이체는 폐 및 뇌의 STM 값이 크게 감소한 것으로 나타났다. *oca101Δ* 돌연변이체는 30°C에서 다소 성장 장애를 나타냈지만 37°C에서는 성장이 저해되지 않았으므로, *Oca101*의 *C. neoformans* 내에서 병원성 관련 역할은 온도와 관련이 없음을 나타낸다. 상기 내용을 종합해볼 때, C. 네오포르만스의 37°C에서의 생장 능력이 병원성과 상당히 밀접한 관계가 있음을 시사한다.
- [0170] **실시예 6: 멜라닌 및 캡슐 생산에 관여하는 포스파타아제**
- [0171] C. 네오포르만스는 병독성 인자로서 폴리페놀 색소인 멜라닌 및 다당류(polysaccharide) 캡슐을 가지고 있으며 둘다 항식세포(antiphagocytic) 활성을 기여한다. 이 중 멜라닌 색소는 활성산소종 소거 활성(scavenging activity)에 의해 항산화제 역할도 한다.
- [0173] 6-1. 멜라닌 생산 관여 포스파타아제
- [0174] Niger seed medium에서 멜라닌 생성에 결함이 있는 19 개의 포스파타아제 돌연변이체 중 13 개의 돌연변이체(*mre11Δ*, *ccr4Δ*, *vps29Δ*, *yvh1Δ*, *fbp26Δ*, *inp5201Δ*, *cac1Δ*, *ptp2Δ*, *ptc2Δ*, *dbr1Δ*, *ppg1Δ*, *nem1Δ* 및 *gua1Δ*)는 L-DOPA 및 에피네프린 배지에서도 멜라닌 생성 결함을 나타냈다.(표 6 및 도 5 참고)
- [0175] *ptc2Δ* 돌연변이를 제외한 나머지 돌연변이는 감염성 또는 병독성이 감소하였으며, 이는 멜라닌 생성이 병원성

과 강한 상관 관계가 있음을 시사한다.

[0176] 대조적으로, *SIW14* 결실은 모든 멜라닌 유도 배지에서 멜라닌 생성을 증가 시켰지만(도 5) 오히려 병독성을 약화시켰으므로(도 2), *SIW14*가 매개하는 다른 세포 기능이 병독성을 촉진할 수 있음을 시사한다.

[0177] 다음으로 상기 포스파타아제들이 영양 결핍 조건 하에서 *C. 네오포르만스*의 멜라닌 생산을 위한 속도 제한 효소인 laccase를 코딩하는 *LAC1* 유전자 발현 유도에 직접 관여하는지 여부를 조사했다.

[0178] 도 6에 따르면, *PTP2*, *CCR4*, *INP5201*, *CAC1*, *DBR1*, *FBP26*, *GUA1*, *NEM1* 및 *PPG1*의 결실은 영양 결핍시 *LAC1* 유전자의 발현 유도 정도가 현저하게 감소되었고, 특히 *PTP2*, *CCR4*, *CAC1* 및 *PPG1*의 결실은 *LAC1* 유전자 발현 유도가 강력히 억제되었다.

[0179] Ptp2는 Hog1 MAPK의 음성 피드백 조절자로 보고되었다. Hog1 결실은 *LAC1* 유도 및 멜라닌 생성을 증가시킨다. 최근 본 발명자에 의해 *LAC1* 유전자의 발현 유도는 Bzp4, Usv101, Hob1 및 Mbs1 4 가지 핵심 TF에 의해 제어되는 것으로 보고되었다. 이 중 *BZP4* 및 *HOB1* 유전자의 발현은 영양 결핍에 의해 유도되고 *BZP4* 유도는 *HOB1*에 의존한다. 따라서 *LAC1* 유전자 발현 유도정도를 조절하는 포스파타아제가 *BZP4* 및 *HOB1* 유전자의 유도를 조절하는지 여부를 조사했다. 대부분의 멜라닌 결손 포스파타아제 돌연변이에서 영양 결핍에 의한 *BZP4* 유전자 발현 유도 정도가 현저하게 감소했지만, 특히 *CCR4* 결실은 *BZP4*의 발현 유도 정도를 크게 감소시켰고, 특히 영양 결핍 시의 *HOB1* 발현 유도 정도를 크게 억제했다(도 7). 따라서 Ccr4-Hob1-Bzp4 의존적 신호 전달 경로는 *C. neoformans*에서 *LAC1* 유전자 발현 유도 및 멜라닌 생성에 중요한 역할을 하는 것으로 보인다.

#### 6-2. 캡슐 생산 관여 포스파타아제

[0182] 캡슐 생산에 관여하는 포스파타아제를 조사했다. 캡슐 생산은 농축세포용적(packed cell volume)에 의해 정량적으로 측정하였다. *Cac1*, *Ptp2*, *Psr1*, *Ndx5*, *Hpp2*, *Oca1*, *Sdp102*, *Ynd1*, *Ng13*, *Ppp5* 및 *Cwh43*의 결실은 농축세포용적을 감소시켰으며 *Inp5201*, *Dbr1*, *Phs1*, *Cdc1*, *Cna1*, *Sit4*, *Ccr4*, *Nem1*, *Pcd102* 및 *Fig4*의 결실은 농축세포용적을 증가시켰다. (표 6 및 도 8 참고)

[0183] 이를 돌연변이체의 실제 캡슐 두께를 조사했다. 이 중 6 개 돌연변이체 (*cac1Δ*, *sdp102Δ*, *ndx5Δ*, *ptp2Δ*, *ynd1Δ* 및 *psr1Δ*)는 세포 부피 분석에서 표현형의 농축세포용적의 감소와 일치하는 캡슐 생산 감소를 나타냈으며, 이들 중 5 개 (*cac1Δ*, *ptp2Δ*, *sdp102Δ*, *ynd1Δ*, *psr1Δ*)는 병독성이 감소되었다. 대조적으로, *inp5201Δ* 돌연변이는 캡슐 생산이 크게 향상되었으나 병독성은 크게 감소되었는데(STM <-7), 이는 멜라닌 생산 결함에서 기인한 것으로 생각된다.

[0184] 전반적으로 멜라닌과 다당류 캡슐을 생산하는 능력은 *C. 네오포르만스*의 잠재적 병원성과 높은 상관 관계를 나타내었다.

#### 실시예 7: 레트로머(retromer) 복합체와 *C. 네오포르만스*의 병독성

[0187] 병독성 관련 포스파타아제 중 *Vps29* (CNAG\_00182)는 *S. cerevisiae*에서 처음 발견된 레트로머(retromer) 복합체의 구성 요소로 추정되고 있다.

[0188] 효모의 레트로머는 골지후 세포기관(post-Golgi organelles)으로부터 용해 구획(lytic compartment)으로의 단백질 세포내 수송을 매개하는 세포질 이종오량체 단백질 복합체(cytosolic heteropentameric protein complex)이다. 효모 레트로머는 *Vps29*, *Vps35* 및 *Vps26*이 포함된 CRC(Cargo-Recognition Core) 컴플렉스와 *Vps5* 및 *Vps17*이 포함된 SNX(Membrane-Deforming Sorting Nexin) 컴플렉스로 구성된다.

[0189] *Vps29*의 기능이 레트로머 복합체의 보존된 역할에서 비롯되었는지 여부를 확인하기 위해 *C. 네오포르만스*의 다른 레트로머 구성 요소를 기능적으로 특성화했다. *C. 네오포르만스* 유전체에서 *Vps35* (CNAG\_01837), *Vps26* (CNAG\_01426), *Vps5* (CNAG\_01315) 및 *Vps17* (CNAG\_00508)와 상동성있는 단백질을 인코딩하는 나머지 레트로머 구성요소 유전자를 모두 확인했다. 이는 레트로머 복합체가 병원성 곰팡이에서 진화적으로 보존되어 있음을 시사한다.

[0190] H99 균주에서 각 유전자를 삭제하고 표현형 분석을 수행하였다. *VPS35* 및 *VPS26*의 결실은 *VPS29* 결실보다 더 극적인 표현형 변화를 가져 왔으며, 이는 *Vps35* 및 *Vps26*이 *C. 네오포르만스*에서 중요한 CRC 복합 성분임을 의미한다. 대조적으로 SNX의 구성요소인 *VPS5* 및 *VPS17* 결실은 표현형 변화가 *VPS29* 결실과 비교하면 상대적으로 크지 않았다.(도 9)

[0191] 곤충 살해 분석에서 CRC 복합체 돌연변이는 독성이 현저히 감소된 반면 SNX 복합체 돌연변이는 독성이 약생형

균주와 큰 차이가 없었다. (도 10) 그러나 주파(murine) 기반 STM 분석에서 CRC 복합체 돌연변이 및 SNX 복합체 돌연변이는 폐 및 뇌 감염성이 현저히 감소되었다. (도 11) 실험 결과를 종합하면, 레트로머 CRC 복합체 및 SNX 복합체 모두가 C. 네오포르만스의 병원성에 중요하다는 것을 의미한다.

#### [0193] 실시예 8: C. 네오포르만스의 O-만노실화를 조절하는 *gda1* 및 *ynd1*

*S. cerevisiae*에서 *Gda1* 및 *Ynd1*은 GDP-만노스 및 GMP 사이의 역수송 교환 비율(antiport exchange ratio)에 영향을 주어 O-linked 및 N-linked된 당단백질(glycoprotein) 및 당스핀고지질(glycosphingolipid)의 만노실화(mannosylation)를 조절하는 골지막 결합 아피라제(golgi membrane bound apyrase)이다. *Gda1*은 GDP에 고도로 특이적인 활성(highly specific activity)을 나타내는 반면 *Ynd1*은 훨씬 더 광범위한 활성 스펙트럼을 나타낸다. 따라서 *GDA1* 및 *YND1*이 이중 결실되는 경우 하나만 결실되는 것보다 더 심각한 당화 결손(glycosylation defect)을 초래한다.

C. 네오포르만스의 *gda1Δ* 변이 및 *ynd1Δ* 변이가 O-glycosylation에서 결함을 나타내는지 여부를 조사하기 위해 야생형, *gda1Δ* 균주 및 *ynd1Δ* 균주의 O-글리칸 프로파일을 비교했다.

C. 네오포르만스의 세포벽 만노단백질(cell wall mannoproteins)인 cwMPs에 결합된 O-결합 올리고당(O-linked oligosaccharides)를 하이드라진분해(hydrazinolysis)로 획득하고, 2-aminobenzoic acid (2-AA)로 표지하고, 형광 검출 기능이 있는 HPLC를 사용하여 분석하였다.

도 12에 따르면, C. 네오포르만스 야생형 균주의 O-결합 올리고당은 주로 2 내지 4개의 만노스 잔기(Man2-Man4; M2-M4)로 구성되었으며, 약간의 자일로스(X1M2-X1M4) 포함 O-글리칸종(O-glycan species) 및 약간의 α1,2-만노트리오스(α1,2-mannotriouse, M3\*)종을 포함하였다. 그러나, *gda1Δ* 돌연변이의 O-글리칸 프로파일은 M4 피크가 극적으로 감소했으며 M1 피크는 야생형 균주에 비해 증가했다. 특히, 야생형에서는 함량이 낮았던 자일로스 함유종이 *gda1Δ* 균주의 O-글리칸에서 증가하였다.

도 13에 따르면, *ynd1Δ* 돌연변이체는 M1 피크가 증가하고 M4 피크가 다소 감소했지만, 그 감소된 정도는 *gda1Δ* 돌연변이체의 M4 피크 감소에 이르진 않았다. 상기 O-글리칸 프로필의 변화는 *gda1Δ* 균주 및 *ynd1Δ* 균주에서 GDPase 활성이 감소하여 세포질에서 골지 내강(lumen of the Golgi)으로의 GDP-mannose 공급이 저하됨으로써 O-글리칸의 신장 과정에 심각한 결함이 있음을 나타낸다. (도 14 참고) 상기 실험 결과를 기초로 C. 네오포르만스의 *gda1* 및 *ynd1*은 골지 N-글리코실화 및 O-글리코실화에 필요한 막결합 아피라제(membrane bound apyrase)를 암호화하는 것으로 생각된다.

*gda1Δ*는 *ynd1Δ*보다 주요 O-글리칸이 극적으로 감소하였으며, 이는 *Gda1* 단백질이 주요 O-글리칸 생합성 경로에서 GDP-만노스 공급을 담당하는 주요 GDPase임을 의미한다. *ynd1Δ*의 캡슐 크기 감소는 *Ynd1* 단백질이 캡슐 생합성을 위한 GDP-만노스 공급에도 관여할 수 있음을 시사한다. 그러나, *gda1Δ* *ynd1Δ* 이중 돌연변이는 얻지 못했다. 이는 두 단백질이 C. 네오포르만스에서 합성 치사 관계임을 의미한다. 곤충 살해 분석에서 *gda1Δ* 변이 및 *ynd1Δ* 변이 모두 병독성이 감소하였기 때문에, 실험결과를 종합하면 O-만노실화가 C. 네오포르만스의 독성에 중요하다는 것을 알 수 있다.

#### [0201] 실시예 9: 혈액-뇌 장벽(BBB) 통과(crossing)에 관여하는 포스파타아제

C. 네오포르만스의 인체 감염시 가장 큰 문제는 치명적인 수막뇌염을 일으키는 뇌 감염이다. 모든 포스파타아제 돌연변이체에 대한 뇌 STM 점수(brain STM score)는 일반적으로 폐 STM 점수와 유사했지만 일부는 낮은 뇌 STM 점수를 나타냈다. (도 3 참고: *TPS2*, *YMR1*, *FBP26*, *MRE11*, *CDC1* 및 *XPP1*). 그러나 비강 내 흡입(intranasal inhalation pass)을 통해 투여된 포스파타아제 돌연변이 균주는 폐를 먼저 통과하기 때문에 뇌에 도달하는 돌연변이 균주는 흡입된 돌연변이풀 대비하여 분포가 균일하지 않아 폐와 뇌 STM 점수를 직접 비교하기가 어려운 문제가 있었다.

뇌 감염에서 포스파타아제의 역할을 규명하기 위해, 37°C에서 성장이 히트맵 표기상 -2 이상으로 현격하게 감소된 변이를 제외한 나머지 병원성 관련 포스파타아제 돌연변이체를 이용하여 BBB를 통과하는(traverse) 능력을 모니터링했다.

도 15에 따르면, 5개 변이체(*xpp1Δ*, *ssu72Δ*, *siw14Δ*, *sit4Δ* 및 *gda1Δ*)는 BBB 통과능력이 현저히 감소한 것으로 나타났다. BBB에 대한 부착(adhesion)이 효과적인 BBB 통과를 위한 전제 조건일 수 있기 때문에 BBB-adhesion assay를 실시하였다. 도 16에 따르면 *gda1Δ*를 제외한 *xpp1Δ*, *ssu72Δ*, *siw14Δ* 및 *sit4Δ* 돌연변이체는 BBB 부착이 감소된 것으로 나타났다. 실험결과에 따르면 *gda1Δ*에 의한 단백질 또는 지질의 O-만노실화 감

소가 BBB 통과에 영향을 미치지만 BBB 부착에는 관여하지 않는 것으로 생각된다.

[0205] C. 네오포르만스를 *in vitro* BBB 통과 및 접착 분석에 사용한 조직 배양 배지에 37°C로 배양한 결과 성장이 활발하지 않음을 발견했다. 이는 낮은 포도당 농도 (0.1 % 포도당) 때문일 수 있다.

[0206] 본 발명자는 최근 논문에서 *in vitro*의 숙주 모방 조건(HMC(host-mimic conditions); 5 % CO<sub>2</sub>, 37°C, 10% FBS를 포함하는 RPMI 배지)에 의해 BBB 부착을 촉진할 수 있는 TF(*PDR802*, *FZC31* 및 *GAT201*)들이 발현 유도될 수 있음을 보고하였다.

[0207] 이에 기초하여, *xpp1Δ*, *ssu72Δ*, *siw14Δ* 및 *sit4Δ* 돌연변이체에서 숙주모방조건(HMC)으로 뇌감염 관련 유전자(이노시톨 수송체 유전자(*ITR1a* 및 *ITR3c*) 및 *MPR1*) 및 상기 TF 유전자의 발현이 유도될 수 있는지를 조사했다.

[0208] 도 17에 따르면, *SSU72* 결실은 HMC 매개 *MPR1* 발현 유도를 가장 현저하게 감소시켰다. 이는 *ssu72Δ* 돌연변이의 BBB 통과 및 부착 결함이 *MPR1* 발현 유도 감소에 의해 발생할 수 있음을 시사한다. 그러나 도 16에 따르면 *ssu72Δ* 돌연변이는 *mpri1Δ* 돌연변이보다도 BBB 통과 및 부착에서 결함이 많기 때문에, *Ssu72*의 다른 세포적 기능이 BBB 통과 및 부착에 관여할 수 있다. *SIT4* 결실 및 *GDA1* 결실은 HMC 매개 *ITR3c* 발현 유도를 현저하게 감소시켰다. *GDA1* 결실은 또한 *FZC31* 유도에 영향을 미쳤다. 그러나 *GAT201* 및 *PDR802*의 발현은 *SIT4*, *SIW14*, *SSU72*, *GDA1* 또는 *XPP1*의 결실에 의해 영향을 받지 않았다.

[0209] C. 네오포르만스에 의한 뇌 감염과 관련된 신호 네트워크를 통합적으로 이해하기 위해, BBB 통과와 관련된 포스파타아제, TF, 및 키나아제에 대한 연구 데이터를 결합하고 STRING 분석을 사용하여 기능적 유전자 네트워크를 생성했다.

[0210] 도 18에 따르면, 글루코스 감지(Sit4-Snf1-Gal83), RNA 가공(RNA processing)(*Ssu72*) 및 퓨린 대사(Xpp1-Met3)와 관련된 유전자가 C. 네오포르만스의 BBB 통과에 중요하다는 것을 발견했다.

[0211] 상기 실험결과를 종합하면, C. 네오포르만스는 뇌 감염을 위해 복잡한 신호 네트워크를 활용함을 나타낸다.

#### 실시예 10: 곰팡이 병원성 관련 포스파타아제 비교

[0214] C. 네오포르만스의 포스파타아제 돌연변이의 병독성 데이터 및 다른 식물 또는 동물 병원성 진균의 데이터와 비교하여 핵심적인 병원성 관련 포스파타아제를 선별했다.

[0215] 도 19에 따르면, 인간 병원균인 크립토코커스 네오포르만스 및 칸디다 알비칸스(*Candida albicans*)에서 일치하는 13 개의 포스파타아제(Cna1/Cmp1, Sit4, Oca1, Yvh1, Sdp101/Cpp1, Ptp2/Ptp3, Cac1/Cyr1, Ccr4, Had1/Rhr2, Tps2, Inp5201/Inp51, Ppg1 및 Gua1)는 병원성을 나타내기 위한 핵심적인 포스파타아제로 생각된다. 13 개의 포스파타아제 중 CnaA, SitA 및 Or1A(Tps2 ortholog)는 아스페질러스 푸미가투스 (*Aspergillus fumigatus*)의 병독성에도 관여하는 것으로 확인되었다. (SitA는 *A. fumigatus*의 Sit4에 대한 ortholog)

[0216] 푸사리움 그라미네아룸(*Fusarium graminearum*)의 병원성 관련 포스파타아제와 비교했을 때 동물 및 식물 곰팡이 병원균의 병독성에 8 가지 포스파타아제(Sit4, Yvh1, Sdp2 / Msg5 (Sdp101 orthologue), Ptp2, Ac1(Cac1 orthologue), Tps2, Inp53 (Inp5201 orthologue) 및 Ppg1)가 필요한 것으로 나타났다. Sit4는 TOR 경로에, Cac1은 cAMP 경로에, Ppg1과 Yvh1은 세포 성장, 영양소 감지 및 곰팡이 병원체의 스트레스 반응에 관여한다. Cna1 및 Had1 매개 칼시뉴린 경로, Tps2 매개 트레할로스 경로 및 Msg5 매개 Mpk1/Slt2 MAPK 경로는 모두 세포벽 무결성 유지에 필요하다. HOG 경로의 주요 음성 피드백 조절제인 Ptp2는 곰팡이 병원체의 적응 및 스트레스 반응에 관여한다. Inp51, Inp52 및 Inp53은 소포 수송(vesicle trafficking), 액틴 세포골격(actin cytoskeleton) 및 세포벽 무결성(cell wall integrity)을 제어하는 포스포이노시티드 신호 전달(phosphoinositide signalling)에 관여한다.

[0217] 이러한 데이터를 기반으로, 세포 성장, 영양소 감지(nutrient sensing), 세포벽 무결성, 스트레스 반응 및 포스포이노시티드 신호 전달과 관련된 포스파타아제 및 신호 전달 경로는 곰팡이 병원성에서 중추적인 역할을 하는 것으로 판단된다.

[0218] 그러나 *PPH3* 결실은 *C. neoformans* 및 *F. graminearum*의 병독성을 감소 시키지만 *C. albicans*의 병독성을 향상 시킨다. 이와 대조적으로, ptc2 또는 ptc3의 결실은 각각 *C. albicans* 또는 *F. graminearum*의 병독성을 감소 시키지만 *C. neoformans* 병독성을 감소시키지 않는다. 따라서 포스파타아제는 곰팡이의 종류마다 병독성에 관여

하는 정도의 차이가 있을 수 있다.

[0220] 표현형의 변화를 나타내지 않은 54개의 돌연변이체는 감염성 및 병독성의 결함을 나타내지 않았다. 상기 54개의 포스파타아제는 C. 네오포르만스의 병리학적 기능에 관여하지 않는 것으로 판단된다.

#### 실시예 11: DNA 손상 반응을 조절하는 포스파타아제

[0223] 시험관 내 스트레스 조건에 대한 각 포스파타아제 돌연변이의 감수성을 분석하기 위해, C. 네오포르만스를 30°C에서 16시간 동안 성장시키고, 연속적으로 10배( $1-10^4$ ) 희석하고, 하기 유전독성(genotoxic) 화학물질인 HU 또는 MMS를 포함하는YPD 한천 배지에 스팟 접종하였다. 배지에 포함된 유전독성 물질의 양은 MMS(methyl methanesulphonate)는 0.03 중량% 또는 0.04 중량%, HU(hydroxyurea)는 100mM 또는 110mM이었다. HU는 세포의 디옥시리보뉴클레오티드(dNTP) 풀을 줄임으로써 DNA 복제의 진행을 늦추는 물질이며, MMS는 DNA의 7-deoxyguanine, 3-deoxyadenine를 주로 메틸화시키며 이로 인해 생성된 3-methyladenine은 DNA 합성을 차단하여 유전독성을 나타낸다. 세포를 30°C에서 1일 내지 5일간 배양하고 매일 사진을 찍었다.

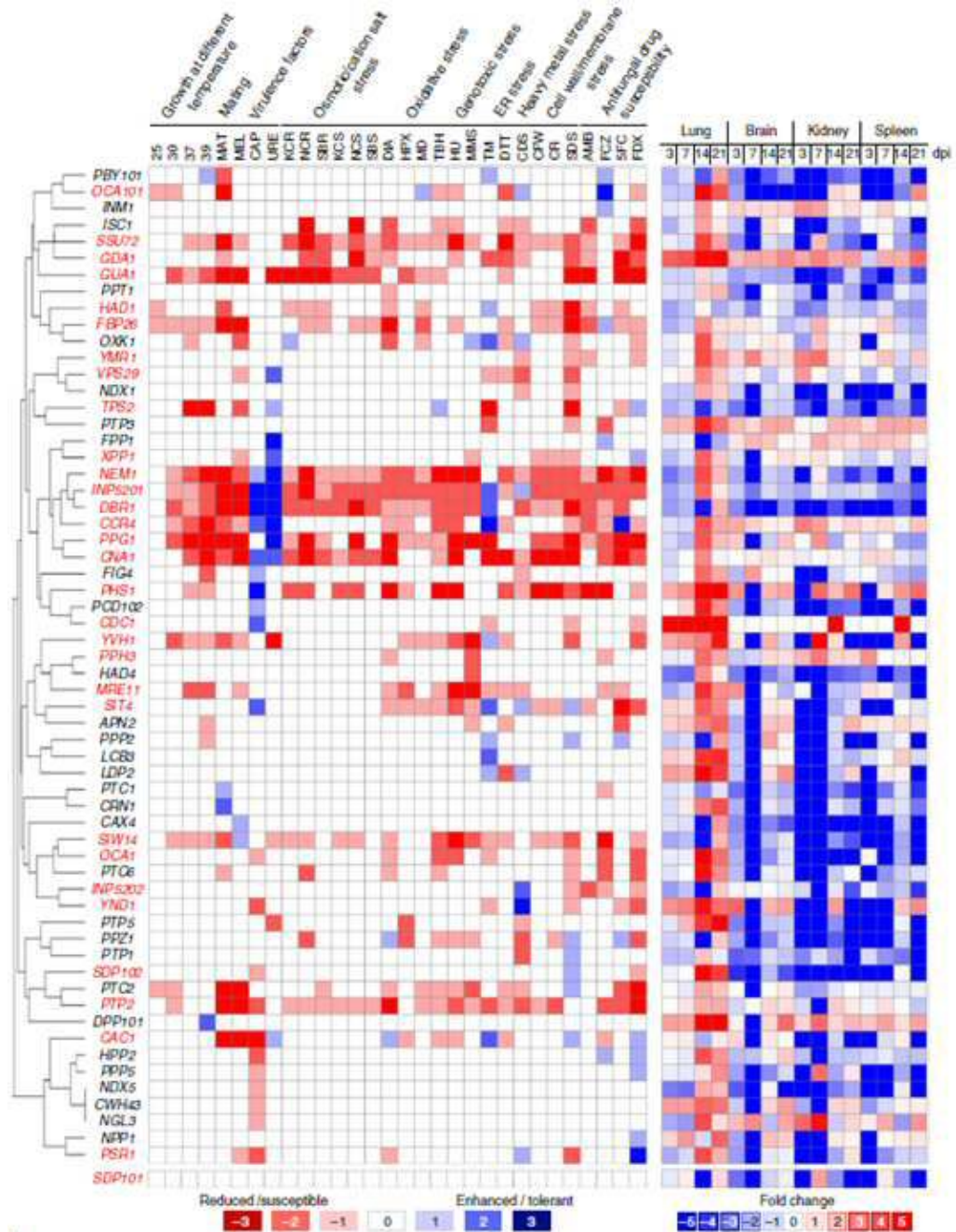
[0224] 도 20에 따르면, *SSU72*, *NEM1*, *YVH1*, *OCA101*, *SIT4*, *INP5201*, *PHS1*, *MRE11*, *DBR1*, *SIW14*, *OCA1*, *GDA1*, 또는 *FDP26* 유전자가 결실된 C. 네오포르만스는 WT과 비교하여 HU가 첨가된 배지에서의 성장이 현저히 감소하였다. 다른 포스파타아제 유전자들이 결실된 경우, 이들의 생장은 WT과 큰 차이가 없었다.(데이터는 개시하지 않음)

[0225] 도 21에 따르면, *SSU72*, *NEM1*, *YVH1*, *SIT4*, *INP5201*, *MRE11*, *DBR1*, *SIW14*, 또는 *FDP26* 유전자가 결실된 C. 네오포르만스는 WT과 비교하여 MMS가 첨가된 배지에서의 성장이 현저히 감소하였다. 다른 포스파타아제 유전자들이 결실된 경우, 이들의 생장은 WT과 큰 차이가 없었다.(데이터는 개시하지 않음)

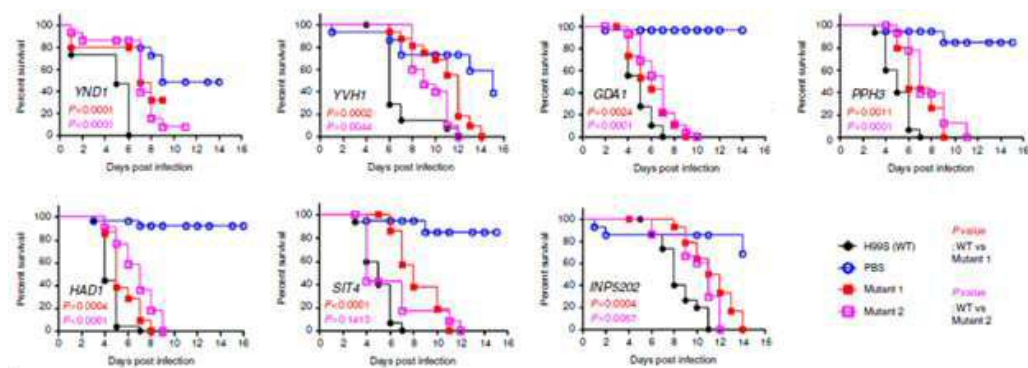
[0226] 따라서, 상기 *SSU72*, *NEM1*, *YVH1*, *OCA101*, *SIT4*, *INP5201*, *PHS1*, *MRE11*, *DBR1*, *SIW14*, *OCA1*, *GDA1*, 및 *FDP26* 유전자들은 DNA 손상을 유발하는 유전독성물질에 대한 저항성 및 DNA 손상 반응과 관련된 포스파타아제임을 알 수 있다.

## 도면

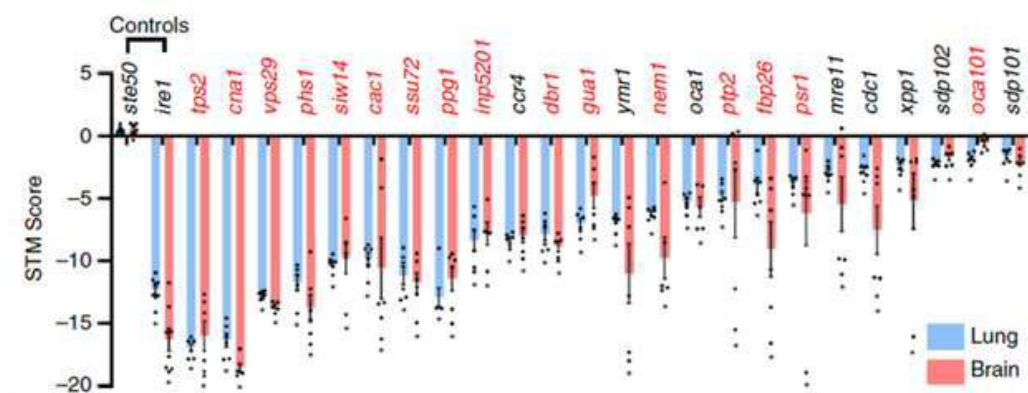
## 도면1



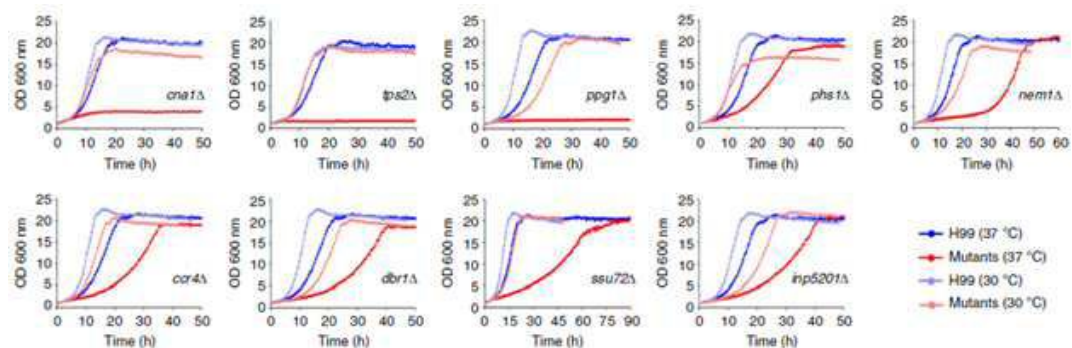
## 도면2



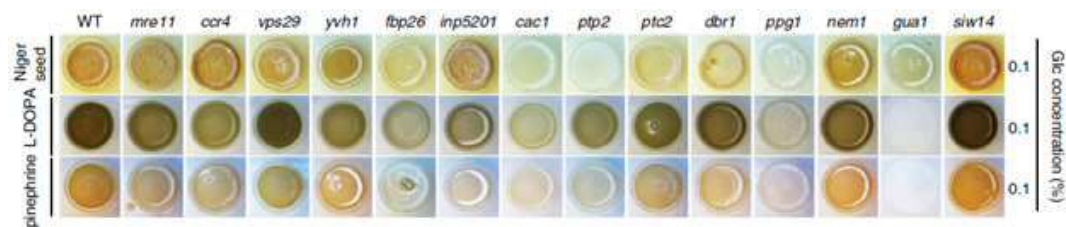
## 도면3



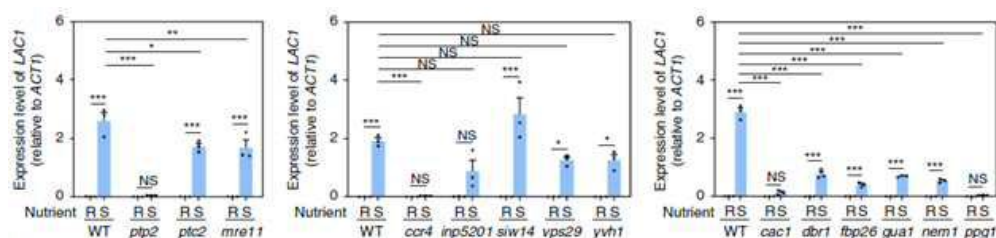
## 도면4



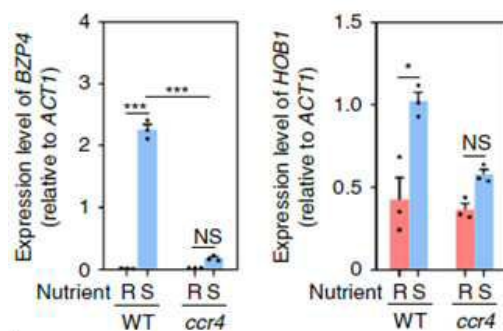
## 도면5



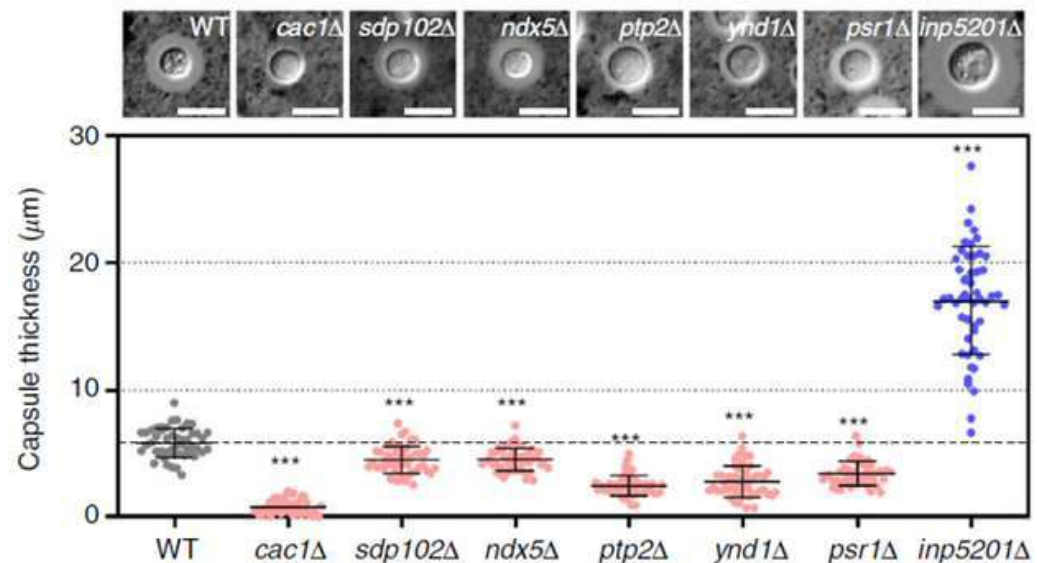
## 도면6



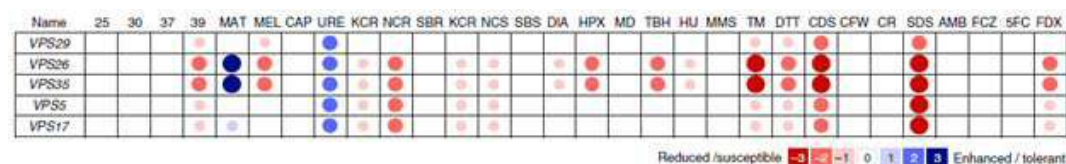
## 도면7



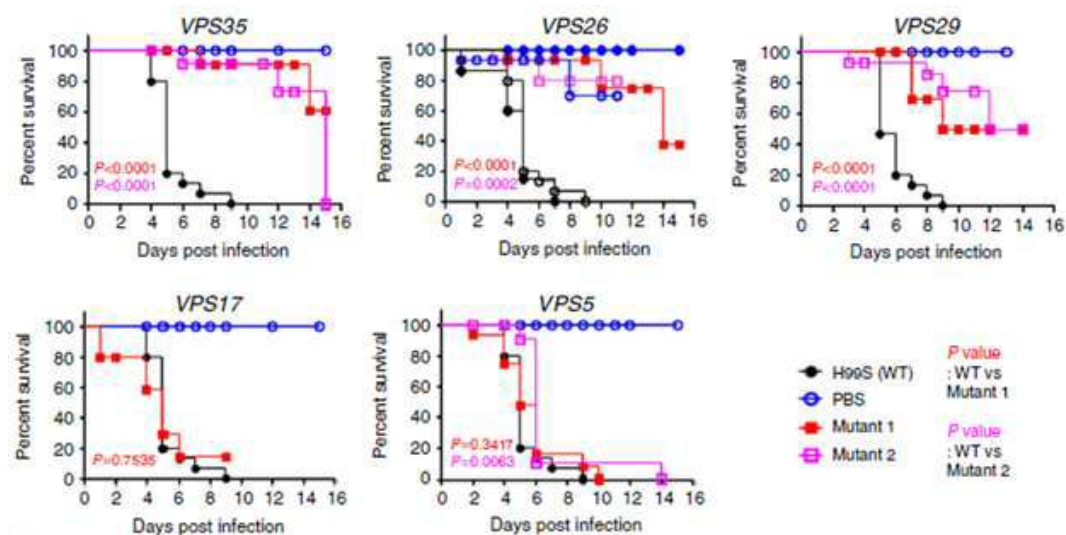
## 도면8



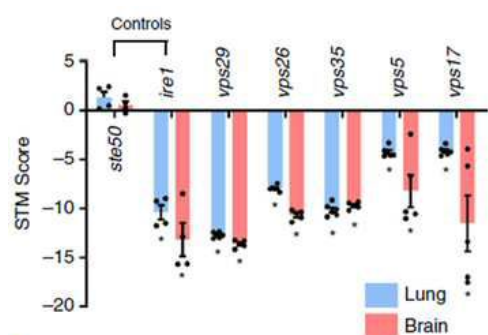
## 도면9



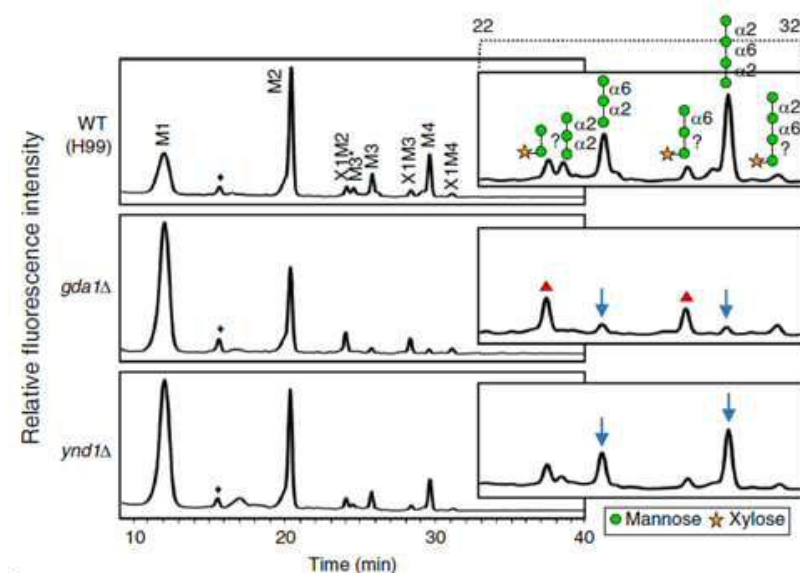
도면10



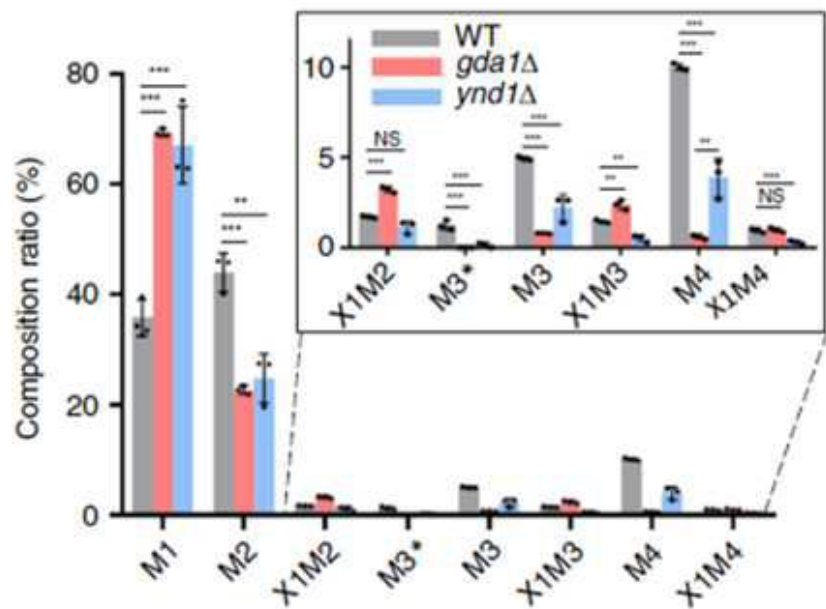
도면11



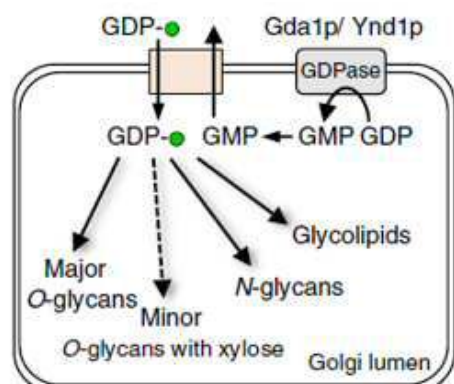
도면12



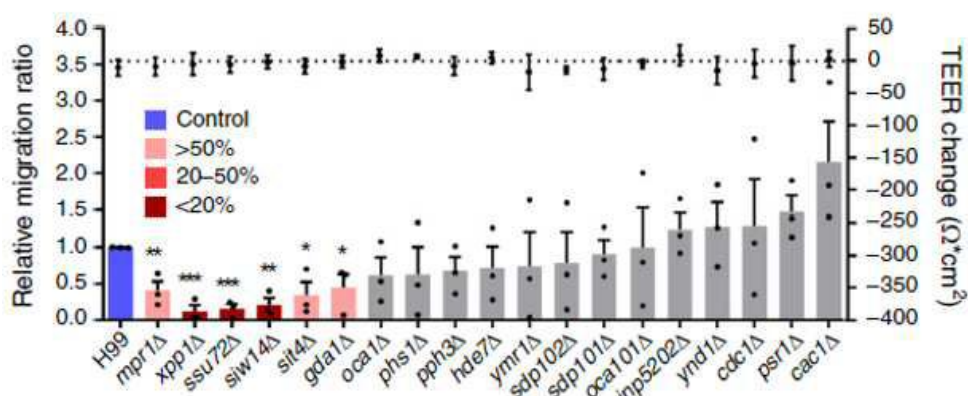
도면13



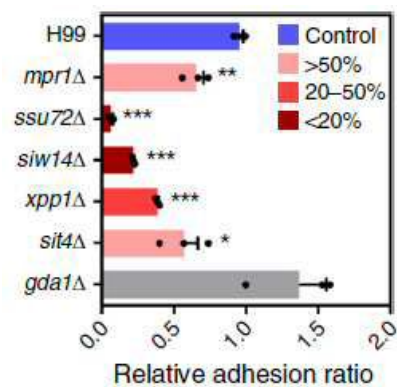
도면14



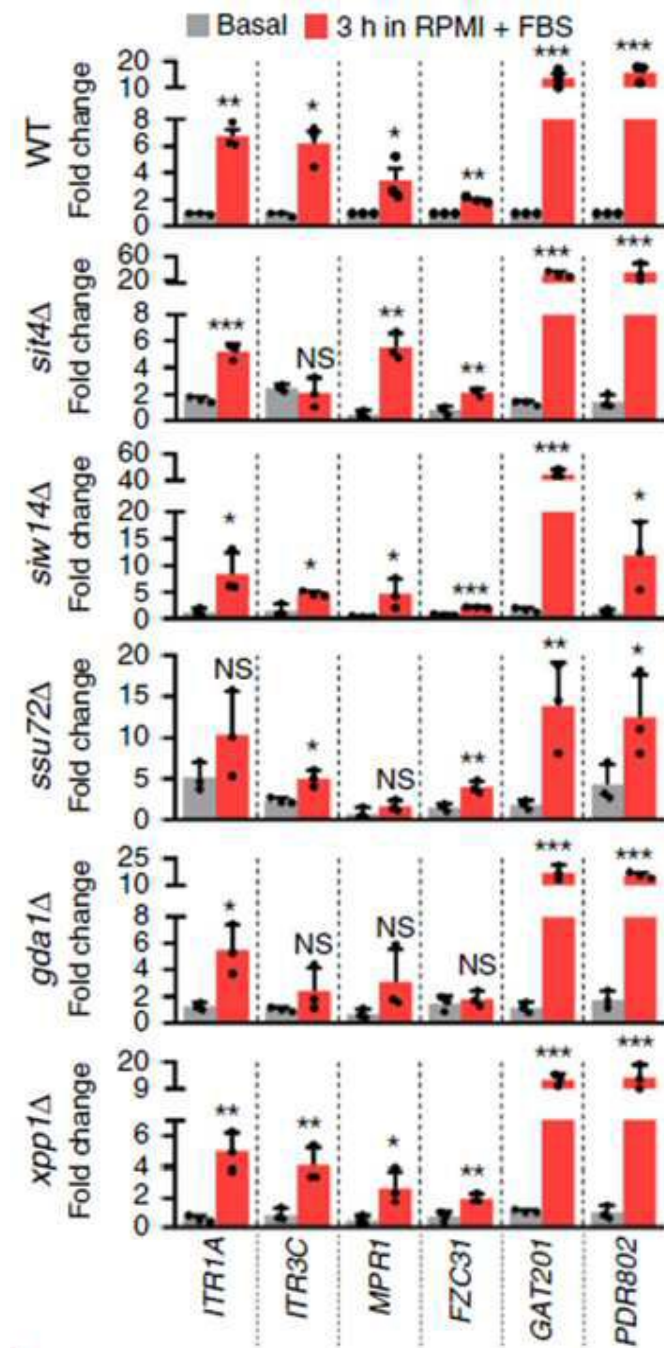
도면15



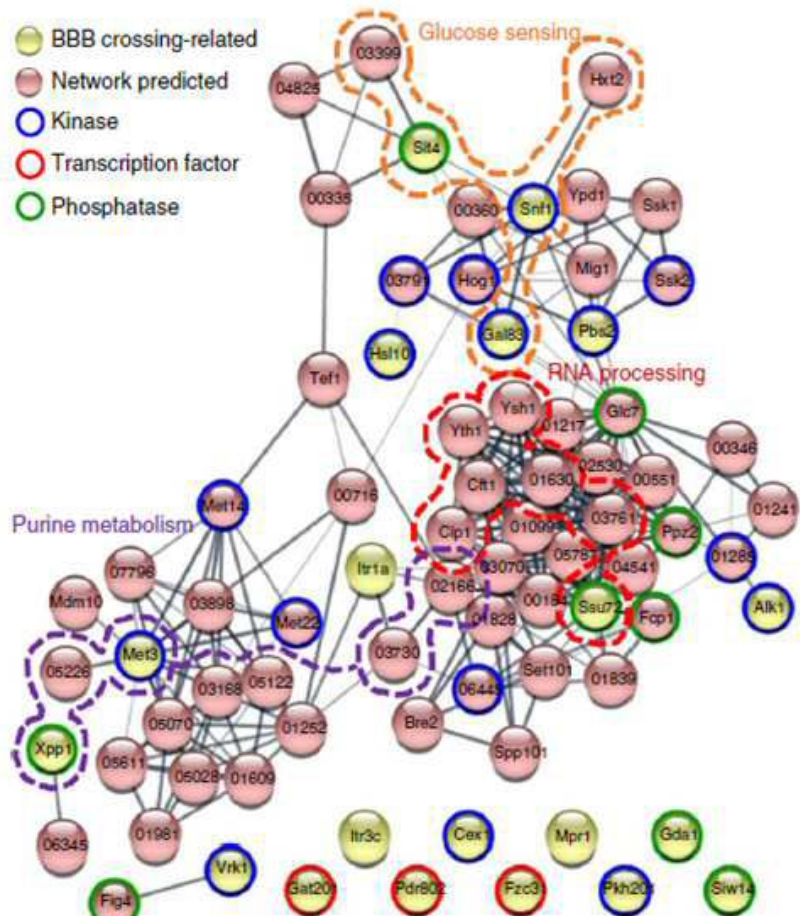
도면16



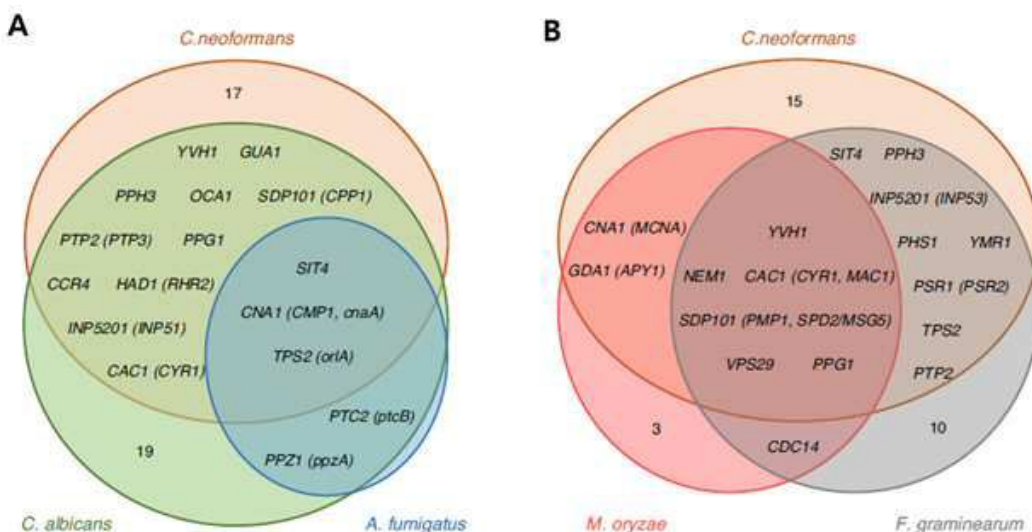
도면 17



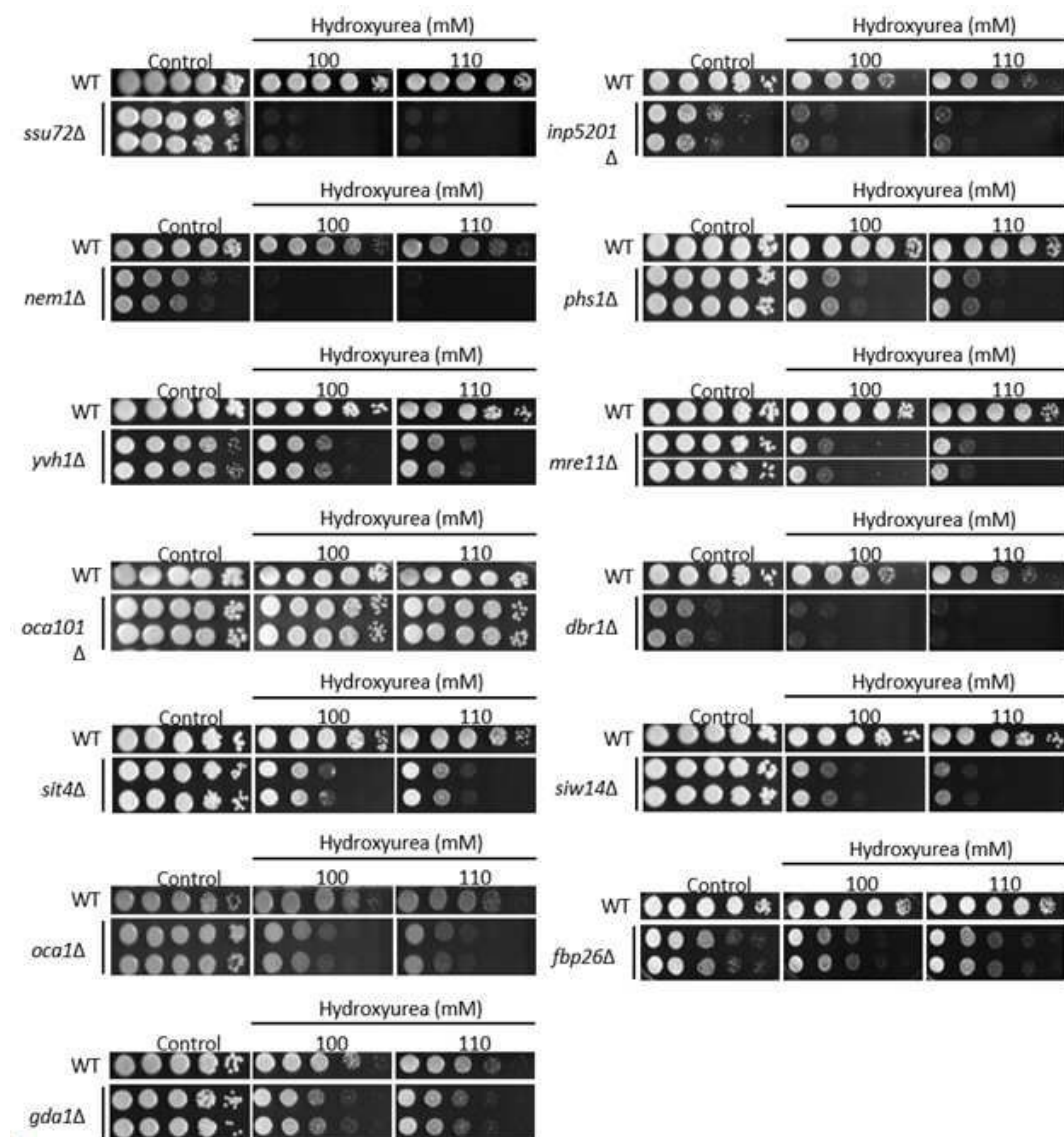
도면18



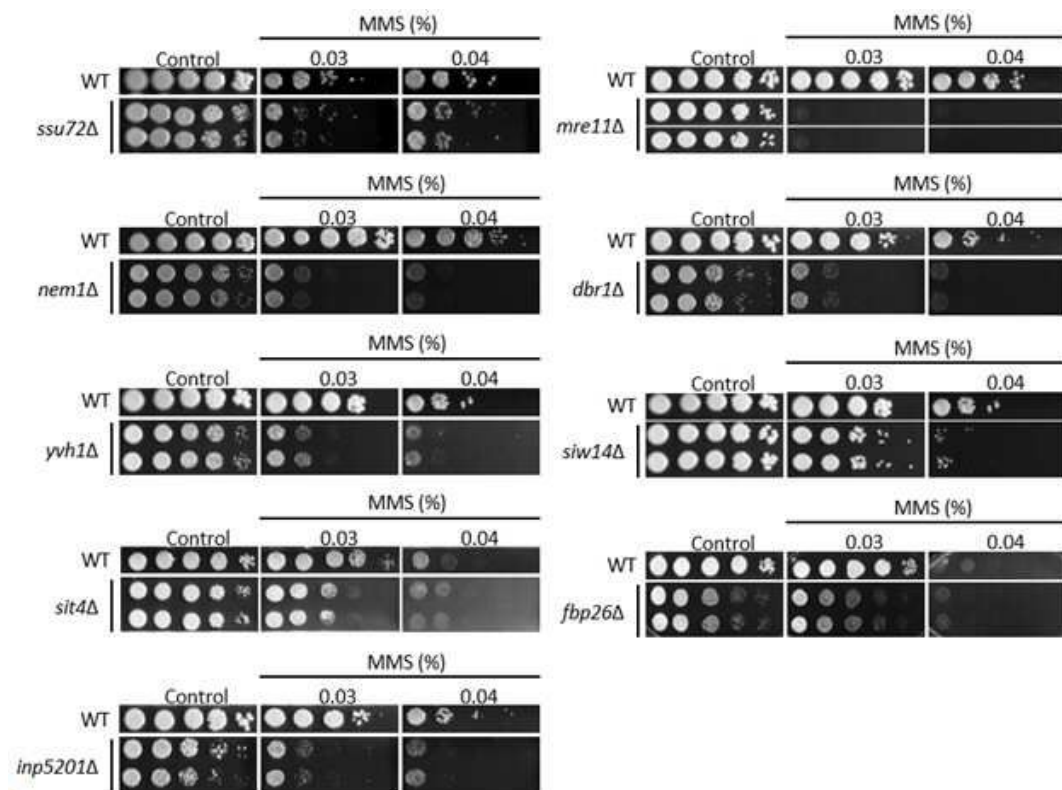
도면19



## 도면20



## 도면21



## 서 열 목 록

- <110> Industry-Academic Cooperation Foundation, Yonsei University
- <120> Phosphatase that modulates DNA damage response of *Cryptococcus* neoformans, and method for screening antifungal agents using the same
- <130> PN200402-P5
- <150> KR 10-2020-0055355
- <151> 2020-05-08
- <160> 238
- <170> KoPatent In 3.0
- <210> 1
- <211> 204
- <212> PRT
- <213> Artificial Sequence
- <220><223> vps29 >CNAG\_00182 Transcript 1
- <400> 1

Met Val Leu Val Leu Val Ile Gly Asp Leu His Ile Pro Asn Leu Val

His Asp Leu Pro Ala Lys Phe Lys Lys Leu Leu Val Pro Gly Lys Ile

20 25 30

Gly Gln Ile Ile Cys Thr Gly Asn Val Cys Asp Lys Glu Thr Tyr Asp

35 40 45

Tyr Leu Arg Thr Thr Ala Pro Glu Val His Val Val Arg Gly Glu Phe

50 55 60

Asp Glu Asn Pro His Phe Pro Leu Ser Leu Ile Ile Gln His Gln Ser

65 70 75 80

Leu Arg Ile Gly Val Val His Gly Gln Gln Val Val Pro Ala Gly Asp

85 90 95

Pro Asp Met Leu Ala Ala Leu Ala Arg Gln Met Asp Val Asp Val Leu

100 105 110

Ile Ser Gly Gly Thr His Arg Phe Glu Ser Phe Glu Phe Glu Gly Arg

115 120 125

Phe Phe Val Asn Pro Gly Ser Ala Thr Gly Ala Trp Ser Ser Leu Trp

130 135 140

Asn Gly Glu Val Thr Pro Ser Phe Ala Leu Met Asp Ile Gln Gly Pro

145 150 155 160

Val Ile Val Thr Tyr Val Tyr Gln Leu Val Asp Gly Glu Val Lys Val

165 170 175

Asp Lys Val Glu Tyr Arg Lys Pro Asp Leu Thr Ser Glu Thr Gln Ser

180 185 190

Gln Ser Thr Arg Ser Glu Val Ala Ala Arg Trp \*\*\*

195 200

<210> 2

<211> 785

<212> PRT

<213> Artificial Sequence

<220><223> YMR1 >CNAG\_00390 Transcript 1

<400> 2

Met Asp Ala Leu Arg Val Ala Arg Val Asp Asn Val Thr Ile Gln Tyr

1 5 10 15

Phe Leu Pro Pro Thr Ala Pro Asp Gln Lys Pro Thr Pro Leu Thr Gln

20 25 30

Ile Gly Gln Leu His Leu Thr Pro His His Leu Ile Phe Ser His Thr

35 40 45

Pro Ser Thr Ala Tyr Glu Pro Glu Ile Trp Ile Pro Tyr Pro Leu Ile

50 55 60

Thr Arg Leu Thr Arg Leu Pro Gln Thr Ile Asn Gly Leu Tyr Pro Leu

65 70 75 80

Gln Val Glu Thr Lys Thr Phe Glu Ser Tyr Val Leu Leu Phe Thr Lys

85 90 95

Asp Arg Asp Asp Gly Ala Glu Glu Val Trp Gln Ser Val Lys Asp Cys

100 105 110

Ser Val Lys Ser Ser Val Glu Gln Leu Tyr Ala Phe Phe Tyr Val Pro

115 120 125

Pro Ser Pro Gly Thr Gly Trp Thr Val Phe Asn His Arg Thr Glu Phe

130 135 140

Ala Arg Gln Gly Leu Gly Thr Arg Thr Lys Ala Trp Arg Phe Thr Asp

145 150 155 160

Ile Asn Lys Asp Tyr Ser Phe Ser Pro Thr Tyr Pro Ser Lys Leu Val

165 170 175

Val Pro Ser Arg Ile Ser Asp Ser Thr Leu Met Tyr Ala Gly Lys Tyr

180 185 190

Arg Ser Lys Ala Arg Ile Pro Ala Leu Thr Tyr Leu His Trp Ala Asn

195 200 205

Asn Ala Ser Ile Thr Arg Ser Ser Gln Pro Met Val Gly Ile Lys Asn

210 215 220

Ser Arg Ser Ser Gln Asp Glu Arg Leu Val Glu Cys Ile Phe Ser Ser

225 230 235 240

His Met Phe Leu Asp Asn Ala Tyr Ser Ser Ala Pro Ile Phe Gly Ala

245 250 255

Thr Ser Thr Asn Leu Ile Ile Asp Ala Arg Pro Thr Thr Asn Ala Met

260 265 270

Ala Asn Val Ala Met Gly Ala Gly Thr Glu Asn Met Glu Asn Tyr Lys

275                    280                    285

Leu Gly Lys Ala Tyr Leu Gly Ile Asp Asn Ile His Val Met Arg

290                    295                    300

Asn Ser Leu Lys Thr Val Ala Glu Ala Ile Arg Glu Ala Asn Leu Arg

305                    310                    315                    320

Pro Ser Val Pro Leu Asn Arg Ala Leu Leu Arg Lys Ser Asn Trp Leu

325                    330                    335

Arg His Ile Ser Thr Ile Leu Asp Gly Ala Leu Ile Ile Val Arg Asn

340                    345                    350

Ile His Leu Asn Ala Ser His Val Leu Ile His Cys Ser Asp Gly Trp

355                    360                    365

Asp Arg Thr Gly Gln Leu Ser Ala Val Ala Gln Ile Cys Leu Asp Pro

370                    375                    380

Tyr Tyr Arg Thr Phe Asp Gly Phe Lys Val Leu Val Glu Lys Asp Trp

385                    390                    395                    400

Leu Ala Phe Gly His Lys Phe Leu Asp Arg Ser Gly His Leu Ser Ser

405                    410                    415

Glu Lys Tyr Phe Met Val Thr Glu Asn Asp Asp Asp Met Glu Glu Glu

420                    425                    430

Gly Val Ser Ala Gln Arg Ala Ala Gln Ala Phe Phe Ala Thr Val Gln

435                    440                    445

Lys Gln Phe Thr Ser Thr Ser His Leu Lys Glu Ile Ser Pro Val Phe

450                    455                    460

His Gln Phe Leu Asp Cys Val Arg Gln Ile Gln Arg Gln Phe Pro Glu

465                    470                    475                    480

Arg Phe Glu Phe Asn Glu Gln Tyr Leu Leu Asp Ile Tyr Arg His Leu

485                    490                    495

Tyr Thr Cys Gln Phe Gly Thr Phe Leu Phe Asn Asn Glu Arg Glu Arg

500                    505                    510

Gln Glu Ser Ala Ser Pro Ser Arg Lys Ser Phe Val Glu Gln Thr Cys

515	520	525
Ser Val Trp Asp Tyr Leu Asp Ser Pro Ser Glu Arg Glu Lys Tyr Ile		
530	535	540
Asn Ser Leu Tyr Asp Thr Thr Leu Asp Ser Asn Gln Ser Arg Asp Ala		
545	550	555
Gly Ala Asp Gln Gly Val Leu Phe Tyr Asn Pro Lys Asp Val Arg Phe		
565	570	575
Trp Phe Arg Leu Phe Gly Arg Gly Asp Glu Glu Met Asn Gly Ser Ser		
580	585	590
Leu Thr Leu Asn Gln Pro Gln Gly Val Asp Ile Ile Gly Pro Ile Gly		
595	600	605
Gly Asp Gln Val Glu Asp Met Ala Ala Gly Glu Ile Leu Arg Gly Ala		
610	615	620
Ser Pro Val Ser Ala Pro Ser Pro His Ala Thr Ala Ser Gln Ser Arg		
625	630	635
Ser Trp Asn Trp Ser Gln Leu Ser Gly Asn Ala Leu Asn Ala Val His		
645	650	655
Ser Ala Ala Arg Glu Ile Lys Ser Ile Ser Gln Asp Ala Leu Ser Gln		
660	665	670
Ile Arg Ala Glu Ala Asn Glu Leu Asp Arg Glu Ser Trp Glu Gln Asp		
675	680	685
Gly Lys Gly Lys Asn Ser Glu Pro Ala Ser Leu Thr Glu Ser Thr Leu		
690	695	700
Leu Pro Glu Thr Asn Pro Trp Ser Ala Glu Ala Arg Ser Ser Pro Thr		
705	710	715
720		
Ile Pro Pro Pro Arg Pro Asn Thr Gln Val Ser Arg Thr Thr Gln Asn		
725	730	735
Pro Trp Ala Ala Met Pro Asp Thr Ile Thr Ser Leu Ser Asn Leu Thr		
740	745	750
Leu Asp Gly Lys Ala Pro Gly Ser Pro Ala Asn Asp Ala Gly Thr Lys		
755	760	765
Glu Arg Ala Gly Glu Lys Gln Gln Lys Ala Trp Asp Pro Leu Gly Ala		

770	775	780
Leu		
785		
<210> 3		
<211> 376		
<212> PRT		
<213> Artificial Sequence		
<220><223> SSU72 >CNAG_01054 Transcript 1		
<400> 3		
Met Asp Pro Arg Arg His Asn Gln Arg Pro Pro Pro Ser Ser		
1	5	10
Ser Leu Pro Pro Asn Pro Ala Ala Tyr Asn Ala Pro Pro Asn Ser Tyr		
20	25	30
Gly Gly Ser Tyr Pro Asp Ala Arg Gln Tyr Gln Gly His Asn Gly Ala		
35	40	45
His Ser Thr Pro Gln Gly Tyr Arg Ser Ala Pro Pro Gln Pro Pro		
50	55	60
Tyr Gly Ala Leu Pro Gly Glu Gln Arg Ala Phe Pro Pro Ser Asn Met		
65	70	75
Pro Asn Tyr Pro Pro Ser Gly Pro Pro Asp Pro Arg Met Arg Pro Ser		
85	90	95
Gln Asp Pro Arg Ser Arg Leu Ser Gly Ser Gln Gly Asn Tyr Asn Thr		
100	105	110
Pro Thr Pro Pro Ser Gly His Thr Pro Pro Ser Leu Pro Asn Tyr Gly		
115	120	125
Thr Pro Pro Ile Ser Ala Pro Thr Ile Pro Leu Pro Ser Gln Gln Ser		
130	135	140
His Gln Gln Phe Tyr Thr Pro Pro Ser Gly Pro Thr Ser Ser Leu Pro		
145	150	155
Gly Ala Met Pro Ser Gly Val Ile Ser Glu Pro Ala Asn Gly Phe Val		
165	170	175
Asp Lys Asp Val Pro Gln Gly Arg Arg Pro Leu Phe Cys Val Val		

180                    185                    190

Cys Ala Ser Asn Asn Asn Arg Ser Met Glu Ala His Tyr Val Leu Asn

195                    200                    205

Lys Asn Ser Phe Arg Val Val Ser Ala Gly Thr Gly Ser Ala Val Arg

210                    215                    220

Leu Pro Gly Pro Ala Ile Asp Lys Pro Asn Val Tyr Arg Phe Gly Thr

225                    230                    235                    240

Pro Tyr Asp Asp Ile Tyr Arg Asp Leu Glu Ser Gln Asp Pro Gln Leu

245                    250                    255

Tyr Thr Arg Asn Gly Ile Leu Pro Met Leu Asp Arg Asn Arg Lys Val

260                    265                    270

Lys Lys Ala Pro Glu Lys Trp Gln Glu Leu Lys Ser Val Leu Ala Asp

275                    280                    285

Val Val Ile Thr Cys Glu Glu Arg Cys Tyr Asp Ala Val Cys Asp Asp

290                    295                    300

Leu Leu Thr Arg Ser Gly Glu Tyr Asn Arg Pro Ile His Ile Ile Asn

305                    310                    315                    320

Ile Glu Ile Lys Asp Asn Pro Glu Glu Ala His Ile Ala Gly Gln Ser

325                    330                    335

Ile Leu Glu Leu Ala Arg Ala Ile Glu Ala Ser Asp Asp Leu Asp Ser

340                    345                    350

Asp Ile Asp Ala Ile Leu Asn Ala His Gly Asp Lys His Pro His Thr

355                    360                    365

Leu Leu His Thr Val Gly Phe Tyr

370                    375

<210> 4

<211> 500

<212> PRT

<213> Artificial Sequence

<220><223> NEM1 >CNAG\_01177 Transcript 1

<400> 4

Met Asn Thr Leu Ser Arg Ile Asp Ser Tyr Phe Ser Ala Ile Ala Ser

1	5	10	15
Arg Pro Thr Thr His Pro Pro Arg Thr Pro Pro Arg Arg Ser Arg Gln			
20	25	30	
Thr Ile Ser Ser Ile Ser Val Pro Pro Pro Thr Ala Pro Leu Ile Leu			
35	40	45	
Arg Ile Ala Leu Val Leu Trp Ser Val Leu Leu Thr Val Trp Arg Ser			
50	55	60	
Phe Val Gly Glu Thr Arg Ala Thr Arg Arg Gly Arg Arg Ser Arg			
65	70	75	80
Arg Lys Arg Leu Ala Gly Leu Arg Glu Leu Gly Glu Arg Val Met Ile			
85	90	95	
Thr Ala Gly Ile Ala Ser Leu Asp Thr Pro Gln Glu His Thr Glu Gly			
100	105	110	
Asp Glu Gly Ser Glu Asp Asp Lys Glu Asp Gly Trp Val Asp Pro Val			
115	120	125	
Thr Arg Gly Pro Glu Gly Ser Ala Ser Leu Glu Glu Ala Pro Pro Gly			
130	135	140	
Glu Asp Glu Phe Val Ser Ala Asn Thr Ala Ser Thr Gly Thr Gly Ala			
145	150	155	160
Ala Glu Val Glu Glu Pro Glu Pro Asp Pro Asp Glu Met Thr Val			
165	170	175	
Thr Ala Lys Asp Asp Arg Leu Gly Gly Pro Asp Pro Asn Phe Thr Phe			
180	185	190	
Arg Leu Arg Ser Ala Pro Lys Lys Glu Leu Asp Gly Thr Glu Thr Ala			
195	200	205	
Val His Ser Pro Gly His Lys Pro Ile Pro Ser Phe Gln Arg Pro Pro			
210	215	220	
Ser Pro Thr Ser Ile Leu Asn Asn Pro Ile Thr Pro Ser Pro Pro Pro			
225	230	235	240
Pro Pro Pro Ser Lys Thr Val Glu Pro Ser Pro Lys Arg Pro Ser Gly			
245	250	255	

Thr Arg Leu Leu Ala Asn Pro Ile Ser Thr Ser Leu Leu Asp Pro Ser  
 260 265 270  
 Val Pro Ala Pro Ala Ser Asn Ala Asp Ser Ser Leu Phe Arg Lys Pro  
 275 280 285  
 Ser Pro Arg Pro Leu Arg Gln Pro Thr Thr Pro Phe His Leu Gln Lys  
 290 295 300  
 Thr Leu Ile Leu Asp Leu Asp Glu Thr Leu Ile His Ser Thr Ser Arg  
 305 310 315 320  
 Pro Ile His Tyr Pro Gly Gly Ser Ser Gly Gly Gly Leu Leu Gly  
 325 330 335  
 Leu Ser Val Gly Gly Val Phe Gly Asn Gly Arg Ala Lys Glu Gly His  
 340 345 350  
 Thr Val Glu Val Val Val Asn Gly Arg Ser Thr Met Tyr His Val Tyr  
 355 360 365  
 Lys Arg Pro Tyr Val Asp His Phe Leu Lys Lys Val Ala Ser Trp Tyr  
 370 375 380  
  
 Thr Leu Val Ile Phe Thr Ala Ser Met Pro Glu Tyr Ala Asp Pro Val  
 385 390 395 400  
 Ile Asp Trp Leu Asp Gly Gly Arg Asn Leu Phe Ala Lys Lys Leu Tyr  
 405 410 415  
 Arg Glu Asn Cys His Val Gln Pro Asn Gly Ser Tyr Ile Lys Asp Leu  
 420 425 430  
 Thr Leu Val Glu Lys Asp Leu Ser Arg Val Cys Phe Met Asp Asn Ser  
 435 440 445  
 Pro Val Ser Tyr Ser Trp Asn Lys Ala Asn Ala Leu Pro Ile Glu Gly  
 450 455 460  
 Trp Thr Ser Asp Pro Asn Asp Glu Ala Leu Leu His Ser Ile Pro Val  
 465 470 475 480  
 Leu Asp Ser Leu Arg Phe Val Asn Asp Val Arg Arg Val Leu Gly Ile  
 485 490 495  
 Arg Gly Phe Ser  
 500

<210> 5  
<211> 711  
<212> PRT  
<213> Artificial Sequence  
<220><223> YVH1 >CNAG\_01203 Transcript 1  
<400> 5

Met Pro Gln His Asp Thr Val Pro Ser Arg Pro Pro Ser Asp Ala Ala

1	5	10	15
Lys Ser Asp Asn Leu Ala Ile Gln Asp Leu Ser Arg Glu Val Thr Ser			
20	25	30	
Thr Gly Asn Ile Arg Leu Ala Ala Lys Arg Leu Ala Gln Ser Ala Gln			
35	40	45	
Ala Glu Lys Val Arg Asn Leu Lys Glu Arg Ala Ser Thr Arg Ala Gln			
50	55	60	
Val Ala Gln Pro Tyr Ala Arg Trp Ala Asp Asp Pro Glu Glu Ala Glu			
65	70	75	80
Tyr Leu Gln Ser Asn Val His Ala Gln Ala Ala His Val Glu Asp			
85	90	95	
Gln Val Leu Val Ser Asp Glu Glu Glu Glu Glu Lys Glu Ala			
100	105	110	
Met Gly His Met Gln Glu Val Val Asp Gly Leu Trp Val Gly Asp Leu			
115	120	125	
Val Ala Ala Asn Asp Asp Glu Leu Glu Lys Asn Gly Ile Lys Asn			
130	135	140	
Ile Leu Ser Ala Leu Arg Pro Ser Leu Lys Phe Ser Asp Lys Tyr Ala			
145	150	155	160
Val Tyr Pro Leu Glu Ile Asp Asp Ser Ala Asp Thr Asp Leu Leu Ser			
165	170	175	
His Leu Pro Ser Cys Val Ala Trp Ile Lys Glu Ile Leu Asp Leu Arg			
180	185	190	
Gln Lys Ala Ala Glu Pro Ser Ser Gln Lys Asn Gly Thr Glu Asn Gly			
195	200	205	

Glu Ser Leu Lys Arg Ser Pro Asp Ile Asp Thr Val Ala Gln Pro Gly

210 215 220

Lys Pro Gly Gly Val Leu Val His Cys Gln Ala Gly Met Ser Arg Ser

225 230 235 240

Ala Ser Ile Val Ala Ala Tyr Leu Met Ser Gln Tyr Asp Leu Asp Pro

245 250 255

Met Glu Ala Met Thr Met Ile Arg Glu Lys Arg Pro Val Val Glu Pro

260 265 270

Ser Ala Thr Phe Trp His Gln Leu Gly Leu Phe Tyr Thr Thr Asp Gly

275 280 285

Lys Val Ser Leu Lys Asp Arg Ser Thr Arg Gln Tyr Tyr Met Glu Arg

290 295 300

Thr Thr Thr Gln Phe Ile Asn Gly Asp Gly Thr Ala Pro Ser Met Glu

305 310 315 320

Lys Met Ala Lys Tyr Pro Ala Ser Pro Ser Pro Asn Pro Pro Thr

325 330 335

Pro Lys Asp His Ala Arg Arg Lys Ile Arg Cys Lys Met Cys Arg Arg

340 345 350

His Leu Ala Val Arg Glu His Met Met Asp His Ile Leu Asp Gln Ala

355 360 365

Pro Pro Val Pro Ala Ser Arg Pro Arg Thr Pro Ser Gly Ala Ser Ile

370 375 380

Ser Ser Gln Arg Ala Ser Phe Ser Ser Asn Ala Gly Met Arg Phe Thr

385 390 395 400

Asp Val Val Gly Glu Gly Ala Gly Phe Leu Thr Glu Arg Glu Arg Arg

405 410 415

Gly Ser Gln Val Ser Asp Val Ile Asn Pro Leu Thr Gly Leu Pro Gly

420 425 430

Ala Leu Ser Arg Arg Ser Ser Ala Gly Ala Gly Ser Asn Gly Ala Val

435 440 445

Ser Pro Thr Ala Thr Gln Thr Leu Tyr Glu Arg Asp Thr Val Thr Ser

450	455	460
Pro Leu Ser Ile Ser His Asn His His Asn Asn Asn Asn Asn Asn Asn		
465	470	475
Thr Thr His Pro Ala Ser Arg Arg Gly Pro Ile Leu Arg Asn His Ser		
485	490	495
Glu Pro Ala Gly Thr Val Pro Pro Pro Val Pro Leu Pro Ala Ala		
500	505	510
His Ser Thr Thr Ser Val Pro Ala Pro Gln Ala Pro Thr Thr Gln Arg		
515	520	525
Ala Leu Gln Ser Ala Asp Gln Leu Asn Met Arg Leu Pro Pro Gln Leu		
530	535	540
Leu Ala Leu Arg Met Ala Gly Met Gly Gly Ala Ala Ala Asn Ala Gly		
545	550	555
560		
Ala Ser Ala Asn Ala Ser Asn Pro Pro Val Ser Pro Gly Thr Asn Thr		
565	570	575
Pro Ser Pro Val Ile Glu Lys Glu Arg Arg Asp Gln Ser Ser Ser Ser		
580	585	590
Ile Asn Thr Asn Gly Gly Ala Gly Ala Ala Ala Arg Arg Phe Ser Ser		
595	600	605
Leu Ala Met Thr Pro Lys Asp Glu Lys Glu Glu Thr Lys Leu Tyr Glu		
610	615	620
Arg Arg Ala Ser Gly Gly Glu Gly Met Tyr Gly Pro Pro Pro Ile Leu		
625	630	635
640		
Val Asn Asn Lys Cys Ser Gly Tyr Phe Val Glu Pro Leu Thr Trp Met		
645	650	655
Glu Pro Val Leu Ser Lys Gly Gln Ile Ala Gly Lys Leu Val Cys Pro		
660	665	670
Asn Glu Lys Cys Gly Val Lys Ile Gly Asn Phe Asp Trp Ala Gly Val		
675	680	685
Gln Cys Gly Cys Lys Glu Trp Val Thr Pro Gly Phe Cys Ile His Arg		
690	695	700
Ser Lys Val Asp Glu Val Phe		

705                    710

<210>     6

<211>     212

<212>     PRT

<213>     Artificial Sequence

<220><223>     OCA101

>CNAG\_01254 Transcript 1

<400>     6

Met Ala Asn Lys Pro Pro Ser Gln Pro Leu Ile Gln Val Pro Ala Leu

1	5	10	15
---	---	----	----

Phe Ser Ile Val Glu Pro Gly Val Tyr Arg Ser Ala Ser Pro Thr Pro

20	25	30
----	----	----

Ser Gln Val Pro Phe Leu Ala Gly Leu Asn Leu Lys Thr Ile Ile Ser

35	40	45
----	----	----

Leu Thr Pro Glu His Pro Ile Lys Pro Leu Leu Gln Phe Val Arg Thr

50	55	60
----	----	----

Ala Gly Ile Ser Phe Val His Leu Gly Leu Thr His Trp Arg Arg Pro

65	70	75	80
----	----	----	----

Gly Thr Asp Trp Arg Pro Val Arg Tyr Glu Ile Ile Lys Thr Ala Leu

85	90	95
----	----	----

Glu Ala Tyr Ile Leu Asp Thr Arg Ala His Pro Val Leu Leu Ile Asp

100	105	110
-----	-----	-----

Pro Leu Gly Val His Gln Thr Gly Cys Leu Val Gly Ala Leu Arg Met

115	120	125
-----	-----	-----

Met Gln Gly Trp Asn Phe Ala Ser Ala Leu Met Glu Tyr Arg Ala His

130	135	140
-----	-----	-----

Ala Gly Ser Lys His Arg Tyr Leu Asp Gln Tyr Ile Glu Leu Phe

145	150	155	160
-----	-----	-----	-----

Asp Ser Asp Leu Ile Asn Leu Pro Ala Pro Gln Tyr Arg Pro Ser Trp

165	170	175
-----	-----	-----

Trp Leu Ser Cys Glu Glu Ala Asp Pro Gln Glu Val Lys Ala Leu Ala

180	185	190
-----	-----	-----

Ser Ser Ser Gly Gly Thr Gly Leu Leu Ala Asp Thr Asn Gly Arg Thr

195

200

205

Gln Ala Ile Val

210

&lt;210&gt; 7

&lt;211&gt; 320

&lt;212&gt; PRT

&lt;213&gt; Artificial Sequence

&lt;220&gt;&lt;223&gt; SIT4 &gt;CNAG\_01436 Transcript 1

&lt;400&gt; 7

Met Arg Tyr Thr Ser Pro Thr Met Pro Ile Pro Ile Ser Ser Asp Pro

1

5

10

15

Asp His Trp Ile Gln His Ile Arg Gln Cys Lys His Leu Pro Glu Arg

20

25

30

Gln Met Lys Leu Leu Cys Asn Arg Val Arg Asp Leu Leu Glu Glu

35

40

45

Ser Asn Val Arg Leu Val Gln Ser Pro Val Thr Val Cys Gly Asp Ile

50

55

60

His Gly Gln Phe Trp Asp Val Leu Glu Ile Phe Arg Gln Gly Gly Glu

65

70

75

80

Val Pro Lys Thr Ser Tyr Ile Phe Met Gly Asp Phe Val Asp Arg Gly

85

90

95

Tyr Tyr Ser Leu Glu Thr Leu Ser Leu Leu Leu Ala Tyr Lys Ala Arg

100

105

110

Tyr Pro Asp Lys Ile Thr Leu Leu Arg Gly Asn His Glu Ser Arg Gln

115

120

125

Ile Thr Gln Val Tyr Gly Phe Tyr Asp Glu Cys Met Gln Lys Tyr Gly

130

135

140

Asn Pro Ser Val Trp Lys Ala Cys Cys Asn Val Phe Asp His Leu Asn

145

150

155

160

Leu Ala Ala Ile Ile Asp Ser Ser Ile Leu Cys Val His Gly Gly Leu

165

170

175

Ser Pro Asp Ile Arg Thr Leu Asp Gln Ile Arg Thr Ile Ser Arg Ala

180 185 190

Gln Glu Val Pro His Glu Gly Ala Phe Cys Asp Leu Met Trp Ser Asp

195 200 205

Pro Asp Glu Val Glu Thr Trp Ser Ile Ser Pro Arg Gly Ala Gly Trp

210 215 220

Leu Phe Gly Gly Lys Val Thr Ser Glu Phe Asn Tyr Ile Asn Gly Leu

225 230 235 240

Ser Leu Ile Ala Arg Ala His Gln Leu Val Gln Glu Gly Tyr Lys His

245 250 255

Met Phe Asp Glu Ser Leu Val Thr Val Trp Ser Ala Pro Asn Tyr Cys

260 265 270

Tyr Arg Cys Gly Asn Ala Ala Ser Ile Met Gln Val Asp Glu Asp Gly

275 280 285

Arg Thr Ser Phe Lys Val Tyr Asp Ala Ala Ile Glu Asn Ser Thr Asp

290 295 300

Gln Lys Asn Pro Ala Met Arg Arg Val Gly Ala Pro Ser Tyr Phe Val

305 310 315 320

<210> 8

<211> 544

<212> PRT

<213> Artificial Sequence

<220><223> GUA1

>CNAG\_01877 Transcript 1

<400> 8

Met Ala Thr Glu Glu Ile His Ser Leu Tyr Asp Thr Ile Leu Ile Leu

1 5 10 15

Asp Phe Gly Ser Gln Tyr Ser His Leu Ile Thr Arg Arg Cys Arg Glu

20 25 30

Leu Asn Val Tyr Cys Glu Met Leu Pro Cys Thr Gln Lys Ile Ser Glu

35 40 45

Leu Ser Trp Lys Pro Lys Gly Ile Ile Leu Ser Gly Ser Pro Tyr Ser

50 55 60

Val Tyr Ala Pro Asp Ala Pro His Val Asp Pro Asp Val Phe Thr Leu  
 65 70 75 80  
 Gly Val Pro Ile Leu Gly Ile Cys Tyr Gly Leu Gln Glu Ile Ala Arg  
 85 90 95  
 Val His Gly Gly Thr Val Asp Ala His Thr His Arg Glu Tyr Gly Tyr  
 100 105 110  
 Ala Lys Ile Glu Val Val Lys Thr Gly Lys Lys Asp Gln Asp Ala Leu  
 115 120 125  
 Phe Glu Gly Ile Glu Met Glu Ala Asp Gly Gly Leu Gln Val Trp Met  
 130 135 140  
 Ser His Gly Asp Gln Leu Thr Ser Leu Pro Pro Asn Phe Val Thr Ile  
 145 150 155 160  
 Ala Ser Thr Pro Thr Ser Pro Phe Thr Ser Val Ala His Glu Ser Lys  
 165 170 175  
 Pro Ile Tyr Gly Val Gln Phe His Pro Glu Val Ser His Ser Pro Arg  
 180 185 190  
 Gly Lys Glu Val Ile Ala Ala Phe Val Lys Asn Val Cys Gly Val Arg  
 195 200 205  
 Asp Gly Trp Ser Met Glu Ser Phe Ile Pro Lys Glu Ile Ala Arg Ile  
 210 215 220  
 Arg Gln Ile Cys Gly Glu Lys Gly Gln Val Ile Gly Ala Val Ser Gly  
 225 230 235 240  
 Gly Val Asp Ser Thr Val Ala Ala Lys Leu Met His Glu Ala Ile Gly  
 245 250 255  
 Asp Arg Phe His Ala Ile Met Val Asp Asn Gly Val Leu Arg Lys Asp  
 260 265 270  
 Glu Ala Lys Lys Val His Lys Met Leu Thr Val Asp Leu Gly Val Asn  
 275 280 285  
 Leu Thr Val Ile Asp Ala Ser Glu Leu Phe Leu Ala Arg Leu Lys Gly  
 290 295 300  
 Val Glu Asp Pro Glu Arg Lys Arg Lys Ile Ile Gly Asn Thr Phe Ile  
 305 310 315 320

Glu Val Phe Glu Ala Glu Ala Ala Lys Leu Glu Ala Ala Ala Glu Lys

325 330 335

Glu Leu Ala Glu Lys Gly Gly Glu Ala Lys Gly Lys Ile Glu Trp Leu

340 345 350

Leu Gln Gly Thr Leu Tyr Pro Asp Val Ile Glu Ser Ile Ser Phe Lys

355 360 365

Gly Pro Ser Ala Thr Ile Lys Thr His His Asn Val Gly Gly Leu Leu

370 375 380

Glu Asp Met Lys Leu Lys Leu Ile Glu Pro Leu Arg Glu Leu Phe Lys

385 390 395 400

Asp Glu Val Arg Ala Leu Gly Arg Leu Leu Asn Ile Pro Glu His Leu

405 410 415

Val Gly Arg His Pro Phe Pro Gly Pro Gly Leu Ala Ile Arg Ile Leu

420 425 430

Gly Glu Val Thr Arg Glu Gln Ile Ala Ile Leu Gln His Ala Asp Asp

435 440 445

Ile Tyr Ile Glu Glu Ile Arg Ala Ala Gly Leu Tyr Asp Gln Ile Ser

450 455 460

Gln Ala Phe Val Ala Leu Leu Pro Val Lys Ala Val Gly Val Ala Gly

465 470 475 480

Asp Ala Arg Thr Tyr Asp Gln Val Val Ala Val Arg Ala Val Ser Thr

485 490 495

Glu Asp Phe Met Thr Ala Asp Trp Phe Val Phe Pro Pro Gln Val Leu

500 505 510

Lys Arg Ile Ser Ser Arg Ile Thr Asn Glu Val Lys Gly Val Asn Arg

515 520 525

Val Val Tyr Asp Ile Thr Ser Lys Pro Pro Gly Thr Val Glu Trp Leu

530 535 540

<210> 9

<211> 1344

<212> PRT

<213> Artificial Sequence

&lt;220&gt;&lt;223&gt; INP5201 &gt;CNAG\_02109 Transcript 1

&lt;400&gt; 9

Met Ala Ser Pro Leu His Glu Asn Asp Glu Glu Arg Pro Gln Ser Ile

1 5 10 15

Ala Ala Leu Arg Ser Lys Phe Glu Ser Leu Ala Ile Ala Gly Val Ser

20 25 30

Pro Ala Pro Thr Asp Val Pro Ser Ala Thr Asn Gly His Ala Thr Val

35 40 45

Ser Ser Ile Arg Asn Gly Leu Leu Ser Pro Arg Pro Glu Thr Pro Val

50 55 60

Asp Gly Gln Lys Ala Lys Pro Val Pro Pro Lys Pro Ala Ser Arg

65 70 75 80

Pro Val Ser Pro Ala Thr Thr Ser Pro Ala Pro Gln Pro Ser Ser Leu

85 90 95

Leu Pro Pro Pro Ala Pro Arg Gln Ala Pro Ser Arg Pro Thr Thr Pro

100 105 110

Lys Pro Ser Phe Gln Thr His His Ser Thr Ser Ser Val Thr Ser Ile

115 120 125

Val Ser Ala Ala Ser Asp Ser His Leu Lys Pro Ser Asp Thr Met Ala

130 135 140

Ser Pro Pro Ala Val Ile Ser Pro Ala Val Ser Pro Ala Pro Thr Pro

145 150 155 160

Leu Arg Lys Ser Ala Pro Ser Val Pro Ser Lys Pro Pro Ser Val Ala

165 170 175

Val Thr Pro Ser Gly Ser Asp Gly Asp Glu Asp Glu Pro Val Ile Thr

180 185 190

Ser Val Lys Ala Leu Arg Glu Lys Phe Ser Gly Gln Ala Gln Ala Ser

195 200 205

Glu Ile Ala Leu Arg Lys Pro Val Asp Val Pro Lys Ala Ser Ala Val

210 215 220

Ser Val Val Lys Ala Ala Thr Val His Asp Ser Pro Glu Pro Leu Cys

225	230	235	240
Ala Pro Ser Ala Thr Pro Ile Pro Ala Pro Ile Pro Ala Pro Val Ile			
245	250	255	
Gln Arg Thr Leu Asp Gly Lys Thr Ser Pro Val Met Leu Ser Pro Ala			
260	265	270	
Ser Glu Gly Glu Ala Leu Ser Asp Thr Asn Asp Tyr Ser Ser His Pro			
275	280	285	
Thr Ala Pro Leu Ala Pro Pro Ala Pro Pro Ala Pro Ile Ser Arg Ile			
290	295	300	
Ser Ser Pro Val Pro Ala Pro Ala Pro Ser Gly Pro Pro Pro			
305	310	315	320
Ile Asn Arg Ala His Lys Pro Pro Pro Arg Thr Ala Ile Ser Pro Ala			
325	330	335	
Pro Ile Phe Arg Pro Glu Ser Asn Val Ile Thr Pro Asn Thr Thr Ser			
340	345	350	
Pro Pro Ile Pro Gly Asn Lys Pro Val Ile Pro Ser Arg Ser Ser Ser			
355	360	365	
Ala Pro Glu Ala Ala Val Pro Pro Pro Pro Pro Glu Arg Pro Gln Pro			
370	375	380	
Pro Gln Leu Pro Val Arg Arg Pro Thr Phe Ser Ser Pro Asp Thr Leu			
385	390	395	400
Glu Pro Ser Thr Ala Ser Val Ile Ser Pro Pro Ala Leu Ala Ser Thr			
405	410	415	
Pro Leu Leu His Thr Ile His Asp Asp Thr Ala Leu Ala Pro Thr Pro			
420	425	430	
Ala Pro Ala Thr Ala Pro Pro Pro Leu Pro Asp Arg Ser Arg Ala Asn			
435	440	445	
Thr Ile Asn Arg Ser Glu Ser Glu Ser Ser Ala Thr Thr Thr Gly Pro			
450	455	460	
Pro Pro Pro Arg Leu Pro Ala Arg His Ala Ala Ile Pro Val Ser Ala			
465	470	475	480
Gly Ser Gly Ser Thr Ser Ser Asn Ala Asn Gly Ser Gly Ser Thr Thr			

485	490	495
Met Asn Pro Pro Pro Pro Ala His Pro Ala Ser Pro Ser Lys Thr		
500	505	510
Arg Ile Asn Ser Gly Gly Pro Pro Pro Leu Leu Arg Ser Ala Thr		
515	520	525
Val Asn Arg Gly Ser Ser Val Gly Ser Gly Ser Gly Gly Gly		
530	535	540
Gly Gly Gly Ser Pro Pro Arg Arg Ser Asn Thr Ile Ser Arg Ala Ala		
545	550	555
Pro Phe Thr Gln Glu Lys Tyr Ser Thr Ser Ala Thr Ser Leu Gly Leu		
565	570	575
Gly Glu Lys Gly Val Tyr Ser Asp Glu Asp Asp Glu Pro Glu Glu Pro		
580	585	590
Gly Ala Val Thr Asn Leu Ser Ala Gln Ala Lys Arg Met Leu Asp Glu		
595	600	605
Phe Pro Asp Met Thr Glu Ala Asn Arg Arg Pro Pro Val Phe Val Pro		
610	615	620
Asp Ile Arg Val Lys Glu Cys His His Val Ser Ala Phe Ala Val Tyr		
625	630	635
Gly Arg Tyr Val Cys Thr Gly Ala His His Val Arg Val Tyr Asp Thr		
645	650	655
Gln Leu Ser Asp His Ala Ile Ser Val Val Asp Leu Lys Glu Thr Gly		
660	665	670
Leu Glu Ser Arg Gly Lys Asp Pro Lys Val Thr Ala Met Cys Phe Arg		
675	680	685
Pro Gly Ala Thr Glu Ser Glu Glu Gly Arg Tyr Leu Trp Cys Gly Thr		
690	695	700
Lys Asp Gly His Leu Trp Glu Leu Asp Ile Ser Thr Gly Glu Val Thr		
705	710	715
Ser Thr Lys Ala Phe Val His Thr Ser Ser Ile Ser Tyr Ile Trp Arg		
725	730	735

His Arg Lys Asn Ile Ile Ser Leu Asp Glu Gly Gly Lys Leu Leu Val  
 740 745 750  
 Phe Asp Val Gly Asp Ile Glu Gly Lys Pro Pro Thr Met Ala Arg Gln  
 755 760 765  
 Leu Arg Ile Gly Asp Lys Phe Gly Phe Ala Lys Leu Ile Cys Gly Lys  
 770 775 780  
 Leu Trp Thr Ser Ser Gly Pro Leu Thr Arg Ser Thr Thr Ser Ser Ala  
 785 790 795 800  
  
 Thr Ser Lys Gly Pro Thr Val Arg Ile Tyr Asp Pro Cys Ala Pro Gly  
 805 810 815  
 Thr Met Pro Pro Pro Lys Thr Ile Phe Ala Thr Glu Trp Ala Gly Ala  
 820 825 830  
 Val Thr Ser Ala Thr Tyr Met Pro Leu His His Asp Thr Ile Phe Leu  
 835 840 845  
 Gly His Glu Gly Gly Phe Val Ser Val Trp Asp Gly Lys Glu Leu Val  
 850 855 860  
 Cys Lys Gln Val Leu Lys Ile Ser Ser Thr Asp Val Leu Ala Leu Glu  
  
 865 870 875 880  
 Gly Val Gly Glu Tyr Leu Trp Thr Gly Asn Arg Lys Gly Gln Ile His  
 885 890 895  
 Val Phe Asp Ile Lys Glu Lys Pro Trp Leu Ala Thr Asn Ile Trp Ile  
 900 905 910  
 Gly His Pro Asp Asn Pro Val Gln Ser Leu Val Val Asp Pro Tyr Ser  
 915 920 925  
 Ile Gln Ser Ala Gly Arg Tyr Thr Cys Trp Ser Phe Ala Arg Asp Ala  
 930 935 940  
  
 Leu Arg Ala Trp Asp Gly Leu Leu Ser Val Asp Trp Ile Asp Lys Gln  
 945 950 955 960  
 Leu Thr Ala Arg Gln Ser Ser Phe Cys Thr Phe Arg Pro Val Asn Val  
 965 970 975  
 Leu Ile Cys Thr Trp Asn Ile Asp Ser Ala Lys Pro Thr Asp Leu Asn  
 980 985 990

Gly Ser Val Ala Asn Ala His Phe Leu Glu Asp Val Leu Arg Ser Val

995 1000 1005

Asp Ser Pro Asp Ile Ile Val Phe Gly Phe Gln Glu Val Ile Pro Leu

1010 1015 1020

Thr Asp Lys Lys Tyr Thr Ala Lys Thr Leu Leu Phe Gly Asn Lys Ser

1025 1030 1035 1040

Lys Asp Gly Gly Ala Ala Ala Asp Arg Val Ser His Ala Tyr Arg His

1045 1050 1055

Trp Leu Glu Lys Leu Gln Ser Ala Val Gln Met Ala Ser Pro Ser Asn

1060 1065 1070

Cys Pro Tyr Ile Lys Ile His Ser Glu Ser Leu Val Gly Leu Phe Thr

1075 1080 1085

Cys Ile Phe Val Lys Gln Ser Glu Lys Ile Ser Leu Arg Asp Leu Asp

1090 1095 1100

Ile Thr Thr Val Lys Arg Gly Ile Gly Gly Ile Tyr Gly Asn Lys Gly

1105 1110 1115 1120

Ala Ile Val Ser Arg Leu Val Met Asp Asp Thr Ser Ile Cys Phe Ile

1125 1130 1135

Asn Val His Leu Ala Ala Gly Gln Ser Gln Lys Ala Ser Arg Asn Ala

1140 1145 1150

Asp Leu Ala Gly Ile Leu Glu Asp Lys Ala Ile Phe Pro Pro Ala Asp

1155 1160 1165

Glu Leu Pro Phe Val His Gly Gly Cys Gly Thr Gly Ile Leu Asp His

1170 1175 1180

Glu Met Val Phe Leu Asn Gly Asp Leu Asn Tyr Arg Ile Asp Gln Arg

1185 1190 1195 1200

Arg Glu Asn Val Ile Ser Ser Ile Ala Asn Gly Glu Leu Ala Tyr Leu

1205 1210 1215

Leu Glu His Asp Gln Leu Arg Lys Glu Met Arg Thr Asn His Ala Phe

1220 1225 1230

Arg Leu Arg Asn Phe Glu Glu Ala Pro Ile Thr Phe Ala Pro Thr Tyr

1235	1240	1245
Lys Tyr Asp Pro Gly Thr His Asp Tyr Asp Ser Ser Glu Lys Arg Arg		
1250	1255	1260
Ile Pro Ala Trp Cys Asp Arg Ile Leu Tyr Lys Lys Ser Pro Arg Val		
1265	1270	1275
Gln Ala Leu Asn Tyr Gln Arg Tyr Glu Pro Thr Val Ser Asp His Arg		
1285	1290	1295
Pro Val Ser Ala Gly Tyr Thr Ile Ile Leu Lys Ala Ile Asp Ser Leu		
1300	1305	1310
Lys Met Met Asp Val Arg Arg Glu Ala Thr Gly Glu Trp Ala Lys Arg		
1315	1320	1325
Glu Lys Glu Leu Leu Glu Lys Met Gln Glu Val Phe Asp Gly Ile Glu		
1330	1335	1340
<210>	10	
<211>	332	
<212>	PRT	
<213>	Artificial Sequence	
<220><223> PHS1 >CNAG_02487 Transcript 1		
<400>	10	
Met Phe Pro Ser Asp Thr Lys Ala Ser Leu His Ser Ala Phe Gln Ser		
1	5	10
15		
Val Leu Asp Ser Ala Ser Pro Ser Ile Leu Ala Arg Leu Ser Leu Gln		
20	25	30
Leu Ala Ala Met Pro His Val Ala Ala Pro Ser Arg Gln Ala Leu Glu		
35	40	45
Gln Glu Arg Leu His Arg His Ala Gln Gln Pro Gly Ser Ser Leu Ser		
50	55	60
Pro Ala Pro Arg Leu Ser Pro Leu Arg Leu Tyr Leu Leu Gly Tyr Asn		
65	70	75
Ile Leu Ser Ala Leu Leu Trp Gly His Leu Leu Val Leu Thr Leu Ser		
85	90	95
Phe Leu Leu Ala Pro Ser Arg Pro Pro Trp His Gln Leu Ala Asp Arg		

100	105	110
Leu Ser Gly Ser Tyr Asp Tyr His Asn Leu Gly Trp Cys Thr Lys Trp		
115	120	125
Thr Gln Thr Leu Ala Val Leu Glu Val Val His Ala Ala Leu Gly Trp		
130	135	140
Val Arg Ser Pro Leu Gly Thr Val Ala Ser Gln Val Ala Ser Arg Leu		
145	150	155
Trp Thr Val Trp Gly Val Val Glu Ala Ala Pro Glu Ile Thr His Gly		
165	170	175
His Pro Leu Phe Thr Thr Met Leu Leu Ala Trp Ser Leu Thr Glu Val		
180	185	190
Ile Arg Tyr Ser Phe Tyr Ala Leu Ser Leu Leu Ser Val Ser Ala Pro		
195	200	205
Phe Leu Asn Tyr Leu Arg Tyr Thr Thr Phe Ile Pro Leu Tyr Pro Leu		
210	215	220
Gly Ala Ser Ser Glu Ala Phe Leu Ser Phe Ala Thr Leu Pro Ala Leu		
225	230	235
240		
Ala Pro Val Val Ser Arg Ala Val Thr Asn Val Met Ala Gln Ala Pro		
245	250	255
Arg Glu Ile Met Lys Thr Lys Val Gly Arg Glu Val Leu Trp Trp Ser		
260	265	270
Ala Lys His Gly Gly Thr Ala Gly Ala Gln Lys Glu Trp Gly Trp		
275	280	285
Ile Glu Ile Val Arg Ala Gly Leu Phe Leu Leu Trp Trp Pro Ala Leu		
290	295	300
Tyr Val Leu Tyr Thr Tyr Met Leu Lys Gln Arg Arg Lys Val Leu Gly		
305	310	315
320		
Lys Gly Lys Thr Val Gly Val Ser Lys Ala Gln		
325	330	
<210> 11		
<211> 721		
<212> PRT		

&lt;213&gt; Artificial Sequence

&lt;220&gt;&lt;223&gt; MRE11 &gt;CNAG\_02490 Transcript 1

&lt;400&gt; 11

Met Ser Ala Pro Asn Arg Val Pro Asp Ser Gln Pro Ser Ser Glu Ile

1 5 10 15

Gly Asp Glu Pro Pro Ser Ile Val Glu Pro Asp Leu Glu Asn Cys

20 25 30

Phe Arg Ile Leu Ile Ala Thr Asp Asn His Ile Gly Tyr Ala Glu Lys

35 40 45

Asp Pro Val Arg Gly Gln Asp Ser Ile Asn Thr Phe Arg Glu Ile Leu

50 55 60

Glu Leu Ala Arg Asp His Asp Val Asp Phe Ile Leu Leu Ala Gly Asp

65 70 75 80

Leu Phe His Glu Asn Arg Pro Ser Arg Thr Cys Met His Gln Thr Ile

85 90 95

Ala Leu Leu Arg Glu Phe Thr Leu Gly Asp Lys Pro Ile Glu Phe Glu

100 105 110

Leu Leu Ser Asp Pro Met Asp Gly Ser Thr Pro Gly Phe Ser Phe Pro

115 120 125

Ala Val Asn Tyr Glu Asp Pro Asn Ile Asn Ile Ala Ile Pro Val Phe

130 135 140

Ser Ile His Gly Asn His Asp Asp Pro Gln Gly Thr Gly Pro Glu Gly

145 150 155 160

Ala Leu Cys Ala Leu Asp Val Leu Ser Val Ser Gly Val Leu Asn Tyr

165 170 175

Phe Gly Lys Ser Asp Leu Val Ala Asp Glu Ser Ala Ala Asp Asn Pro

180 185 190

Glu Lys Gly Ile His Ile Arg Pro Val Leu Leu Arg Lys Gly Thr Thr

195 200 205

His Val Ala Leu Tyr Gly Cys Gly Asn Ile Arg Asp Gln Arg Met Tyr

210 215 220

Gln Glu Leu Arg Ala Asn Lys Val Lys Met Phe Met Pro Thr Gly Gly

225	230	235	240
Asp Val Pro Asp Ser Glu Trp Phe Asn Ile Leu Leu Val His Gln Asn			
245	250	255	
Arg Val Arg His Gly Pro Gln Asn Tyr Val Pro Glu Asn Met Phe Asp			
260	265	270	
Asp Ser Met Arg Leu Val Ile Trp Gly His Glu His Asp Cys Arg Ile			
275	280	285	
Thr Pro Glu Ser Val Ala Asp Lys Asn Tyr Phe Ile Thr Gln Pro Gly			
290	295	300	
Ser Ser Val Ala Thr Ser Leu Ala Pro Gly Glu Ala Val Pro Lys His			
305	310	315	320
Val Gly Leu Leu Ser Ile Gln Gly Ser Gln Phe Gln Leu Glu Glu Leu			
325	330	335	
Pro Leu Lys Thr Val Arg Pro Phe Glu Leu Asp Glu Val Val Leu Ser			
340	345	350	
Tyr Ala Ala Glu Gln Gly Ala Val Asp Leu Asn Asp Arg Asp Ser Ile			
355	360	365	
Thr Ser Phe Leu Arg Glu Gln Val Glu Ala Leu Ile Leu Gln Ala Lys			
370	375	380	
Lys Asn Trp Lys Glu Arg Asn Asn Gly Ser Thr Lys Asn Met Met Leu			
385	390	395	400
Pro Leu Ile Arg Leu Lys Val Glu Thr Thr Asp Ala Lys Glu Met Val			
405	410	415	
Asn Pro Val Arg Phe Gly Gln Glu Tyr Val Asn Arg Val Ala Asn Pro			
420	425	430	
Arg Asp Ile Leu Gln Tyr Tyr Arg Lys Lys Lys Asn Glu Arg Lys Val			
435	440	445	
Lys Asn Asn Pro Asp Met Pro Asn Ile Asn Asp Asp Glu Trp Glu Glu			
450	455	460	
Asp Pro Glu Ser Leu Thr Ala Asp Glu Arg Leu Ser Lys Leu Arg Met			
465	470	475	480

Ala Thr Leu Val Lys Gln Tyr Leu Gln Ala Gln Ser Leu Asp Val Leu  
 485 490 495  
 Val Glu Asn Gly Met Glu Asp Ala Val Met Arg Phe Val Asp Lys Asp  
 500 505 510  
 Asp Lys Asp Ala Ile Lys Asp Phe Val Ala Asp Thr Leu Arg Met Val  
 515 520 525  
  
 Gly Arg Lys Met Lys Glu Arg Glu Val Lys Glu Asp Asp Val Asp Leu  
 530 535 540  
 Ala Met Ala Glu Ala Lys Glu Lys Glu Tyr Asn Arg Tyr Ala Asp Ser  
 545 550 555 560  
 Asn Pro Val Pro Ser Gln Ser Val Lys Gly Lys Asn Lys Gln Arg Asp  
 565 570 575  
 Ser Asp Val Asp Ser Met Met Ala Ser Asp Asp Asp Met Asp Met Asp  
 580 585 590  
 Glu Met Pro Thr Gln Gln Arg Ala Pro Val Arg Arg Ala Thr Ala Asn  
  
 595 600 605  
 Gln Pro Val Arg Ser Ala Lys Gly Lys Gly Lys Gln Pro Leu Phe Glu  
 610 615 620  
 Asn Ala Ser Glu Glu Glu Glu Asp Glu Glu Glu Glu Glu Glu Glu  
 625 630 635 640  
 Glu Glu Pro Ala Pro Lys Lys Gly Arg Gly Arg Ala Ala Ala Ala Ser  
 645 650 655  
 Thr Lys Lys Ala Pro Ala Lys Lys Pro Pro Ala Arg Thr Pro Ala Lys  
 660 665 670  
  
 Ser Thr Thr Lys Ala Pro Ala Gly Arg Arg Pro Ala Val Ser Gln Pro  
 675 680 685  
 Ser Thr Gly Arg Gly Val Thr Gln Ser Gln Leu Thr Phe Ser Arg Ser  
 690 695 700  
 Gly Thr Gly Lys Ala Ala Ala Val Pro Ile Glu Leu Ser Ser Asp Glu  
 705 710 715 720  
 Asp

<210> 12  
<211> 605  
<212> PRT  
<213> Artificial Sequence  
<220><223> DBR1 >CNAG\_03222 Transcript 1  
<400> 12

Met Arg Ile Ala Ile Gln Gly Cys Ser His Gly Ser Leu Ala Gln Ile  
1 5 10 15  
Tyr Asp Val Val Asn Tyr Tyr Ser Ser Gln Thr Lys Asn Pro Ile Asp  
20 25 30  
Leu Leu Leu Cys Gly Asp Phe Gln Ala Leu Arg Ser Lys His Asp  
35 40 45  
Tyr Ala Ser Leu Ala Val Pro Ala Lys Phe Lys Gln Leu Gly Ser Phe  
50 55 60  
His Gln Tyr Tyr Ser Gly Glu Arg Val Ala Pro Val Leu Thr Ile Val  
65 70 75 80  
Ile Gly Gly Asn His Glu Ala Ser Asn Tyr Met Trp Glu Leu Tyr His  
85 90 95  
Gly Gly Trp Leu Ala Pro Ser Ile Tyr Tyr Leu Gly Ala Ala Gly Ser  
100 105 110  
Val Tyr Val Asn Gly Val Arg Ile Val Gly Ala Ser Gly Ile Tyr Lys  
115 120 125  
Gly Phe Asp Tyr Arg Lys Gly His Phe Glu Lys Val Pro Tyr Asn Asp  
130 135 140  
Lys Glu Leu Arg Ser Val Tyr His Ile Arg Glu Tyr Asp Val Glu Lys  
145 150 155 160  
Leu Met His Leu Thr Pro Ser Pro Ser Thr Ile Phe Leu Ser His Asp  
165 170 175  
Trp Pro Thr Thr Ile Ala His His Gly Asn Lys Asn Ala Leu Leu Lys  
180 185 190  
Arg Lys Pro Phe Phe Arg Asp Glu Ile Glu Lys Asn Thr Leu Gly Ser  
195 200 205

Pro Pro Leu Leu Arg Leu Met Asn His Phe Gln Pro Ser Tyr Trp Phe

210	215	220
Ser Ala His Leu His Val Lys Phe Ala Ala Leu Tyr Glu His Gln Ala		
225	230	235
Pro Asn His Gly Pro Asp Val Asp Gly Gly Ala Pro Leu Pro Leu Leu		
245	250	255
Ala Thr Ser Ala Val Ile Ala Gln Ala Gly Gly Asn Pro Asp Glu Ile		
260	265	270
Gln Ile Asp Glu Glu Met Asp Ala Gly Asn Pro Asp Glu Ile Ile Val		
275	280	285

Glu Asp Glu Gly Glu Glu Val Ile Ile Arg Pro Arg Gln Val Asn Pro		
290	295	300
Asp Glu Ile Ala Met Asp Asp Asp Glu Phe Asp Asp Pro Ala Pro Ala		
305	310	315
Val Pro Gln Pro Leu Pro Ala Thr Thr Asn Ser Ala Phe Asn Pro Glu		
325	330	335
Glu Ile Ile Ile Ser Asp Gln Glu Phe Asp Ala Pro Thr Thr Val Ser		
340	345	350
Gln Pro Leu Gln Pro Leu Pro Pro Thr Lys Thr Asn Ala Ser Asn Pro		

355	360	365
Glu Glu Ile Ala Ile Ser Asp Asp Glu Phe Asp Asp Pro Ala Pro Leu		
370	375	380
Ala Gln Ser Leu Thr Thr Ile Asp Glu Ser Thr Asp Leu Ile Ala Gln		
385	390	395
Ser Arg Ser Asn Pro Ser His Pro Pro Val Ala Gly Thr Ile Ala Pro		
405	410	415
Pro Thr Ser Asp Ser Ile Ala Ser Arg Val Met Gln Glu Ala Arg Gln		
420	425	430

Glu Gln Gln Lys Trp Glu Leu His Gly Gly Lys Gly Met Glu Gly Val		
435	440	445
Thr Lys Phe Leu Ala Leu Asp Lys Cys Gly Pro Gly Lys Asp His Met		

450	455	460
Gln Phe Leu Glu Ile Pro Asp Pro Ser Pro Pro Pro Ile Pro Gly Pro		
465	470	475
Pro Arg Leu Thr Tyr Asp Pro Glu Trp Leu Ala Ile Ser Arg Ala Phe		
485	490	495
His Pro Tyr Leu Ser Thr Ser Tyr Gln Pro Ile Pro Leu Pro Ser Ser		
500	505	510
Asp Ile Leu Glu Gln Met Val Lys Asp Glu Val Ala Arg Ile Lys Glu		
515	520	525
Glu Gly Leu Leu Val Pro Thr Val Pro Gln Asp Gly Ala Val Glu Gly		
530	535	540
Gln Glu Gly Leu Val Trp Glu Lys Gly Lys Val Asp Val Gly Arg Val		
545	550	555
Gln Arg Phe Trp Trp Thr Ala Pro Pro Glu Gly His Pro Gly Gly Asn		
565	570	575
Asp Thr Ala Trp Tyr Thr Asn Pro Gln Thr Glu Ala Phe Cys Gly Met		
580	585	590
Leu Gly Val Gln Asn Lys Ile Asn Pro Pro Val Asn Arg		
595	600	605
<210>	13	
<211>	281	
<212>	PRT	
<213>	Artificial Sequence	
<220><223>	SIW14 >CNAG_03296 Transcript 1	
<400>	13	
Met Met Ser Ser Ser Pro Thr Met Ser Ser Thr Pro Pro Gln Val Pro		
1	5	10
Ser Phe Leu Ala Asn Ile Leu Leu Ser His Leu Ser Pro Leu Asp Pro		
20	25	30
Ser Ser Thr Ser Pro Thr Thr Phe Glu His His Arg Ser Pro Thr Thr		
35	40	45
Gln Asn Pro Ser His Pro Gln Ala Leu Gln Thr Ala Glu Pro Pro Pro		

50	55	60
Asn Pro Leu Tyr Leu Pro Pro Pro Ala Leu Pro Lys Val Glu Glu Asp		
65	70	75
Leu Val Pro Pro Glu Asn Phe Ala Leu Val Ser Ser Gly Val Tyr Arg		
85	90	95
Cys Gly Phe Pro Lys Lys Arg Asn Phe Lys Phe Met Glu Thr Leu Arg		
100	105	110
Leu Lys Thr Val Leu Thr Leu Val Leu Glu Glu Tyr Pro Lys Ala Asn		
115	120	125
Leu Glu Trp Cys Gln Ser Gln Asp Ile Gln Phe Met Gln Phe Gly Ile		
130	135	140
Pro Gly Asn Lys Glu Pro Phe Asp Asn Ile Pro Glu Asp Val Ile Cys		
145	150	155
Ala Ala Leu Val Ala Ile Leu Asp Arg Arg Asn His Pro Ile Leu Ile		
165	170	175
His Cys Asn Lys Gly Lys His Arg Thr Gly Cys Leu Ile Gly Cys Ile		
180	185	190
Arg Arg Leu Gln Ala Trp Ser Leu Thr Ser Ile Phe Asp Glu Tyr Arg		
195	200	205
Arg Phe Ser Ala Pro Lys Ser Arg Ala Val Asp Gln Gln Phe Ile Asp		
210	215	220
Leu Phe Asp Ile Met Pro Val Trp Glu Ala Val Cys Arg Pro Lys Gly		
225	230	235
Gly Gly Leu Gly Asn Leu Pro Asp Trp Gly Met Leu Val Leu Pro Lys		
245	250	255
Gly Val Val Glu Val Gly Arg Asp Gly Lys Glu Lys Lys Arg Val Glu		
260	265	270
Arg Asp Ile Leu His Met Arg Gly Leu		
275	280	
<210>	14	
<211>	881	
<212>	PRT	

&lt;213&gt; Artificial Sequence

&lt;220&gt;&lt;223&gt; SDP102 &gt;CNAG\_03893 Transcript 1

&lt;400&gt; 14

Met Gln Pro Gln Gln His Thr His Asn Asn Pro Ser Pro Ala Ala Arg

1	5	10	15
Pro Gln Pro Leu Arg Val Val His Ser Pro Thr Ile Pro Pro Pro Asn			
20	25	30	
Arg Gly Thr Arg Thr Ser Glu Leu Ala Gln Gly Pro Lys Ala Pro Leu			
35	40	45	
Ala Ala Pro Leu Pro Leu Arg Ile Thr Ala Ala Thr Ser Pro Asn Arg			
50	55	60	
Lys Arg Pro Thr Pro Leu Val Leu Gly Lys Pro Arg Glu Ala Gly Pro			
65	70	75	80
Glu Ala Gly Pro Glu Asp Trp Glu Ile His Gln Glu Ile Ser Phe Ala			
85	90	95	
Ala Ser Leu Gly Ala Ser Ala Asp His Ser Leu Asp Asn Glu Leu Gln			
100	105	110	
Asp Leu Ser Lys Leu Arg Lys Ala Val Arg Gln Asn Leu Ala Arg			
115	120	125	
Pro Ile Asp Ser Pro Leu Glu Leu Ser Gly Ser Asp Gln Ser Ala Phe			
130	135	140	
Asn Thr Pro Gly Gln Gln Ser Ser Phe Gly Ser Ser Ser Ile Ser Met			
145	150	155	160
Asp Ser Ile Pro Ile Glu Gln Val Phe Asp Arg Val Glu Gly Gly Ser			
165	170	175	
Val Leu Leu Val Asp Thr Arg Pro Leu Ala Ser Phe Leu Asn Ser His			
180	185	190	
Leu Pro Asn Ser Ile Pro Leu Ser Val Pro Thr Leu Leu Ser Lys Arg			
195	200	205	
Phe Gln Lys Ser Gln Ser Gln Ser Ser Pro Ser Ser Ile Ser Trp Ala			
210	215	220	

Thr Leu Ser Pro Phe Val Ser Leu Ser Ser Ala Arg Glu Arg Trp Asp  
 225 230 235 240  
 Ser Val Asp Gln Asp Lys Val Glu Ile Ala Val Ile Cys Gln Gly Glu  
 245 250 255  
 Glu Gly Arg Val Val Lys Glu Ile Leu Lys Ser Leu Ile Glu Gly Arg  
 260 265 270  
 Val Lys Val Val Lys Gly Gly Trp Ala Ala Val Leu Asn Tyr Glu Arg  
 275 280 285  
 Ala Arg Arg Thr Leu Val Ser Gly Gln Thr Ala Thr Arg Pro Cys Leu  
  
 290 295 300  
 Asp Val Thr Ser Pro Glu Thr Asp Ser Lys Pro Leu Pro Pro Ala Ser  
 305 310 315 320  
 Ala Ser Asn Ile Leu Pro Pro Lys Ser Ala Pro Pro Cys Asp Ile Pro  
 325 330 335  
 Leu Pro Pro Ile Pro Ala Ser Pro Ser Pro Pro Lys Ser Leu Asn His  
 340 345 350  
 Arg Pro Ser Leu Pro Ser Leu Arg Pro Pro Phe Thr Gly Pro Thr Arg  
 355 360 365  
  
 Asn Leu Pro Ser Leu Ser Ile Asn Ala Gly Gln Ala Ser Gln Arg Arg  
 370 375 380  
 Thr Pro Lys Leu Ser Leu Asn Phe Asp Arg Pro Leu Lys Ser Ala Thr  
 385 390 395 400  
 Leu Gly Gly Tyr His Asp Ile Pro Pro Thr Pro His Gly Phe Ser Cys  
 405 410 415  
 Thr Arg Thr Arg Pro Gln Arg Ser Pro Gly Leu Ser Leu Asn Ile Pro  
 420 425 430  
 His Thr Pro Phe Gln Pro Gln Gln Gly Gln Ile Gln Asp Arg Ile Leu  
  
 435 440 445  
 Glu Asp Ser Arg Pro Asn Gly Ser Gly Ser Ile Gln Thr Lys Ala His  
 450 455 460  
 Glu Gln Ser Arg Phe Pro Pro Ser Ser Thr Phe Gly Asp Ala Lys  
 465 470 475 480

Gln Ile Glu Asn Glu Gly Glu Asp Met Ala Pro Asn Leu Tyr Asp Gly

485 490 495

Pro Ala Pro Arg Ala Pro Thr Ser His Ser Pro Ser Lys Ser Gln Asp

500 505 510

Tyr Gln Ala Ala Arg Phe Tyr Ser Ser Pro Ser Ser Met Asn Ser Ala

515 520 525

Leu Pro Ala Ser Pro Pro Thr Thr Arg Pro Ala Val Ala Pro Phe Asn

530 535 540

Pro Ser Val Ile Leu Pro Ser Phe Leu Tyr Leu Gly Pro Asp Ile Gln

545 550 555 560

Ser Glu Ser Asp Val Gln Tyr Leu Phe Arg Leu Gly Val Lys Arg Ile

565 570 575

Leu Asn Val Ala Leu Glu Cys Asp Asp Asn Gln Gly Leu Ser Leu Lys

580 585 590

Glu Arg Phe Lys Tyr Arg Lys Val Gly Met Arg Asp Ile Val Glu Glu

595 600 605

Asn Gly Val Gly Lys Gly Met Arg Asp Ala Cys Glu Phe Leu Asp Asp

610 615 620

Ala Arg Leu His Ser Ala Pro Thr Tyr Val His Cys Gln Ala Gly Lys

625 630 635 640

Ser Arg Ser Val Thr Ile Ile Leu Ala Tyr Leu Ile His Ala Asn Ala

645 650 655

Trp Thr Leu Lys Thr Ser Tyr Ala Tyr Val Ala Glu Arg Arg Lys Gly

660 665 670

Ile Ser Pro Asn Ile Gly Phe Val Ala Glu Leu Met Gln Trp Glu Glu

675 680 685

Lys Glu Leu Gly Val Lys Gln Ser Gly Gly Val His Gly Asp Gly Asn

690 695 700

Gly Arg Ala Lys Ala Pro Gly Gly Gly Gly Gly Ser Arg

705 710 715 720

His Met Glu Asp Gly Gly Asp Asp Glu Gly Lys Gly Lys Thr His Leu

725	730	735
Arg Asp Ser Leu Pro Pro Thr Trp Ser Ser Ser Val Asp Thr Tyr Thr		
740	745	750
Arg Pro Ala Lys Val Tyr Ser Pro Val Gly Arg Asp Asp Gly Gly Glu		
755	760	765
Glu Glu Ser Gly Arg Glu Gly Arg Ile Ala Val Gly Asp Glu Arg Glu		
770	775	780
Val Arg Lys Asn Gly Val Trp Met His His Arg Arg Ala Pro Val Asp		
785	790	795
800		
Arg Thr Thr Leu Gln Pro Gly Arg Arg Val Ser Lys Ala Gly Leu Glu		
805	810	815
Ser Leu Arg Pro Phe Leu Ile Thr Ser Thr Asp Ala Ser Ser Ser Ser		
820	825	830
Ala Ala Pro Asn Asn Gly Asp Asn Ile Asp Ser Glu Arg Gln Val Asn		
835	840	845
Asn Gly Ser Glu Ala Arg Pro Ser Pro Arg Ala Ser Pro Gly Met Gly		
850	855	860
Met Gly Gly His Ala Met Thr Pro Ala Gly Asp Gly Pro Leu Lys Trp		
865	870	875
880		
Ile		
<210>	15	
<211>	185	
<212>	PRT	
<213>	Artificial Sequence	
<220><223>	OCA1 >CNAG_03963 Transcript 1	
<400>	15	
Met Ala Lys Ile Val Pro Pro Met Asn Phe Gly Leu Val Glu Asp Gly		
1	5	10
15		
Phe Tyr Arg Ser Ala Gln Pro Ser Glu Leu Cys Phe Ser Phe Leu Glu		
20	25	30
Lys Leu Asn Leu Lys Ser Ile Ile Trp Val Gly Ala Glu Glu Pro Ser		

35	40	45
Asp Ile Phe Leu Ser Phe Ile Glu Ser Gln Gly Ile Lys Leu Tyr Asn		
50	55	60
Leu Ala Pro Gln Thr Ser Leu Asn Pro His Phe Pro Pro Pro Tyr Thr		
65	70	75
Asp Ser Gly Val Val Pro Ile Ser Gly Gln Tyr His Leu Pro Pro Leu		
85	90	95
Pro Pro Pro Pro Glu Pro Leu Ile Ile Gln Ala Leu Thr Leu Leu Leu		
100	105	110

Arg Pro Ser Thr Phe Pro Thr Leu Leu Cys Cys Asn Met Gly Arg His		
115	120	125
Arg Thr Gly Thr Val Val Gly Cys Tyr Arg Lys Leu Gln Arg Trp Ala		
130	135	140
Leu Ser Ser Ile Leu Glu Glu Tyr Arg Arg Tyr Ala Gly Met Lys Val		
145	150	155
Arg Val Leu Asn Glu Gln Phe Ile Glu Leu Phe Asp Thr Asp Leu Val		
165	170	175
Ser Ile Thr Ala Glu Gln Val Thr Lys		

180	185	
<210> 16		
<211> 671		
<212> PRT		
<213> Artificial Sequence		
<220><223> GDA1 >CNAG_03996 Transcript 1		
<400> 16		
Met Pro Ala His Leu Phe Ala Arg Ser Thr Asp Thr Thr Phe Pro Ser		
1	5	10
Ser Ile Glu Thr Ser Thr Ser Gly Ser Leu Ser Phe Ser Leu Leu Ser		
20	25	30
Ser Leu Arg His Arg Pro Ser Gly Arg Ile Pro Lys Thr Pro Ile Ser		
35	40	45
Pro Lys Ser Pro Thr Ser Ala Ser Thr Ser Thr Ala Ala Met Phe		

50	55	60
Ser Thr Arg Lys Tyr Ser Pro Leu Pro Thr Ser Ala Asn Gly Pro Ala		
65	70	75
Arg Lys Arg Thr Gly Ala Gly Leu Thr Ala Trp Lys Arg Trp Ala Leu		
85	90	95
Leu Ala Ala Ile Ser Val Ala Val Ile Phe Leu Val Phe Ser Arg Ala		
100	105	110
Ser Gly Gly Ser Glu Gln Gln Gln Ile Tyr Asn Glu Glu Asn Thr Tyr		
115	120	125
Thr Pro Ser Leu Asp Glu Asp Val Val Gly Asp Gly Asp Pro Ile Asp		
130	135	140
Tyr Ser Ser Pro Pro Phe Arg Pro Glu Asp Ser Asp Val Ala Gln Pro		
145	150	155
Leu Asp His Glu Asp Gly Asp Asp Asp Gly Val Ile His Thr Leu Pro		
165	170	175
Thr Gly Asp Ala Ser Asn Pro His Asp Pro Thr Ser Thr Glu Ala Gln		
180	185	190
Asp Ala Ser Glu Ala Glu Gln Asp Phe Thr Asn Glu Ser Glu Ser Glu		
195	200	205
Ser Pro Ser Glu Ala Glu Ser Ser Phe Pro Gly Ser Phe Glu Gln Asp		
210	215	220
Pro Asp Pro Ala Ser Thr Thr Ala Cys Thr Glu Pro Val Ser Ser Asp		
225	230	235
Lys Pro Val Val Gln Tyr Ala Leu Thr Ile Asp Ala Gly Ser Thr Gly		
245	250	255
Ser Arg Ile His Val Tyr Lys Phe Asn Asn Cys Gly Pro Ser Pro Gln		
260	265	270
Leu Glu Tyr Glu Thr Phe Lys Ala Val Lys Pro Gly Leu Ser Ala Tyr		
275	280	285
Ala Arg Asp Pro Thr Ala Ala Ala Ser Leu Asp Pro Leu Leu Glu		
290	295	300
Glu Ala Tyr Arg Val Val Pro Glu Ser Leu Arg Lys Cys Thr Pro Val		

305	310	315	320
Glu Val Lys Ala Thr Ala Gly Leu Arg Leu Leu Gly Gln Gln Glu Ser			
325	330	335	
Glu Ala Ile Leu Asp Glu Val Arg Asn Arg Leu Glu Thr Asn Trp Asp			
340	345	350	
Phe Thr Val Ser Gly Glu Arg Ala Val Glu Ile Met Asp Gly Lys Asp			
355	360	365	
Glu Gly Val Tyr Ala Trp Ile Thr Ala Asn Tyr Leu Leu Asn Lys Ile			
370	375	380	
Gly Glu Gly Ala Glu Ser Asp Asp Thr Leu Ala Val Met Asp Leu Gly			
385	390	395	400
Gly Ala Ser Thr Gln Ile Val Phe Glu Pro Lys Phe Pro Ala Glu Ser			
405	410	415	
Asp Gln Ala Leu Val Glu Gly Glu His Lys Tyr Glu Leu Thr Phe Gly			
420	425	430	
Gly Lys Asp Phe Thr Leu Tyr Gln His Ser Tyr Leu Gly Tyr Gly Leu			
435	440	445	
Met Arg Ala Arg Arg Ser Val His Asn Leu Val Ala Phe Thr Trp Ser			
450	455	460	
Phe Gly Gln Gly Glu Val Glu Trp Glu Asn Leu Ser Glu Asp Val Gln			
465	470	475	480
Val Pro Asn Pro Cys Leu Ser Lys Gly Met Thr Arg Arg Val Ala Leu			
485	490	495	
Asp Pro Pro Gly Arg Gln Thr Val Asn Val Thr Met His Gly Gly Asn			
500	505	510	
Gly Asn Phe Glu Ala Cys Asn Arg Val Val Glu Leu Val Met Ala Lys			
515	520	525	
Asp Ala Ile Cys Glu Val Lys Pro Cys Ser Phe Asn Gly Val Tyr Gln			
530	535	540	
Pro Ser Leu Leu Asp Thr Phe Pro Arg Gly Gln Leu Leu Ala Leu Ser			
545	550	555	560

Tyr Phe Thr Asp Arg Ile Lys Pro Leu Leu Pro Ser Ser Ser Ser  
 565 570 575  
 Thr Leu Ser Ile Ser Glu Leu Thr Ser Met Ala Lys Asp Val Cys Ala  
 580 585 590  
 Gly Pro Asp Ala Trp Ala Asp Arg Trp Gly Ser Asp Ala Thr Ala Met  
 595 600 605  
 Glu Glu Leu Ala Gly Arg Pro Glu Tyr Cys Leu Asp Leu Thr Phe Met  
 610 615 620

Asn Ala Leu Leu Gly Leu Gly Tyr Glu Leu Ser Pro Glu Arg Glu Leu  
 625 630 635 640  
 Met Val Glu Lys Lys Leu Arg Gly Val Glu Leu Gly Trp Ala Leu Gly  
 645 650 655  
 Ala Gly Leu Ala Leu Val Glu Lys Ala Glu Leu Thr Cys Thr Ala  
 660 665 670  
<210> 17  
<211> 656  
<212> PRT  
<213> Artificial Sequence  
<220><223> FBP26 >CNAG\_04221 Transcript 1  
<400> 17

Met Ser Ile Pro Pro Pro Pro Ser Asn Lys Ser Pro Ala Ser Ala  
 1 5 10 15  
 Val Ser Pro Ser Lys Pro Arg Ser Pro Lys Leu Lys Pro Leu Thr Pro  
 20 25 30  
 Thr Ser Glu Lys Pro Ser Arg Thr Asn Asn Asp Asp Asp Gln Val Tyr  
 35 40 45  
 Gln Pro Val Glu Pro His Val Leu Ala Glu Ala Val Ser Lys Leu Asp  
 50 55 60  
 Met Ile Arg Ser Ala Pro Ala Pro Met Ser Thr Val Thr Ser Pro Ala  
 65 70 75 80  
 Ala Ser Ala Ala Pro Ser Gly Pro Ser Ser Pro Arg Leu Ser Gly Ala  
 85 90 95

Gly Gln Gly Ala Pro Ser Thr Gly Pro Trp Ala Met Asp Arg Thr Ala

100 105 110

Ser Gly Asp Gly Arg His Ser Ala Pro Gly Thr Pro His Phe Gly Ala

115 120 125

Ser Thr Ala Leu Leu Lys Thr Leu Asp Glu Thr Thr Lys Val Ile Arg

130 135 140

Gln Ser Ser Arg Ala Pro Ser Arg Ala Pro Ser Val Ser Gly Ile Gly

145 150 155 160

Thr Val Val Glu Lys Pro Asp Tyr Ser Glu Ala Lys Ile Val Val Ala

165 170 175

Met Val Gly Leu Pro Ala Arg Gly Lys Ser Tyr Leu Ser Asn Arg Leu

180 185 190

Met Arg Tyr Leu Arg Trp Leu Glu Tyr Asn Val Gln Val Phe Asn Val

195 200 205

Gly Gln Leu Arg Arg Ser Lys Ala Arg Ser Ala Leu Gln Ala Gly Gln

210 215 220

Gly Lys Val Asp His Ser Ala Thr Tyr Phe Ser His Ser Asp Ala Glu

225 230 235 240

Ala Thr Lys Lys Arg Glu Glu Leu Ala Glu Glu Ser Leu Glu Ser Leu

245 250 255

Ile Ser Trp Leu Lys Lys Glu Gly Asn Val Gly Ile Met Asp Ala Thr

260 265 270

Asn Ser Thr Ile Asp Arg Arg Glu Lys Ile Lys Ser Arg Ile Asp Lys

275 280 285

Glu Pro Gly Leu Gln Val Leu Tyr Leu Glu Ser Phe Cys Asp Asp Pro

290 295 300

Val Val Ile Ala Thr Asn Ile Ala Leu Lys Val Arg Ser Gly Asp Pro

305 310 315 320

Asp Tyr Gln Gly Met Ser Lys Glu Asp Ala Glu Arg Asp Phe Arg Lys

325 330 335

Arg Ile Ala Gln Tyr Glu Ser Val Tyr Gln Thr Ile Asn Glu Pro Asn

340 345 350

Ile Pro Phe Cys Arg Ile Leu Asn Val Gly Gln Arg Val Thr Ile Asn

355 360 365

Lys Ile Glu Gly Tyr Leu Gln Ser Arg Ile Ala Phe Tyr Leu Met Asn

370 375 380

Leu His Leu Lys Pro Arg Ser Ile Tyr Leu Ser Arg His Gly Glu Ser

385 390 395 400

Met Tyr Asn Val Glu Gly Lys Ile Gly Asp Ser Asp Leu Ser Pro

405 410 415

Arg Gly Trp Glu Tyr Ala Arg Ala Leu Pro Ala Leu Ile Lys Asp Asn

420 425 430

Ile Gly Glu Gly Pro Leu Glu Val Trp Thr Ser Thr Leu Gln Arg Thr

435 440 445

Gln Gln Thr Ala Ser Tyr Leu Pro Phe Glu Lys Lys Thr Trp Lys Ser

450 455 460

Leu Asp Glu Leu Asp Ala Gly Val Cys Asp Gly Met Thr Tyr Lys Glu

465 470 475 480

Ile Glu Gln Lys Tyr Pro Glu Asp Tyr Glu Ser Arg Asp Asp Asp Lys

485 490 495

Phe Asn Tyr Arg Tyr Arg Gly Gly Glu Ser Tyr Arg Asp Val Val Val

500 505 510

Arg Leu Glu Pro Val Ile Met Glu Leu Glu Arg Gln Asn Asn Ile Leu

515 520 525

Ile Ile Ala His Gln Ala Ile Leu Arg Cys Leu Tyr Ala Tyr Phe Gln

530 535 540

Ala Arg Pro Gln Gln Glu Leu Pro Tyr Ile Asn Ile Pro Leu His Thr

545 550 555 560

Leu Ile Lys Ile Thr Pro Gln Ala Tyr Gly Cys Gln Glu Glu Arg Tyr

565 570 575

Pro Leu Pro Ile Ala Ala Val Asp Thr His Arg Pro Arg Pro Ser Lys

580 585 590

Gly Arg Asn Thr Ala Gly Val Ser Val Ala Glu Glu Ala Phe Gln Pro

595 600 605

Val Lys Arg Asp Tyr Tyr Gly Asp Ser Gln Gln Gly Val Gly Phe Gly

610 615 620

Leu Lys Pro Glu Ala Ile Ser Gln Ala Leu Glu Asn Glu Met Glu Gln

625 630 635 640

Gly Lys Leu Thr Pro Arg Ala Ala Val Ala Ala Gln Leu His His Glu

645 650 655

<210> 18

<211> 613

<212> PRT

<213> Artificial Sequence

<220><223> PSR1 >CNAG\_04224 Transcript 1

<400> 18

Met Pro Thr Thr Arg Thr Glu Pro Pro Thr Val Ala Pro Ala Ile Ser

1 5 10 15

Pro Gln Asn Thr Asn Thr Ala Gly Pro Ala His Thr Thr Ser Ile Asp

20 25 30

His Asn Thr Ser Thr Asp Thr Gln Gln Pro Ser Ser Gly Leu Gln

35 40 45

Pro Ser Ile Leu Pro Pro Val Ala Thr Pro Ala Thr Gln Asn Leu Ala

50 55 60

Ser Thr Thr Glu Met Thr Lys Asp Gly Gly Ala Ala Ala Gln Pro

65 70 75 80

Ser Thr Ala Gln Thr Thr Leu Pro Glu Pro Gly Thr Thr Ser Thr Ser

85 90 95

Ile Lys Pro Thr Glu Gly Glu Gln Ser Lys Gly Thr Pro Leu Gly Asn

100 105 110

Leu Ser Arg Arg Leu Ser Asn Lys Ser Pro Ser Thr Thr Ala Ser Ser

115 120 125

Ala Pro Gln Thr Thr Ala Glu Lys Ala Asp Pro Lys Pro Ala Ser Ser

130 135 140

His Thr Gln Pro Thr Thr Ser Thr Ser Lys Thr Thr Val Asn Thr Pro

145	150	155	160
Ala Ser Arg Ser Val Asn Gly Ala Thr Lys Ser Lys Thr Ala Pro Thr			
165	170	175	
Ser Asn Thr Thr Ala Pro Lys Ala Gly Gln Lys Lys Lys Arg Lys Arg			
180	185	190	
Lys Gly Leu Ala Gly Ile Leu Leu Ala Leu Gly Cys Leu Ser Val Asp			
195	200	205	
Glu Phe Glu Glu Pro Ser Lys Pro Ser Ser Thr Thr Ala Ser Val			
210	215	220	
Gly Ala Gly Lys Thr Ala Gly Ala Gly Ala Thr Thr Gly Val Ser Thr			
225	230	235	240
Lys Ala Asp Glu Ser Ala Lys Pro Gly Ser Gly Asp Ala Gly Met Thr			
245	250	255	
Ser Gly Ala Leu Lys Ala Pro Asn Gly Ser Val Ala Pro Ala Pro Ser			
260	265	270	
Gly Pro Ser Ala Val Lys Thr Gln Asp Thr Thr Val Gly Ala Glu Gln			
275	280	285	
Lys Val Asp Ala Thr Gly Pro Thr Gly Ser Thr Val Val Ala Glu Gly			
290	295	300	
Ser Asn Glu Ala Asp Lys Gly Ile Val Pro Asp Glu Gln Val Val Val			
305	310	315	320
Pro Pro Thr Glu Pro His Thr Leu Pro Asp Asp Glu Thr Ala Gly Val			
325	330	335	
Thr Ser Ser Ala Val Gln Pro Pro Gly Gly Ser Val Leu Leu Gly			
340	345	350	
Thr Pro Ser Lys His Val Ser His Arg Glu Ser Glu Thr Asn Leu Gly			
355	360	365	
Thr Ser Ser Asn Glu Arg Thr Glu Thr Ser Gly Gly Tyr Ser Asp Ile			
370	375	380	
Ser Asn Ser Glu Met Val Asp Glu Ser Thr Gly Gln Gly Asp Glu			
385	390	395	400

Leu Gly Glu Asp Tyr Leu Glu Tyr Asp Asp Glu Glu Asp Arg Leu Ile  
 405 410 415  
 Glu Gln Gly Gly Ile Gly Ile Pro Val Asp Glu Asn Gly Asn Pro Ala  
 420 425 430  
 Pro Leu Leu Pro Pro Ile Ala Ala Lys His Arg Gly Arg Lys Cys Leu  
 435 440 445  
 Val Leu Asp Leu Asp Glu Thr Leu Leu His Ser Ser Phe Lys Gln Leu  
 450 455 460  
 Pro Thr Ala Asp Tyr Ile Val Pro Val Glu Ile Glu Ser Gln Val His  
 465 470 475 480  
 Asn Val Tyr Val Ile Lys Arg Pro Gly Val Asp His Phe Leu Thr Glu  
 485 490 495  
 Met Ala Lys Ile Tyr Glu Ile Val Val Phe Thr Ala Ser Leu Ser Lys  
 500 505 510  
 Tyr Ala Asp Pro Val Leu Asp Met Leu Asp Glu Asn Arg Val Val Ala  
 515 520 525  
 His Arg Leu Phe Arg Glu Ser Cys Tyr Asn His Lys Gly Asn Tyr Val  
 530 535 540  
  
 Lys Asp Leu Ser Gln Leu Gly Arg Asp Ile Gln His Ser Ile Ile Ile  
 545 550 555 560  
 Asp Asn Ser Pro Ala Ser Tyr Ile Phe His Pro Asn Asn Ala Val Pro  
 565 570 575  
 Val Ser Thr Trp Phe Ser Asp Pro His Asp Ser Glu Leu Thr Asp Leu  
 580 585 590  
 Cys Pro Phe Leu Ala Asp Leu Ala Thr Val Asp Asp Val Arg Gly Val  
 595 600 605  
 Leu Asp Gly Arg Ile

610  
 <210> 19  
 <211> 706  
 <212> PRT  
 <213> Artificial Sequence

&lt;220&gt;&lt;223&gt; CDC1 &gt;CNAG\_06647 Transcript 1

&lt;400&gt; 19

Met Leu Gly Ser Pro Arg Ala His Ser Pro Ala Pro Pro Leu Ala Ala

1 5 10 15

Arg Gly Arg Lys Thr Gly Leu Lys Ser Arg Ala Thr Gln Ile Leu Ala

20 25 30

Leu Arg Phe Gly Trp Val Val Leu Val Ile Trp Tyr Glu Val Gly Glu

35 40 45

Phe Phe His Ser Leu Ser Thr Cys Arg Phe Pro Asp Ser Ala Leu Arg

50 55 60

Gln Ala His Pro Gln Ala Pro Pro Pro Thr His Val Val Leu Ile Ala

65 70 75 80

Asp Pro His Val Pro His Ala Arg Leu Ser Tyr Pro Ser Gly Asn Pro

85 90 95

Trp Leu Asn Trp Ala Lys Gln Gln Met Asp Glu Leu Phe Met Arg Lys

100 105 110

Ser Trp Asn Val Val Met Arg Leu Gly Arg Val Asp Gln Val Leu Val

115 120 125

Leu Gly Asp Met Leu Asp Ser Gly Arg Gly Val Met Ser Asp Glu Glu

130 135 140

Tyr Val Glu Tyr Ile Ala Leu Phe Arg Ser Ile Phe Gln Leu Pro Pro

145 150 155 160

Thr Thr Pro Met His Phe Val Pro Gly Asn His Asp Ile Ser Leu Val

165 170 175

Pro Asn Gly Arg Phe Ser Ser Gln Ala Arg Leu Arg Tyr Gln Gln His

180 185 190

Phe Lys Thr Pro Asn Thr Val Leu Pro Ile Ser Asn His Ser Phe Ile

195 200 205

Leu Leu Asp Ala Val Gly Leu Val Glu Glu Asp Tyr Arg Arg Tyr Ala

210 215 220

Ser Glu Met Gln Phe Gly Glu Trp Asp Gly Val Lys Gly Gly Val Ile

225 230 235 240

Glu Phe Val Lys Asp Leu Arg Asp Asn Pro Pro Pro Gly Pro Lys Ile  
 245 250 255  
 Leu Leu Ser His Ile Pro Leu Ala Arg Pro Glu Gly Ala Ala Cys Gly  
 260 265 270  
 Pro Leu Arg Glu Lys Gly Arg Ile Ser Lys Gly Ala Gly Pro Gly Tyr  
 275 280 285  
 Gln Asn Leu Leu Gly Ser Glu Thr Ser Lys Phe Leu Leu Asp Ala Ile  
 290 295 300  
 Gln Pro Asn Ile Val Phe Ser Gly Asp Asp His Asp Tyr Cys Asp Tyr  
 305 310 315 320  
 Val His Lys Gly Asn Ile Arg Glu Val Thr Val Lys Ser Phe Ser Ser  
 325 330 335  
 Ser Thr Gly Ile Arg Arg Pro Gly Leu Gln Leu Leu Ser Leu Val Pro  
 340 345 350  
 Pro Pro Thr Glu Ser Thr Ala Arg Leu Leu Pro Thr His Ala Asp Arg  
 355 360 365  
 Pro Cys Phe Leu Pro Asp Gln Leu Gly Val Tyr Trp Arg Val Tyr Leu  
 370 375 380  
 Pro Leu Ala Ile Leu Thr Ala Leu Tyr Leu Phe Ile Thr Asn Leu Arg  
 385 390 395 400  
 Ser Ala Tyr Leu Arg Trp Asp Arg Ser Ser His Ala Val Ser Glu Lys  
 405 410 415  
 Met Arg Ser Ser Pro Ala Leu Leu Ser Ala Glu Thr Met Ser Pro Asn  
 420 425 430  
 Ser Phe Ser Ser Arg Arg Asn Gly Pro Val Pro Leu Ser Ile Pro Ser  
 435 440 445  
 Arg Lys Ser Ser Ser His Leu Pro Leu Ser Ala Pro Ser Ala Ile Pro  
 450 455 460  
 Ser Ser Thr Leu Pro Arg Pro Val Arg Tyr Asn Ser Thr Pro Ala Glu  
 465 470 475 480  
 Tyr Pro Pro Gly Ser Arg Ser Gly Gln Ser Asn Pro Val Ser Pro Phe

485	490	495
Gly Ser Pro Lys Leu Ser Ala Val Glu Arg Phe Gly Glu Arg Asp Val		
500	505	510
Glu Arg Asp Gly Glu Ala Ala Ser Ala Ser Val Thr Gly Leu Asn Thr		
515	520	525
Pro Leu Thr Leu Ser Arg Arg Ser Ser Tyr Ile Tyr Met Asp Arg Gly		
530	535	540
Phe Pro Ser Ser Val Ser Asp Ser Ala Pro Leu Ser Ala Ser Gly Thr		
545	550	555
Thr Asn Trp Gly Leu Gly Ala Asn Thr Gly Val Ser Ser Pro Ser Ser		
565	570	575
Ser Gly Phe Ile Arg Arg Val Ser Ser Ala Asn Leu Ser Thr Leu Ile		
580	585	590
Thr Thr Asn Val Ala Pro Pro Ser Leu Ser Ile Thr Ser Pro Gly Thr		
595	600	605
Pro Arg Arg Val Thr Leu Pro Ser Pro Leu Leu Leu Pro His Ser Pro		
610	615	620
Ala His Ala Gln Ala His Pro Leu Ser Gln Thr Ser Ser His Ala Thr		
625	630	635
His Pro His Pro Ala Val Ile Tyr Thr Phe Pro Thr Pro Ser Arg Ser		
645	650	655
Trp Phe Trp Phe Glu Arg Ala Lys Ser Phe Leu Arg Trp Ala Trp Lys		
660	665	670
Ala Arg Lys Gly Ala Val Gly Lys Ser Trp Arg Glu Leu Ile Ser Val		
675	680	685
Ala Trp Val Gly Ala Ile Val Trp Leu Gly Val Asn Ala Leu Phe Phe		
690	695	700
Leu Glu		
705		
<210>	20	
<211>	444	
<212>	PRT	

&lt;213&gt; Artificial Sequence

&lt;220&gt;&lt;223&gt; INP5202 &gt;CNAG\_07317 Transcript 1

&lt;400&gt; 20

Met Ala Pro Leu Asp Val Phe Met Thr Thr Trp Asn Thr Gly Leu Gln

1 5 10 15

Gly Ser Lys Ala Gln Ser Gln Asp Leu Thr Ser Trp Leu Leu Pro Val

20 25 30

Leu Arg Asn Ala Ser Asn Pro Glu Leu Pro Gln Gly Phe Ile Pro Asp

35 40 45

Leu Tyr Ala Ile Gly Ile Gln Glu Leu Leu Pro Leu His Leu Ala Met

50 55 60

Ala Gly Leu Thr Glu Pro Val Leu Leu Ala Leu Thr Ser Arg Ile Glu

65 70 75 80

Asn Leu Leu Ser Ala His Ala Ser Ser Ile Ser Pro Asn Lys Thr Pro

85 90 95

Glu Arg Tyr Ser Leu Val Ala Arg Val Ala His Val Gly Asn Ala Leu

100 105 110

Trp Ile Phe Ser Arg Asp Ser Thr Met Asp Gly Arg Leu Gly Lys Pro

115 120 125

Ser Thr Ala Thr Leu Gly Leu Tyr Trp Gly Gly Met Gly Asn Lys Gly

130 135 140

Ala Val Gly Val Arg Leu Pro Val Arg Arg Gly Lys Ile Gly Gly Trp

145 150 155 160

Glu Asn Leu Thr Phe Val Asn Ala His Leu Glu Ala His Asp His Asn

165 170 175

Ile Pro Arg Arg Asn Ala Gln Tyr Gln Arg Ile Leu Ser Ser Leu Val

180 185 190

Phe Asn Ser Thr Asp Pro Leu Thr Thr Ser Gln Gln Ile Phe Asp Thr

195 200 205

Ser His Leu Phe Phe Met Gly Asp Leu Asn Tyr Arg Leu Ser Lys Gln

210 215 220

Pro Pro Pro Gly Ala Leu Gln Glu Asn Lys Met Phe Gly Asp Val Leu

225 230 235 240

Glu Leu Glu Lys Ser Arg Met Gly Met Leu Asp Thr Asp Thr Leu Arg

245 250 255

Gln Glu Gln Arg Glu Gly Arg Val Phe Gly Gly Leu Arg Glu Gly Asp

260 265 270

Leu Thr Arg Phe Ala Pro Thr Tyr Lys Arg Ile Val Gly Gln Ile Glu

275 280 285

Gly Tyr Ser Lys Lys Arg Ile Pro Gly Trp Thr Asp Arg Ile Leu Phe

290 295 300

Ala Ser His Thr Asp Pro Pro His Leu Phe Ser Pro Glu Ala Ser Leu

305 310 315 320

Asp Pro Val Pro Ser Asn Val Ala Asp Thr Thr Ser Ile Leu His Phe

325 330 335

Asn Ser Thr Ile Glu Leu Val Ile Ser Asp His Lys Pro Val His Ala

340 345 350

Ile Leu Ser Leu Pro Glu Val Ser His Glu Ala Pro Ser Pro His Leu

355 360 365

Ala Pro Thr Leu Pro Pro Ala Pro Ser Pro His Gln Pro Arg Pro Leu

370 375 380

Pro Thr Gln Arg Glu Val Leu Leu Ile Glu Lys Phe Leu Gly Thr Leu

385 390 395 400

Leu Asp Arg Leu Val Gly Trp Pro Trp Cys Ile Ile Val Leu Leu Gly

405 410 415

Phe Gly Asn Thr Arg Arg Gly Met Gly Val Ser Ala Phe Val Ala Met

420 425 430

Ile Trp Gly Ile Trp Trp Ser Gly Val Tyr Ser Gly

435 440

<210> 21

<211> 976

<212> PRT

<213> Artificial Sequence

<220><223> YND1 >CNAG\_07692 Transcript 1

&lt;400&gt; 21

Met Ala Pro Ser Val Thr Pro Leu Thr Thr His Tyr Ala Leu Val Ile

1	5	10	15
Asp Ala Gly Ser Ser Gly Ser Arg Leu Gln Ile Tyr Ser Trp Arg Asp			
20	25	30	
Pro Asp Leu Glu Arg Ala Glu Ile Leu Gln Asp Val Gln Asn Ile Glu			
35	40	45	
Arg Gln Gly Ser Ser Ser Lys Glu Gly Ala Arg Trp Trp Trp			
50	55	60	
Ser Gly Glu Asp Gly Trp Lys Gly Lys Gly Lys Ala Lys Glu			
65	70	75	80
Met Glu Glu Met Ala Leu Arg Arg Leu Val Arg Val Gly Lys Gly Val			
85	90	95	
Glu Gly Asp Asp Trp Val Lys Arg Val Glu Pro Gly Ile Ser Thr Val			
100	105	110	
Asp Pro Glu Asn Ile Pro Glu Tyr Leu Ala Pro Leu Leu Thr His Ala			
115	120	125	
Leu Gln His Ile Pro Pro Ser Val His Ser Ser Thr Pro Ile Tyr Leu			
130	135	140	
Leu Ala Thr Ala Gly Met Arg Leu Leu Pro Ser Gln Gln Arg Asp Ala			
145	150	155	160
Ile Leu Gln Ala Thr Cys Asp Thr Leu Arg Asn Asp Tyr Pro Phe Leu			
165	170	175	
Val Ser Gly Pro Thr Glu Glu Gly Pro Cys Gly Glu Asn Val Arg Val			
180	185	190	
Ile Asp Gly Glu Glu Gly Ile Trp Gly Trp Val Ala Val Asn Tyr			
195	200	205	
Leu Met Asp Gly Phe Gly His Ala Pro Ser Pro Ser Ser Ile Ser Asn			
210	215	220	
Ser Gly Thr Ser Ser Ser Ser Thr Asn Leu Leu Pro Leu Ala Pro			
225	230	235	240

Leu Ala Ser Ala Pro Pro Asp Ser Ser Ser Ser Ile Thr Pro Val  
 245 250 255  
 Asp Ile Ala His His Ser Pro Thr Phe Gly Phe Leu Asp Met Gly Gly  
 260 265 270  
 Ala Ser Thr Gln Leu Ala Phe Ser Pro Ser Ala Ser Glu Leu Leu Thr  
 275 280 285  
 Ser Gly Phe Pro Leu Asp Lys Leu Arg Thr Val Ser Leu Arg Leu Leu  
 290 295 300  
 Ser Gly Glu Gln Val Asp Trp Pro Val Phe Val Ala Ser Trp Leu Gly  
 305 310 315 320  
 Phe Gly Thr Asn Arg Ala Arg Glu Arg Tyr Met Thr Ser Leu Tyr Gln  
 325 330 335  
 Gln Trp Ala Ser Ala His Pro Ser Pro Ser Ala Gln Asp Leu Ala Thr  
 340 345 350  
 Pro Ile Pro Asp Pro Cys Leu Pro Lys Asp Leu Ser Ile Leu Pro Pro  
 355 360 365  
  
 Ser Ser Ser Gln Pro Pro Leu Ile Gly Thr Gly Ser Phe Pro Glu Cys  
 370 375 380  
 Leu Thr Ser Leu His Pro Leu Leu Glu His Ser Thr Pro Cys Pro Thr  
 385 390 395 400  
 Ser His Cys Leu Phe Gly Gly Gln Pro Thr Pro His Ile Asp Phe Glu  
 405 410 415  
 Arg His Asp Gln Arg Gly Phe Ile Gly Ile Ser Glu Tyr Trp Tyr Thr  
 420 425 430  
 Met Gln His Val Leu Gly Val Gly Val Trp Asp Trp Gly Glu Trp  
 435 440 445  
 Glu Lys Gly Met Lys Glu Phe Cys Gly Lys Asp Trp Glu Val Ile Lys  
 450 455 460  
 Ser Glu Val Glu Asn Gly Asp Trp Glu Asp Val Asn Met Asp Pro Thr  
 465 470 475 480  
 Arg Leu Glu Met Gln Cys Phe Lys Gly Ala Trp Ile Ser Asn Val Leu  
 485 490 495

His Glu Gly Ile Gly Ile Pro Arg Leu Val Asp Val Gly Gly Asn Asp

500 505 510

Thr Leu Thr Gly Gly Ser Leu Gly Asp Thr Asn Ala Glu Ala Glu Arg

515 520 525

Arg Ala Arg Glu Lys Gly Leu Phe Glu Lys Lys Gly Gln Gln Gly

530 535 540

Lys His His Phe Gln Ser Met Asp Gln Val Gly Glu Thr Ala Ile Ser

545 550 555 560

Trp Thr Leu Gly Lys Val Val Ile Glu Ala Ser Lys Ala Val Gln Pro

565 570 575

Arg Ser Gln Glu Met Glu Gly Trp Trp Met Arg His Leu Asn Leu Gly

580 585 590

Ser Met Arg Leu Pro Leu Ser Leu Pro Ile Pro Lys His Leu Glu Gly

595 600 605

Lys Leu Glu Asp Leu Gly Leu Ser Val Val Trp Ile Tyr Ala Val Val

610 615 620

Gly Phe Phe Leu Val Gly Met Leu Phe Ser Arg Ser Asn Arg Arg Arg

625 630 635 640

Gly Val Gly Ser Leu Gly Ser Gly Met Gly Arg Arg Arg Lys Pro Ser

645 650 655

Leu Ser Ser Pro Pro Leu Pro Ala Arg Pro Trp Phe Thr Phe Pro Ser

660 665 670

Phe Phe Ser Gly Pro Ala Ala Asp Pro Ser Leu Ser Ile Glu Asp Gly

675 680 685

Pro Asp Ala Ser Pro Thr Ser Ser Thr Ser Thr Pro Phe Ser Gly

690 695 700

Asn Gly Thr Ala Gly Ala Ser Gly Lys Ser Arg Ile Val Pro Gly

705 710 715 720

Arg Leu Arg Leu Trp Ser Leu Arg Ile Ser Asn Thr Ile Asn Lys Tyr

725 730 735

Ile Pro Ala Ser Leu Pro Leu Ser Leu Gly Ser Pro Asn Ser Arg Gln

	740	745	750												
Arg	Gly	Ala	His	Glu	Leu	Trp	Thr	Ser	Ile	Gly	Ile	Gly	Leu	Pro	
	755		760		765										
Arg	Thr	Arg	His	Asn	Ser	Met	Pro	Met	Ile	Gly	Met	Gly	Pro	Asn	Thr
	770		775		780										
Ser	Pro	Arg	Val	Gly	Leu	Leu	Ser	Pro	Gly	Gly	Asp	Gly	Tyr	Ser	
	785		790		795		800								
Gln	Pro	Gly	Ser	Pro	Arg	Ile	Ile	Ser	Ala	Pro	Phe	Phe	Ile	Pro	Ala
	805		810		815										
Ala	Ala	Pro	Gly	Ile	Gly	Gly	Leu	Asn	Thr	Gly	Val	Gly	Ser	Leu	Thr
	820		825		830										
Pro	Glu	Thr	Val	Leu	Thr	Gly	Ile	Ser	Ser	Ala	Thr	Ser	Val	Ser	Pro
	835		840		845										
Ser	Pro	Ser	Leu	Ala	Ser	Thr	Ser	Ser	Pro	Pro	Pro	Pro	Arg	Ser	Ser
	850		855		860										
Leu	Lys	Pro	Gly	Lys	Ser	Gly	Arg	Pro	Phe	Lys	Pro	Arg	Gln	Asn	Ser
	865		870		875		880								
Asn	Asn	Leu	His	Pro	His	His	Gly	Ser	His	Gly	Phe	His	Ser	Val	Gly
	885		890		895										
Glu	Gly	Ile	Gly	Ala	Gly	Gly	Gly	Trp	Asn	Asp	Pro	Pro	Leu	Ala	
	900		905		910										
Met	Leu	Ser	Ser	Pro	Gly	Ser	Gly	Thr	Gly	Pro	Ser	Gly	Ser	Gly	Ala
	915		920		925										
Ala	Asp	Asp	Gly	Gly	Val	Leu	Thr	Pro	Thr	Ala	Asn	Gly	Leu	Ser	
	930		935		940										
Asn	Gly	Ala	Leu	Ser	Arg	Asn	Ser	Ser	Arg	Ala	Asn	Leu	Ser	Glu	Leu
	945		950		955		960								
Gly	Leu	Ala	Gln	Arg	Ser	Met	Ser	Arg	Thr	Gly	Thr	Pro	Gly	Phe	Asp
	965		970		975										
<210>	22														
<211>	1283														
<212>	DNA														

&lt;213&gt; Artificial Sequence

&lt;220&gt;&lt;223&gt; vps29

&lt;400&gt; 22

cagaagcaaa cctttccgc ttatattact ctgacccitc ctcgaattt gtatcacat	60
ggtcctgggtt ctcgtcattg gagacctta tatcccta ac cttgtccacg atcttcgtc	120

aaagttaag aagttaactgg tccctggaaa gatcgccaa attataatgtt ccggaaatgt	180
ctgcgacaag gagacctatg actatattacg gacgacggcc cctgaagttac acgttagtgcg	240
gggagaattt cgcgagaacc ctcattccc tctgtcactt ataattcagc atcaatcact	300
tgcataaggc gtatgtccatg gacaacagggt tttgtccgt ggagaccccg atatgttgtc	360
agcttggca aggcagatgg atgttagacgt tttgtacgt ggagggacac accgcatttga	420
gtcatttggaa ttcaagggtc gtttcttgc taacccggg tcggcaaccg gggcttggag	480
tagtctctgg aatggcgagg taacaccatc attgccttgc atggacattc aaggccccgt	540

cattgtcaact tatgtatatac aacttgtttaga cggagaggc aaggtcgaca aagtcaata	600
ccgttaaacct gaccttacat cagagactca gtctcaatca acgcggtcag aggtgtgc	660
aagatggtag ataatacact tagaagcgaa gccttgcca tagataagat agcaggtacc	720
ctactatgtt ctggcagctg tctgttaatgt aagctaacag tcagtttgg ccatgtgaca	780
cttacagttt cttaaagagca aaattttgtt ctggcatgaa gtttgtccat tcaattgcaa	840
acgaacattt tcgaccacgca cagtaaggc aaatttattt caagcactcg aatttaggggg	900
atgcaggacg ctgagatata ctgccttc ttatctaaac agttaagca aaccaaattt	960

taaagcgaag atgaggagtc ttctttgaag gacgcaaaagc catttcattt cacatactt	1020
cacccattt aaacgtcttg tttaatgggtt tctttttt ccatctgtatg acttggttcc	1080
aacagacgtt cgatcattgc acataattt tccactgatc taactagcta gtttctcagt	1140
gctctaactt ccattaatga cgtaaaaaaaaa tgcccttcg gggccaaagt aaccactact	1200
tagtttagct ccctgaaagt ttgacttagc aacttcaaca actccggcaa cttgcaacct	1260
catgcatttc tctatgtcttc ttg	1283

&lt;210&gt; 23

&lt;211&gt; 3261

&lt;212&gt; DNA

&lt;213&gt; Artificial Sequence

&lt;220&gt;&lt;223&gt; YMR1

&lt;400&gt; 23

cgaatccat ctcatctcat ctcttcttt cccctgctt accttacgca tcgcttgct	60
caactccagc agctatggac gcattacgag tagcaagagt agataacgta acgatccaa	120
actttcttc cccaacagct cccgatcaaa agccaaactcc cctcactcg atcggccagc	180
tacatctcac cccgcatcat ctcataatct ctcatacacc ctctacagct tacgaaccag	240
aaatatggat acttaccct ttgataaccc gtctcactcg tctacccag acaatcaacg	300
gtctctatcc cctcaagta gaaacaaaaa ctttgaag ctacgtcctt ctcttcacca	360
aggacaggga cgatggtgca gaggaagttt ggcagagtgt caaagattgc tctgtcaa	420
atctgtcga acagctgtac gcattcttct atgtcccccc atcacccggt acaggctgga	480
ccgtcttcaa ccatcgaacc gagtttgccc gacagggttt aggcaactcg accaaagcct	540
ggcgattcac agacataaac aaggactact cttttctcc gacatatcca agcaagctcg	600
ttgtaccgag tcttatcgt gattctacgc tcacgtacgc gggtaagtac aggagcaagg	660
cacgtatacc agcattgact tacctccact gggccaacaa tgcttctatc acacgatcat	720
cacaaccaat gtttgtata aaaaactcac gctcatctca agatgaaaga ctggtcgagt	780
gtatatttc atcccacatg ttccttgaca atgccttattc ctctgcccc atcttcggag	840
ccacctctac caatctcatt atagacgctc gcccaaccac gaatgccatg gccaatgtag	900
caatggcgcc gggAACGGAG aacatggaga attataaact aggcaaaaag gcctatctcg	960
ggattgacaa cattcatgtc atgcgaaata gcctaaaaac ggtcgccgaa gcaatttagag	1020
aggctaactt gagaccatcg gtcccccgtatc atcgagctt tttacgcaag agtaactgg	1080
tacgacatcat ctgcacgatt ctgcacgggt ctctcatcat tgccgcaat atacacctca	1140
acgcctcaca ttttttttccatgtctgtc atggatggga cggacagggc caactaagcg	1200
ctgtcgaca gatatgcctg gacccttact accgtacgtt tgacggattc aagggtgctcg	1260
tagagaagga ctggtagca ttggccaca aattcctaga ccgctctggaa catttgtctt	1320
cggaaaaata ttcatgggt acagagaatg acgacgacat ggaggaggag ggggtgagtg	1380
cgcaacgtgc cgccaaagca ttcttcgca cagtagacaa gcaatttact agcaccttc	1440
acctaaggaa gatttcgccc gtttccacc agttctcga ctgtgtacga cagatccagc	1500
gccagttcc cgaacgtttt gagttcaacg aacagtacct ttttagatata tatcgacatc	1560
tttacacttg ccagtttgtt actttcttgc tcaacaatga gcccggaaacgt caggaaagt	1620
cttccccatc acgcaaatca ttgttagagc aaacatgttc tgatggac tatctcgact	1680
caccccttgc gcgtaaaaag tataatcaact ctgttatgc taccacactt gacagcaatc	1740
aatcgccggaa tgccggggcc gatcaagggtg tgctgtttta taatccaaa gatgttaggt	1800
tttggttcag gcttttggg cggggagatg aagagatgaa tggatcatct ctgacctaa	1860

atcagcctca	gggggttgac	atcattggc	ctattgggg	agatcaagt	gaagatatgg	1920
ctgcaggaga	gatactgcga	ggggcgtctc	cagtttcagc	tccgtctcct	catgccacag	1980
ccagccagag	tcgctttgg	aactggtctc	aacttctgg	aatgctgttc	2040	
attcagcagc	cagagagatc	aagagcatat	cgcaagacgc	attgtctcag	attagggccg	2100
aggcaaatga	gttggataga	aatcttggg	aacaagacgg	caagggaaag	aacagtgagc	2160
cggcatccct	cacggaatct	actttgcttc	cagagaccaa	ccatggtct	gctgaggctc	2220
gttcatctcc	gaccatacca	cctcctcggc	cgaacactca	ggtgtcgcgg	acgactcaaa	2280
acccatgggc	agccatgcca	gacacaatta	cttcgttatac	taatthaacg	cttgacggca	2340
aggccccggg	ttccccagca	aacgatgctg	gaacgaagga	gagagcagga	gaaaagcaac	2400
aaaaggcttgc	ggatcctcta	ggagcattat	aacgaataca	tataccatta	tagggtttaga	2460
gttccctgac	agatacttct	ggttgtacat	ccacatctag	tcctttgaa	agtctttcc	2520
aacagccttc	aaggccctt	tctccctcag	cgtctaaaca	tagtccaaa	gcgaccgcac	2580
gcgtatctaa	agcctgcctt	gctggctcat	cgtcgtcaga	tttgacacct	tggccttttg	2640
ttacaccttgc	ctcgtcagag	aatatcgggc	tttggaaagc	tgtttgcgc	cactctactg	2700
cacggtaaac	cagtcgctga	aagtaactgg	ttgcaatcaa	atgttccccc	cgttccttt	2760
ggatggcttt	cagagctta	gatagacgat	atacaatggg	ataatgaatg	ccaaaaacgg	2820
acattgacat	gacgagtgg	ttcacccgct	ctgagcaaag	ttgtcagttc	cttgactttt	2880
tttttttttt	tcgttttcg	cgtaccttga	tacagccctg	cggacatata	tgcatcagca	2940
gcgcgtggcgg	cgtacccggc	aaactggctt	ttccactgca	agagttagca	tatttgaaca	3000
tggctagcat	acttggcaac	tcactatgt	tttactgcta	tcagcaagac	ttttggcgg	3060
ggctttgtct	ccgcattttt	cggtgttatt	caagccaata	tcttagtagct	ctctagaaag	3120
tccacctaga	gactttgctt	tcggagatgc	accaaacttc	aggagaacaa	gctcaaggc	3180
gccttggtaa	tctggcgggt	cggcggaaata	aaggctgctg	gccatataact	ctgtttcg	3240
agcgttgtac	ttgctggttt	c				3261
<210>	24					
<211>	1313					
<212>	DNA					
<213>	Artificial Sequence					
<220><223>	SSU72					
<400>	24					
cgagtttct	tcaatggatc	tatgggacgt	atcaccgtgc	ttgcctattc	ctcatctcg	60

tcgcccccaa aacaacatcc gctagccat ctgtccagcc agccatggac ccccggcgc	120
gccacaacca gcgtccccca ccggcgcat cctcattgcc tccaaaccca gctgcctata	180
atgctctcc aaactcgat ggaggatcat atcctgatgc acggaaatac cagggccata	240
atggcgca tagtaccccg caaggataca gaagtgcctcc tccggcgc aa ccgcata	300
gtgcattacc tggcgaacaa agagcatttc cacccagcaa catgccaac tatcctcca	360
gtggccctcc agaccccgcc atgaggcctt ctcaagatcc cagatctaga ttatcggtt	420
ctcaaggaa ttacaatact ccaacccac cttcgggca caccctcct tcttaccca	480
attatggcac cccacctatc tctgcgccc caatacctt accgtgcgc aa cagagtacc	540
agcaattcta tacgcctcca agcggcccta cgcttcact tcctggtgcc atgccttcag	600
gtgttatttc ggaaccagca aatggatttg tggacaagga tgtgccacaa ggaagaagaa	660
gaccgttatt ttgtgtgggt tgcgagta ataacaatcg atccatggaa gcacactatg	720
tcctgaacaa aaattccttc cgagtcgtct ccgcggaa ac agttctgt gtccgttgc	780
cgggtccggc catgacaag cccaacgtct atcgcttgg taccgggtac gatgacatat	840
acagagatct cgagtctcg gaccctcagt tatatactcg taatggtac tcgcctatgc	900
tggataggaa cagaaaagtc aaaaaagcgc ctgaaaagt gcaagagctg aagagtgtac	960
tggcagacgt tgtcattaca tgtgaagaaa ggtgttacga cgctgttgt gatgatctct	1020
tgacaagaag tggagagtat aaccggccga tccacatcat caacattgag atcaaagata	1080
acccgaaga agctcatatt gccggccaat ccatattgga gcttgcaga gccattgaag	1140
cttcagacga cctgattct gatattgtat ctatcctcaa cgctcacggt gacaagcacc	1200
ctcacacgct tttgcatacc gtaggattct attagatata acactataac actattaaaa	1260
ggaatgcaaa agggtaaga tgcatataaa ggatggatac ttatatacta gca	1313
<210> 25	
<211> 1670	
<212> DNA	
<213> Artificial Sequence	
<220><223> NEM1	
<400> 25	
ccgccccggcg gggatthaac ttttctcg gttggacatt tccaaagagt ctcacgctgc	60
tcagctgcga tgccctata gccacaccac cagcactcat gaacaccctg agtgcgcata	120
actctactt ctccgccatc gttccggc caacaaccca cccaccacgc acccggccac	180
gtcgctctcg ccagacaatc tcctccatca gcttccacc acccacagca ccactcatcc	240

tccgcatac gctcgctta tggagcgtcc tcctactgt ctggaggagc tttgtcgag	300
agacacgtgc gaccgcgcg aggggacgcc gctccgtcg taagcgtctt gccgggctca	360
gagagctcg cgagcgggtt atgatcactg ccggatagc gtcgctcgat actccgagg	420
agcacacaga gggagacgaa ggcagtgagg atgacaagga agacgggtgg gtcgatccgt	480
tcaccaggg accagaaggc tcggcaagtt tggaggaagc gcccgggg gaagacgaat	540
tcgtgtcgcc taacacagcc tcgactggta ccgggtcagc agaggttagag gaggaacctg	600
aacctgaccc tcatgagatg acagtacag cggaaagacga cagacttgga ggtcctgatc	660
ccaactttac cttcgcctg cgctcgac ccaagaagga gctggacggt acagagactg	720
ctgtccattc acccgccac aagccgatc cttcattcca gcccgcaccg tctccacct	780
ctatactcaa caacccatt acccggtctc cggccggcc gcccgtcg aaaactgtag	840
aaccatcgcc caaacgtccc tctggcaccc gtcttcgc gaacccata tcaacatctc	900
tccttgaccc gtctgtcccc gcgcgcgt ccaacgcga ttctgttttgc ttccggaaac	960
catcccctag gccattacgc cagcccacaa ctccgttcca tcttcaaaag acactgtacc	1020
ttgatctaga cgagacgctc atacactcta cgagccgacc aatccattac cctgggtgta	1080
gctctggcgg tggtggctg ctgggtctta gtgtcgaaaa tgtgtttggc aatgaaagg	1140
ccaaggaggg ccatactgtc gaggtggtgg tgaatggag gagtacaatg tatcatgtat	1200
ataagcgcctt tacgttagat catttcctta aaaaggtcgc gtcttgcgtc acacttgta	1260
tcttaccgc ctccatgcct gagtatgcgg acccgtaat cgattgcgc gatggcggcc	1320
gcaattttt tgccaagaaa ctgtacagag aaaactgcca tgtgcagccc aatgaaagct	1380
acatcaaaga cctgactctg gtgcggaaaagg atctgatgt ggtgtgttc atggacaact	1440
cggccgtcag ctacagctgg aacaaagcaa atgcgtgcc aatagaagg tggacgtctg	1500
atccgaacga cgaggcgctg ctgcattcga ttccgtact ggacagtctc aggtttgtga	1560
atgatgtgcg gagggtgtt ggcattccggg ggtttagcta gaagctagag ggacaggaa	1620
tatatgcatt gttcctaat agtcgtgtat gcatggacgg tggacgtctg	1670
<210> 26	
<211> 2322	
<212> DNA	
<213> Artificial Sequence	
<220><223> YVH1	
<400> 26	
accctgctg tcaaattact ttgttaata cacatataca gctctcgcc cttactctcc	60
tccgcctatgc cccagcacga taccgtcccc tccaggccac cttcagatgc agccaaatca	120

gacaacctcg ccatacaaga cctctcacgc gaggtcacct ccacaggcaa catccgcctg	180
gcggcaaaac gtctcgccca atccgcccga gcagaaaaag tgagaaatct gaaagaacgc	240
gcgagcacac gggctcaagt cgcacagcca tatgccagat gggcagatga tccagaagaa	300
gctgaatatac ttcatgtccaa cgtccatgcc caggcagcag cgcattgtga agaccaggtc	360
cttgcggatcg atgaggagga ggaagaagaa gagaaagagg ccatggtca catgcagggaa	420
gtcgtggatg gtcttggtt tggcgattt gtcgctgcga atgatgtga cgagcttga	480
aaaaatggca ttaaaaatat cctgtctgca ctcagaccgt ctctgaaatt ctcagacaag	540
tacgcggtct acccattaga gattgacgac tctgcggata ccgattttact ctccacttg	600
cctagctgtg tggcatggat caagggaaatt ttagatttac gtcaaaaggc agcagagcct	660
tcatcacaga agaatggta cggaaaacggc gaatcgctga aaaggtcgcc agacattgtat	720
accgttagccc agccgggcaaa gcccgggaggt gttctggtcc attgccaagc tggcatgtcc	780
agatcagcca gtagcgtggc ggcgttatctg atgagccagt atgatctgca ccccatggag	840
gcaatgacga ttagcaggga gaagagaccc gtagtagagc catctgcac tttctggcat	900
cagctggat ttttctacac tacagatggc aaggtatcat taaaagatcg atccactaga	960
cagttactata tggagcgaac cactacgcag ttcatcaacg gtgtatgaaac agcgcctct	1020
atggaaaaga tggccaagta ccctgcatca cttccccgtt ccaatccctcc tacggccaa	1080
gaccatgccc gtcgcaagat ccgtatgaaa atgtggcgc gcatctggc tgtgcgagag	1140
catatgatgg accacattct cgtatcaagcg ctcctgtac ccgcctcccg gccccgtaca	1200
ccttcaggcg catccatatac aagccaaaga gcaagtttgc gcaatgc tggatgaga	1260
tttactgtatcg tcgtggaga aggccgggtt ttttgacag aaagggagcg gaggggttagc	1320
caggtcagcg atgtatcaa ccccttgact ggcttgcctg gtcatgtc aagaagatcc	1380
agtgcaggcg ccgggtccaa cgggtctgtc agccctacag caacccagac gcttacgaa	1440
cgagacactg tgacgtcgcc cttgtccatc tcccacaatc atcacaacaa caacaacaat	1500
aacaacacta cccatccggc ctcgcacga ggacccatc tccgtatca ttccgagcca	1560
gctgaaactg taccaccacc ccccttccc ttacctgtc ctcatagcac tacttctgtat	1620
ccagctccctc aagctccac gacccagcgt gctttacagt ctgcggacca gcttaacatg	1680
aggttaccgc cgcacccatc agcccttcgg atggcggta tgggtggtgc cgctgccaat	1740
gccgggtgcca ggcgcaatgc ttctaaccctt ccagtctccc cggaaacaaa tacacccctcc	1800
ccagtcattt aaaaagaacg cagagaccaat tcttcattttt ctatcaatac caatggcg	1860

gcaggcgctg cagcaagacg attcagtta cttgaatga ctcccaagga tgagaaggaa	1920
gaaacgaaat tgtacgagag aaggcgagt ggtggggaaag gaatgtatgg cccaccacct	1980
atacttgtca aacaacaatg cttagttac ttgttgaac ctctgacgtg gatggagccc	2040
gttcctctcaa agggacagat cgccggaaag ctggctgtc cgaatgagaa atgcgggtc	2100
aagattggta atttgattt ggccggcggtg caatgtggat gcaaggaatg ggtgacacct	2160
ggatttgttca tccaccgaag caaggtggat gaggtttct aatgtgccag tgagagggag	2220
taagggactt gggacttagtt gtttgcattt catgttagatg tctttgttac gcatagcatg	2280
ttctgaaaga tgcataatgat gatatgtata tgtaaacgca aa	2322
<210> 27	
<211> 1130	
<212> DNA	
<213> Artificial Sequence	
<220><223> OCA101	
<400> 27	
gtatactgca cagactacca tggcaaaaca gccccctcg cagccccca tccaggtccc	60
cgccttc tccatagtcg aaccaggcgctt ctaccgctcc gccagtc当地 ctccgtcgca	120
agtgccttc ctggccggcc tcaatctcaa aacgatcatt tccctgaccc cggaacatcc	180
tattaaggct ctctacaat tcgttcgtac agcggcatt tcatttgcc atctaggact	240
caccatgg cgccggccgg gaacggattt gagaacctgtc agatatgaaa taattaaac	300
cgctctcgag gcttacatct tggatacaag agcgcattttt gtcctactca tcgatccgtt	360
gggggtacat caaaactggct gtcttgggg agcggtgaga atgatgcaag ggtggaaactt	420
tgcttagtgc ctcatggagt accgtgtca tgctggaaac aagcaccgt atctcgatga	480
acagttataa gagctattcg attcagattt gataaacctt ccagccccac aatatcgcc	540
ttcatgggtt ctgtcttgcg aggaagctga tccgcaagaa gtcaaagcat tggcatcatc	600
cagtggagga acagggttac tcgcccacac gaatggcaga actcaagcaa ttgtctaaaa	660
gattggccgg gtctggccatc atatcatgtc gaactggat ccaagctcca catggccgt	720
cgtttaccc tgaaggcttac attggcttgg gccaatcctt ccgtttctgt gttggctaga	780
gttcatatgt ggggagaccc tcaaactcca acatggtctc caactcgtaa tccgagcgca	840
gtcacgagat attattgcca ttcatgtgc aattttcccg tctctcccttta cctccggaaa	900
cttccagtag cctgagccgc actgccata gcagacatcc tctctccaaac ctttttattt	960
acctaataaaa atgcatttcg tcagcaaaaa cttttccaca tgatccca acatgttttgc	1020
aaaaagaaca atcggcttgc actttgtcac ttggcagaga gacttacttc aaaaaatttc	1080

gcagtgcagc ggtcgatgca tacacttcg cccttcaaaa gatcccttc 1130

<210> 28

<211> 1114

<212> DNA

<213> Artificial Sequence

<220><223> SIT4

<400> 28

gatttgcagg atgtgtacta ctacttgtca gcataatgccg agtgatgcgc tataacctcg 60

cgacgatgcc catcccaatc tcttcagatc cagaccactg gatacagcat atccggcagt 120

gcaaggcacct cccagaacgc caaatgaaac tcctctgtaa ccgagttccgc gatctttac 180

tagaagagtc caacgtccgc ctgcgtccagt ctccctgtac cgtctgtggt gatattcacg 240

gccagttctg ggacgtcctc gagatTTTA ggcaggggagg cgaggtccct aaaacttagct 300

atatTTTcat gggagatttc gtcgatagag gctattatag ctggaaaca ttatctttc 360

tactggctta caaggcaagg tacccagata agattacgct tttgagggga aaccacgaaa 420

gtagacagat taccagggtt tatggcttct acgacgaatg tatgcagaag tacggcaatc 480

cttcggtatg gaaagcttgc tgtaacgtgt tcgatcacct caaccttgcc gctatcatcg 540

actcctcaat cctctgcgtt cacgggtggcc tctcgcccga tatccgtact ctgcgtcaaa 600

ttcgttccat ctctcgtgcc caagaagttc cgcacgaagg tgcattctgt gatctgtatgt 660

ggtctgaccc tgaatgaggtt gagacttggt cgataagccc tagaggtgca gggtggttgt 720

ttggggggaa agtgacttca gagttcaact atatcaacgg tctctcgta atcggccgag 780

cacatcaact tttcaagaa ggttacaagg acatgtttga cgaatccctt gtcaccgtat 840

ggtcagctcc caactactgc tacagatgct gtaatgcggc gagcatcatg caagtagacg 900

aagatggcag gacgagtttc aaagtgtacg acgcggcaat taaaaattca acggatcaga 960

agaaccctgc aatgagaaga gtgggtgcac catcatactt cgttgatac cctagatgt 1020

tttttttgt tttatcgact atgcgtgcct aaggtaaaaa atgccaatgt ataaaaaacac 1080

aaaagaagcc agcaaataa tgcaacaact tggg 1114

<210> 29

<211> 1766

<212> DNA

<213> Artificial Sequence

<220><223> GUA1

&lt;400&gt; 29

tttttgtcga gcagcaatta tatcttctt ccacaatcta caacatccat aaccccatac	60
aaaatggcca cagaggagat tcatacgctg tacgacacca tcctcatctt ggatttgga	120
tcccaact cccatttgat cactcgacga tgccgagagc tcaacgtgta ctgtgagatg	180
ctgcctgca cgcaaaagat ctccgagttg tcctggaagc ctaagggtat catccttcc	240
ggctccccctt actctgtta cgctccgac gctcctcacg tgcacccga cgtttcacc	300
ctcggcgttc ccatcctcg tatctgctat ggtctccagg agatcgcccg tgtccacggc	360
ggcacccgtcg atgctcacac ccacagggag tacggttacg ccaagatcga gtttgtcaag	420
actggcaaga aggatcagga tgcattgttc gagggtattt agatggaggc ggacgggtgc	480
ttgcaggctt ggtatgtctca cggtgaccaa cttacctccc ttccccctaa ctttgtcacc	540
atcgcgtcca cccctacttc cccttcacc tccgtcgccc acgaatccaa gcctatttat	600
ggtgtccaat tccaccccgaa ggtttctcac tccccaggg gtaaggaggt cattgctgctg	660
tttgtgaaga atgtctgtgg tgtcagagac ggctggagta tggagagctt tatccccaaag	720
gagatttgcta ggattaggca aatctgcggt gagaagggtc aggttatcgg tgccgtcagc	780
ggtgtgtcg actccactgt cgccgccaag ttgatgcacg aggcacatcgg tgaccgattc	840
cacgctatca tggtcgacaa cggtgtgtc cggaaagacg aggccaagaa ggttcataag	900
atgcttaccg ttgatctcg cgttaacctc accgttattt acgttccga actcttcctt	960
gcccgcttta aagggtgtcgaa ggaccccgag cgtaagcgaa agatcatcgg taacaccc	1020
attgaggctt ttgaggccga ggctgccaag cttgaggctg ctgctaaaa agagcttgcc	1080
gagaagggcg gtgaggccaa gggcaaaatc gagtggttgc tccaagggtac cttgtacccc	1140
gacgttatcg aaagtatctc tttcaagggc cccagtgcta ccatcaagac ccatcataaac	1200
gtcggtggat ttttgagga catgaagttt aagttgattt agcctttcg agagctttt	1260
aaggacgaag tccgtccct tggcgcttc cttAACATCC ccggacatct agtggccga	1320
cacccttcc ccggctctgg tctcgatcc cgaattctcg gcgagggtcac tcgcgagcaa	1380
atcgcgatcc tccaacacgc cgacgacatt tacattgagg aaattcgtgc tgctggttt	1440
tacgatcaaa tctctcaagc ctttggcc ctcttgcctt tcaaggctgt tgggtttgt	1500
ggtgacgcga ggacatatga ccaggtcggtt gcggttaggg ccgtctctac agaagacttc	1560
atgactgccc actgggtcg tttccccccg caagtgttga agaggatctc gtctagaattt	1620
accaacgagg tcaagggtgt taacagggtg gtctacgaca ttacttccaa gcctccctgg	1680
actgttgagt ggctttaagt tggtagata tattttccat ttttaggttt tggatgcata	1740
gatacagact cgatTTTtgc ttttg	1766

&lt;210&gt; 30

&lt;211&gt; 4285

&lt;212&gt; DNA

&lt;213&gt; Artificial Sequence

&lt;220&gt;&lt;223&gt; INP5201

&lt;400&gt; 30

ctcagccca cctatacttt ttgtgtactt tccatcgccc tccatcatct ttcgtctgcc	60
cgtctacggc ttccggaggg ctacatccgc cttgaggccc gcatttgagc ggtatacata	120
accagggtgca aggaacactg gacgcacatg ttgtccaggt cgtaagcgat ggcacatccc	180

ctgcacgaga acgacgaaga gcgtccacag tcgatagcag ctctcagaag caagtttag	240
agcctcgcaa tcgctgggt gagccctgtc cccaccatg tgccctcage aaccaacggc	300
catgcgactg ttagcttat ccggaatggc ctcctcagtc cccggccaga aacacctgtc	360
gatggtaaaa aggccaagcc tgtgccacca caaaaaccag cttaacgtcc cgtaagccct	420
gchgactacat cggcagctcc gcaacccctcg tctctgctcc cgcctccgtc acctcgccaa	480
gctccccagca ggcctaccac tccaaacca tctttcaga cccatcactc aacatctca	540
gtcacttcta tcgtgagcgc agcgtctgtat tcacatctca aacccatcaga tacaatggca	600

tctccccccag ccgtaatatac gcctgctgta tcacccgtcac caacgcccgt tcgcaatct	660
gccccttctg tccccagcaa accgcccattt gtgcgtgtca ccccctcagg ttccatgtgg	720
gatgaagacg agccgtttt cacgtctgta aaggctcttc gtaaaaatt cagtggtaaa	780
gctcaggccaa gcgaaattgc acttcgaaag cctgttagatg ttcccaaggc atcagcgtta	840
tccgtcgtaa aggtgcac ggtacatgtat tctctgtggc cgctgtgtgc cccgtcggt	900
acacccatac ctgcacctat tccgcacca gtcataaaaa gaacgctaga cggcaagaca	960
tccgtccaa ttttatcgcc agcatcagag ggcgaagcac tttcagatac caatgattac	1020

tcttcacacc cgactgctcc tctggctctt ccggctccctc cagcacatct ctcacgtata	1080
tcctctcttg tcccgactcc agctcccgcc cttccggcc ctctccat aaacagagca	1140
cacaaacctc ctccacgaac tgcaatcagc cccgcaccca tcttcgtcc cgaatcgaat	1200
gtcatcacac ccaacactac atctccccct ataccaggca acaaaccgtt catccatct	1260
cgcagctcta gtccccaga agctgcagtc cccctccgc cgccagagcg ccctcaaccg	1320
cctcagctcc ctgtgcgtcg gccgacctt tcttcggccag atacgcttga gccttagtacc	1380
gcacatgtca tctccccacc tgcactcgat agtactccat tttgcatac cattcatgac	1440

gatactgctc ttgtcttac gcctgcgcct gctactgccc cccaccatt gcccgtcg	1500
---------------------------------------------------------------	------

tcgagagcta atacaattaa tcgatccgaa agtgaatcga gcgcacaccac cacaggtcca	1560
cctccctcgc gcttaccaggc tcggcacgca gctattcccg tatctgtgg tagcgggtcc	1620
acctttcca acgcaaatgg aagcggcagt accaccatga acccaccccc tccccggct	1680
catcccgcat ccccatccaa aactcgatc aactcgccg gcccaccccc acctctcc	1740
cggagtgcta ccgttaaccg aggtagcagc gtggtagcg ggagcggag tggtggcggt	1800
ggtgccggtt cccctccacg tcgatccaac accattctc ggcagcgcc tttaccaa	1860
aaaaaaatact ctacatcagc tacaaggcctt ggcctaggcg aaaaaggagt atattcagac	1920
gaagatgacg agcctgaaga gcctggagcg gttaccaacc tgtccgccc agcgaaaagg	1980
atgttggacg agttccaga catgacagaa gccaaccgtc gtcccccgtt gttcggtccc	2040
gatattcgtt tcaaggagtgc ccaccacgtt tcggcttttgc tggttatgg ccgatacgtt	2100
tgcacggcg cacaccatgt acgagtctac gataccagc tgtaggatca tgcgattagt	2160
gttagtagatt tgaagagac ggggttagaa agcagggaa aggacccgaa agtgcacggca	2220
atgttccgc gtcgggagc gacggaaagt gaagaaggaa ggtacctctg gtgcggtagc	2280
aaagacgggc atctgtggaa acttgatatt tccaccgggg aagtaaccag taccaggcgc	2340
tttgtacata cgtttccat cagctatatac tggcgccacc ggaagaacat cattcggt	2400
gatgaagggg ggaattact cgtgtttgtat gtaggcgata tagaaggaa accaccgacc	2460
atggcgagac aattacggat aggcgacaaa ttgggttcg ccaaactcat atgcggaaaa	2520
ctgtggacat caagcggtcc ctttacccga tcgactacat cgtccgtac atccaaggc	2580
cctaccgtcc ggatatacga cccctgtcgcc cggggacga tgccccgcc taaaacgatt	2640
ttcgcaaccg aatgggctgg cgccgtcagc tcggcgacat acatgcctt acatcacgt	2700
accattttc tcggccacga ggggtggattt gtcagtgtgt gggatggaa agagttggtg	2760
tgttaaggcagg tgctgaagat tagctcgacg gatgtgctcg cttggaggg cgtaggagag	2820
tattttatggc cggaaatag gaagggacag atccatgtt ttgtataaaa agaaaaacca	2880
tgggtggcga cgaatatatg gattggcat cccgataacc ctgtcaatc gttgggtgg	2940
gaccctact caattcagtc tgcggcaga tacacatgtt ggtctttgc cgggatgc	3000
ctgcgagcat gggacggctt cctctctgtc gactggatcg acaaacaact cactgcacgt	3060
caatcgtcat tctgcacgtt ccggccgtc aacgtttga tctgtacatg gaacattgac	3120
tctgctaaac ctacagatct gaatggatcg gtgcacacg cccatttctt ggaagatgt	3180
ctgaggtctg tggattcacc ggatatacgt gttttgggtt tccaggaagt catccgttg	3240
actgataaaa aataatactgc caaaactttt cttttcgga acaaatccaa agatgggtgg	3300
gcagcagcag acagggtatc ccacgcctat cgacactggc tagaaaagct tcagtcagca	3360

gtccagatgg ctcccccttc aaactgtcca tatacaaga tccattcaga gagtcttga	3420
ggctgttta cgttatctt tgtgaaacag tcagagaaaa ttcccttacg ggatcttagat	3480
attaccactg tcaagcgagg aataggtggg atatacggga acaaggggc tatcgtctct	3540
cgcctcgta tggatgatac atccatttgc ttatcaacg tccacctcgc tgctggccag	3600
tctcaaaaag ctccgcggaa cgccgatctt gcagggatcc tagaagataa agccatttt	3660
cctccagcgg acgagttacc gtttgtcat ggaggggtgt ggacggaaat ttggatcat	3720
gagatgggt tttgaatgg tgatttgaat tatcgatcg atcaacggcg tgagaacgtt	3780
atctcatcta tcgccaatgg cgagctagcc tatcttcttgc agcatgatca gctgcgtaaa	3840
gagatgagga cgaaccatgc ttccagactg agaaacttgc aagaggcgcc catcacgtt	3900
gcgccgacat acaagtacga cccgggcacg cacgattatg attccagtga gaaaaggcgt	3960
attccagctt ggtgtgatag gattctctac aagaaatcgc cacgagtaca agctcttaat	4020
tatcagcgct atgaacctac tgtctcgat catcgaccgg tctctgcagg gtatacgata	4080
atcctgaaag cgatcgattt gttgaagatg atggacgtga gacggaaagc tactggagaa	4140
tggcgaagc gagaagaaagga gttgcttagag aagatgcaag aggtgttga cggatttggaa	4200
taacacttgt tggtgattcg gtatcatatg tagctctaga ttaccatgg acgattttta	4260
tgcattgcattt ttctatgtaa atgga	4285
<210> 31	
<211> 2454	
<212> DNA	

<213> Artificial Sequence

<220><223> PHS1

<400> 31

cggcgttgtg tgcgttgtgg ttgcgtatc gggtgaggt gagatgcggg atgttcccgt	60
ccgacacaaa agcgtcaacta cactctgcat tccaaagcgt cttgactct gcattccat	120
ccataacttgc ccgcctctca ttgcagctcg ccgcattgcc ccacgtcgct ggcggccagcc	180
gccaaggccct cgagcaggag cgttccacc gccacgccc gcagccggc tgcgtcgct	240
cccccgccccc ccgcctctcc ccgcctccggc tctaccctctt cggttacaac atccctctcg	300
ccctgctctg gggcacctc ctgcgtctca ccctctctt cctcctcgcc ccctccggcc	360

ccccctggca ccagctcgcg gaccgcctca gcccgtatca cgactaccac aacctcgat	420
ggtgaccaa atggaccccg accctcgccg tgctcgaatg cgtccacgccc gcccgtcgct	480
gggtgcgcag tccgctggc accgtcgcca gccaggtcgcc cagccggctc tggaccgtct	540

gggcgtcg	cgaggccg	ccggagatta	ctcacggca	cccctgtt	acaaccatgc	600
tcctcgct	gtccctcacc	gaagtcatcc	gctactcatt	ctacgcgctc	tccctccct	660
ccgtctccgc	ccccttcctc	aactacctcc	gctacacaac	attcatcccg	ctctacccgc	720
tcggcgcctc	gtccgaggcc	tttctctcg	tcgcgaccct	ccctgcttig	gcccgcgtcg	780
tcagcagggc	ggtgacgaac	gtcatggccc	aggcgccgag	ggagatcatg	aagactaaag	840
tggggagaga	agtgcgg	tggctgcga	aacatggagg	cggcacggcc	ggtgcgcaga	900
aagagtgaaa	ctggatcgag	attgtgcgag	cgggacttt	tctcctctgg	tggcccggcc	960
tttagtgcct	ctacacccat	atgctcaaacc	agcggccaaa	ggtttgggt	aaaggcaaga	1020
cgtaggcgg	ggttagcaag	cgcaataaa	taaaaaagag	taggcggc	gcgtggagca	1080
atcagcgatg	cattatcgcc	tggtaactgtc	agatacgaat	ttgaaaacaa	ttgaatcaat	1140
cgatgtgga	taacaggcg	gatcatgata	aaccaatgga	ctgagagata	agtaaaaaaa	1200
tactttact	ggaggaaaag	agatgcgata	ataatatcat	gctgtaaaat	gacgattgt	1260
atggaaacga	gagaaaagcg	tcgatgaaag	aaataaaacc	aacatataaa	ttcttcatc	1320
atttcatttc	tagacatgac	atttgttagag	aagatcaata	tacaccaaaa	gacataacat	1380
gtacaatcac	aaaaagcttc	cacttcaaa	acccccc	ttgctccgaa	agctctagct	1440
gagcatctca	cgacatgacg	ttttaacta	catttccac	cttgatacca	tcttcagcaa	1500
cgccatccc	ccgctccct	tcccactct	caccacccgt	caccaaacaa	ggccattcgc	1560
tcatctgttc	accttcccc	agtggcttt	tcagtgccg	gtggacatt	gcagggacgg	1620
aagcagatat	gccccggatcg	ggggggatcg	agttttcctt	cttcttcttg	ctgaaaaaaag	1680
gtttggact	tttggtttc	gccttgaccc	ctagggcggt	gtaaagtttgc	tcggtaatttgc	1740
acaagggttt	tgcggaaagcca	ccaccctcg	ctttaccatt	gtcatcccc	ttgatgat	1800
ggtaaggcgg	cgagcttg	cgagggtaa	gccccaaaga	ctcatccgga	ccggagggtgt	1860
tgcttagtact	cgtcgctgt	gaaagatacg	agggttgacg	agactcttcg	tcaaatgcgt	1920
gtgggttttc	cgcggctgga	gatggatgttgc	gacacggaga	cgaagaagac	gaaggataaa	1980
gcgggattct	caacacttga	ctcgcttca	aactctcagg	catgccatc	cccacccaaac	2040
cccatccctc	cccccttcc	catccaggcg	catcatcaaa	cgcccttttta	tcctcttcat	2100
cctgcaccgc	tcccttcct	tcacgtccaa	caacgacgccc	gtcgtgcaac	ttgtatcgag	2160
cgggtgtacc	ggtcgttttgc	agtttacaaa	cgaatctgt	acgtcggttgc	tggatcgct	2220
gtgaacggat	agggtggaaa	gagtcaagaa	gcatttgc	gagttttcg	gtacggatgt	2280
gctggagcgg	aggaaatgt	cgggaggtgg	tgtaagtgc	tagttggta	gtgcacatgt	2340
cgtcgatcca	tgatggac	gatactcccc	tatcctcccc	ccctaaagaa	ggagggaaag	2400

agcggggcca tggagccgaa gagaaggggg cagaagaggt tttggcggtg agga	2454
<210> 32	
<211> 4308	
<212> DNA	
<213> Artificial Sequence	
<220><223> MRE11	
<400> 32	
cctttccta actttaagc aaagaatac ggtttaagc tcaatgtcg ccccaatcg	60
cgtacccgac tcacaaccaa gtagcgaat aggagatgag ccgcctccca gtatcgtcga	120
accagattt gagaattgtt ttctgtattct catcgataca gacaaccaca taggatatgc	180
ggagaagat ccggtccgag gacaagactc tatcaacacc ttctggaaa tactagatgtt	240
ggcttagat cacgtatgtcg atttcattct tcttgaggat gacttgtcc atgaaaacag	300
gccaaaggca acatgtatgc accagacaat agctctacta agagagttca cttgggtga	360
caagccaatt gaatttgaac tttttagtga tccgatggat ggatctacgc ctggttctc	420
ttttccggct gtcaactacg aagatccaaa tattaacate gccattcccg tcttctcaat	480
tcatggtaac catgacgatc cccaaaggcac tggctctgag ggtgcactat gtgcattaga	540
tgttcttcc gtttctggag tccttaacta ctggaaaag tcagaccttg tcgctgtatga	600
aagtgcgtcc gataacccag agaaaggat tcatatccga ccagttttc tgccgaaagg	660
tacaacgcattt gtggcgctgt atgggtgcgg taacatcaga gatcaaagaa tgtatcagga	720
gctacgggca aataaggcata agatgtttat gccgacagga ggtgatgtac ccgatagcga	780
atggttcaac attttctcg tccatcaaaa ccgcgtccga catggcccc aaaattacgt	840
ccccgaaaac atgtttgatg attctatgcg acttgcatt tggggccatg agcacgattt	900
taggatcaca ccgtggagcg tcgcccataa aaatttttc ataacgcagc ctggaaatgc	960
agtggccacc agtttagcac caggagaagc agtaccaaaatgcatgtggc ttctgtctat	1020
tcaggggtcc caatttcaac tcgaaatattt acctctcaaa acgggtgaggc cattttagtt	1080
ggacgaagtt gtgtgtcgat acgctgcgga gcaaggagct gtagatttgcgaa acgatagaga	1140
tagtataact tcttccttc gagaacaggtt ggaagcttgcagg attttgcagg ctaaaaaaaa	1200
ctggaaaggag aggaacaacg gcagcaccaaa gaacatgtatgc ttccctca tccgactgaa	1260
ggtcgaaaca acggatgcata aagagatggtt caatccgtc aggttcggc aagagatgt	1320
caatcgatcgc gccaatcctc gagatatttgcgtactac cgtaagaaaa agaatgagcg	1380
aaaggtaag aataatcctg atatgcataa tatcaatgtatgc gatgagtggg aggaagatcc	1440

tgagttttg actgccgatg aacgactctc caaacttcgt atggcaaac ac ttgtcaaaca	1500
atatctcaa gctcagagct tagacgtgct ggtggagaat gggatgaaag atgcgtgtat	1560
gcgccttgta gataaggatg ataaggatgc tatcaaggac tttgtggccg acactctcag	1620
aatggtggga aggaagatga aggagagaga ggttaaagag gatgacgtt atcttgcgt	1680
ggccgaggca aaggagaagg aatataacag atatgccac agcaaccgg ttccttctca	1740
aagtgtcaaa gggaaaata aacagcggga ttcagacgtg gatagtatga tggcaagcga	1800
tgtatgacatg gatatggacg agatgccac tcaacacgca gctccagtga gacgtcaac	1860
cgcgaatcag ccagtttagat cagcgaaggg caaggcaag cagccttgt ttgaaaacgc	1920
ttcagaagaa gaagaggacg aggaagagga agaggaggaa gaagaagaac ctgcgcctaa	1980
aaaaggtcga ggacgagcag cagcggcttc gaccaagaaa gcacctgcga aaaaaccacc	2040
tgcaagaacg ccagctaagt cgacgacaaa ggcaccagct ggaagacgcc ccgcagttag	2100
tcagccctcg acagggagag gagtaaccca atcacaatata acgtttcaa ggtctggta	2160
aggcaaggca gcagcagtgc cgatcgaatt gtcatcagat gaggattaga aatgaatgaa	2220
gagggatct gcgaaaccag tagtttattc ttcaacgtca agtgaatcgg atctgattaa	2280
gatcttgate actgcaataa ttaagaagat attcttcta tgcttgatga tcccttact	2340
ttagccttt actcttacgt cacagtgtt gtgaaaagtt gtgaaaagta cgtaaagtgc	2400
gcattccatg catccccaaa ccaataaaaaa ctttgctat tgctttact tctgactatc	2460
ttttacacac atgccccata gttactccat aaccccaaaa agaaaagaaaa aaaggaaaag	2520
ctgaacattt tactccttgg cgacctggag gacgattcgg cggcaatct tgccttcttc	2580
gagaccctcg tagacgctgt cgtcattaat cagcaagcgg cttgaattat tggataatag	2640
ctgaacttac gccttaaggt cggcaagagg cttctgctca aagatgacct taaccttcc	2700
atcctcgaca agctggaggg attcaatggc gtcttgatgc ttaccgacgt aagaaccctg	2760
gattcggatg ctcttgaaga cagtcagaa gacgttggca cccatctcgg cggtggggag	2820
accgacagcg accaaagttc cagagggtt taggtatgc atgcctgag agtaaccagt	2880
cttggggaa gcagtcacaa tagcagcggc tggccttga cccccagtgg cagccttgac	2940
gtcgcaacg aggtctttgg tggcttaaa atcaacccaa gcatcgccgc cgagagactt	3000
gaccagcttc tccttggcag ccccagtgtc gatggcaacg accttgagac ccatggcctt	3060
ggcgtactgg acacgaaatg gaccgagacc gccaccagca cggggaggg caacccaaatc	3120
accgacctt gtgtggaaa ctttgagacg cttataagat gtgacaccag cacagaggat	3180
agaggcagca ccagcagaat caaggaaagg gggatgggg gtaacgtggt tgacgaaaga	3240

gacgacgtat tcggcaaagg taccatcaac tgtgtagcca gagagctcg catggtcaca	3300
gtctggacgg atgatcagct ttggaagcga agtccaaata tacagaagat actcactcat	3360
ctcgaaggct cgtcgcaag cctcacaggt gagacaagag ttggcgagcc acttgatacc	3420
gactcggtca ccgagcttca cggggaaatt gacagtgtt gcaccaatgg caacaatgt	3480
accgacacct tcattattag tcagcgactt gcttctata aaaattcgat cgccaaggga	3540
cacttacctt cgtgaccacc aatcaaagga ttcatgggg gaattggcca gtcaccctgc	3600
ttggcgtca agtcggtgtg gcagacaccg gtgtgggtga ttttgacgag acattggccg	3660
gatttcagtt cgttggcctg aatgaccttgc gcctgggtgt cgatctcgat ggcaccgccc	3720
acagagggga cgacggcagc gggtttagtgc ttagggatgg aaacgccttgc aagagtggc	3780
atcttgtaa ctgtgtctgg agtttgggtc tatgttaagt ctggagaatc taagaggta	3840
agtaccggag tgtctttgtc gcggatgtt gtgaaggaaa gggaaaatca tctggatgga	3900
ggtgccggtt atatagttt agggtgcgag gaaaagtata aacttggttt gcattcatgt	3960
cgatctggat acatagccgg agaatgagcc ggtgagagat gactatgaag ggcggaaatc	4020
atgtgaggtt cctctccggg gtcttatata ccggtgatac agcaatggga ggtaggccgt	4080
agataaacaga tacatactgc ttggctgttgg gggaaatgaag ctaatctctg atttgattag	4140
cggttaatc gcagtagttt cccgctgcgc tccgggttt tggccgggtt ttggccgggtt	4200
tcaccaccaat ctgacgtaaa cccaaacctc tccaccgtt ccaaattccc catctgtctc	4260
gtaatcaagt gcatacatgt tcgttttaga atgatcgatgc ctgcggca	4308
<210> 33	
<211> 2543	
<212> DNA	
<213> Artificial Sequence	
<220><223> DBR1	
<400> 33	
cacgagcaga cacagatcag gacagcgcag tatgaggatc gctatccagg gctgttccca	60
tggcagtctc gcccagatatac acgacgttgtt caactactac tctcccaaa caaagaaccc	120
tatagacctc ttgtctctgttggcgtactt ccaagctctg cgatcaaaac atgattatgc	180
ctctcttgcc gtaccagcta aattcaagca gcttgggtca ttccatcagt attactctgg	240
tgaacgtgtc gcacctgtct tgacaatagt gatcgaggc aaccacgagg cgagtaatta	300
tatgtggag ttgtaccacg gtggatggct agctcttagt atatattacc tcggagcggc	360
tggtagtgtt tatgtgaatg gggtgaggat tgggtgggtcg agtgggattt ataaggattt	420

cgactaccga aagggtcact ttgaaaaggt gccttacaat gataaggagc tgagaagtgt	480
ataccatata cgcgagtacg atgtggaaaa gctcatgcat ttaacaccaa gtcctagcac	540
catttctta tctcacgact ggcccaccac aatagcgcatt catggtaaca agaacgcatt	600
gctcaaacgc aagcccttct ttcgagacga aattgaaaag aacacacttg gttcaccgcc	660
cctttaaga ctaatgaacc atttccaacc ctcttactgg ttctcagccc atctacacgt	720
caagtttgcgac gctctgtacg agcatcaagc ccctaattcat ggtccggatg tcgacgggtgg	780
cgcggccctta ccattactgg caacgtcgcc cgtaatagct caggctgggtg gtaacccaga	840
tgagattcaa atcgatgaag agatggatgc gggaaacccc gatgagatta ttgttgagga	900
tgagggtgaa gaggttatca ttagaccgag acaggtcaac ccggatgaga ttgcgatgga	960
tgacgatgag ttgcgacgacc ctgcggccgc ggtccctcag ccattaccag cgacgaccaa	1020
taggcgccttc aatccagaag aaataatcat atcgacccaa gagttcgatg caccaaccac	1080
agtctctcaa ccccttcaac ctctcccacc tacccaaacg aacgcctcca accctgaaga	1140
aatagccatc tcggacgacg aattcgatga ccctgtccct ttggcgcaat ccctcaccac	1200
aattgtgaa tcgaccgacc tcacgcgca atcagttct aacccatccc atccacctgt	1260
tgctggcacc atagcccctc ccacttctga ctctattgca tcacgtgtaa tgcaagaagc	1320
gcgacaagag cagcagaaat gggaaactgca cggggggaaa gggatggagg gtgtgaccaa	1380
gttttggca ttggacaagt gtggcctgg taaagaccat atgcagttcc ttgagatccc	1440
agaccccttcc ccaccccaa tcccaggccc tccaagatggacttacgatc ccgaatggct	1500
agccatatcc cgtgtttcc atccataacct ctcaacctca tatcagcccc tccccctccc	1560
atcctctgac atacttgagc agatggtgaa ggatgaagta gcaaggatca aggaggaagg	1620
attgtctgtt cccaccgttc cacaagatgg tgccgtcgag ggacaagaag gattagtatg	1680
ggaaaaggc aaagtggatg tcggaagatg gcaaagggtt tggtgactg caccacgt	1740
aggacatccg ggtggaaatg acactgcgtg gtatacaaac ccgcagacag aggcttttg	1800
tggcatgttgc ggtgttcaga acaagattaa tccctccgtg aacagataat aaaaatctaa	1860
tgtatgtatg aacatgaccc atgcacgaca cgcccgact tcccggttg accgaaaaag	1920
agatatggag aagattttatg tgtatttttcc ttgcacactt atgtgcata tatgtatttgt	1980
gtcatttctc ctgtAACGAG tcggcgaccg tggcatgttgc gtccaaatcg atggagagga	2040
caggattcac catccatgtt taaacgaaat gttgtgaatt ggatggagaa agtgtatgaaa	2100
gtgtggcac aggcagcaga cgccggccagg ccctaaatcg actggatcga ctgcggatac	2160
cgtgcacaaatccatttct tggatcttgc ctatctcaa aatcgaagat tcagatggag	2220

aaaatatgga attttgcacatgtttgc ttgaaggac gggcatgggt tcagactgat	2280
gcaagcagga agcacgaaag atgaaaacgc atcaggatag acagcagaaa aggtgggtat	2340
aaccaaataatgttttgcatcatatgt aatatcaaaatgtaataaagcgacaccgaagt	2400
aaaataaca gattgtccat acaagtgttatttgcagatctat cacttgcgag atttcacaca	2460
agattactaa gaggatcgg tccataactga agggaaaaaa atcttataat ctatagtagg	2520
gtcaagagat gtttaggcaaa ggg	2543
<210> 34	
<211> 1621	
<212> DNA	
<213> Artificial Sequence	
<220><223> SIW14	
<400> 34	
gttgatgtta agtcggagat aggttgcaaa ccacaactgt tcagatatac cgtcaacatc	60
tcccttttc ttaactatac tgcttcctgg atcactcatt catcggtata cactcatacc	120
gttctcctga cgacacctgt acccaatttt gcgttagccag gggacgccc tgatcccctt	180
atagtgggc cgtcaccgag cctgctaaac aaccagacga cggaccgagt atcgacgtgc	240
cggcgaaaa aacggctatt ttccttgaac tatttcattt ttcctacagg attattccct	300
ggcacccaaac catgtatgtct tcgtcgccaa caatgtcatc gactccctcg caagtaccat	360
cctttttagc gaatatcctg ttatcccattt tttctccttt agatccatca tcgacctcgc	420
caacaacttt cgaacatcat cgttctccca ctacccaaaa cccctcccat cctcaagttt	480
tgcagactgc agaacctccc ccaaaccctc tgtacccccc tccctcccgct ttaccgaaag	540
ttgaggaaga tctgggtcct ccagagaatt ttgcatttgtt cagtagtggtt gtgtatcggt	600
gtgggttccc gaagaaaaga aatttcaagt ttatggagac tttgaggtt aagaccgtcc	660
tgacatttgtt attggagaa tatcctaaag caaatctgga atgggtgtcag tcccaagaca	720
tacagttcat gcaattcggtt ataccaggaa acaaagaacc tttcgacaac attcccgaaag	780
acgtaatttg tggcgcttc gttgccatcc ttgaccggcg gaatcatccc atactcatc	840
attgcaacaa gggcaaacac cgtaccggctt gtttgatagg ctgcattccgg cgattacaag	900
catggtctct cacttctata ttgcacgaaatcgcacgatt ctctgcggcc aaaagccggg	960
cgggtggatca acagtttacatc gatctgttgc atatcatgcc ttgttggaa gctgtatgtc	1020
gacctaagg tgggggatata gggaaatttac cggattgggg aatgttggtc ttgcccggaaag	1080
gtgtgggtgga agtcggtagg gatggaaagg agaagaagag ggttgagaga gatattttgc	1140

atatgcgggg attataatgc tggagcaatc aaatgggtt tagaaatcat aaattttatc	1200
catagcgaaa ctgtataatg gtagatagat atgttgtact ttgttctacc cccatatatg	1260
ccttcagaac tgagaagca tcctaaactc catccatcta ctccaaatcc ttttcatcaa	1320

attcggttc atagggagtc ctcaaataatgc tcgaaggctc ccaaacctgc agaatgttgt	1380
cctccgaagt gctcgcgatt gtccatggcg agctcgggct ccaagaaata tcgcacactt	1440
tgctgggttg accaccatgg acaaacaaaa gctcaggagg tccgtttcg gcatcatcg	1500
gagtttgttc agcaccaata gcatcgagat cccagatgtg gacgcggcga tcagcagagg	1560
cgatgcataa gtggacaggc gatgtggagg accagaaag ttgaaggaca tcgttgtat	1620
g	1621

&lt;210&gt; 35

&lt;211&gt; 2931

&lt;212&gt; DNA

&lt;213&gt; Artificial Sequence

&lt;220&gt;&lt;223&gt; SDP102

&lt;400&gt; 35

gttgttttgc ttattgttat tattttgtt attgttgtt tcaaaggttct tctttcaccg	60
ccgttatctg ctccatataac aacttcgcag cacatgtca ccccacaatg cagccccagc	120
aacacaccca caacaaccca tcacccgcgc cccgaccaca gcctcttcgt gtcgtccact	180
caccacccat cccacccatca aatcgaggca caagaacttc agagtttagct caagggccaa	240
aagccccatt ggcagcgcgc ttaccgttgc gcattactgc ggcgacgtct ccaaatacgaa	300
aacgaccgac tccgcttgcg cttggaaagc ccagagaagc tggccggaa gctggccgg	360

aagactggga aatacatcag gaaatatctt ttgcggcttc ttgggtgca agtggccgacc	420
attccttggaa caatgttttgc caagatttttgc ccaagactacg caaaggactgt cgacaaaaacc	480
tcctggctcg accgattgac tctccattag aactgtccgg ttctgaccag tcggccctca	540
atacaccgg acaacaatca tccttcggct ctccctctat atcaatggat agcataccca	600
ttgaacaagt ctgcgttcgg gtggagggcg gaagtgtttt gttgggtcgac acccgccgc	660
tggcttcctt tctcaattcc catttacca actccatccc actctcggtc cctactctt	720
tatcaaaaacg ctccaaaaaa tcgcagtctc aatcaagtcc ttccctata tcatggcga	780

ctctttcacc ttttgtctct ctatcaagcg ctgcgagaacg gtggactcg gtagatcaag	840
ataaaagtgcg gattgtgttgc atttgtcaag gcgaagaggg tagagttgtt aaggagatct	900
tgaagagctt gatcgaaggc agagttaaag tggtaaaagg tggatggct gcagactaa	960

attatgaaag agccagaaga acgctcggtt ccgggcagac cgctaccgc ccctgcctg	1020
acgtgacttc gccagaaaacc gacagcaaac ctctccccc tgcatacgta tccaatacac	1080
tccctccaaa atcagctccg ccatgtgata tacctctacc acctatccct gcatacccat	1140
ccccaccaaa atctctcaac caccgtcctt cattaccatc acttcgtcca cctttiacag	1200
ggcctactcg gaatttcct tcactctcgta ttaatgccgg tcaagcgagt cagagacgga	1260
cgc当地attt gagttgaat ttgacagac ctttgaagag tgctacgctt ggtggctacc	1320
atgatattcc tcccacaccc catgggtttt catgtacgca aaccaggcca cagaggctc	1380
ccggattgtc gttaaacata cccctactc cttccagcc gcaacaaggt cagattcaag	1440
accggatatt agaagactcc agacccaacg gatccggtca aatacaaac aaggcgcacg	1500
aacaatcgca cttccgcct tcctctcgta catttggcga tgccaaagcag attgagaatg	1560
agggggagga catggcgctt aacctgtatg acggacactgc gcctcgatcgccgacatcac	1620
acagtcccag taaaagtcaa gactaccaag cagcccgatt ctattttcgccatcttcca	1680
tgaacagcgc cctacccgct tccccgccta cgacccgccc agctgttgcttgc ccttttaacc	1740
cttcgtcat cttccatct ttcctctacc tcggccctga catccaatcc gaatccgatg	1800
ttcaatatct ttccgattt ggtgtgaagc ggatattgaa tgtcgcgttg gaatgtgatg	1860
acaatcaggg attgagctt aagagaggt tcaagtatag aaaagtgggt atgagagata	1920
tcgttgaaga aaacggggtt gggaaaggca tgagagatgc ttgtgaattt ttggatgatg	1980
ctcgcttca ctctgcacctt acctacgtcc attgccaagc tggcaaatca cgtttcgatca	2040
caataatcct tgcttacctt atccatgcca acgcatggac tctcaaaaca tcctatgctt	2100
atgtcgaga gggcgaaag gggatttagcc caaatatcggtt tcgtcgcc gagctgtgc	2160
agtggaaaga gaaggaattt ggagtcaagc agagtgggg cgtgcattt gatggaaatg	2220
ggagggtctaa agctccagggtt ggtggaggcg gtgggtgg tcaaggcac atgaaagatg	2280
gaggtgtatgtt tgaggaaaaa ggcaagactc atctcggtt tagttaccg cctaccgtt	2340
cgagtagtgtt ggatacttat acccgatccag ccaaggatata ctccccagtg ggcaggacg	2400
atggtgatgtt agaagaaagt ggaaggaaag gaaaggatgc agtggcgac gaaagggagg	2460
tgaggaaaaa tggtgtctgg atgcatacgcc ggagagcacc tggtggatcgaccacccttc	2520
aaccggcccg acgagtctcc aaagccggtc tcgaatccct tcgaccatc ctgattaccc	2580
ctaccgtatgc ctccctctt tctggccgc ctaataatgg tgacaatatc gatgtgaac	2640
gtcaagtcaa taacggctca gaggcgagac cgtgcctag ggccagcccg gggatggta	2700
tggggggca tgcgtatgcacg cctggccgggg atggaccctt gaagtggata taaatctcg	2760
atgatgcgtt aaatggcgaa ggagggcaga gagagtgtatg atctattgtt acgttttac	2820

gagccattgc gcttctacta tctactggtt gcataattta tgggttgttc atggactgta	2880
taaatataat ttataattta tcagttgtgt atatgtatat ttcttcttgc c	2931
<210> 36	
<211> 1016	
<212> DNA	
<213> Artificial Sequence	
<220><223> OCA1	
<400> 36	
gttcatttgc cagattggaa agatcacgtg actcaagcga ttgtgtccat cacagagaaa	60
acgaatgcga agacaacgaa ggaaaggcaac gttctcgatc gcataaacc acc agcatcaggc	120
atacgctcac ataagagaca gcatggcgaa gatagtgcac cccatgaact ttggccttgt	180
agaagacgga ttctaccgtt ccggccagcc ttccgagctg tgcttcctt ttctcgagaa	240
gcttaatttg aaaagcatta tatgggtggg agctgaagag cttcagacata tcttcttgc	300
attcatcgaa tctcaaggga tcaagttgtt caacctcgcc cctcaaacga gtttgaaccc	360
acatttccca cctccatatac cagattcggtt cgtagtacctt atatctggcc aataccacct	420
tccaccactt cctcctccgc ccgaaccactt gatcatttagt gctctaactc ttcttattacg	480
cccatccactt ttcccaacctt tattatgtt taatatggga cggcatagga cagggactgt	540
ggtggtgt tacagaaagc tgcaacgggtt ggcgttgagt agtataattgg aagagtatag	600
acggtaacgca gggatgaagg tcagggtcctt gaacgagcaac ttcatgttacatc tgttgtatc	660
agacttagtt tcaataacag cggAACAGGT gacaaaatag taattgtccg cgacaaaagg	720
ctagcaaaat tccttcatg ggaccagtag aagaagtcaa actgccaccg tgcccaactg	780
tagcccatac aacgcctaga gtgtctaccc gatcaggat gctggactgc gtctgcacca	840
tgcagcggcg atcattgcgt tgggttgat aaaatcatata tccataagaa atacatacag	900
cacggaaatcc aatatctgtt gtaccatata tgcaactaga atgcgacaac ctggctttt	960
ggcttcgcga cgacctcggtt ccttcttc ggcgtcagcg gcacactagg cgcttg	1016
<210> 37	
<211> 2392	
<212> DNA	
<213> Artificial Sequence	
<220><223> GDA1	
<400> 37	

ttttagccctc ttgtgaccgt ctggcattc acgctgcccc tcccacccct atcaaagatc	60
cgcactatac ccttactccc cattgttaac tttgattcct cttcacatcc ttttcaatc	120
tctctctt ttttccctt tccaaatat ataacagggtg catgcctgca cacttattcg	180
ctcggttac cgatactact ttcccttctt ccatagagac atccacatca ggctctgt	240
cctttccct tttgtcgct ctgagacaca gaccgtcagg taggatcccg aaaacccaa	300
tttcaccaaa atccccact tccgcttcta cttccacgac cgccgccatg ttctccacgc	360
gcaagtactc tccttaccc acgagtgcga atggccgc aaggaaacgc actggtgccg	420
gtttgacagc atgaaagcga tggcttac tcggcccat ctctgtggcc gttatcttct	480
tgggttttag ccgcgttgt ggccgatctg aacaacaaca gatctacaat gaagaaaaca	540
cgtatacacc ctcgcgtggac gaggatgtt tggtggacgg tgatccgatt gactatagct	600
ctcctccctt ccgtcctgaa gactctgtatg tggcccgacc gttggaccat gaagatggag	660
atgacgatgg tgtgattcat acgcttccca ctggcgacgc ttccaaccct catgatccta	720
cttctaccga agcccaggat gcttctgaag ccgagcaaga cttaccaac gagtctgagt	780
ctgaatctcc gtccgaggct gaatcttctt tcccccggatc attcgagcaa gaccggacc	840
ccgcttcgac aacggcctgt accgagcccg tatcttctga caagcctgtc gtgcagtacg	900
cgcttaccat cgacgcttgt tccacgggtt ccaggatcca cgtctacaaa ttcaacaact	960
gcggccgtc cccccagctg gagtatgaga cgttcaaaacg tgtcaagccg ggactttcag	1020
catacgctcg tgacccgact gcggccgtg cttctttga ccctttgtt gaggaggcat	1080
acagggctgt tcccgagagt ttgcgaaagt gtacgctgt ggaggtgaag gctactgccg	1140
ggttgggtt gctcggccag caggagatg aggctatcct tcatgtaaatg aggaacaggc	1200
tcgagaccaa ctgggacttt acggtcagtgc gcgagaggc tgctgagatt atggacggca	1260
aggatgaagg tgtctatgcg tggatcactg ccaactatcc gctcaacaag attgggtgaag	1320
gcggccgaatc tgacgacacg ctggcggtca tggacctcg tggcgcttcc acgcaaatcg	1380
tctttgagcc gaaattcccg gggaggatctg accaggcgct ggtggaggc gagcacaagt	1440
acgagctcac ctttggccgc aaggactta cgcttacca gcactttac ctcggctatg	1500
gtctcatgct cggccaggcga agcgtgcaca accttgcgc attcacatgg agcttggcc	1560
agggtgaggt cgagtggag aacttgagcg aggtatcaca ggtgccaaac cttgtttgt	1620
caaagggtat gacccggaga gtcgcgttg atccgcctgg aaggcagact gtcaatgtta	1680
ccatgcacgg tggaaatggg aactttgagg ctgttaacag ggtcgctcgat ttggctatgg	1740

ccaaggacgc tatctgtgaa gtcaagcctt gctttcaa cggtgttac cagcccttc	1800
ttctcgatac gttccccgt gcccaactgc tcgcgttcc ctacttacc gaccgcatca	1860
agccctttct cccatcctcc tttcctcca cgctccat ctctgagctt acctctatgg	1920
ccaaggacgt ctgcgccggc ccggacgcgt gggcgtaccg atgggcagc gacgcacgg	1980
cgtggagga gcttgccggt aggcccagt actgcctcgat ttgacgtt atgaacgcgt	2040
tgctcgggct cgatcacgag ctttctccgg agagggagtt gatggggag aagaagtta	2100
gggggtgtgga gcttgggtgg gcgttgggtg ccgggttggc gttgggtgg aaggcagaat	2160
tgacttgtac tgcttagcgt agcgtagcgt aaaactaaaa aaaaaggag tatggtata	2220
tagaggggt ttagatggaa tggaaaggaaa aaaggtaat gggccacag tctttgtaa	2280
aaatcacatt agtttagat ctatacaaaat atcatatcaa tcattgcaat tcttggtac	2340
tgtttggat aggtataaca tggatgcacc tgtgtaaat caagatggaa aa	2392
<210> 38	
<211> 2125	
<212> DNA	
<213> Artificial Sequence	
<220><223> FBP26	
<400> 38	
cgttcacatc catccaatcc gttttctca atttactgaa aacaatgtcc ataccaccac	60
caccaccgtc caataagtcc cccgcatcag cagttcccc ctccaagccc cgctcccaa	120
agctcaaacc cctcactccg acatccgaaa aacccgcg cactaataat gacgacgatc	180
aagtctacca gcccgtcgag ccacatgtcc tggccgaagc agtctcaaaa ctgcacatga	240
tccgatcgc acctgcaccc atgtctactg tgacttctcc cgccgtatgc gcaatccca	300
gtggtcctag ctgcctaaga ctctctggtg cggccagg ggcgcatac acaggccat	360
gggcataatggaa ccgcacagcg agtggagatg gtggcacag tgccctggt acacccact	420
tcggggcctc aaccgcttgc ctgaagacgc tggatgagac cacgaaggatc atcaggcaaa	480
gctccaggcc tccgtcggtt ggcgcacccgt tgcgtggat cggtaatgtc gttggaaagc	540
ctgactattc cgaagccaag atcgctgtcg cgatggttgg tctccggcc cgaggaaat	600
cttatctcag taacagactt atgcgatacc ttgcgtggct cgaatacaac gttcaagtat	660
tcaacgtcg acaactccgt cgctccaaag cccgcgtccgc tctccaggcc gggcaggaa	720
aggtcgacca ttccgcgaca tacttctcgat attcagatgc ggaagctacc aagaaacgag	780
aagaactcgc agaagagtct ctcgaatcac ttatcttg gctgaagaag gaaggaaatg	840
tggaaattat ggatgcgacc aatagtacaa tcgatcgaag ggagaagatc aagtcgcga	900

tcgacaagga gccggggctt caagtcctat atcttgaatc tttctgcgt gaccccttag 960

taattgcaac caacattgca ctcaaggccc gatctggcga tcctgactac caagggatgt 1020  
 ctaaagaaga cgccagagccg gatTTtagga agagaatcgc tcagtatgag agtgtatatac 1080  
 agacgatcaa cgagccaaat attccctct gcaggatatt aaatgtcgga cagagagtca 1140  
 cgataaataa gattgaggc tatTTcaaa gtcgaattgc attctatTT atgaacctgc 1200  
 atctcaaacc aagaagtatc tatttgcgaa gacatggaga aagtatgtat aatgtcgagg 1260  
 ggaagattgg aggtgattcg gatctctcac caagaggatg ggagtatgcc cgccacttc 1320  
 ccgccttat caaagacaac attggcgagg ggcctttga ggtctggacc tcaacccttc 1380

aacgtaccca acaaacagca tcataccccc cttcgagaa gaaaacgtgg aagtcgtcg 1440  
 acgaaactgga cggccgtgt tggtatggca tgacgtacaa ggagatcgag caaaagtatc 1500  
 cagaggatta tgagagtcga gacgacgaca agttcaatta cagatatcgt ggtggagagt 1560  
 cataccgtga tgtcggtgc cgtttgaac ccgtcatcat ggaacttgag aggcaaaaca 1620  
 atatTTgtat tattgccccat caggccatcc ttgcgtgtct atatgcctat ttccaggcca 1680  
 gaccccagca agaactccca tacatcaaca tccccctgca cacacttatac aaaatcacgc 1740  
 ctcaagctta tggctgtcaa gaagaacgct accctctccc tatcgctgca gtagacaccc 1800

atcgaccccg tccatccaag gggagaaaca ctgcccgtgt ttcatgtggcc gaagaagcct 1860  
 tccagccigt caagcgagat tattatggag acagccaaaca aggtgtcggt tttggcttga 1920  
 agcccgaggc gatttcacag gctttggaga acgagatgga acaagggaaag ttgacaccaa 1980  
 gggctgcgtt agctgcgcaa ttgcacacg agtgcgtat cttattggaa gttgtaaagcg 2040  
 tagaattaga tgtatcgaga agcccgaaaa tgaaatgcaaa ggcgtatgtt aatgtatct 2100  
 tcctccgatg tatgtctgg tcgca 2125

<210> 39

<211> 2418

<212> DNA

<213> Artificial Sequence

<220><223> PSR1

<400> 39

ttgctacacc aggaaggaag gaagaacgca caggaaagaa gaaagaacga acgagagaaa 60  
 gaaagaggca gtggaaagaaa tgcccacaac ggcacagag ccccccactg tggcaccaggc 120  
 catcagtccc caaaacacaa acaccggccgg acccgacacac acaacatcca tcgaccacaa 180  
 cacgtcaacc accgacactc agcaaccgtc ctccggcttg caacccatcca tcctgcctcc 240

tgtagccact ccagcgacac agaatctagc ttctactaca gaaatgacca aggacggagg	300
tgcatgtca gcccagcctt ccacggctca gacaactctg cctgaacccg gtacaacgtc	360
tacatccatc aagcctacag aaggagagca aagcaaaggta acccccctgg gaaacttgtc	420
ccgttagatta tcaaacaagt ccccatcgac taccgttcc tctgcacccc aaacaacggc	480
tgaaaaagca gacccaaaac cggttcatac acacactcgat cctaccacct ctacgtcaaa	540
aacaacggtt aacacgcctg catcccgag tgtcaatgga gccacaaagt ctaagacagc	600
tcctacatcg aatacaactg cgcccaaggc cggtcaaaag aagaaaagga agcggaaagg	660
tttggcgggc atttactcg cgctcgatg tttatctgtt gatgagttt aggaggagcc	720
aagcaaacct agcagcacga ctgcgatgtt agggcgggt aaaactgccc gcgcgtggc	780
tacaacgggg gtgagcacaa aagccgatga gagcgcacaa ccagggtcag gtgtatgtgg	840
catgaccta ggtgccttga aggcaccgaa cggttagcgtc gcacctgctc cgtcaggccc	900
atcagcagtc aaaactcaag acaccactgtt agggactgaa caaaagggtgg atgcaaccgg	960
cccaaccgtt tctacggttg ttgctgaagg atcgaatgaa gccgataaag gtatcgtccc	1020
cgtatgaacaa gtcgtcgtgc ctccgaccga acctcatacc ctccagatg atgagaccgc	1080
tgggtgttaacg tcttctgcgg tccagcctcc tggaggaggc tctgtcctcc ttggcacccc	1140
gtctaaacac gtccttcacc gcaatctga aaccaaccc ggtacatcca gtaatgagcg	1200
tacagagaca agcggggat actcgacat tagcaattct gaaatggttt acgaaagcac	1260
aggacaagga ggagatgaac tcggagaaga ttatctttag tatgtatgacg aagaagatcg	1320
attaattgaa caaggtggaa ttggattcc cgtggacgag aatggcaatc cggcaccatt	1380
attacccccc atagctgccca agcaccgtgg acgaaagtgtt ctctgtctcg atctcgatga	1440
aaccctgtta cacagtagct tcaagggcga aaatcagcaa ttgcccacag cggattacat	1500
tgtaccggta gagattgaat ctcaagtgc caacgtttat gtcatcaagc gaccgggtgt	1560
cgaccacttt ttgacagaaa tggcaagat atatgagatt gtcgtttca ctgcttagttt	1620
gtccaagtac gtcgtatcccg tccttgacat gcttgacgag aaccgtgtcg tagcccatcg	1680
tctgttccgt gaaagctgct acaaccacaa aggaaactat gtcaaagatt tatccagct	1740
cgggtcgac atccaacact ccatcatcat tgacaattca cccgcctt acatcttcca	1800
ccctaataac gccgtccctg tgtccacttg gttcagcgat cccacgata gtgaattgac	1860
cgtatcttgc cccttccttg cagacctcgac cactgtcgac gacgttgcgtg gtgtccttga	1920
tggacgaatc tagacgttctt agaaagcatc tcaacttata tccgcgagga ccatcgatc	1980

ccatctccc ttcttttg ggatcaggta aggaaaacat tagagtgtat aaggactcat	2040
acggtaaact tggggccca acctagaaaa tcataacatc aataacccta taccagagg	2100
ccttcggga gcttgcac atattcgtt atttctca atctcattt gttcatgtt	2160
cgtatctcaag gcgtatgtatc tattatgtcg atccctcatg gtctgtttc taatctttt	2220
tatttcgtg ggtgtataca accttaggtac ccgcgttat atctatcata ctccctcatg	2280
actgacttct ttttatctt tgcttttagtt tcaaaatgtt gagttattct ggaatcgctt	2340
gtagatacgt aaaaaaaaaat aattggaca aagattgtcat tgattggct cgtcgcatgc	2400
atcgctgtca tacagttac	2418
<210> 40	
<211> 2684	
<212> DNA	
<213> Artificial Sequence	
<220><223> CDC1	
<400> 40	
gcgtttgtt ccctggctga gggccggact tggaacttagc ttcttttct tatccatttgc	60
ctgcttgcac catctgtttc cactagtac aatgtcggtt tcaccggcggg cacactcacc	120
cgcctccc ctggccgcca gaggaaggaa gacaggcctc aagtacggg ccacccagat	180
acttgcactc agattcggtt gggtcgtgtt cgttatatgg tacgaggtcg gagaattctt	240
ccactctctc tccacatgcc gcttccccga ctctgtctg cggcaggccc atccccaaagc	300
ccgcctccc acccatgtcg tccatcgcc cgatccgcat gttcccatg cacgactgtc	360
gtacccctcc gggaaacctt ggctgaactg ggccaaaggcag cagatggatg agctttcat	420
gcgcggaaatgc tggaatgtgg ttatgcgtt agggagggtt gaccagggtc ttgttctcg	480
agatatgttgc gactcggtt ggggggtcat gtccgttgc gatgtacgtgg agtacatcg	540
tcttccgttcaatattcc agcttccctcc cacaacgcct atgcacttttgc taccaggtaa	600
ccacgacatt tctctcggttcc ccaatggcag atttctcttca caagctcggt tacgttacca	660
gcaacatttca aaaacgcccac acccggttcc tcccatatca aaccactcgat tcattttgtt	720
tgtatggcgtt ggttttgttgg aagaagacta tcggcggtat gtttcagaga tgcagttgg	780
ggaatggat ggtgtcaaag gcgggtgtat tgagttgtc aaagacatgtt gggacaatcc	840
tccacctggat cccaaatct tgcgttccat tattccactg gcgagacctt aaggcgccgc	900
ttgtggaccg ctgagagaaaa aaggacggat atcaaaaggt gctggccctg gataccaaaa	960
tttgcgttggg agtggactt ccaattttt gttggatgcc attcagccgtt acattgttgc	1020

tagtggggac gaccacgatt actgtgatta tgtccacaaa ggaaatatcc gagaagtgc	1080
agttaaatcc ttctcctcg ccacggcat cgcgcgtcg ggactccaac tgctctcgct	1140
agttcctcca ccgacagaat ccaccgctag acttctccca acccacgccg accgaccttg	1200
cttccttccc gatcagctgg gtgtctattt gcgtgtctat ctccctctcg ccatccttac	1260
agcactgtac cttttatca caaaccttcg ttcaagcgat ttgcgtatggg accgttttc	1320
acacgcgtt tcggagaaaa tgcggtaag ccccgcttg ctctccgcgg agaccatgtc	1380
gccccaaactca ttctcgtaac ggccgaatgg acctgtccca ctttagtattt cctctcgtaa	1440
atcatcttca catctcccc tttctgtcc ctcaaggcatt ccctcttcca ccctgcctcg	1500
ccctgtacga tacaactcca ctccgtcaga gtacccgcga ggttccagga gcggccagag	1560
caaccctgtta tccccatttga gaagtccgaa attgtccgcc gttgagcggtt ttggggagcg	1620
cgtatgttagaa cgcgatggag aagcagcgtc tgctagtgt acaggtctta acacacctt	1680
cacccgttctt cggcgatcat cctacatata catggatcgc ggctttccat cttcagtctc	1740
tgactctgctt ccgttatctg ctgcggcac cactaacttgg gggttgggtg caaatacggg	1800
agtcaagtca ccctcatgtt cgggtttat tcggagagtt tctagcgcca acctgtcgac	1860
gtttagtactt acgaatgtcg cccctccgag cttagcgtt acctccccgg gtacaccccg	1920
gcgtgtcacc ctccccagcc ctctccttctt cccgcattcc cctgctcagc cgcaagccca	1980
ccccctctcc caaacctttt cacacgcacac gcaccccat ccagctgtga tttacacttt	2040
ccccacccca tcaaggtcat ggttctgggtt tgagagggcc aagtctttt taagatggc	2100
atggaaagca aggaagggag ccgtggcaa gagttggaga gagctgtatca gtgttgcatt	2160
ggttgggct atcgtctggc taggtgtgaa tgcgttgggtt ttccttgagt aaaacactct	2220
cgagtagaaac ggcgtgtgc ttgggtgtt gggtgttag atgcttgggg tcttgttgg	2280
attgtttttt ttcttcgag ggcgtgtgaa aagatgtcgc ctgcgttgca gcagggtgtaa	2340
tccaaaaaaaaa aattgtctac tgcgttcc tgcgttcccttcc ctccttagatt tgatctttc	2400
ggtgtccgga agacacattt tctcaacttgc catcataaaa agagaccccg ttcttctaaa	2460
ggagatgagg gtcgggtggc cgtggcctca tagcctata acatatggat tttggagcgt	2520
gtagcgtaca tacatactgc tggtttacat gacctgtttt ttccgcacat ggtatctgg	2580
attcatgtac ggcaatatac tagttctccc aatgcgcctt cacgaacgac cacgtgaagc	2640
tcttcataatggactgtacttgc tgcggccacgc agtgcacgaaag ccccc	2684
<210> 41	
<211> 1635	
<212> DNA	

&lt;213&gt; Artificial Sequence

&lt;220&gt;&lt;223&gt; INP5202

&lt;400&gt; 41

ataaaaaatgg tgactctcta ctgccagcc aagcgttcat atctatgacg cacgcagg	60
ttattgtacg taccggccg cctcgctacc agacgagacg gatgttattt taactctta	120
caacataatt gacttatca ttacttcag acaatcctca tccaagccac ccctaccgtc	180
ccaagttcaa cccaaagatg gtcctctag acgtttcat gactacctgg aacaccgtt	240
tacagggatc caaagccaa tcccaagacc tcacgagctg gcttctgcca gtttgcga	300
atgcctctaa tcctgaactg cctcaagggt ttatccaga cctttacgt ataggaattc	360
aagagcttt acccctccat ctgctatgg ctgggttgac tgagcctgta ctccttgctc	420
tgacttagtcg cattgaaaat ctcttatecg cccacgcccag ttctatatacg cccaataaga	480
caccggagag atattccta gttgccagag tggccatgt tgaaatgca ctttggatct	540
tttccggga tagtaccatg gatggaaggc taggaaaacc gtgcaccgca actctggat	600
tatattgggg aggcattggaa aataaagggg ccgtgggtgt cagactccct gtgagaagag	660
gcaagattgg tggatgggag aatctgaccc tcgtcaatgc ccatctcgaa gcgcattgacc	720
acaatattcc tcgacgcaat gcacagtatc agaggattct gagctctctc gtcttcaatt	780
cgacggatcc tcttacaact tcacagcaga ttttgacac ttctcattta ttctttatgg	840
gtgatctcaa ctataggctt tccaaggcgc cacccaggc agctctacaa gagaacaaaa	900
tgttcggaga tggatggaa ttggaaaagt ctcgaatggg gaigctggat actgatactt	960
tgagacaaga acagagagaa gggagggtt tcggaggcatt aagggaaggc gatttgacta	1020
gattcgcgc caegtacaaa aggtatgtt gacaaattga aggatacagc aagaaacgca	1080
tccctggctg gactgaccgt attctcttg cttctcatac cgatcctccg catctttt	1140
ctcccgaggc gtcttggac ccggccccct ctaacgtacg cgatacaacc agtacccctcc	1200
atttcaactc cacaatcgag ctgtcattt ctgatcacaa gccagttccat gcgttccttt	1260
ctttaccgga agttccac gaagcgcctt ctcctcacct tgccaccaacg cttccccctg	1320
ctccttacc tcatcagcca agacctttc ccactcagcg cgaggtccctt ttgattgaga	1380
agttttggg gactttgctc gatagacttg tcgggtggcc atgggtgcatt atcgttgc	1440
ttgggttgg caacacacgt aggggcattgg gtgtgagcgc ctttgtggcg atgatttggg	1500
gcatctgggtg gagcggggta tactctggat gattctgtaa attgataaag gcttctgtct	1560
ataggataact tggatgtatgg attttcgtc gttcttatac atatataatg tactcatgt	1620
aataacgaag tgagg	1635

&lt;210&gt; 42

&lt;211&gt; 3400

&lt;212&gt; DNA

&lt;213&gt; Artificial Sequence

&lt;220&gt;&lt;223&gt; YND1

&lt;400&gt; 42

gttactttgc tataccattt aatactccac ctcccccagt ttccgaacaa caagtctgga 60

cgagggtgga cgacacggga agatacgagg aaagaagagg tcittcattt caaggcagaa 120

aacgagaccc gcatatcgta ataaactgcc ccacccacg cacatctccg ctccgcgaca 180

aaagaaaacg tacaacatct tggctaaca aaaagtgcga tacggggcga ctccagaacg 240

ataagatact ggcacttag ctccatataca catctcattt agatttgctg agtgcataca 300

taggagccag ggcacaagca cgatggcacc atccgttaca ccactcacca ctcactatgc 360

cctagtcat tgcggcggct catcggttc gcgattacag atatattctt ggcgagatcc 420

agatttgaa agagcagaaa ttctccagga tgtgcagaac attgagagac aaggttcgag 480

ttcgagctcc aaggaaggcg ctgggtggg gtggagtggaa gaagatggat ggaaggcga 540

agggaaaggaa aagcgaagg agatggagga gatggcttg agaagggtgg tgagagtgg 600

caaaggggtg gaaggggatg actgggtgaa aagagtttag cctggatat ccactgtcga 660

ccccgagaat atccagagt acctcgcccc gctgctcaca catgcttcc aacacatccc 720

accctcggtc cactcctcca cacccatcta cctcctcgcc acagcggcga tgcgtcttt 780

gccttctcag cagcgcgatg ccatttaca agctacgtgc gatacattac gaaacgacta 840

cccgttctc gtctctgggc cgacagagga agggccttgt ggtgaaaatg taagggtgat 900

tgcgtggatc gagaaaggta tctgggttg ggtcgctgtg aactatctca tggacggttt 960

cggtcatgcc ctttcgcctt catctatactt caattctggaa acatcatcat cgtcttagtac 1020

caacctgtc cctctcgccc cgtagtttc tgccctcca gactcttctt cctttccat 1080

ccccccgtc gacattgccc accactcacc cacattcggtt ttcctcgaca tggcggcgc 1140

ttccacccaa ctatgttttcc cccctctgc ttccgaactt ctcacctctg gtttcccgct 1200

cgacaaactc cgacagatgtt gtcgtcgatt actttcggcga aacaagtcg attggccggt 1260

ctttgttagcg agctggcttg ggttcggac gaaccgcgtt cgacaaacgtt atatgacttc 1320

tctctatcaa caatgggcct ctggccatcc ttcccttct gcacaagacc tagcgacacc 1380

cattccggac ctttgtctcc ccaaagaccc ctccatcttgc ccaccctctt cttctcaacc 1440

ccctttaatc ggaaccggctt cattccccga atgcctcacc tccctccacc ctctctcgaa 1500

acatccacc cttggccca cctccactg ccttcgga ggccaaccga cgccatcacat	1560
tgatttgaa cggcacgatc agagagggtt tataggata agcgagtatt ggtatacgat	1620
gcagcatgtg ttggggtag gagggatg ggattgggg gaatggaaa aggaaatgaa	1680
ggagtttgtt gggaggatt gggaggatg taaaagtgaa gtggagaatg gggatigggaa	1740
ggatgttaat atggaccga caagattaga aatgcataatgt ttcaaaggcg cctggatctc	1800
caacgtctta cacgaaggga tcggtatccc ccgactagtc gatgttaggatc ggaatgatac	1860
actcacaggc gggtcgttgg gcgatacgaa cgctgaagct gaacgcggg ctcgtaaaa	1920
gggtctgttc gaaaagaaag ggcaaggaca agggaaacat cattccaaa gtatggacca	1980
agttggggaa acagccatct ctggacact cgggaaggc gtgattgaag catgaaagc	2040
cgtccaaacct cgatcgcaag aaatggaagg gtggtgatg cgtcatctca acctcgggtc	2100
catgcgactg ccgttatgc taccgatacc aaaacaccta gaggaaagc ttgaagatct	2160
aggattgagc gtggatgga ttatgcgtt agtgggttc ttttgggtgg ggtatgcctt	2220
ctctcgttct aatcgctgca ggggagttgg ttctggggg tctggatgg ggagaaggag	2280
aaaaccaagt ttgcctcac ctcccttacc tgccgaccg tggttactt tcccttctt	2340
cttctccggc cccggcccg atccgagtt atcgatcgaa gacggcccg acgctcccc	2400
cacatcatcc acgtcatcca ccccttctc tggcaatggc accgctgggtg gtgctagtgg	2460
taaatcgctt atcgccccg gcccactccg actttggtcc ctccgtatct ccaacacaat	2520
caacaaatat attctgcctt cacttcctt atctttggc agccgaaact cgagacagcg	2580
gggaggcgca catgagctgt ggacatcgat agggataggg ttaccgagaa cgcgacataa	2640
ttcgatgccc atgatcgca tgggaccgaa tactcccc cgtgtggc ttctctcccc	2700
gggtgggtgac ggtggttact cacagccgg ttcacctgt atcatctccg caccatttt	2760
catcccccc gctgctccag gaatcggtgg cctcaacacg ggtgtggta gtcttacacc	2820
agaaacagtt ctgacaggca tatcaagcgc cacatctgc tcaccttctc cgaggctcgc	2880
atctacttctc tggccgcctc cgccttaggag cagttgaaa cctggcaagt ctggcgacc	2940
gttcaaaccg aggcagaatt caaataatct gcatccacac catggatcgc atgggttca	3000
ttccgttggg gaaggtatag gtgcaggagg gggagggtgg aatgatccgc cttggccat	3060
gttgagtagc cccggttcg gcacaggatcc aagcgggagc ggagcggcag atgatgggtgg	3120
cgtgttgacg ccgacggcga atggaggctt gagtaatggt gcattgtcg gaaattcttag	3180
tagggcgaat ctgagtgaat tgggttggc acagcggcgtc atgagtagaa cggggacacc	3240
tgttttgat taacctctt agatgcgcga tataataagg acattcaggg ttgtttgtt	3300
gttggaaaat attcatcttag ccccacaagt atatacatat gcacgcctgt tatatttttc	3360

cttatcgaag gcactcctta catgtacgtt atatacagga	3400
<210> 43	
<211> 20	
<212> DNA	
<213> Artificial Sequence	
<220><223> VPS29 L1 primer	
<400> 43	
 tgttttttg aaagggttg	20
<210> 44	
<211> 38	
<212> DNA	
<213> Artificial Sequence	
<220><223> VPS29 L2 primer	
<400> 44	
 tcactggccg tcgtttaca atgacgagaa ccaggacc	38
<210> 45	
<211> 40	
<212> DNA	
<213> Artificial Sequence	
<220><223> VPS29 R1 primer	
<400> 45	
 catggtcata gctgttcct gactcagtct caatcaacgc	40
<210> 46	
<211> 20	
<212> DNA	
<213> Artificial Sequence	
<220><223> VPS29 R2 primer	
<400> 46	
 gttgtttctt cttcccagc	20
<210> 47	
<211> 20	
<212> DNA	
<213> Artificial Sequence	

<220><223>	VPS29 S0 primer	
<400>	47	
aat caggcgt	gggtt cagac	20
<210>	48	
<211>	19	
<212>	DNA	
<213>	Artificial Sequence	
<220><223>	VPS29 P0 primer	
<400>	48	
atagg tctcc	ttgtcg cag	19
<210>	49	
<211>	21	
<212>	DNA	
<213>	Artificial Sequence	
<220><223>	VPS29 STM primer	
<400>	49	
acac ctacat	caaacc tcc c	21
<210>	50	
<211>	24	
<212>	DNA	
<213>	Artificial Sequence	
<220><223>	VPS29 STM common primer	
<400>	50	
gcat gccc tg	ccccta agaa tt cg	24
<210>	51	
<211>	19	
<212>	DNA	
<213>	Artificial Sequence	
<220><223>	YMR1 L1 Primer	
<400>	51	
tactat gtgg	gcgaga agg	19
<210>	52	
<211>	38	

<212>	DNA	
<213>	Artificial Sequence	
<220><223>	YMR1 L2 Primer	
<400>	52	
tcactggccg tcgtttact gctactcgta atgcgtcc		38
<210>	53	
<211>	39	
<212>	DNA	
<213>	Artificial Sequence	
<220><223>	YMR1 R1 Primer	
<400>	53	
catggtcata gctgttcct gagcaacaaa aggcttggg		39
<210>	54	
<211>	21	
<212>	DNA	
<213>	Artificial Sequence	
<220><223>	YMR1 R2 Primer	
<400>	54	
gcttgttctc ctgaagtttg g		21
<210>	55	
<211>	21	
<212>	DNA	
<213>	Artificial Sequence	
<220><223>	YMR1 S0 Primer	
<400>	55	
ccagacaaaa ggcttttagt g		21
<210>	56	
<211>	19	
<212>	DNA	
<213>	Artificial Sequence	
<220><223>	YMR1 P01 Primer	
<400>	56	
agacttccac ttttaccgc		19

<210>	57	
<211>	21	
<212>	DNA	
<213>	Artificial Sequence	
<220><223>	YMR1 P02 Primer	
<400>	57	
gtcgagaaaa aagagtagtc c		21
<210>	58	
<211>	20	
<212>	DNA	
<213>	Artificial Sequence	
<220><223>	YMR1 STM Primer	
<400>	58	
tgctagaggg cgggagagtt		20
<210>	59	
<211>	24	
<212>	DNA	
<213>	Artificial Sequence	
<220><223>	YMR1 STM common Primer	
<400>	59	
gcatgccctg cccctaagaa ttcg		24
<210>	60	
<211>	22	
<212>	DNA	
<213>	Artificial Sequence	
<220><223>	SSU72 L1 Primer	
<400>	60	
gactatgatg aaaagacggt cc		22
<210>	61	
<211>	39	
<212>	DNA	
<213>	Artificial Sequence	
<220><223>	SSU72 L2 Primer	
<400>		

> 61	
tcactggccg tcgtttact gggaggcaat gaggatgac	39
<210> 62	
<211> 41	
<212> DNA	
<213> Artificial Sequence	
<220><223> SSU72 R1 Primer	
<400> 62	
catggtcata gctgttcct gtatcctcaa cgctcacggt g	41
<210> 63	
<211> 18	
<212> DNA	
<213> Artificial Sequence	
<220><223> SSU72 R2 Primer	
<400> 63	
aacctggtc tccttgcg	18
<210> 64	
<211> 19	
<212> DNA	
<213> Artificial Sequence	
<220><223> SSU72 S0 Primer	
<400> 64	
atctccgttc aggactgtc	19
<210> 65	
<211> 19	
<212> DNA	
<213> Artificial Sequence	
<220><223> SSU72 P0 Primer	
<400> 65	
actgggagga tagttggc	19
<210> 66	
<211> 24	
<212> DNA	
<213> Artificial Sequence	

<220><223>	SSU72 STM Primer	
<400>	66	
ctccccacat aaagagagct aaac		24
<210>	67	
<211>	24	
<212>	DNA	
<213>	Artificial Sequence	
<220><223>	SSU72 STM common Primer	
<400>	67	
gcatgccctg cccctaagaa ttcg		24
<210>	68	
<211>	19	
<212>	DNA	
<213>	Artificial Sequence	
<220><223>	NEM1 L1 Primer	
<400>	68	
atctatgcca ctgaaaagcg		19
<210>	69	
<211>	38	
<212>	DNA	
<213>	Artificial Sequence	
<220><223>	NEM1 L2 Primer	
<400>		
>	69	
tcactggccg tcgtttact atgcgactca gggtgttc		38
<210>	70	
<211>	40	
<212>	DNA	
<213>	Artificial Sequence	
<220><223>	NEM1 R1 Primer	
<400>	70	
catggtcata gctgtttcct gtgtgaatga tgtgcggagg		40
<210>	71	
<211>	20	

<212> DNA

<213> Artificial Sequence

<220><223> NEM1 R2 Primer

<400> 71

agaggaggat ttggctttc

20

<210> 72

<211> 18

<212> DNA

<213> Artificial Sequence

<220><223> NEM1 S0 Primer

<400> 72

tcacgacct ttttgtcc

18

<210> 73

<211> 19

<212> DNA

<213> Artificial Sequence

<220><223> NEM1 P0 Primer

<400> 73

acgctgatgg aggagattg

19

<210> 74

<211> 20

<212> DNA

<213> Artificial Sequence

<220><223> NEM1 STM Primer

<400> 74

caccaactcc ccatctccat

20

<210> 75

<211> 24

<212> DNA

<213> Artificial Sequence

<220><223> NEM1 STM common Primer

<400> 75

gcatgccctg cccctaagaa ttcg

24

<210>	76	
<211>	18	
<212>	DNA	
<213>	Artificial Sequence	
<220><223>	YVH1 L1 Primer	
<400>	76	
tgctcatcca ttctcagg		18
<210>	77	
<211>	38	
<212>	DNA	
<213>	Artificial Sequence	
<220><223>	YVH1 L2 Primer	
<400>		
>	77	
tcactggccg tcgtttact atggctgtgc gacttgag		38
<210>	78	
<211>	40	
<212>	DNA	
<213>	Artificial Sequence	
<220><223>	YVH1 R1 Primer	
<400>	78	
catggtcata gctgtttcct gcacaaaaac tgacgctgag		40
<210>	79	
<211>	19	
<212>	DNA	
<213>	Artificial Sequence	
<220><223>	YVH1 R2 Primer	
<400>	79	
ctccagattt tgtggcaag		19
<210>	80	
<211>	19	
<212>	DNA	
<213>	Artificial Sequence	
<220><223>	YVH1 SO Primer	

<400>	80	
tcttgccga ctccactc		19
<210>	81	
<211>	18	
<212>	DNA	
<213>	Artificial Sequence	
<220><223>	YVH1 PO Primer	
<400>	81	
gacctttca gcgattcg		18
<210>	82	
<211>	20	
<212>	DNA	
<213>	Artificial Sequence	
<220><223>	YVH1 STM Primer	
<400>	82	
tgctagaggg cgggagagt		20
<210>	83	
<211>	24	
<212>	DNA	
<213>	Artificial Sequence	
<220><223>	YVH1 STM common Primer	
<400>	83	
gcatgccctg cccctaagaa ttcg		24
<210>	84	
<211>	22	
<212>	DNA	
<213>	Artificial Sequence	
<220><223>	OCA101 L1 Primer	
<400>	84	
ttctgatgt cacactactc tg		22
<210>	85	
<211>	39	
<212>	DNA	
<213>	Artificial Sequence	

&lt;220&gt;&lt;223&gt; OCA101 L2 Primer

&lt;400&gt; 85

tcactggccg tcgtttaca ggaggacagc atacaaatg 39

&lt;210&gt; 86

&lt;211&gt; 40

&lt;212&gt; DNA

&lt;213&gt; Artificial Sequence

&lt;220&gt;&lt;223&gt; OCA101 R1 Primer

&lt;400&gt; 86

catggtcata gctgttcct gcgaaacttc cagtagcctg 40

&lt;210&gt; 87

&lt;211&gt; 18

&lt;212&gt; DNA

&lt;213&gt; Artificial Sequence

&lt;220&gt;&lt;223&gt; OCA101 R2 Primer

&lt;400&gt; 87

gaacgacgga ataatggc 18

&lt;210&gt; 88

&lt;211&gt; 20

&lt;212&gt; DNA

&lt;213&gt; Artificial Sequence

&lt;220&gt;&lt;223&gt; OCA101 S0 Primer

&lt;400&gt; 88

gacgagggtgg tggaaagatac 20

&lt;210&gt; 89

&lt;211&gt; 18

&lt;212&gt; DNA

&lt;213&gt; Artificial Sequence

&lt;220&gt;&lt;223&gt; OCA101 P0 Primer

&lt;400&gt; 89

ctttagttct gccattcg 18

&lt;210&gt; 90

&lt;211&gt; 20

<212>	DNA	
<213>	Artificial Sequence	
<220><223>	OCA101 STM Primer	
<400>	90	
ctagagcccg ccacaacgct		20
<210>	91	
<211>	24	
<212>	DNA	
<213>	Artificial Sequence	
<220><223>	OCA101 STM common Primer	
<400>	91	
gcatgccctg cccctaagaa ttcg		24
<210>	92	
<211>	19	
<212>	DNA	
<213>	Artificial Sequence	
<220><223>	SIT4 L1 Primer	
<400>	92	
agtgggttag aaaccacgg		19
<210>	93	
<211>	37	
<212>	DNA	
<213>	Artificial Sequence	
<220><223>	SIT4 L2 Primer	
<400>		
>	93	
tcactggccg tcgtttact gaagagattt ggatggg		37
<210>	94	
<211>	40	
<212>	DNA	
<213>	Artificial Sequence	
<220><223>	SIT4 R1 Primer	
<400>	94	
catggtcata gctgtttcct gactaatctg tcctggctgg		40

<210>	95	
<211>	20	
<212>	DNA	
<213>	Artificial Sequence	
<220><223>	SIT4 R2 Primer	
<400>	95	
caagggtcta aaggaagtcc		20
<210>	96	
<211>	20	
<212>	DNA	
<213>	Artificial Sequence	
<220><223>	SIT4 S0 Primer	
<400>	96	
gataccccaa gtgtccctac		20
<210>	97	
<211>	20	
<212>	DNA	
<213>	Artificial Sequence	
<220><223>	SIT4 P0 Primer	
<400>	97	
cattaccgca tctgttagcag		20
<210>	98	
<211>	18	
<212>	DNA	
<213>	Artificial Sequence	
<220><223>	SIT4 STM Primer	
<400>	98	
ctttaaggt gtttgtg		18
<210>	99	
<211>	24	
<212>	DNA	
<213>	Artificial Sequence	
<220><223>	SIT4 STM common Primer	

<400>	99	
gcatgccctg cccctaagaa ttcg		24
<210>	100	
<211>	19	
<212>	DNA	
<213>	Artificial Sequence	
<220><223>	GUA1 L1 Primer	
<400>	100	
tcagtcttgc tctttcgg		19
<210>	101	
<211>	38	
<212>	DNA	
<213>	Artificial Sequence	
<220><223>	GUA1 L2 Primer	
<		
400>	101	
tcactggccg tcgtttacc aagatgagga tggtgtcg		38
<210>	102	
<211>	45	
<212>	DNA	
<213>	Artificial Sequence	
<220><223>	GUA1 R1 Primer	
<400>	102	
catggtcata gctgttcct gattacttcc aagcctcctg ggacg		45
<210>	103	
<211>	18	
<212>	DNA	
<213>	Artificial Sequence	
<220><223>	GUA1 R2 Primer	
<400>	103	
tgcttcgtat tgacagac		18
<210>	104	
<211>		
19		
<212>	DNA	

<213>	Artificial Sequence		
<220><223>	GUA1 SO Primer		
<400>	104		
		ggccatctgt atgtttgcg	19
<210>	105		
<211>	19		
<212>	DNA		
<213>	Artificial Sequence		
<220><223>	GUA1 PO Primer		
<400>	105		
		cttaggcttc caggacaac	19
<210>	106		
<211>	24		
<212>	DNA		
<213>	Artificial Sequence		
<220><223>	GUA1 STM Primer		
<400>	106		
		ctggggattt tgatgtgtct atgt	24
<210>	107		
<211>	24		
<212>	DNA		
<213>	Artificial Sequence		
<220><223>	GUA1 STM common Primer		
<400>	107		
		gcatgccctg cccctaagaa ttcg	24
<210>	108		
<211>	19		
<212>	DNA		
<213>	Artificial Sequence		
<220><223>	INP5201 L1 Primer		
<400>	108		
		cgttccatt tgggtcag	19
<210>	109		
<211>	38		

<212> DNA  
<213> Artificial Sequence  
<220><223> INP5201 L2 Primer

<400> 109  
tcactggccg tcgtttact gcgaggctct caaacttg 38  
<210> 110  
<211> 41  
<212> DNA  
<213> Artificial Sequence  
<220><223> INP5201 R1 Primer  
<400> 110  
catggtcata gctgttcct gcgaagcgag aaaaggatg 41  
<210> 111  
<211> 22  
<212> DNA  
<213> Artificial Sequence  
<220><223> INP5201 R2 Primer  
<400> 111  
ttcttcctca cctggatacc gc 22  
<210> 112  
  
<211> 20  
<212> DNA  
<213> Artificial Sequence  
<220><223> INP5201 S0 Primer  
<400> 112  
agtctttagatg gcttcttcac 20  
<210> 113  
<211> 21  
<212> DNA  
<213> Artificial Sequence  
<220><223> INP5201 P0 Primer  
<400> 113  
gctgttaga gtgagtagag g 21

<210> 114  
<211> 24  
<212> DNA  
<213> Artificial Sequence  
<220><223> INP5201 STM Primer  
<400> 114

acagctccaa acctcgctaa acag 24

<210> 115  
<211> 24  
<212> DNA  
<213> Artificial Sequence  
<220><223> INP5201 STM common Primer  
<400> 115

gcatgccctg cccctaagaa ttcg 24

<210> 116  
<211> 18  
<212> DNA  
<213> Artificial Sequence  
<220><223> PHS1 L1 Primer  
<400> 116

gtggatggg aaatgatg 18

<210> 117  
<211> 34  
<212> DNA  
<213> Artificial Sequence  
<220><223> PHS1 L2 Primer  
<400> 117

ctggccgtcg ttttacagtg acgctttgt gtcg 34

<210> 118  
<211> 36  
<212> DNA  
<213> Artificial Sequence  
<220><223> PHS1 R1 Primer

<400>	118	
gtcatagctg ttccctgtaa aggcaagacc gtaggc		36
<210>	119	
<211>	19	
<212>	DNA	
<213>	Artificial Sequence	
<220><223>	PHS1 R2 Primer	
<400>	119	
ccttcgtctt cttcgtctc		19
<210>	120	
<211>	20	
<212>	DNA	
<213>	Artificial Sequence	
<220><223>	PHS1 S0 Primer	
<400>	120	
acactgaaga gactcccgag		20
<210>	121	
<211>	19	
<212>	DNA	
<213>	Artificial Sequence	
<220><223>	PHS1 P0 Primer	
<400>	121	
tgagtagcgg atgacttcg		19
<210>	122	
<211>	20	
<212>	DNA	
<213>	Artificial Sequence	
<220><223>	PHS1 STM Primer	
<400>	122	
ccatagaact agctaaagca		20
<210>	123	
<211>	24	
<212>	DNA	

<213>	Artificial Sequence	
<220><223>	PHS1 STM common Primer	
<400>	123	
gcatgccctg cccctaagaa ttcg		24
<210>	124	
<211>	22	
<212>	DNA	
<213>	Artificial Sequence	
<220><223>	MRE11 L1 Primer	
<400>	124	
ggcataacttg ataaggaact cg		22
<210>	125	
<211>	38	
<212>	DNA	
<213>	Artificial Sequence	
<220><223>	MRE11 L2 Primer	
<400>	125	
tcactggccg tcgtttact accttggtt tgagtcgg		38
<210>	126	
<211>	41	
<212>	DNA	
<213>	Artificial Sequence	
<220><223>	MRE11 R1 Primer	
<400>	126	
catggtcata gctgtttcct ggaatgaaga ggaaatctgc g		41
<210>	127	
<211>	20	
<212>	DNA	
<213>	Artificial Sequence	
<220><223>	MRE11 R2 Primer	
<400>	127	
tctcaaggta gttggccatcg		20
<210>	128	

<211>	19	
<212>	DNA	
<213>	Artificial Sequence	
<220><223>	MRE11 SO Primer	
<400>	128	
tggcttacaa gaactcagc		19
<210>	129	
<211>	19	
<212>	DNA	
<213>	Artificial Sequence	
<220><223>	MRE11 PO Primer	
<400>	129	
cggtcatct cctattcg		19
<210>	130	
<211>	24	
<212>	DNA	
<213>	Artificial Sequence	
<220><223>	MRE11 STM Primer	
<400>		
>	130	
gttagcgatag gggtgtcgct ttag		24
<210>	131	
<211>	24	
<212>	DNA	
<213>	Artificial Sequence	
<220><223>	MRE11 STM common Primer	
<400>	131	
gcatgccctg cccctaagaa ttcg		24
<210>	132	
<211>	18	
<212>	DNA	
<213>	Artificial Sequence	
<220><223>	DBR1 L1 Primer	
<400>	132	
ttccaatcca acagtgcg		18

&lt;210&gt; 133

&lt;211&gt; 38

&lt;212&gt; DNA

&lt;213&gt; Artificial Sequence

&lt;220&gt;&lt;223&gt; DBR1 L2 Primer

&lt;400&gt; 133

tcactggccg tcgtttact ccgaaatgcc tgttgagg 38

&lt;210&gt; 134

&lt;211&gt; 40

&lt;212&gt; DNA

&lt;213&gt; Artificial Sequence

&lt;220&gt;&lt;223&gt; DBR1 R1 Primer

&lt;400&gt; 134

catggtcata gctgttcct gttactccca ctgcgctaagc 40

&lt;210&gt; 135

&lt;211&gt; 19

&lt;212&gt; DNA

&lt;213&gt; Artificial Sequence

&lt;220&gt;&lt;223&gt; DBR1 R2 Primer

&lt;400&gt; 135

tttggtagg tgggagagg 19

&lt;210&gt; 136

&lt;211&gt; 19

&lt;212&gt; DNA

&lt;213&gt; Artificial Sequence

&lt;220&gt;&lt;223&gt; DBR1 S0 Primer

&lt;400&gt; 136

agaatagaa aggctggcg 19

&lt;210&gt; 137

&lt;211&gt; 19

&lt;212&gt; DNA

&lt;213&gt; Artificial Sequence

&lt;220&gt;&lt;223&gt; DBR1 P0 Primer

<400>	137	
tactgaccct catactgcg		19
<210>	138	
<211>	20	
<212>	DNA	
<213>	Artificial Sequence	
<220><223>	DBR1 STM Primer	
<400>	138	
tctctatagc aaaaccaatc		20
<210>	139	
<211>	24	
<212>	DNA	
<213>	Artificial Sequence	
<220><223>	DBR1 STM common Primer	
<400>	139	
gcatgccctg cccctaagaa ttcg		24
<210>	140	
<211>	20	
<212>	DNA	
<213>	Artificial Sequence	
<220><223>	SIW14 L1 Primer	
<400>	140	
ctcattcagg atttaccacg		20
<210>	141	
<211>	37	
<212>	DNA	
<213>	Artificial Sequence	
<220><223>	SIW14 L2 Primer	
<400>	141	
tcactggccg tcgtttaca aagttgttgg cgaggtc		37
<210>	142	
<211>	40	
<212>	DNA	

<213>	Artificial Sequence	
<220><223>	SIW14 R1 Primer	
<400>	142	
catggtcata gcgtttcct gtcatcgga gtttgttcag		40
<210>	143	
<211>	22	
<212>	DNA	
<213>	Artificial Sequence	
<220><223>	SIW14 R2 Primer	
<400>	143	
caactaccac tcacaactct tg		22
<210>	144	
<211>	19	
<212>	DNA	
<213>	Artificial Sequence	
<220><223>	SIW14 S0 Primer	
<400>	144	
gttggccag tttggcaag		19
<210>	145	
<211>	18	
<212>	DNA	
<213>	Artificial Sequence	
<220><223>	SIW14 P0 Primer	
<400>	145	
agtatggat gattccgc		18
<210>	146	
<211>	20	
<212>	DNA	
<213>	Artificial Sequence	
<220><223>	SIW14 STM Primer	
<400>		
>	146	
ccatagaact agctaaagca		20
<210>	147	

<211>	24	
<212>	DNA	
<213>	Artificial Sequence	
<220><223>	SIW14 STM common Primer	
<400>	147	
gcatgccctg cccctaagaa ttcg		24
<210>	148	
<211>	20	
<212>	DNA	
<213>	Artificial Sequence	
<220><223>	SDP102 L1 Primer	
<400>	148	
tctggtatct tcctcccttc		20
<210>	149	
<211>	41	
<212>	DNA	
<213>	Artificial Sequence	
<220><223>	SDP102 L2 Primer	
<400>	149	
tcactggccg tcgtttact tgggtgggt gtgttgctgg g		41
<210>	150	
<211>	44	
<212>	DNA	
<213>	Artificial Sequence	
<220><223>	SDP102 R1 Primer	
<400>	150	
catggtcata gctgtttcct gcgcttctac tatctactgg ttgc		44
<210>	151	
<211>	19	
<212>	DNA	
<213>	Artificial Sequence	
<220><223>	SDP102 R2 Primer	
<400>	151	

gttcctgttt ggatgcttc	19
<210> 152	
<211> 19	
<212> DNA	
<213> Artificial Sequence	
<220><223> SDP102 SO Primer	
<400> 152	
gaacatcaag gctctccag	19
<210> 153	
<211> 18	
<212> DNA	
<213> Artificial Sequence	
<220><223> SDP102 PO Primer	
<400> 153	
tgtccaagga atggtctg	18
<210> 154	
<211> 24	
<212> DNA	
<213> Artificial Sequence	
<220><223> SDP102 STM Primer	
<400> 154	
ctccccacat aaagagagct aaac	24
<210> 155	
<211> 24	
<212> DNA	
<213> Artificial Sequence	
<220><223> SDP102 STM common Primer	
<400> 155	
gcatgccctg cccctaagaa ttcg	24
<210> 156	
<211> 18	
<212> DNA	
<213> Artificial Sequence	

<220><223>	OCA1 L1 Primer	
<400>	156	
aataaaagaga gacgccgc		18
<210>	157	
<211>	39	
<212>	DNA	
<213>	Artificial Sequence	
<220><223>	OCA1 L2 Primer	
<400>	157	
tcactggccg tcgtttacc gagaaaagag aagcacagc		39
<210>	158	
<211>	43	
<212>	DNA	
<213>	Artificial Sequence	
<220><223>	OCA1 R1 Primer	
<400>	158	
catggtcata gctgttcct ggtagaagaa gtcaaactgc cac		43
<210>	159	
<211>	19	
<212>	DNA	
<213>	Artificial Sequence	
<220><223>	OCA1 R2 Primer	
<400>	159	
gcagaggaca gaaagcaac		19
<210>	160	
<211>	20	
<212>	DNA	
<213>	Artificial Sequence	
<220><223>	OCA1 SO Primer	
<400>	160	
atcagatgaa cctgctcaac		20
<210>	161	
<211>	19	

<212> DNA  
<213> Artificial Sequence  
<220><223> OCA1 PO Primer  
<400> 161

taacatccca ccacagttcc 19

<210> 162  
<211> 20  
<212> DNA  
<213> Artificial Sequence  
<220><223> OCA1 STM Primer  
<400> 162

atgttaggtag ggtgataggt 20

<210> 163  
<211> 24  
<212> DNA  
<213> Artificial Sequence  
<220><223> OCA1 STM common Primer  
<400> 163

gcatgccctg cccctaagaa ttgc 24

<210> 164  
<211> 20  
<212> DNA  
<213> Artificial Sequence  
<220><223> GDA1 L1 Primer  
<400> 164

gctgttagtg gcaaaggtag 20

<210> 165  
<211> 37

<212> DNA  
<213> Artificial Sequence  
<220><223> GDA1 L2 Primer  
<400> 165

tcactggccg tcgtttaca cgagcgaata agtgtgc 37

<210>	166	
<211>	40	
<212>	DNA	
<213>	Artificial Sequence	
<220><223>	GDA1 R1 Primer	
<400>	166	
catggtcata gctgttcct gttggcggtt ggtggagaag		40
<210>	167	
<211>	19	
<212>	DNA	
<213>	Artificial Sequence	
<220><223>	GDA1 R2 Primer	
<400>	167	
gccttgctt ttctccagg		19
<210>	168	
<211>	19	
<212>	DNA	
<213>	Artificial Sequence	
<220><223>	GDA1 S0 Primer	
<400>	168	
agaaacgggg gaaacgaag		19
<210>	169	
<211>	19	
<212>	DNA	
<213>	Artificial Sequence	
<220><223>	GDA1 P0 Primer	
<400>	169	
ggaagttagaa gcggaaatg		19
<210>	170	
<211>	20	
<212>	DNA	
<213>	Artificial Sequence	
<220><223>	GDA1 STM Primer	

&lt;400&gt; 170

atagctacca cacgatagct 20

&lt;210&gt; 171

&lt;211&gt; 24

&lt;212&gt; DNA

&lt;213&gt; Artificial Sequence

&lt;220&gt;&lt;223&gt; GDA1 STM common Primer

&lt;400&gt; 171

gcatgccctg cccctaagaa ttcg 24

&lt;210&gt; 172

&lt;211&gt; 20

&lt;212&gt; DNA

&lt;213&gt; Artificial Sequence

&lt;220&gt;&lt;223&gt; FBP26 L1 Primer

&lt;400&gt; 172

tggaggta cag taatcggtcg 20

&lt;210&gt; 173

&lt;211&gt; 38

&lt;212&gt; DNA

&lt;213&gt; Artificial Sequence

&lt;220&gt;&lt;223&gt; FBP26 L2 Primer

&lt;400&gt; 173

tcactggccg tcgtttacg gattggatgg atgtgaac 38

&lt;210&gt; 174

&lt;211&gt; 40

&lt;212&gt; DNA

&lt;213&gt; Artificial Sequence

&lt;220&gt;&lt;223&gt; FBP26 R1 Primer

&lt;400&gt; 174

catggtcata gctgtttcct gtccgatgta tgctctggtc 40

&lt;210&gt; 175

&lt;211&gt; 19

&lt;212&gt; DNA

<213>	Artificial Sequence	
<220><223>	FBP26 R2 Primer	
<400>	175	
tgtttctccc ctigtacc		19
<210>	176	
<211>	20	
<212>	DNA	
<213>	Artificial Sequence	
<220><223>	FBP26 S0 Primer	
<400>	176	
tgaaaaatgag ttctttggg		20
<210>	177	
<211>	19	
<212>	DNA	
<213>	Artificial Sequence	
<220><223>	FBP26 P0 Primer	
<400>	177	
tcctaaaatc ccgcgtgc		19
<210>	178	
<211>	21	
<212>	DNA	
<213>	Artificial Sequence	
<220><223>	FBP26 STM Primer	
<400>		
>	178	
actagccccc cctcaccacc t		21
<210>	179	
<211>	24	
<212>	DNA	
<213>	Artificial Sequence	
<220><223>	FBP26 STM common Primer	
<400>	179	
gcatgccctg cccctaagaa ttcg		24
<210>	180	

<211>	20	
<212>	DNA	
<213>	Artificial Sequence	
<220><223>	PSR1 L1 Primer	
<400>	180	
ggcagagaga agtttggtag		20
<210>	181	
<211>	38	
<212>	DNA	
<213>	Artificial Sequence	
<220><223>	PSR1 L2 Primer	
<400>	181	
tcactggccg tcgtttact gggcatttct tctactgc		38
<210>	182	
<211>	40	
<212>	DNA	
<213>	Artificial Sequence	
<220><223>	PSR1 R1 Primer	
<400>	182	
catggcata gctgtttct ggttcggtt gtccttgatg		40
<210>	183	
<211>	19	
<212>	DNA	
<213>	Artificial Sequence	
<220><223>	PSR1 R2 Primer	
<400>	183	
ccttgagccg ttgtatgtc		19
<210>	184	
<211>	19	
<212>	DNA	
<213>	Artificial Sequence	
<220><223>	PSR1 S0 Primer	
<400>	184	

ctgtcattac tcgctcagc	19
<210> 185	
<211> 19	
<212> DNA	
<213> Artificial Sequence	
<220><223> PSR1 PO Primer	
<400> 185	
 attctgtgtc gctggagtg	19
<210> 186	
<211> 24	
<212> DNA	
<213> Artificial Sequence	
<220><223> PSR1 STM Primer	
<400> 186	
 cgctacagcc agcgcgcgca agcg	24
<210> 187	
<211> 24	
<212> DNA	
<213> Artificial Sequence	
<220><223> PSR1 STM common Primer	
<400> 187	
 gcatgccctg cccctaagaa ttgc	24
<210> 188	
<211> 20	
<212> DNA	
<213> Artificial Sequence	
<220><223> CDC1 L1 Primer	
<400> 188	
 aaagggtcgt gtgagaggac	20
<210> 189	
<211> 38	
 <212> DNA	
<213> Artificial Sequence	

<220><223>	CDC1 L2 Primer	
<400>	189	
tcactggccg tcgtttacc tgacgatgct acagatgc		38
<210>	190	
<211>	41	
<212>	DNA	
<213>	Artificial Sequence	
<220><223>	CDC1 R1 Primer	
<400>	190	
catgtcata gctgtttcct gtggcaaga gttggagaga g		41
<210>	191	
<211>	21	
<212>	DNA	
<213>	Artificial Sequence	
<220><223>	CDC1 R2 Primer	
<400>	191	
gaacagacag atgggataa c		21
<210>	192	
<211>	20	
<212>	DNA	
<213>	Artificial Sequence	
<220><223>	CDC1 S0 Primer	
<400>	192	
gctgtggtg ttgaatgatg		20
<210>	193	
<211>	19	
<212>	DNA	
<213>	Artificial Sequence	
<220><223>	CDC1 P0 Primer	
<400>	193	
ggcattgacc agcgagttt		19
<210>	194	
<211>	20	
<212>	DNA	

<213> Artificial Sequence

<220><223> CDC1 STM Primer

<400> 194

cggccgcct cactatccac 20

<210> 195

<211> 24

<212> DNA

<213> Artificial Sequence

<220><223> CDC1 STM common Primer

<400> 195

gcatgccctg cccctaagaa ttcg 24

<210> 196

<211> 20

<212> DNA

<213> Artificial Sequence

<220><223> INP5202 L1 Primer

<400> 196

aagagtttgt caccagtgtc 20

<210> 197

<211> 38

<212> DNA

<213> Artificial Sequence

<220><223> INP5202 L2 Primer

<400> 197

tcactggccg tcgtttact ggcaagtaga gagtcacc 38

<210> 198

<211> 40

<212> DNA

<213> Artificial Sequence

<220><223> INP5202 R1 Primer

<400> 198

catggtcata gctgtttct gtgatttggg gcatctggtg 40

<210> 199

<211>	19	
<212>	DNA	
<213>	Artificial Sequence	
<220><223>	INP5202 R2 Primer	
<400>	199	
ggagtttcgc tacattgg		19
<210>	200	
<211>	20	
<212>	DNA	
<213>	Artificial Sequence	
<220><223>	INP5202 S0 Primer	
<400>	200	
gcattgctac ttccaaaag		20
<210>	201	
<211>	19	
<212>	DNA	
<213>	Artificial Sequence	
<220><223>	INP5202 P0 Primer	
<400>	201	
tcttgggatt gggctttgg		19
<210>	202	
<211>	24	
<212>	DNA	
<213>	Artificial Sequence	
<220><223>	INP5202 STM Primer	
<400>	202	
ccatagcgat atctaccca atct		24
<210>	203	
<211>	24	
<212>	DNA	
<213>	Artificial Sequence	
<220><223>	INP5202 STM common Primer	
<400>	203	

gcatgccctg cccctaagaa ttcg	24
<210> 204	
<211> 19	
<212> DNA	
<213> Artificial Sequence	
<220><223> YND1 L1 Primer	
<400> 204	
acgcacagtt tgataaccg	19
<210> 205	
<211> 38	
<212> DNA	
<213> Artificial Sequence	
<220><223> YND1 L2 Primer	
<400> 205	
tcactggccg tcgtttaca gtggtgtaac ggatggtg	38
<210> 206	
<211> 40	
<212> DNA	
<213> Artificial Sequence	
<220><223> YND1 R1 Primer	
<400> 206	
catggtcata gctgttcct gagtagggcg aatctgagtg	40
<210> 207	
<211> 19	
<212> DNA	
<213> Artificial Sequence	
<220><223> YND1 R2 Primer	
<400> 207	
agttagttct ccgatgtcc	19
<210> 208	
<211> 19	
<212> DNA	
<213> Artificial Sequence	

&lt;220&gt;&lt;223&gt; YND1 SO Primer

&lt;400&gt; 208

gctcgtgatt gggactaac

19

&lt;210&gt; 209

&lt;211&gt; 20

&lt;212&gt; DNA

&lt;213&gt; Artificial Sequence

&lt;220&gt;&lt;223&gt; YND1 PO Primer

&lt;400&gt; 209

ccatccatct tctccactcc

20

&lt;210&gt; 210

&lt;211&gt; 24

&lt;212&gt; DNA

&lt;213&gt; Artificial Sequence

&lt;220&gt;&lt;223&gt; YND1 STM Primer

&lt;400&gt; 210

ctccccacat aaagagagct aaac

24

&lt;210&gt; 211

&lt;211&gt; 24

&lt;212&gt; DNA

&lt;213&gt; Artificial Sequence

&lt;220&gt;&lt;223&gt; YND1 STM common Primer

&lt;400&gt; 211

gcatgccctg cccctaagaa ttcg

24

&lt;210&gt; 212

&lt;211&gt; 21

&lt;212&gt; DNA

&lt;213&gt; Artificial Sequence

&lt;220&gt;&lt;223&gt; B1026 - M13 Forward extended

&lt;400&gt; 212

gtaaaacgac gccagttag c

21

&lt;210&gt; 213

&lt;211&gt; 21

<212>	DNA	
<213>	Artificial Sequence	
<220><223>	B1027 - M13 Reverse extended	
<400>	213	
cagggaaacag ctatgaccat g		21
<210>	214	
<211>	21	
<212>	DNA	
<213>	Artificial Sequence	
<220><223>	B79 - Screening primer	
<400>	214	
tgtggatgct ggcggaggat a		21
<210>	215	
<211>	24	
<212>	DNA	
<213>	Artificial Sequence	
<220><223>	B1454 - NAT split marker primer 1	
<400>	215	
aagggtttcc ccgacgacga atcg		24
<210>	216	
<211>	24	
<212>	DNA	
<213>	Artificial Sequence	
<220><223>	B1455 - NAT split marker primer 2	
<400>	216	
aactccgtcg cgagccccat caac		24
<210>	217	
<211>	18	
<212>	DNA	
<213>	Artificial Sequence	
<220><223>	B1886 - NEO split marker primer 1	
<400>	217	
tggaagagat ggatgtgc		18

<210> 218  
<211> 18  
<212> DNA  
<213> Artificial Sequence  
<220><223> B1887 - NEO split marker primer 2  
<400> 218  
attgtctgtt gtgccag 18  
<210> 219  
<211> 22  
<212> DNA  
<213> Artificial Sequence  
<220><223> B679 - qRT-PCR primer for ACT1  
<400> 219  
cgcccttgct cttttctatg 22  
<210> 220  
<211> 22  
<212> DNA  
<213> Artificial Sequence  
<220>  
><223> B680 - qRT-PCR primer for ACT1  
<400> 220  
gactcgtcgt attcgcttt cg 22  
<210> 221  
<211> 19  
<212> DNA  
<213> Artificial Sequence  
<220><223> B8953 - qRT-PCR primer for LAC1  
<400> 221  
cacccttgg aagtgtgg 19  
<210> 222  
<211> 19  
<212> DNA  
<213> Artificial Sequence  
<220><223> B8954 - qRT-PCR primer for LAC1  
<400> 222

tgataattgc agagtaccg	19
<210> 223	
<211> 19	
<212> DNA	
<213> Artificial Sequence	
<220><223> B3737 - qRT-PCR primer for BZP4	
<400> 223	
agccaggtaa tcttggagg	19
<210> 224	
<211> 19	
<212> DNA	
<213> Artificial Sequence	
<220><223> B8521 - qRT-PCR primer for BZP4	
<400> 224	
caatatacga atcactccc	19
<210> 225	
<211> 20	
<212> DNA	
<213> Artificial Sequence	
<220>	
><223> B6394 - qRT-PCR primer for HOB1	
<400> 225	
cctcgcaagt tccccagcta	20
<210> 226	
<211> 19	
<212> DNA	
<213> Artificial Sequence	
<220><223> B8519 - qRT-PCR primer for HOB1	
<400> 226	
gtatgaggta ttgtccacc	19
<210> 227	
<211> 20	
<212> DNA	
<213> Artificial Sequence	

<220><223>	B8654 - qRT-PCR primer for ITR1A	
<400>	227	
cttcaaccga ggtcataactc		20
<210>	228	
<211>	19	
<212>	DNA	
<213>	Artificial Sequence	
<220><223>	B8655 - qRT-PCR primer for ITR1A	
<400>	228	
agattccgat accaagggc		19
<210>	229	
<211>	20	
<212>	DNA	
<213>	Artificial Sequence	
<220><223>	B8658 - qRT-PCR primer for ITR3C	
<400>	229	
cccttggtc aggtgattc		20
<210>	230	
<211>	21	
<212>	DNA	
<213>	Artificial Sequence	
<220>		
><223>	B8659 - qRT-PCR primer for ITR3C	
<400>	230	
gctgaaatag ggatggaaca g		21
<210>	231	
<211>	20	
<212>	DNA	
<213>	Artificial Sequence	
<220><223>	B8656 - qRT-PCR primer for MPR1	
<400>	231	
cgaggttctt gatgatgctg		20
<210>	232	
<211>	20	

<212> DNA  
<213> Artificial Sequence  
<220><223> B8657 - qRT-PCR primer for MPR1  
<400> 232  
atccgaggaa agtctgagcc 20

<210> 233  
<211> 19  
<212> DNA  
<213> Artificial Sequence  
<220><223> B8598 - qRT-PCR primer for FZC31  
<400> 233  
aaatgtcccg aaaaggaag 19  
<210> 234  
<211> 21  
<212> DNA  
<213> Artificial Sequence  
<220><223> B4951 - qRT-PCR primer for FZC31  
<400> 234  
tcttttttc ttctgacctg c 21  
<210> 235  
<211> 17  
<212> DNA  
<213> Artificial Sequence  
<220>  
><223> B9243 - qRT-PCR primer for GAT201  
<400> 235  
catcccgatcg ccacagc 17  
<210> 236  
<211> 19  
<212> DNA  
<213> Artificial Sequence  
<220><223> B9422 - qRT-PCR primer for GAT201  
<400> 236  
ggagtatggc tgaatctg 19

<210> 237  
<211> 20  
<212> DNA  
<213> Artificial Sequence  
<220><223> B9061 - qRT-PCR primer for PDR802  
<400> 237

tttcgtagcc tctaagtggc 20

<210> 238  
<211> 19  
<212> DNA  
<213> Artificial Sequence  
<220><223> B4913 - qRT-PCR primer for PDR802  
<400> 238

ggaacattgg gaaaagggtg 19